

PROTOKÓŁ Z BADAŃ

pt.

"Badanie poprawności modelowania ewapotranspiracji referencyjnej przez model Penmana-Monteitha przy wykorzystaniu danych pogodowych GFS"

Badania zrealizowano w ramach projektu "Innowacyjny system nawadniania" realizowanego przez Radevelia sp. z o. o. i dofinansowanego z Funduszy Europejskich.

Gdańsk, 2019 r.

Spis treści

- I. Wprowadzenie.
- II. Cel i metodologia badań.
 - II.1. Opis celu badań.
 - II.2. Lokalizacje.
 - II.3. Źródła i pewność danych wejściowych.
 - II.4. Okres czasu objęty badaniami.
 - II.5. Sposób wykonywania obliczeń.
- III. Wyniki.
 - III.1. Okres wegetacyjny roku 2017.
 - III.1.1. Białystok.
 - III.1.2. Gdynia.
 - III.1.3. Łódź.
 - III.1.4. Poznań.
 - III.1.5. Rzeszów.
 - III.1.6. Podsumowanie.
 - III.2. Okres wegetacyjny roku 2018.
 - III.2.1. Białystok.
 - III.2.2. Gdynia.
 - III.2.3. Łódź.
 - III.2.4. Poznań.
 - III.2.5. Rzeszów.
 - III.2.6. Podsumowanie.
 - III.3. Legenda.
- IV. Wnioski z badań.
- V. Uwagi.
- VI. Bibliografia i źródła.

I. Wprowadzenie

W ostatnich latach coraz częściej obserwuje się deficyty wody słodkiej, które przypisywane są postępującym zmianom klimatycznym. Co znamienne, deficyty te występują najczęściej w cieplej porze roku, gdy zapotrzebowanie na wodę jest największe. W efekcie obniżenia lustra wód powierzchniowych utrudnione jest chłodzenie bloków elektroenergetycznych, obciążonych przez instalacje klimatyzacyjne. Towarzyszące temu obniżenie poziomu wód gruntowych skutkuje ograniczeniami zasilania sieci wodociągowych, coraz powszechniej wprowadzane są restrykcje w użyciu wody na cele nawadniania upraw ozdobnych. Jest to o tyle problematyczne, że właśnie w tych okresach zapotrzebowanie wodne upraw roślinnych jest największe.

Według Europejskiej Agencji Środowiska około 40 % całkowitej ilości wody zużywanej rocznie w Europie jest przeznaczane na cele rolnictwa. Mimo rosnącej wydajności europejskiego sektora rolniczego, od lat dziewięćdziesiątych XX wieku obserwuje się stały wzrost zużycia wody przez ten sektor, co przekłada się na wzrost deficytu wody w Europie. Przyczyną takiego stanu rzeczy jest to, że coraz więcej gruntów rolnych musi być nawadnianych, zwłaszcza w krajach Europy Południowej. Chociaż nawadniane jest jedynie około 9% całkowitej powierzchni użytków rolnych w Europie, obszary te nadal odpowiadają za około 50% całkowitego zużycia wody w Europie. Wiosną odsetek ten może wzrosnąć do ponad 60%, aby przyspieszyć wzrost zasadzonych roślin, zwłaszcza owoców i warzyw, które cieszą się dużym powodzeniem i mają wyższe ceny, takich jak oliwki czy pomarańcze potrzebujące dużej ilości wody w procesie dojrzewania. Przewiduje się, że w kolejnych latach koszty nawadniania wzrosną, jeśli sprawdzą się przewidywania mówiące o niższych opadach i dłuższym sezonie wegetacyjnym ze względu na zmiany klimatu¹.

W opisanej sytuacji szczególnie istotne jest optymalizowanie procesu nawadniania upraw, mające na celu ograniczenie zużycia wody do wartości odpowiadającej rzeczywistemu zapotrzebowaniu uprawy. Do niedawna zadanie to było niezwykle trudne, gdyż brakowało powszechnie dostępnych rozwiązań, pozwalających na miarodajne określanie rzeczywistych potrzeb wodnych uprawy. Rozwój nowoczesnych, sterowanych komputerowo systemów nawadniania pozwolił na automatyzację procesu nawadniania. Opracowanie matematycznych modeli ewapotranspiracji stanął u podstawy możliwości obliczania potrzeb wodnych uprawy w określonych warunkach atmosferycznych. Obecnie znanych jest kilka modeli ewapotranspiracji, wśród których najbardziej znane to: model Peymana-Monteitha, model Grabarczyka, model Hargreavesa. Połączenie technologii i zdobyczy nauki pozwoliło na wdrożenie rozwiązań, które bazując na znajomości stanu atmosfery były zdolne efektywnie zarządzać procesem nawadniania roślin. Powszechnemu stosowaniu takich rozwiązań przeszkadza jednak trudność i koszt wdrożenia, który wynika z konieczności budowy stanowiska do pomiarów meteorologicznych w miejscu uprawy. W szczególności blokowało to powszechne stosowanie takich systemów w mniejszych uprawach, takich jak ogrody przydomowe czy nieduże gospodarstwa rolne. Koszt instalacji meteorologicznych urządzeń pomiarowych oraz konieczność utrzymywania ich w należytej zdatości jest barierą, której pokonanie mogłoby istotnie wpłynąć na poprawę bilansu wodnego.

Z drugiej strony stosowanie systemów nawadniania, które bazują na możliwości wyliczenia ewapotranspiracji na podstawie danych meteorologicznych jest kuszące chociażby ze względu na oszczędności wody mogące sięgać 30%ⁱⁱ. Jednocześnie znane są obecnie matematyczne modele atmosfery, które dzięki zastosowaniu superkomputerów pozwalają określić stan atmosfery w praktycznie każdej lokalizacji na świecie. Współcześnie stosowane modele cechują się dużą dokładnością oraz sprawdzalnością, co pozwala zakładać, że mogłyby mieć zastosowanie jako źródło danych meteorologicznych dla urządzeń sterujących systemami nawadniania. Szczególnie interesującym wydaje się amerykański model GFS, który wykorzystywany jest przez należące do amerykańskiej Narodowej Służby Oceanicznej i Atmosferycznej (NOAA) Narodowe Centrum Przewidywania atmosfery (NCEP)ⁱⁱⁱ do przewidywania stanu atmosfery na zdecydowanej większości obszaru świata. Wyniki obliczeń są ogólnodostępne i bezpłatne.

Radevelia sp. z o. o. uznała za właściwe podjęcie badań mających na celu oszacowanie, czy wykorzystanie wyników modelu GFS pozwala na skuteczne zastąpienie kosztownych i problematycznych stacji meteorologicznych. Uznano za prawdopodobne, że model GFS umożliwia uzyskanie wyników modelowania ewapotranspiracji porównywalnych do tych, jakie uzyskuje się dzięki zastosowaniu pomiarów meteorologicznych. W ten sposób możnaby wdrożyć do produkcji niedrogie systemy sterowania nawadnianiem, które korzystałyby wyłącznie z danych powszechnie dostępnych za pośrednictwem sieci Internet.

II. Cel i metodologia badania

II.1. Opis celu badań.

Badania miały na celu stwierdzenie, czy model GFS umożliwia uzyskanie wyników modelowania ewapotranspiracji porównywalnych do tych, jakie uzyskuje się dzięki zastosowaniu pomiarów meteorologicznych. Kluczowym dla badań założeniem było przyjęcie modelu Penmana-Monteitha jako obowiązującego modelu ewapotranspiracji. Model ten jest standardem przyjętym przez Organizację Narodów Zjednoczonych do spraw Wyżywienia i Rolnictwa (FAO)^{iv}, oznaczonym jako FAO56PM. Model cechuje się największą dokładnością i sprawdza się najlepiej z wszystkich znanych modeli, w różnych częściach świata^v.

Celem badań jest wyliczenie dobowej wartości referencyjnej ewapotranspiracji, która stanowi wzorcowy wyznacznik zapotrzebowania wodnego trawnika o wysokości 12 cm. Aktywnie rosnąca trawa w całości pokrywa powierzchnię wzorcowej uprawy, założonej na średnio suchej glebie z tygodniową częstotliwością nawadniania.

Ewapotranspiracja referencyjna stanowi wskaźnik wyjściowy dla określenia zapotrzebowania wodnego każdej uprawy i jako jedyna jest uzależniona od warunków atmosferycznych. Pozostałe parametry o charakterze współczynników korekcyjnych są stałe w całym okresie życia uprawy lub są zależne od wieku roślin, rodzaju gleby itd. Na potrzeby weryfikacji sprawdzalności modelu GFS w kontekście zastosowania go do regulacji nawadniania upraw wystarczy więc wyliczyć ewapotranspirację referencyjną dla rzeczywistych danych o stanie atmosfery oraz dla danych modelowanych matematycznie. Tak uzyskane wielkości należy następnie porównać i określić wielkość różnicy pomiędzy obu wartościami.

II.2. Lokalizacje.

Badania zostały przeprowadzone dla pięciu lokalizacji, położonych w czterech spośród pięciu stref agroklimatycznych Polski. Ostatecznie przyjęto następujące lokalizacje:

1. Gdynia (strefa I)
2. Poznań (strefa II)
3. Łódź (strefa III)
4. Rzeszów (strefa III)
5. Białystok (strefa IV)



Rysunek 1: Położenie badanych lokalizacji na agroklimatycznej mapie Polski.

Ze względu na niewielki obszar kraju objęty strefą V nie zdecydowano się na wykonywanie badań dla lokalizacji w tej strefie. Jednocześnie ze względu na fakt, że strefa III jest największą polską strefą agroklimatyczną, zdecydowano się przeprowadzić badania dla dwóch lokalizacji w tej strefie.

II.3. Źródła i pewność danych wejściowych.

Dla każdej lokalizacji pozyskano rzeczywiste dane meteorologiczne z pomiarów, które zostały wykonane przez Instytut Meteorologii i Gospodarki Wodnej - Państwowy Instytut Badawczy. Wszystkie pomiary zostały wykonane zgodnie z zaleceniami Światowej Organizacji Meteorologicznej (WMO), którym podlegają narodowe służby meteorologiczne^{vi}.

Do wykonania pomiarów wykorzystywane były następujące urządzenia:

- sonda temperatury i wilgotności Vaisala HMP155^{vii}
- barometr Vaisala PTB110^{viii}
- anemometr Vaisala WMT700^{ix}
- pluwiometr Seba RG50^x

Równolegle pozyskano dane wynikowe obliczeń modelu GFS bezpośrednio z serwerów NOAA^{xi} (Narodowej Służby Oceanicznej i Atmosferycznej), która jest amerykańskim odpowiednikiem polskiego Instytutu Meteorologii i Gospodarki Wodnej. Ze względu na to, że odległość pomiędzy węzłami siatki modelu wynosi około 28 km, dane dla lokalizacji zostały wyliczone z najbliższych węzłów siatki metodą interpolacji dwuliniowej. Konieczne okazało się także przeliczenie wielkości siły wiatru z poziomu 10 metrów do poziomu 2 metrów nad poziomem gruntu, wymaganej przez model Penmana-Monteitha. Przeliczenia dokonano w oparciu o logarytmiczny profil wiatru^{xii}:

$$v_2 = v_1 \frac{\ln\left(\frac{h_2}{z_0}\right)}{\ln\left(\frac{h_1}{z_0}\right)}$$

gdzie:

z_0 - długość chropowatości terenu [m]

v_1 - prędkość wiatru na wysokości odniesienia h_1 [m/s]

v_2 - prędkość wiatru na wysokości odniesienia h_2 [m/s]

Dane z pomiarów Instytutu Meteorologii i Gospodarki Wodnej zawierają wyniki pomiarów wykonywanych co godzinę, podczas gdy dane obliczone przez model GFS odnoszą się do okresów trzygodzinnych. Tymczasem model Penmana-Monteitha operuje na okresach dobowych, przyjmując za parametry wejściowe m.in. minimalną i maksymalną temperaturę dobową, minimalną i maksymalną względną wilgotność dobową oraz średnią prędkość wiatru w ciągu doby. W tym celu na podstawie danych wejściowych określono wartości skrajne dla temperatury i wilgotności oraz średnią prędkość wiatru.

II.4. Okres czasu objęty badaniami.

Badania zostały wykonane dla dwóch następujących po sobie okresów wegetacyjnych, obejmujących lata 2017 i 2018. Na potrzeby badań przyjęto, że okres wegetacyjny trwa od 1 kwietnia do 31 października. Odpowiada to okresom w których w praktyce uprawy roślin stosuje się nawadnianie.

II.5. Sposób wykonywania obliczeń.

Na potrzeby badań powstało dedykowane oprogramowanie, które dokonując niezbędnych przeliczeń danych wejściowych oraz implementując model Penman'a-Monteith'a wykonuje obliczenia dziennej ewapotranspiracji równolegle dla dwóch

zestawów danych wejściowych. Wynikiem obliczeń są następujące zestawy danych wyjściowych:

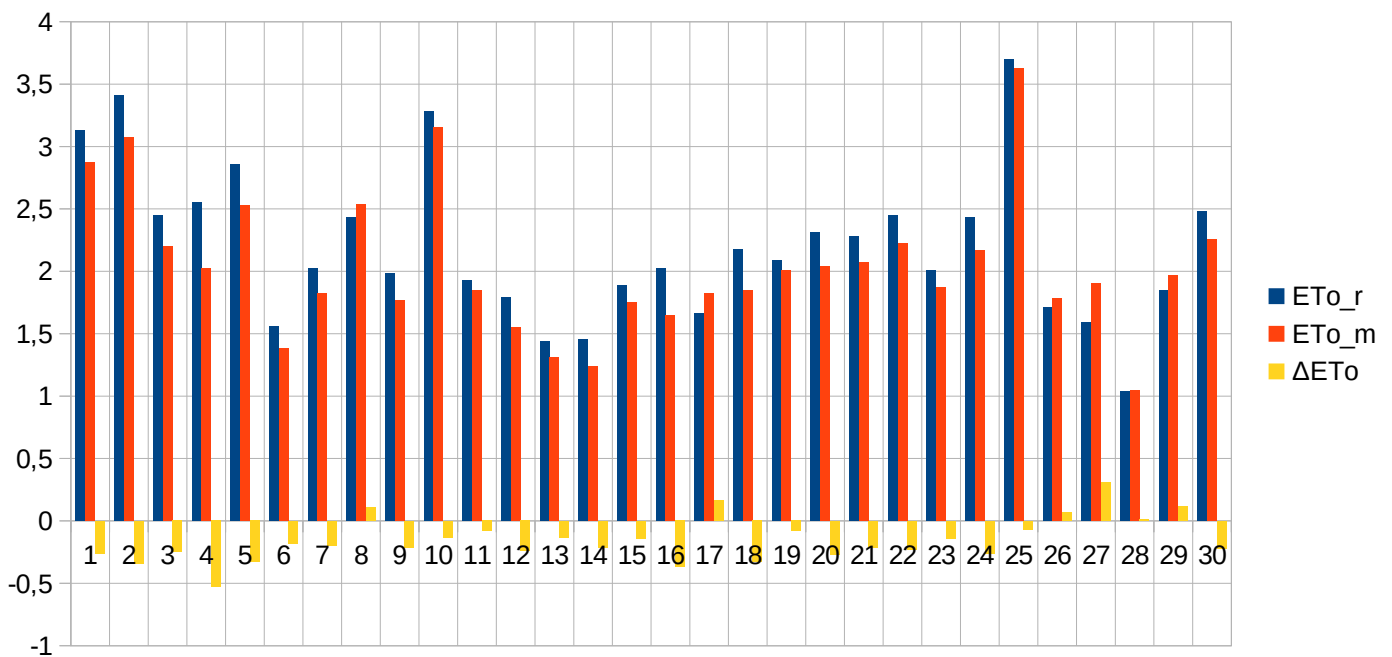
1. Ewapotranspiracja dla zmierzonych warunków meteorologicznych ET_{o_r} .
2. Ewapotranspiracja dla modelowanych warunków meteorologicznych ET_{o_m} .
3. Różnica ewapotranspiracji ΔET_o .

Wyniki badań zostały zachowane w relacyjnej bazie danych, która następnie posłużyła do sporządzenia analizy, wyciągnięcia opartych na niej wniosków i opracowania niniejszego protokołu.

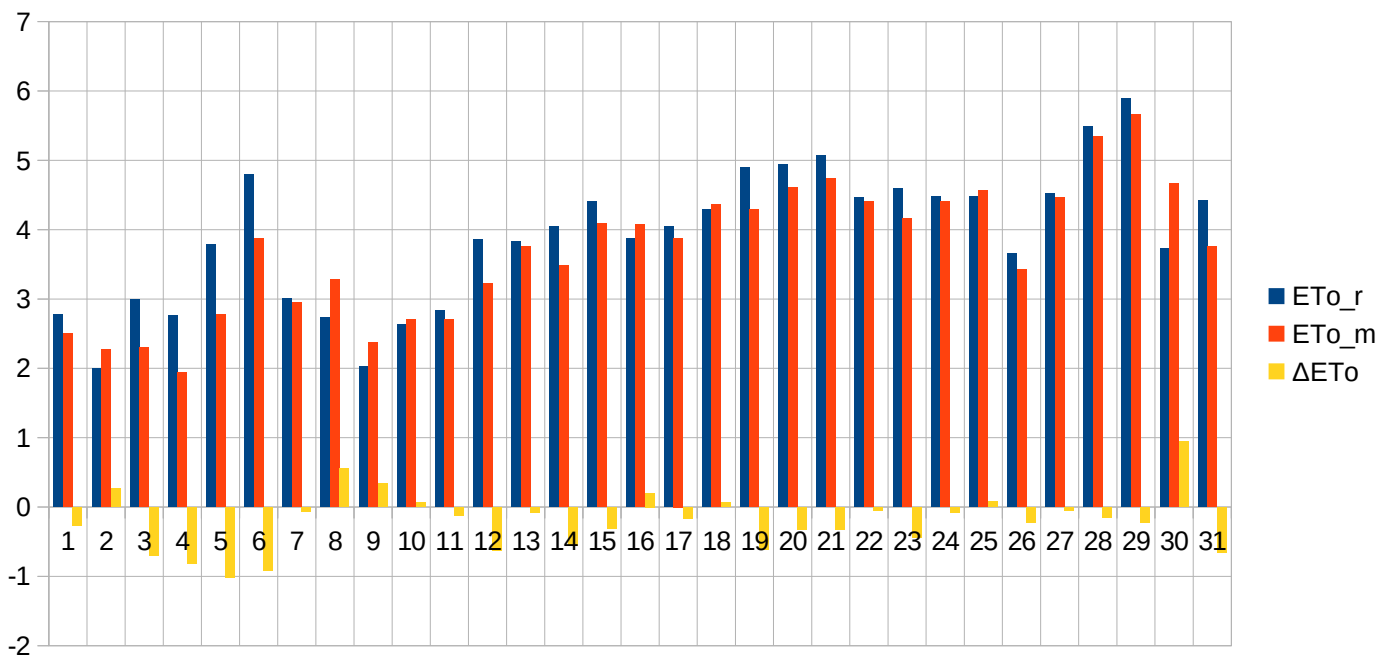
III. Wyniki.

III.1.1. Okres wegetacyjny 2017 roku. Białystok.

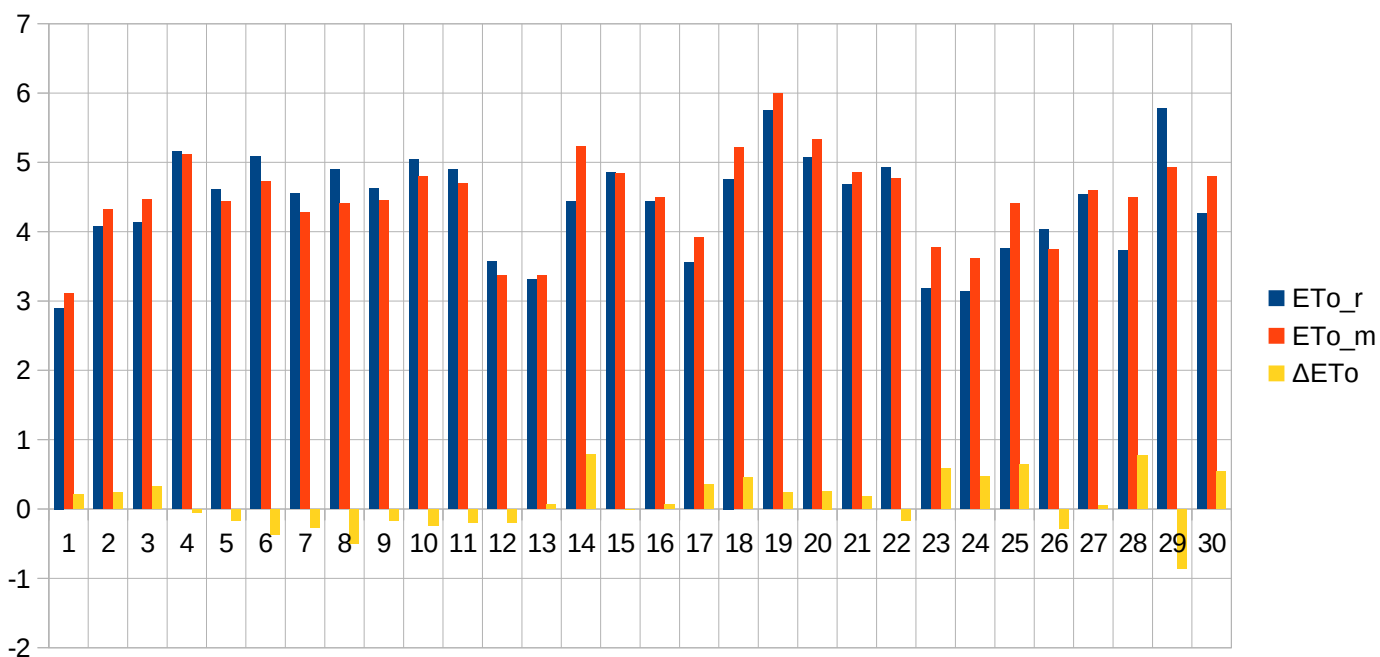
Data	T _{min_r}	T _{min_m}	T _{max_r}	T _{max_m}	RH _{min_r}	RH _{min_m}	Rh _{max_r}	RH _{max_m}	V _r	V _m	P _r	P _m	R _r	R _m	ET _{o_r}	ET _{o_m}	ΔET _o			
2017-04-01	5,2	8,85	21	20,55	41	50,7	99	97,7	2,17	2,51	99,79	99,87	0	1,5	3,13	2,87	-0,26			
2017-04-02	3,4	8,95	22,7	22,35	34	37,6	98	87,2	2	1,52	99,66	99,73	0	0	3,41	3,07	-0,34			
2017-04-03	7,7	8,65	16	16,15	52	51,5	90	98,5	2,63	1,96	100,31	100,38	0	0,14	2,45	2,2	-0,25			
2017-04-04	2,6	6,05	16,9	16,15	41	47,1	98	98,1	1,5	0,65	100,69	100,76	0	0	2,55	2,02	-0,53			
2017-04-05	0,5	6,25	18,5	18,75	36	41,6	97	94,5	1,63	1,06	99,77	99,8	0	5,25	2,86	2,53	-0,33			
2017-04-06	4,1	4,65	9	8,05	62	67,9	96	93	2,42	2,44	99,11	99,2	21	9,01	1,56	1,38	-0,18			
2017-04-07	1,7	1,05	9,4	9,85	47	43,1	89	94,5	2,54	1,14	99,32	99,44	0,4	0,23	2,02	1,82	-0,2			
2017-04-08	3,3	2,95	10,4	10,85	32	38,2	91	98,5	2,96	4,58	99,91	100,09	0	0	2,43	2,54	0,11			
2017-04-09	0,8	2,45	10,7	10,85	60	65,7	86	91,7	2,08	1,39	100,58	100,76	0	0,08	1,98	1,77	-0,21			
2017-04-10	4,5	4,15	18,3	17,85	45	48	93	98,2	3,08	3,42	99,73	99,83	0	0	3,28	3,15	-0,13			
2017-04-11	1	2,65	8,5	8,65	55	54,4	93	83,3	3,54	2,11	99,35	99,46	4,5	1,3	1,93	1,85	-0,08			
2017-04-12	0	1,05	7,6	7,25	56	67	95	95,6	2,92	3,66	99,21	99,33	2	4,16	1,79	1,55	-0,24			
2017-04-13	4,6	3,95	8,6	8,15	73	80,4	96	96,7	3,13	1,67	98,4	98,51	18	6,23	1,44	1,31	-0,13			
2017-04-14	3,3	2,55	8,2	6,95	74	82	96	98,8	2,92	1,63	98,84	99	9,8	3,75	1,45	1,24	-0,21			
2017-04-15	0,2	2,15	9,9	9,75	65	67,2	98	99	2,38	1,86	98,92	99,09	0,7	2,94	1,89	1,75	-0,14			
2017-04-16	-1,1	-1,45	6,9	5,95	48	62,8	93	91,4	3,92	3,46	98,88	99,08	8	2,08	2,02	1,65	-0,37			
2017-04-17	-2,7	-2,25	4,2	6,65	45	37,4	90	88,9	1,88	0,94	99,89	100,09	0	0,01	1,66	1,82	0,16			
2017-04-18	-3,5	-1,85	5,8	6,35	36	37,8	86	76,3	3,29	1,01	100,37	100,51	0	0	2,18	1,85	-0,33			
2017-04-19	-1,5	-1,25	5,4	6,95	42	38,7	80	77,5	3,5	1,51	100,94	101,07	0	0	2,09	2,01	-0,08			
2017-04-20	-2,1	-2,95	6,9	6,75	34	30,2	76	77,9	2,5	1,17	101,08	101,27	0	0	2,31	2,04	-0,27			
2017-04-21	-5,1	-2,14	9,5	8,55	56	51,7	93	95,6	3,33	1,78	99,9	100,15	0,2	2	2,28	2,07	-0,21			
2017-04-22	1,8	1,65	8,7	9,15	42	46	93	95,3	4,79	2,76	98,82	99	8,2	7,01	2,45	2,22	-0,23			
2017-04-23	0,5	0,15	7,4	7,45	50	55,4	91	96,1	2,63	2,02	99,23	99,36	2,8	1,98	2,01	1,87	-0,14			
2017-04-24	0,2	0,05	8,4	8,75	34	41,5	93	98,5	2,79	1,69	99,52	99,68	0,2	0,32	2,43	2,17	-0,26			
2017-04-25	4,7	3,59	17,1	16,45	40	47,9	91	96,2	3,54	6,26	98,79	98,91	0	3,92	3,7	3,63	-0,07			
2017-04-26	3,9	3,85	8,2	8,85	64	51,9	93	96,8	1,71	0,7	99,26	99,35	4	2,3	1,71	1,78	0,07			
2017-04-27	3	1,75	7,4	8,75	68	56,3	96	93,2	1,04	0,46	99,65	99,73	4,4	2,01	1,59	1,9	0,31			
2017-04-28	3,4	2,65	5,1	4,45	82	88,2	97	99	2,92	0,7	99,35	99,46	35	17,22	1,04	1,05	0,01			
2017-04-29	-0,4	2,65	7,8	9,35	68	61,4	98	99,1	2,5	1,57	99,38	99,5	10	2,34	1,85	1,97	0,12			
2017-04-30	-0,9	0,95	10,1	10,15	45	51,2	98	96,5	1,96	1,12	100,37	100,49	0	0,08	2,48	2,26	-0,22			
															Σ	129,2	75,86	65,97	61,34	-4,63



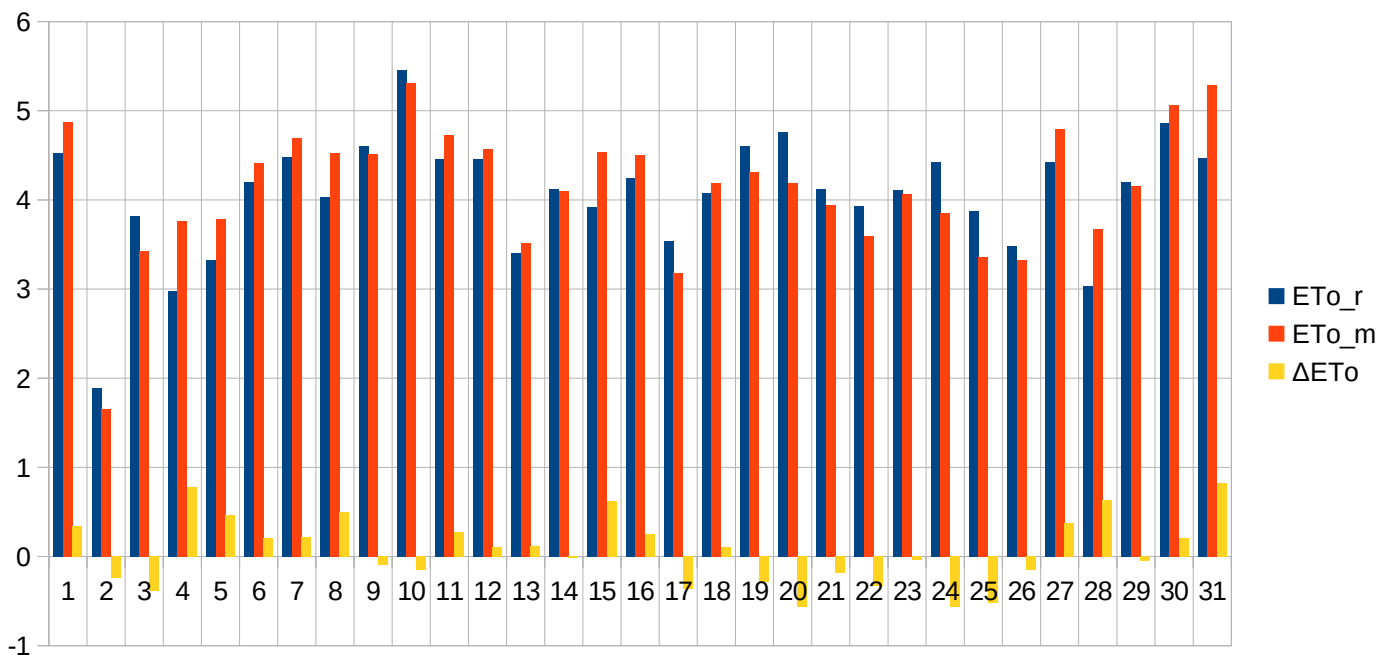
Data	T _{min_r}	T _{min_m}	T _{max_r}	T _{max_m}	RH _{min_r}	RH _{min_m}	Rh _{max_r}	RH _{max_m}	V _r	V _m	P _r	P _m	R _r	R _m	ET _{o_r}	ET _{o_m}	ΔET _o	
2017-05-01	0,9	0,45	11,2	12,35	43	43,3	89	91,5	2,63	0,34	100,52	100,64	0	0,05	2,77	2,5	-0,27	
2017-05-02	0,7	0,85	8,7	10,55	65	56,3	97	98,7	2,33	0,51	100,65	100,78	0	0,01	2	2,27	0,27	
2017-05-03	-0,4	2,65	14,6	11,55	54	63,9	98	96,5	1,71	0,47	100,64	100,81	0	0,54	3	2,3	-0,7	
2017-05-04	10,7	8,75	13,9	13,05	55	79,5	83	94,7	4,25	1,26	100,24	100,33	6	4,59	2,76	1,94	-0,82	
2017-05-05	10,2	11,35	19,8	18,75	45	68,9	90	97,9	2,54	0,46	100,1	100,14	0,2	7,74	3,79	2,78	-1,01	
2017-05-06	8,5	9,35	24,9	23,65	30	43,7	94	92,7	1,67	0,47	99,54	99,59	0	7,32	4,79	3,87	-0,92	
2017-05-07	10,9	10,85	18,9	18,65	67	67,7	97	97	1,83	1,83	98,77	98,83	74	11,94	3,01	2,95	-0,06	
2017-05-08	3,4	3,05	11,7	13,05	49	41,4	96	96,9	3,13	4,62	98,83	98,93	40	4,22	2,73	3,28	0,55	
2017-05-09	0,1	-1,05	5,6	6,45	51	39,6	89	93,6	3,54	3,97	99,28	99,44	1,2	0,84	2,03	2,37	0,34	
2017-05-10	-2	-2,45	8,6	9,65	41	40,9	93	97,4	2,71	1,93	99,2	99,39	0	1,07	2,63	2,7	0,07	
2017-05-11	1,2	3,05	10,7	11,85	36	34,8	94	98,4	2,04	1,09	99,15	99,32	5	1,36	2,83	2,71	-0,12	
2017-05-12	0,3	2,25	16,1	15,65	42	50	89	86,3	3	0,8	99,37	99,5	0	0	3,86	3,23	-0,63	
2017-05-13	4,9	5,05	18,3	19,35	46	44,3	93	95	2,04	0,92	99,63	99,75	0	0,97	3,83	3,75	-0,08	
2017-05-14	3,5	6,85	20,3	18,95	30	48	98	96,3	1,04	0,61	100,3	100,42	0	0,05	4,05	3,49	-0,56	
2017-05-15	4,6	8,65	21,2	21,35	34	40	97	96,5	1,63	1,32	100,64	100,77	0	0,84	4,4	4,09	-0,31	
2017-05-16	6,5	7,25	18,7	19,95	47	44,7	96	98,5	2,33	2,23	100,91	101,03	0	0,1	3,87	4,07	0,2	
2017-05-17	2,7	5,65	18,6	19,85	31	34,3	95	92,3	1,33	0,75	100,96	101,05	0	0	4,05	3,88	-0,17	
2017-05-18	8,1	9,75	21,7	22,85	34	35,9	90	69,2	1,17	1	100,3	100,4	0	0	4,29	4,36	0,07	
2017-05-19	7,1	10,56	23,8	23,35	36	42,4	97	76,3	1,79	0,87	99,93	100,02	0	0	4,9	4,29	-0,61	
2017-05-20	8	11,15	25,5	27,05	32	32,9	98	84,1	1,25	0,35	99,66	99,72	0	0	4,94	4,61	-0,33	
2017-05-21	12,1	13,35	24,3	23,65	44	50,9	95	93,5	3,21	3,9	99,77	99,83	0	1,71	5,07	4,74	-0,33	
2017-05-22	10,6	11,25	21,4	21,75	39	43,1	87	78,5	2,17	1,93	99,97	100,11	0	0,02	4,46	4,41	-0,05	
2017-05-23	6,5	8,95	21,3	21,95	37	37,9	93	91,4	1,79	0,73	99,76	99,86	0	0	4,6	4,16	-0,44	
2017-05-24	5,6	9,25	21,1	23,35	43	40,9	98	95,2	1,71	0,72	99,44	99,46	0	1,91	4,48	4,4	-0,08	
2017-05-25	9	7,95	20,4	20,85	36	32,5	95	97,1	2,46	1,99	99,71	99,76	4	0,67	4,48	4,56	0,08	
2017-05-26	7	7,95	18,1	17,95	53	61,3	98	97,6	1,54	1,04	99,84	99,93	0,6	3,55	3,66	3,43	-0,23	
2017-05-27	6,3	8,12	20,8	21,35	38	35,7	98	97,6	1,79	1,53	100,4	100,5	0	0,05	4,52	4,47	-0,05	
2017-05-28	6,9	10,81	26,2	26,25	35	33,8	98	83,4	2,04	1,36	100,35	100,5	0	0	5,49	5,34	-0,15	
2017-05-29	14,3	14,45	26,4	26,45	34	37,4	83	89,3	2,88	2,76	99,43	99,55	1,2	0,12	5,89	5,66	-0,23	
2017-05-30	11	11,14	20,5	24,35	62	37,5	97	98,9	1,29	0,96	99,39	99,43	0	0	3,73	4,67	0,94	
2017-05-31	10,7	13,55	20,9	20,75	44	49,8	98	96,5	3	1,84	99,24	99,31	2,4	4,84	4,42	3,76	-0,66	
													Σ	134,6	54,51	121,33	115,04	-6,29



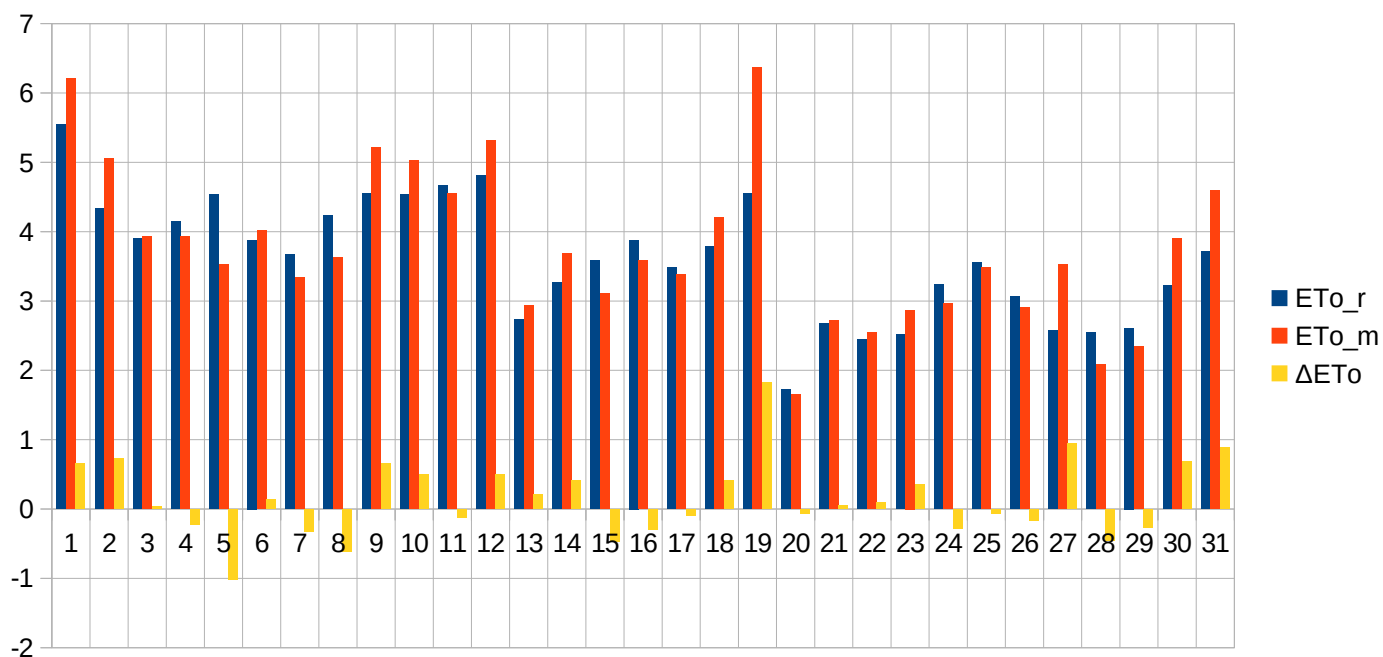
Data	T _{min_r}	T _{min_m}	T _{max_r}	T _{max_m}	RH _{min_r}	RH _{min_m}	Rh _{max_r}	RH _{max_m}	V _r	V _m	P _r	P _m	R _r	R _m	ET _{o_r}	ET _{o_m}	ΔET _o		
2017-06-01	11,1	9,45	14,6	15,55	62	57,1	80	81,5	3,83	1,84	99,63	99,73	0	0,48	2,9	3,11	0,21		
2017-06-02	7,9	7,85	17,7	18,35	38	37,8	96	93,2	2,79	3,1	99,72	99,88	0	0	4,08	4,32	0,24		
2017-06-03	3,5	3,25	17,7	21,65	33	24,8	90	72,1	1,33	0,79	100,1	100,24	0	0	4,13	4,46	0,33		
2017-06-04	4,5	8,55	24,2	24,25	41	44,3	96	89,1	2,13	1,6	99,37	99,39	0	0,32	5,16	5,11	-0,05		
2017-06-05	8,7	9,35	20,7	21,25	43	39,2	96	94,1	2,88	1,52	99,47	99,54	24	0,62	4,61	4,44	-0,17		
2017-06-06	7,7	10,15	22,9	23,55	43	42,2	98	86,9	2,5	1,08	99,54	99,63	0	0	5,09	4,72	-0,37		
2017-06-07	8,9	12,75	20,8	21,45	48	40,6	93	96,2	2,96	1,97	99,38	99,46	2,2	3,36	4,55	4,28	-0,27		
2017-06-08	6,3	8,85	21,1	21,15	38	35,1	97	85,2	2,46	1,05	99,97	100,08	0	0	4,9	4,4	-0,5		
2017-06-09	5,7	7,65	22	21,75	45	39,7	98	93,6	1,13	0,76	100,05	100,14	0	0	4,62	4,45	-0,17		
2017-06-10	9,2	13,05	24,8	25,15	40	38,9	99	88,8	1	0,93	99,85	99,92	0	2,85	5,04	4,8	-0,24		
2017-06-11	10,3	11,35	22,3	22,85	40	35,9	93	98,6	2,42	1,58	99,97	100,07	0	3,06	4,9	4,7	-0,2		
2017-06-12	10,4	12,95	19,2	19,15	66	61,2	98	97,1	1,83	2,26	99,15	99,21	7,3	5,4	3,57	3,37	-0,2		
2017-06-13	12,2	10,65	17,4	17,55	62	56,8	91	94,4	4,79	1,93	98,9	99,02	2,3	1	3,31	3,37	0,06		
2017-06-14	11,9	10,85	18,7	19,65	41	34,7	83	80,1	4,17	5,07	99,24	99,35	0	0,27	4,44	5,23	0,79		
2017-06-15	10,4	8,45	22,4	22,75	43	33,3	96	97,2	2,5	1,22	99,79	99,9	0	0,31	4,85	4,84	-0,01		
2017-06-16	8,6	9,55	21,6	21,95	53	47,7	99	97,8	1,54	1,48	99,3	99,35	0	2,3	4,43	4,5	0,07		
2017-06-17	12,7	10,65	20,2	20,55	67	64,9	96	97,1	2,42	4,14	99,38	99,4	5,8	1,12	3,56	3,91	0,35		
2017-06-18	12	12,45	23,7	25,15	50	40,9	98	98,9	2,08	2,01	100,12	100,15	0	0,12	4,76	5,22	0,46		
2017-06-19	10,9	13,85	27	27,85	46	38	99	92,8	2,38	2,29	100,03	100,12	0	0	5,75	5,99	0,24		
2017-06-20	11,5	13,55	25,5	26,55	57	47,1	98	94,4	1,96	1,83	99,48	99,57	76	3,61	5,07	5,33	0,26		
2017-06-21	8,7	9,55	20,2	21,75	39	34,9	96	86,9	2,96	1,92	99,48	99,57	0	0	4,68	4,86	0,18		
2017-06-22	5,9	8,75	22,1	22,65	42	35,5	99	88	1,96	1,08	99,46	99,55	0	0	4,93	4,77	-0,16		
2017-06-23	12,1	11,95	18,7	20,85	76	66,9	98	96,3	0,83	0,6	98,88	98,87	8	3,45	3,18	3,77	0,59		
2017-06-24	13,3	14,25	18,9	21,25	67	62,4	99	99,2	2,54	1,41	99,1	99,18	6,4	5,42	3,14	3,61	0,47		
2017-06-25	16,3	15,15	22,7	24,05	63	49,7	97	98,2	2,29	1,61	99,12	99,16	7,4	2,54	3,76	4,4	0,64		
2017-06-26	11,2	11,65	21	20,45	61	62	97	99	2,63	1,25	99,05	99,1	11	2,59	4,03	3,75	-0,28		
2017-06-27	9	9,65	21,6	22,65	46	39,5	99	96,5	1,79	0,99	99,48	99,56	0	0	4,54	4,59	0,05		
2017-06-28	10,8	13,15	21,1	24,55	75	60,3	98	97	2,63	0,88	99,07	99,13	2,4	3,57	3,73	4,5	0,77		
2017-06-29	16,5	17,35	29,3	26,55	54	59,1	97	95,4	2,83	3,53	98,15	98,23	8	8,2	5,78	4,92	-0,86		
2017-06-30	15,1	15,45	22,6	22,55	56	49,2	94	94,5	3,46	5,99	98,23	98,36	2,3	2,45	4,26	4,8	0,54		
Σ															163,1	53,04	131,75	134,52	2,77



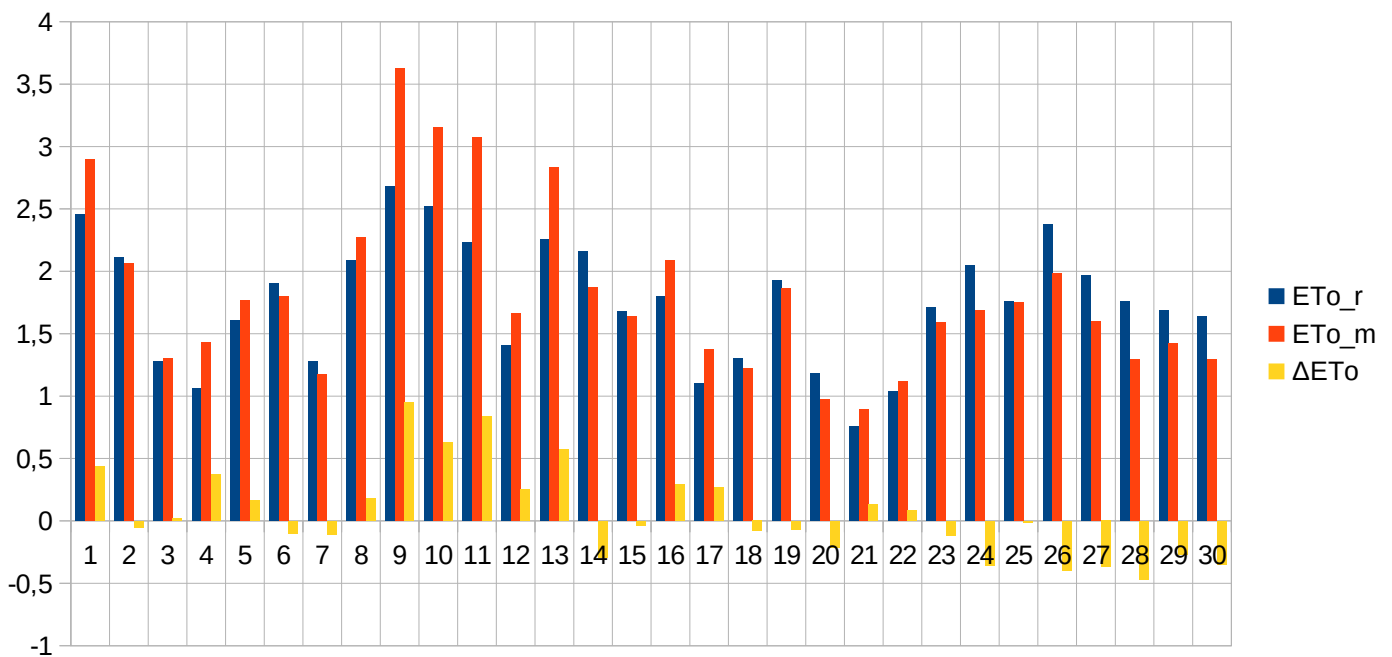
Data	T _{min_r}	T _{min_m}	T _{max_r}	T _{max_m}	RH _{min_r}	RH _{min_m}	Rh _{max_r}	RH _{max_m}	V _r	V _m	P _r	P _m	R _r	R _m	ET _{o_r}	ET _{o_m}	ΔET _o	
2017-07-01	13,2	14,15	22,3	23,45	50	45,3	94	93,2	3,21	3,15	98,58	98,67	0,7	1,58	4,53	4,87	0,34	
2017-07-02	13,3	13,95	15,4	15,25	83	84,1	96	96,9	3,29	1,9	98,74	98,86	10,6	4,92	1,89	1,65	-0,24	
2017-07-03	8,9	10,95	18	17,65	50	50,2	97	92,3	2,88	1,74	99,59	99,72	0	0,68	3,82	3,43	-0,39	
2017-07-04	9,7	9,95	16	18,25	65	49,6	95	90,1	2,5	2,12	99,65	99,74	14	2,18	2,98	3,76	0,78	
2017-07-05	10,1	9,15	17,8	19,15	63	49,7	97	96,8	2,42	1,09	99,86	99,97	4	1,93	3,33	3,79	0,46	
2017-07-06	8,9	8,45	19,7	20,85	44	36,2	98	98,3	2,25	1,43	100,07	100,15	0	0,01	4,2	4,41	0,21	
2017-07-07	6,9	7,05	21,2	25,35	32	28,6	99	91,9	1,04	0,49	99,99	100,05	0	0	4,48	4,7	0,22	
2017-07-08	12,1	11,75	21,5	23,45	44	34,6	97	81,3	1,13	0,93	99,5	99,52	0,9	0,04	4,03	4,53	0,5	
2017-07-09	11,5	12,55	22,8	23,85	44	37,6	99	98,9	2,13	1,1	99,52	99,56	8	0,15	4,61	4,52	-0,09	
2017-07-10	10,3	12,15	26,5	28,35	43	30,3	99	96,1	1,92	0,78	99,54	99,56	0	0,19	5,46	5,31	-0,15	
2017-07-11	17,5	17,25	26,7	27,35	65	57,1	97	98,2	2,13	1,68	98,98	99,06	15,4	10,26	4,46	4,73	0,27	
2017-07-12	13,9	15,95	24,2	25,85	55	39,5	96	98,1	2	1,13	99,18	99,24	1,4	2,17	4,46	4,57	0,11	
2017-07-13	11,7	11,55	18,5	18,25	58	56,2	97	98	2,88	4,55	98,94	98,95	15	15,91	3,4	3,52	0,12	
2017-07-14	10,1	8,95	20,3	20,35	44	37,5	97	96,9	2,04	1,22	99,66	99,71	0	0	4,12	4,1	-0,02	
2017-07-15	11,4	10,65	20,3	21,75	46	33,2	91	89,8	1,67	1,79	99,85	99,91	4,2	0	3,92	4,54	0,62	
2017-07-16	9,4	9,85	21,2	22,25	46	32,4	97	93,5	1,83	1,36	100,18	100,26	1	0,01	4,25	4,5	0,25	
2017-07-17	11,2	13,75	20,2	20,05	65	68,3	98	94,8	1,75	1,47	100,01	100,14	2,2	1,73	3,54	3,18	-0,36	
2017-07-18	8,9	8,75	20,8	21,85	47	41,4	99	94,5	1,54	0,88	100,25	100,32	0	0	4,08	4,19	0,11	
2017-07-19	7,9	9,55	24	23,55	45	42,1	99	94,4	0,96	0,56	100,05	100,14	0	0	4,6	4,31	-0,29	
2017-07-20	10,3	12,85	25,5	24,86	50	53,8	99	87,1	1,08	0,33	99,48	99,57	0	0	4,76	4,19	-0,57	
2017-07-21	14,3	14,01	23,6	24,05	60	61,33	92	95,58	2,21	0,57	99,56	99,61	0,5	7,51	4,12	3,94	-0,18	
2017-07-22	13,5	15,61	22,7	23,28	53	57,6	98	96,1	1,54	0,78	99,85	99,91	1,8	0,65	3,93	3,6	-0,33	
2017-07-23	12,2	13,75	23,6	24,25	62	65,78	98	93,8	1,71	1,56	99,7	99,75	0	4,21	4,11	4,07	-0,04	
2017-07-24	13	16,28	24,4	24,36	48	56	99	97,38	1,71	1,26	99,13	99,13	10	1,62	4,42	3,85	-0,57	
2017-07-25	12,9	15,96	24	23,27	74	79,89	99	94,53	2,29	1,34	98,41	98,43	1,7	5	3,88	3,36	-0,52	
2017-07-26	11,5	14,25	20,4	20,95	64	63,56	98	98,28	2,33	2,56	98,29	98,4	14	0,56	3,48	3,33	-0,15	
2017-07-27	10,3	12,55	24	23,63	51	55,1	99	88,12	1,63	4,87	98,78	98,84	0	0,22	4,42	4,8	0,38	
2017-07-28	12,3	12,95	20	22,52	79	56,76	99	96,29	1,13	0,91	99,08	99,13	9	0,43	3,04	3,67	0,63	
2017-07-29	12,1	13,11	22,8	22,46	51	55,4	97	96,9	2,54	4,06	99,5	99,58	0,2	0,58	4,2	4,15	-0,05	
2017-07-30	10,7	13,56	27,2	27,25	47	51,1	99	87,1	1,38	2,28	99,69	99,81	0	0	4,86	5,07	0,21	
2017-07-31	15,8	17,85	27,7	29,15	63	57,8	98	87,56	1,67	3,54	99,75	99,83	6	1,62	4,47	5,29	0,82	
													Σ	120,6	64,16	125,85	127,93	2,08



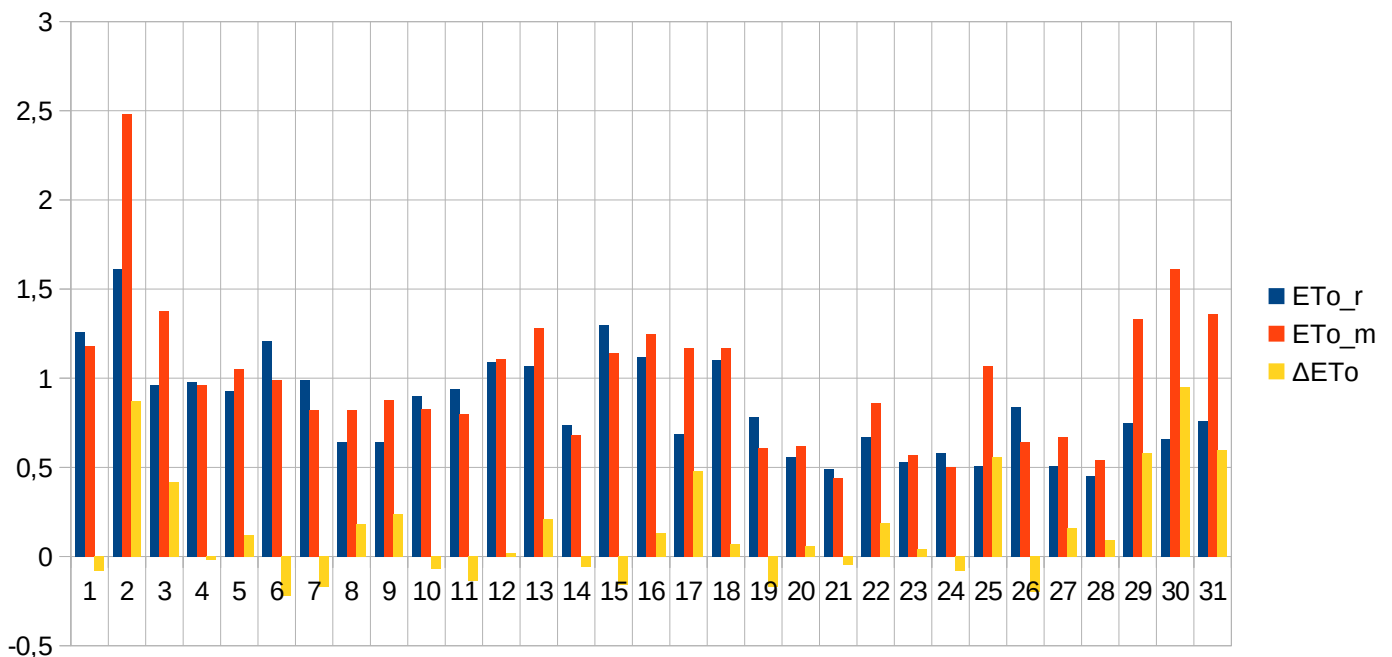
Data	T _{min_r}	T _{min_m}	T _{max_r}	T _{max_m}	RH _{min_r}	RH _{min_m}	Rh _{max_r}	RH _{max_m}	V _r	V _m	P _r	P _m	R _r	R _m	ET _{o_r}	ET _{o_m}	ΔET _o
2017-08-01	14,4	17,48	31,5	31,13	48	53,64	99	88,71	1,79	4,52	100,2	100,25	0	0	5,55	6,21	0,66
2017-08-02	20,5	19,14	28,1	28,35	54	57,78	90	91,32	2,04	4,51	99,83	99,91	0	0	4,33	5,06	0,73
2017-08-03	15,6	16,56	25,8	25,77	67	64,8	98	93,71	1,42	1,88	99,71	99,79	0,4	7	3,9	3,93	0,03
2017-08-04	17,1	17,75	26,4	25,76	52	54,72	97	92,7	1,71	1,71	99,21	99,3	12	0,51	4,15	3,93	-0,22
2017-08-05	13,4	15,05	25	23,15	43	57,7	97	94,5	2,33	1,54	99,51	99,59	0	0,03	4,54	3,53	-1,01
2017-08-06	11,4	13,85	22,9	23,46	50	60,66	99	83,7	1,63	2,77	99,86	99,92	9	1,51	3,88	4,01	0,13
2017-08-07	9,6	11,55	21,8	20,64	45	49,38	99	90,5	1,04	1,11	100,47	100,54	0	0	3,67	3,34	-0,33
2017-08-08	7,6	11,15	22,9	23,25	44	42,53	99	90,5	1,92	0,6	100,54	100,61	0	0	4,24	3,63	-0,61
2017-08-09	13,5	13,85	26	25,81	55	55,69	94	86,72	3,04	6,3	100,27	100,3	0	0,04	4,55	5,21	0,66
2017-08-10	15,9	17,65	29,1	28,97	63	57,3	96	95,4	1,96	4,24	100,02	100,03	20	0,25	4,53	5,03	0,5
2017-08-11	16,7	18,19	29,8	31,85	57	52,27	99	95,6	1,92	0,6	99,76	99,75	0	3,13	4,67	4,55	-0,12
2017-08-12	16,9	15,65	29,3	28,76	54	53,9	95	86,78	2,54	3,89	99,35	99,35	0	3,67	4,81	5,31	0,5
2017-08-13	11,8	13,01	19,2	20,19	68	60,5	98	94	1,54	1,52	99,83	99,88	35,4	0,45	2,73	2,94	0,21
2017-08-14	10,5	11,25	20,7	20,85	47	44,47	99	93,3	1,25	2,43	100,54	100,59	0	0	3,27	3,68	0,41
2017-08-15	10,1	11,05	22,5	21,15	41	49,22	99	94	1,13	0,72	100,72	100,8	0	0	3,58	3,11	-0,47
2017-08-16	9,2	12,55	25,1	24,95	42	43,2	99	88,1	0,88	0,67	100,31	100,34	0	0	3,88	3,59	-0,29
2017-08-17	11,4	14,32	24,2	25,45	59	50,36	99	83,82	0,83	0,44	100,23	100,24	0	0,01	3,48	3,38	-0,1
2017-08-18	13,5	16,99	27	28,05	57	45,81	99	92,5	0,83	1,62	99,95	99,99	0	0,01	3,79	4,2	0,41
2017-08-19	15,8	17,45	29,5	30,15	51	42,1	99	95,03	2	5,99	99,68	99,74	12	4,3	4,55	6,37	1,82
2017-08-20	12,6	12,05	16,5	16,26	91	91,9	98	95,7	1,58	3,01	100,03	100,1	49	35,29	1,72	1,65	-0,07
2017-08-21	11,4	10,65	19	19,05	61	57,7	98	93,11	1,71	1,22	99,88	99,98	14,4	2,48	2,67	2,72	0,05
2017-08-22	8,4	9,56	17,1	17,91	67	64,1	99	96,4	1,5	1,52	99,67	99,73	0,5	0,54	2,44	2,54	0,1
2017-08-23	10,7	9,47	17,9	18,25	63	63,27	99	97,68	2,21	4,76	99,48	99,56	4,9	1,09	2,51	2,87	0,36
2017-08-24	8,2	10,6	19,1	18,42	51	58,73	97	91,78	3,04	3,61	99,55	99,69	0,2	0,23	3,24	2,96	-0,28
2017-08-25	7,4	10,79	22,3	21,89	47	51,69	100	92,15	1,92	2,55	99,79	99,87	0	0,04	3,55	3,48	-0,07
2017-08-26	9,7	11,35	21,3	21,35	53	49,6	98	93,43	1,54	1,08	99,99	100,07	0	0	3,07	2,91	-0,16
2017-08-27	9,3	12,55	20	24,15	74	67,13	99	95,1	1,75	4,65	99,42	99,48	22	7,03	2,58	3,52	0,94
2017-08-28	10,6	11,35	19,1	17,29	62	74,81	99	97,7	1,79	2,92	99,81	99,89	1	1,67	2,55	2,09	-0,46
2017-08-29	7,8	8,97	19	19,15	46	48,6	99	93,8	0,88	0,27	100,27	100,35	0	0	2,61	2,34	-0,27
2017-08-30	6,2	9,81	22,1	21,25	51	49,9	98	79,93	1,58	4,08	100,11	100,21	0	0	3,22	3,9	0,68
2017-08-31	10,7	11,67	23,9	23,49	49	53,76	88	80,2	2,46	6,59	99,78	99,85	0	0	3,71	4,6	0,89
Σ													180,8	69,28	111,97	116,59	4,62



Data	T _{min_r}	T _{min_m}	T _{max_r}	T _{max_m}	RH _{min_r}	RH _{min_m}	Rh _{max_r}	RH _{max_m}	V _r	V _m	P _r	P _m	R _r	R _m	ET _{o_r}	ET _{o_m}	ΔET _o			
2017-09-01	11,9	14,49	20,3	23,15	71	62,51	96	97,4	2,25	2,31	99,66	99,72	0	4,8	2,46	2,9	0,44			
2017-09-02	13,6	12,72	19,2	18,57	73	75,47	95	95,75	1,92	2,41	99,28	99,34	1,8	2,21	2,11	2,06	-0,05			
2017-09-03	12,9	10,01	14,7	13,07	81	89,9	96	98,34	1,21	0,61	99,21	99,32	10,6	2,73	1,28	1,3	0,02			
2017-09-04	12,6	12,56	14,5	15,75	95	85	97	97,32	2,42	4,24	98,95	99,04	46	35,93	1,06	1,43	0,37			
2017-09-05	11,9	12,55	16,7	17,78	84	81,4	98	97,31	1,92	3,1	99,31	99,38	23,3	2,7	1,61	1,77	0,16			
2017-09-06	9,3	9,95	15,1	14,65	61	65,3	95	97,6	1,63	2,29	99,27	99,37	0,8	0,11	1,9	1,8	-0,1			
2017-09-07	9,3	9,82	13,6	12,85	91	90,14	96	94,7	2,29	2,95	98,7	98,82	28	11,45	1,28	1,17	-0,11			
2017-09-08	9,1	7,25	17,8	17,85	68	67,1	97	98	1,88	2,84	99,19	99,29	3,2	0,65	2,09	2,27	0,18			
2017-09-09	10,9	12,04	21,3	20,75	56	57,55	97	88,81	2,13	7,8	98,94	99,02	0	0	2,68	3,63	0,95			
2017-09-10	11,5	13,61	23,3	23,61	66	62,61	98	93,83	1,29	4,13	98,8	98,83	0	0,11	2,52	3,15	0,63			
2017-09-11	15,3	15,58	23,1	25,01	73	62,65	98	92,1	1,63	3,1	98,79	98,81	5	3,24	2,23	3,07	0,84			
2017-09-12	14,1	13,43	17,7	18,26	85	80,42	98	96,96	1,75	2,6	98,62	98,69	14,6	2,92	1,41	1,66	0,25			
2017-09-13	12	10,85	18,3	18,15	57	57,41	95	95,55	2,63	6,41	98,74	98,84	0,6	0,65	2,26	2,83	0,57			
2017-09-14	11,7	11,9	17,8	16,59	67	76,7	86	92,3	2,92	5,82	98,34	98,46	2,2	5,94	2,16	1,87	-0,29			
2017-09-15	7,8	8,65	13,8	12,75	67	73,69	97	90,98	2,92	5,07	99,1	99,24	6	2,44	1,68	1,64	-0,04			
2017-09-16	6,1	7,89	16,4	17,07	68	62,58	98	96,13	1,75	2,84	99,77	99,87	0	0	1,8	2,09	0,29			
2017-09-17	11,4	10,86	14,3	16,22	88	74,2	97	98	1,25	0,44	99,24	99,38	2,2	1,91	1,1	1,37	0,27			
2017-09-18	10	9,25	14,7	14,01	84	85,36	97	96,89	4,92	3,88	98,55	98,84	16,3	6,17	1,3	1,22	-0,08			
2017-09-19	7,8	7,45	17,4	16,75	53	55,14	97	97,09	1,5	1,54	99,85	99,95	0	0	1,93	1,86	-0,07			
2017-09-20	8,2	10,08	13	11,88	81	76,01	98	95,79	2,08	0,81	99,89	99,96	0,5	4,36	1,18	0,97	-0,21			
2017-09-21	11	9,65	12,1	12,46	92	90,3	98	97,73	2,17	4,47	99,55	99,68	26	1,51	0,76	0,89	0,13			
2017-09-22	12	11,55	15,4	15,82	91	88,23	98	98,53	1,5	2,42	99,81	99,81	1,6	0,65	1,04	1,12	0,08			
2017-09-23	12,2	12,25	18,5	18,85	73	67,91	97	93,72	3,04	1,2	100,18	100,21	0	0,14	1,71	1,59	-0,12			
2017-09-24	10,3	10,94	18	17,75	59	64,5	93	82,92	2,79	1,44	100,67	100,75	0	0	2,05	1,69	-0,36			
2017-09-25	10,9	10,86	17,6	17,85	67	59	95	78,03	2,75	1,37	101,04	101,12	0,4	0	1,76	1,75	-0,01			
2017-09-26	10,3	10,72	19,6	20,3	51	49,6	86	81,06	2,58	1,31	101,41	101,49	0	0	2,38	1,98	-0,4			
2017-09-27	5,9	8,88	17,3	17,86	53	53,42	96	80,86	2,33	0,97	101,74	101,83	0	0	1,97	1,6	-0,37			
2017-09-28	4,6	7,51	16,1	16,39	52	51,97	97	82,61	1,92	0,54	101,78	101,9	0	0	1,76	1,29	-0,47			
2017-09-29	1,4	5,49	14,3	14,4	46	46,77	97	77,9	1,83	0,97	101,53	101,65	0	0	1,69	1,42	-0,27			
2017-09-30	1,2	4,22	14	14,05	48	48,63	97	74,8	1,92	0,78	101,13	101,3	0	0	1,64	1,29	-0,35			
															Σ	189,1	90,62	52,8	54,68	1,88

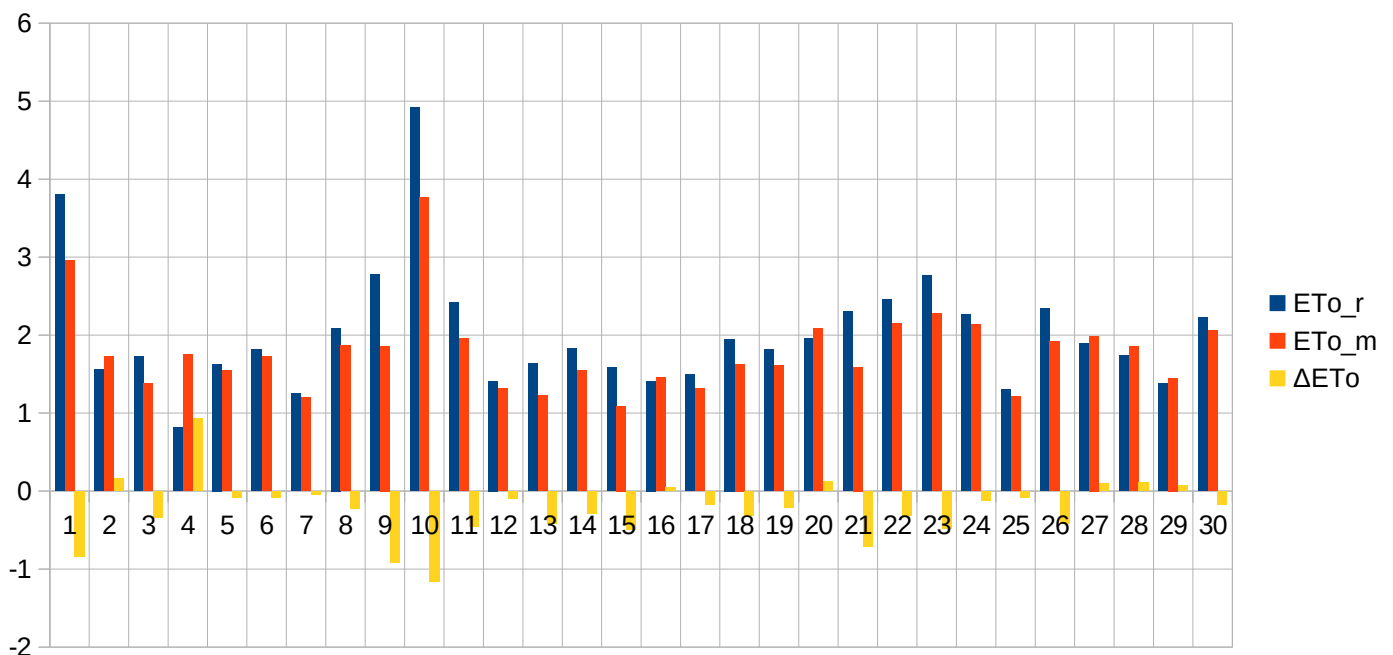


Data	T _{min_r}	T _{min_m}	T _{max_r}	T _{max_m}	RH _{min_r}	RH _{min_m}	Rh _{max_r}	RH _{max_m}	V _r	V _m	P _r	P _m	R _r	R _m	ET _{o_r}	ET _{o_m}	ΔET _o			
2017-10-01	1,3	3,52	9,8	12,19	61	53,23	94	88,66	2,42	0,97	101,12	101,22	0	0	1,26	1,18	-0,08			
2017-10-02	1,6	3,31	12,9	13,15	56	51,8	94	88	2,83	7,51	100,59	100,7	0	0	1,61	2,48	0,87			
2017-10-03	8	8,9	10,8	10,04	75	68,52	97	98,28	2,33	9,27	99,51	99,64	13	5,11	0,96	1,38	0,42			
2017-10-04	9,4	7,54	11,9	11	77	79,7	97	96,89	2,71	3,6	99,52	99,69	4,1	1,29	0,98	0,96	-0,02			
2017-10-05	7,3	7,87	10,2	10,7	77	77,3	97	96	3,08	4,65	98,14	98,27	5,3	12,33	0,93	1,05	0,12			
2017-10-06	6	5,52	11,6	9,91	66	78,7	95	94,7	2,75	4,49	98,25	98,31	26,4	8,88	1,21	0,99	-0,22			
2017-10-07	4,2	4,73	11,5	9,4	73	82,56	98	96,64	2,33	3,77	99,27	99,37	0,2	0,3	0,99	0,82	-0,17			
2017-10-08	2,5	4,62	9,8	9,84	91	87,02	97	94,6	2,17	8,46	98,84	98,95	9	3,93	0,64	0,82	0,18			
2017-10-09	1,6	2,91	7,6	8,77	85	75,4	98	94,6	2,63	2,8	98,78	98,97	9	2,3	0,64	0,88	0,24			
2017-10-10	6,1	5,05	9	8,66	80	80,5	90	90,2	3,38	2,78	99,06	99,24	0,5	0,44	0,9	0,83	-0,07			
2017-10-11	5,7	4,88	12,9	12,25	78	85,44	97	96,8	2,75	3,42	99,26	99,41	17	6,13	0,94	0,8	-0,14			
2017-10-12	9,5	9,93	14	13,92	74	74,52	97	96,3	3,21	3,52	99,32	99,46	3,2	2,73	1,09	1,11	0,02			
2017-10-13	8,2	7,95	9,8	10,09	75	74,48	92	85,35	4,58	5,2	99,54	99,7	2,3	2,27	1,07	1,28	0,21			
2017-10-14	5,4	4,76	14,8	14,08	89	90,7	97	95,7	3,13	2,46	100,15	100,27	7	1,79	0,74	0,68	-0,06			
2017-10-15	7,8	9,02	15,6	16,05	66	75,67	96	94,3	3,04	3,2	100,31	100,47	2,8	1,68	1,3	1,14	-0,16			
2017-10-16	4	8,76	19,8	19,36	70	69,36	99	97,63	1,75	2,34	100,4	100,5	0	0	1,12	1,25	0,13			
2017-10-17	12	11,09	15,5	18,85	87	70	97	97,1	1,54	2,22	100,3	100,41	0	0	0,69	1,17	0,48			
2017-10-18	6,9	10,79	17,1	18,52	53	62,99	97	90,5	1,42	1,63	99,78	99,88	0	0	1,1	1,17	0,07			
2017-10-19	5,4	8,8	14,4	14,55	70	67,95	98	94,8	1,42	0,47	99,97	100,04	0	0	0,78	0,61	-0,17			
2017-10-20	6	7,15	10,8	13,29	84	65,5	98	96,21	1,75	0,68	100,16	100,31	0	0	0,56	0,62	0,06			
2017-10-21	5,7	6,82	10,1	10,22	90	88,74	96	96,8	1,96	0,38	99,8	99,93	6	2,75	0,49	0,44	-0,05			
2017-10-22	4,4	4,25	5,6	7,76	80	68,24	91	89,51	2,96	2,65	99,93	100,08	0,2	0,54	0,67	0,86	0,19			
2017-10-23	3,7	4,85	5,3	6,72	81	73,6	96	88,5	2,29	1,05	99,75	99,86	1,3	0,86	0,53	0,57	0,04			
2017-10-24	2,2	1,14	5	6,35	76	57,3	92	83,5	2,08	0,68	100,75	100,92	0	0	0,58	0,5	-0,08			
2017-10-25	2,7	1,64	8,4	7,37	84	72,33	97	94,05	3,08	9,37	100,38	100,57	2	4	0,51	1,07	0,56			
2017-10-26	8,8	7,82	11,7	10,64	76	81,1	97	93,6	3,63	2,25	99,58	99,79	9	1,53	0,84	0,64	-0,2			
2017-10-27	4,8	4,82	10,5	9,7	83	78,9	96	97,3	2,21	3,75	99	99,11	15,4	3,02	0,51	0,67	0,16			
2017-10-28	3,3	2,72	8,1	7,97	87	83,1	96	96,2	3,21	3,77	98,3	98,46	8,2	4,03	0,45	0,54	0,09			
2017-10-29	3,6	4,59	7,8	7,96	75	74,06	95	90,3	4,21	17,02	96,26	96,32	23	11,12	0,75	1,33	0,58			
2017-10-30	2	3,26	4,4	5,46	80	71,42	92	79,4	5,25	19,6	97,89	97,97	3,3	5,38	0,66	1,61	0,95			
2017-10-31	1	2,23	5	5,03	70	66,1	93	81,4	4,21	8,72	99,36	99,52	3	2,6	0,76	1,36	0,6			
													Σ	171,2	85,01	26,26	30,81	4,55		

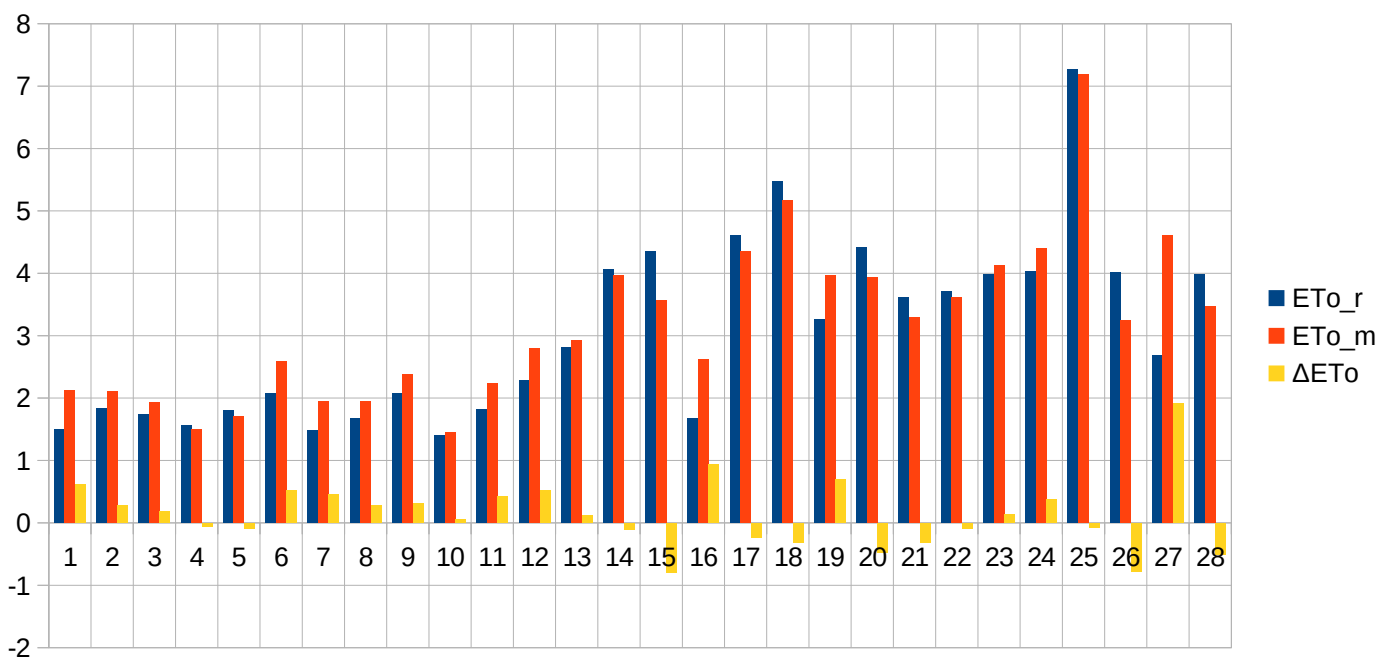


III.1.2. Okres wegetacyjny 2017 roku. Gdynia.

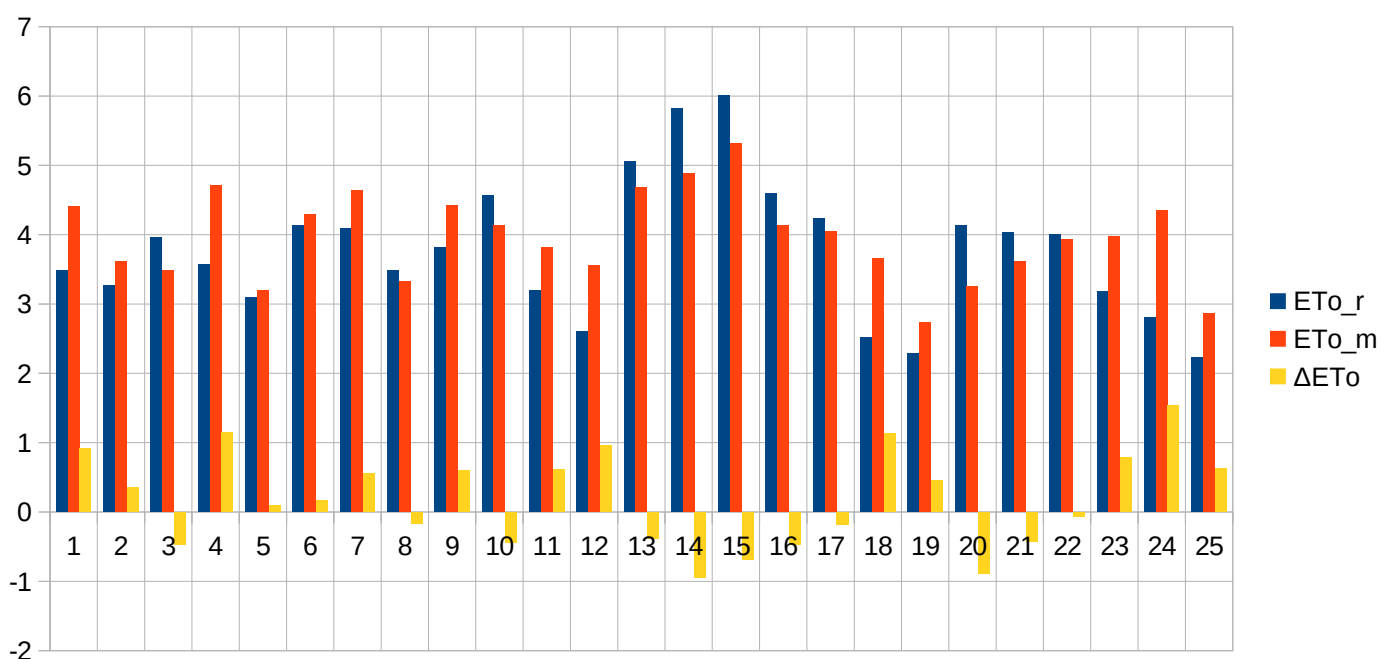
Data	T _{min_r}	T _{min_m}	T _{max_r}	T _{max_m}	RH _{min_r}	RH _{min_m}	Rh _{max_r}	RH _{max_m}	V _r	V _m	P _r	P _m	R _r	R _m	ET _{o_r}	ET _{o_m}	ΔET _o			
2017-04-01	9,1	9,65	22,4	21,05	36	49,1	90	94,2	3,25	2,68	100,67	100,75	0	2,06	3,8	2,96	-0,84			
2017-04-02	4,9	7,45	12,8	15,45	74	74,1	100	96,2	2,38	1,48	100,96	100,93	0	4,35	1,56	1,72	0,16			
2017-04-03	4,5	5,25	13,7	11,55	73	77,1	100	98,8	3,42	0,97	101,8	101,81	0	0,06	1,72	1,38	-0,34			
2017-04-04	3,9	3,05	6,8	14,15	98	63,1	100	96,8	1,42	0,45	102,07	102,01	0	0	0,82	1,75	0,93			
2017-04-05	4,2	6,05	10,3	11,35	68	61,4	100	95	2,58	1,21	75,81	101,04	0	3,67	1,63	1,54	-0,09			
2017-04-06	4,4	3,75	8,2	7,45	55	59,7	94	90,2	5,5	5,79	100,7	100,66	0	1,35	1,82	1,73	-0,09			
2017-04-07	4,7	4,55	8,6	8,65	74	79,4	100	98,3	2,63	1,05	100,66	100,65	0	1,26	1,25	1,2	-0,05			
2017-04-08	4,3	3,95	10,7	13,35	44	52	100	97,9	3,08	0,75	97,24	101,49	0	0	2,09	1,87	-0,22			
2017-04-09	8,3	6,85	14,2	12,75	52	56,5	85	89,8	5,21	1,41	101,65	101,75	0	0,04	2,78	1,86	-0,92			
2017-04-10	7,2	6,75	20,6	19,75	40	42,7	78	91,6	7,21	4,25	100,63	100,74	0	0	4,92	3,76	-1,16			
2017-04-11	4,2	4,15	8,5	8,15	55	48,3	80	77,7	9,33	2,74	100,61	100,67	0	0,8	2,42	1,96	-0,46			
2017-04-12	4,1	3,65	8,9	7,85	78	79,3	95	91,7	5,63	2,91	91,78	100,08	0	3,66	1,41	1,31	-0,1			
2017-04-13	3,9	3,25	8,9	7,35	82	80,7	99	97	1,88	1,71	58,27	99,71	0	4,24	1,64	1,22	-0,42			
2017-04-14	4,7	4,45	8,7	7,95	58	60,3	99	93	6,63	2,28	100,07	100,12	0	2,12	1,83	1,54	-0,29			
2017-04-15	2,8	4,05	7,5	6,75	63	87,9	97	96,3	3,67	0,99	100,03	100,07	0	9,35	1,58	1,09	-0,49			
2017-04-16	0,5	-0,55	4,1	4,45	57	61,2	98	92,4	4	3,38	96,42	100,54	0	6,27	1,41	1,46	0,05			
2017-04-17	-2	-1,65	4,1	4,05	62	56,5	90	82,9	3,5	0,33	101,25	101,27	0	0,1	1,49	1,32	-0,17			
2017-04-18	2,4	0,25	4,4	4,05	50	47,8	72	74,8	5	2,12	97,73	101,98	0	0,06	1,95	1,63	-0,32			
2017-04-19	1,8	-0,15	4,4	3,75	53	51,9	74	70	4,21	2,08	102,7	102,72	0	0,29	1,82	1,61	-0,21			
2017-04-20	0	-0,45	5,7	8,15	51	37	72	79,4	3,04	1,38	102,59	102,66	0	0	1,96	2,08	0,12			
2017-04-21	4,7	3,05	11,5	9,25	63	78,7	94	93,5	9,75	2,72	100,92	101,12	0	5,29	2,3	1,59	-0,71			
2017-04-22	4,2	3,15	8,6	8,35	52	48,7	86	86,5	9,13	3,51	96,02	100,27	0	2,72	2,46	2,15	-0,31			
2017-04-23	1,8	2,85	9,8	9,05	37	42,3	91	82,3	4,67	2,47	96,4	100,66	0	2,97	2,76	2,28	-0,48			
2017-04-24	2,3	2,25	8,2	7,95	53	52,5	87	85,7	5,88	4,02	100,5	100,55	0	2,34	2,26	2,14	-0,12			
2017-04-25	2,2	3,05	7,1	5,93	85	86	97	96,2	3,04	0,97	99,74	99,77	0	10,25	1,3	1,21	-0,09			
2017-04-26	1,9	1,35	9,6	8,45	50	54,3	98	92,8	4,54	1,19	96,2	100,43	0	0,52	2,34	1,92	-0,42			
2017-04-27	1	1,55	8,6	9,65	64	51,3	97	92,6	2,54	0,47	100,84	100,87	0	2,72	1,89	1,99	0,1			
2017-04-28	-0,6	0,85	7,8	8,15	75	65,9	98	92,6	2,42	1,26	96,73	100,94	0	0,82	1,74	1,85	0,11			
2017-04-29	4	2,65	6,7	6,55	74	72,8	94	95,1	4,38	4,93	100,88	100,85	0	3,82	1,38	1,45	0,07			
2017-04-30	0,6	1,85	8,1	8,35	44	46,6	97	88	3	1,4	101,86	101,9	0	0,02	2,23	2,06	-0,17			
															Σ	0	71,15	60,56	53,63	-6,93



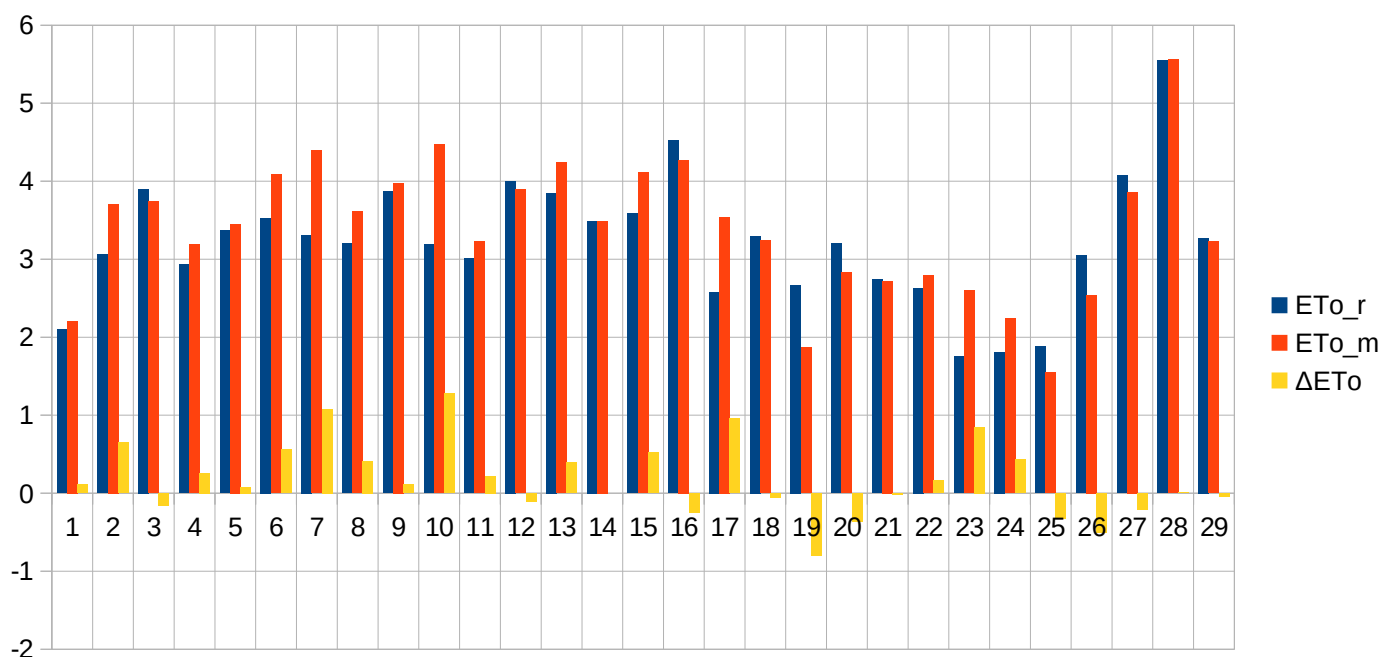
Data	T _{min_r}	T _{min_m}	T _{max_r}	T _{max_m}	RH _{min_r}	RH _{min_m}	Rh _{max_r}	RH _{max_m}	V _r	V _m	P _r	P _m	R _r	R _m	ET _{o_r}	ET _{o_m}	ΔET _o			
2017-05-01	4,3	1,55	6,6	9,65	70	55,6	87	83	3,09	0,77	101,96	101,95	0	0	1,5	2,12	0,62			
2017-05-02	5,6	4,45	8,9	10,15	68	56,4	88	80,6	4,3	1,25	102,03	102,06	0	0	1,83	2,11	0,28			
2017-05-03	4,9	6,75	9,3	10,65	73	60,9	93	88,5	2,78	1,4	102,13	102,14	0	0,02	1,74	1,93	0,19			
2017-05-04	7,3	8,15	9,5	10,45	74	76,4	94	95,9	4,67	0,99	101,79	101,74	0	9,2	1,56	1,5	-0,06			
2017-05-05	6,1	7,75	11,5	11,45	82	90,5	95	98,3	3,17	0,56	101,52	101,49	0	11,47	1,8	1,71	-0,09			
2017-05-06	6,9	7,55	11,8	14,75	66	58,7	98	97,6	2,67	1,72	101,03	101,01	0	0,02	2,07	2,59	0,52			
2017-05-07	5	5,75	8	9,65	78	63,5	93	97,5	4,14	5,35	100,52	100,48	0	12,92	1,49	1,95	0,46			
2017-05-08	3,6	3,85	6,9	6,65	70	59,6	89	89,4	4,61	8,79	100,79	100,79	0	0,99	1,67	1,95	0,28			
2017-05-09	0,5	1,45	5,1	4,75	42	45,6	92	71,1	4,21	6,42	101,04	101,07	0	1,03	2,07	2,38	0,31			
2017-05-10	0,3	0,75	3,4	4,35	62	67,6	99	97,7	4,56	1,25	100,37	100,44	0	4,6	1,4	1,45	0,05			
2017-05-11	1,4	-0,35	7,5	8,35	70	47,8	94	91	4	0,72	100,48	100,54	0	0,06	1,82	2,24	0,42			
2017-05-12	4,6	2,85	11,3	13,45	66	53,4	95	90,1	3,17	0,83	100,57	100,59	0	0	2,28	2,8	0,52			
2017-05-13	5,2	6,55	13,9	16,15	59	54,4	92	96,4	2,21	0,42	100,95	100,93	0	0	2,81	2,93	0,12			
2017-05-14	5,8	7,85	19,4	21,85	52	34,8	87	94,9	3,13	0,76	101,37	101,47	0	0,06	4,07	3,97	-0,1			
2017-05-15	10,7	9,85	19,6	18,85	45	44,3	86	95,2	4,54	1,8	101,91	101,97	0	2,2	4,35	3,56	-0,79			
2017-05-16	8	7,45	11,2	14,65	84	57	95	96,2	2,36	0,33	102,44	102,44	0	0	1,68	2,62	0,94			
2017-05-17	10,3	8,55	21,4	21,95	47	43,5	74	81,8	3,08	1,64	102,07	102,08	0	0	4,6	4,36	-0,24			
2017-05-18	14,7	12,35	23,1	23,55	39	37,1	73	82,8	4,5	3,15	101,3	101,3	0	0	5,47	5,16	-0,31			
2017-05-22	10,4	7,35	16,5	18,45	61	43,1	81	91,1	3,59	2,32	101,44	101,56	0	0	3,27	3,96	0,69			
2017-05-23	10,2	7,75	18,8	18,95	44	40,2	76	80,1	3,94	1,44	101,05	101,09	0	0	4,41	3,94	-0,47			
2017-05-24	9	8,55	18,3	17,55	61	60,3	86	87,1	2,95	1,08	100,85	100,81	0	1,08	3,61	3,3	-0,31			
2017-05-25	7,3	7,75	18	18,25	57	49,8	95	88,4	3,93	1,21	101,12	101,16	0	0,04	3,71	3,62	-0,09			
2017-05-26	10	9,75	19,7	19,15	53	48,2	100	95,7	4,42	4,32	101,27	101,3	0	0,03	3,99	4,12	0,13			
2017-05-27	7,6	8,54	18,4	23,35	36	31,8	100	95,4	2,21	0,58	101,83	101,85	0	0	4,03	4,4	0,37			
2017-05-28	12,9	13,92	27,9	27,05	32	27,3	75	73,1	4,46	4,42	101,34	101,47	0	0	7,27	7,19	-0,08			
2017-05-29	12,4	12,25	21	19,35	58	67,5	97	96,9	4,67	1,51	100,71	100,74	0	0,28	4,02	3,24	-0,78			
2017-05-30	12,4	8,94	17,5	24,65	73	49,3	99	98,7	2,59	0,41	100,72	100,61	0	0,76	2,69	4,61	1,92			
2017-05-31	15,3	12,75	18,3	18,25	53	46,3	91	93,8	11,21	2,48	100,47	100,53	0	0,77	3,98	3,47	-0,51			
															Σ	0	45,53	85,19	89,18	3,99



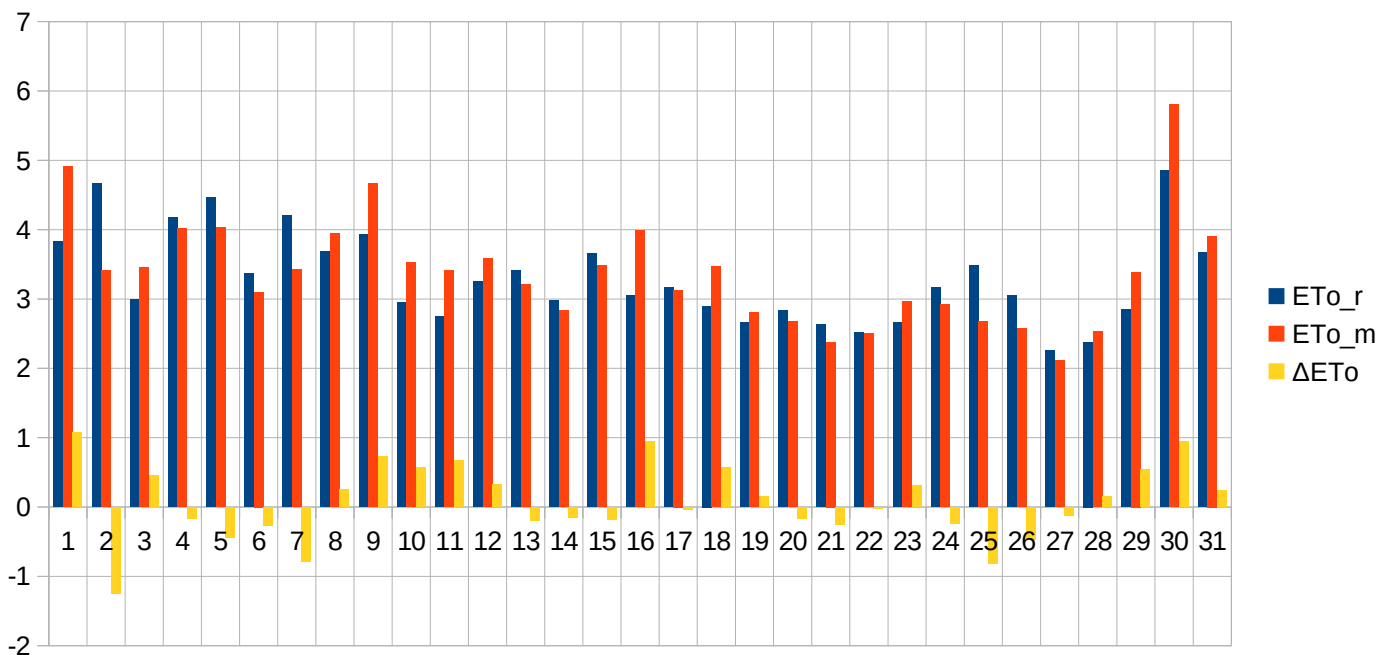
Data	T _{min_r}	T _{min_m}	T _{max_r}	T _{max_m}	RH _{min_r}	RH _{min_m}	Rh _{max_r}	RH _{max_m}	V _r	V _m	P _r	P _m	R _r	R _m	ET _{o_r}	ET _{o_m}	ΔET _o
2017-06-06	12	9,85	18,8	21,05	69	45,8	85	86,8	4,7	1,9	100,46	100,58	0	0,25	3,49	4,4	0,91
2017-06-07	12,2	11,35	17,4	18,05	57	52,9	98	97,5	4,65	4,16	100,27	100,39	0	9,34	3,27	3,62	0,35
2017-06-08	11,7	10,55	18,2	17,85	49	52,3	84	88,4	3,75	1,65	101,08	101,14	0	3,22	3,96	3,49	-0,47
2017-06-09	10,8	11,25	19	23,25	67	45,9	90	88,2	3,65	1,64	101,07	101,09	0	0,04	3,57	4,71	1,14
2017-06-10	12,7	12,05	18,3	18,05	71	61,7	92	95,1	4,25	1,93	101,14	101,11	0	3,49	3,09	3,19	0,1
2017-06-11	11,5	11,05	19,7	21,65	54	45,1	89	85,2	4,04	1,25	101,24	101,29	0	0	4,13	4,29	0,16
2017-06-12	14,5	13,45	20,2	20,85	57	42,2	93	95,1	7,74	4,77	100,13	100,15	0	5,18	4,09	4,64	0,55
2017-06-13	13,4	12,75	17,4	17,25	63	56,8	88	80,2	9,83	2,76	100,11	100,15	0	0,63	3,49	3,33	-0,16
2017-06-14	12,4	12,15	19,3	19,25	58	36,8	97	91,3	6,75	3,73	100,85	100,87	0	0,11	3,82	4,42	0,6
2017-06-15	12,4	12,15	21,9	21,05	55	46,1	90	87,3	4,29	1,52	101,06	101,13	0	0	4,57	4,13	-0,44
2017-06-16	12,6	12,25	18,2	18,95	65	50,4	96	86,7	4,21	2,53	100,44	100,47	0	0,59	3,2	3,81	0,61
2017-06-17	11,5	11,15	16,5	19,35	78	62,9	96	97,7	2,75	1,69	100,91	100,86	0	0,51	2,6	3,56	0,96
2017-06-18	9,3	11,15	23,1	23,15	52	44,1	100	96,5	4,77	1,57	101,53	101,56	0	0	5,06	4,68	-0,38
2017-06-19	16,7	15,85	26	25,35	49	44,5	93	88,8	6,6	1,88	101,33	101,44	0	0	5,82	4,88	-0,94
2017-06-20	12,9	13,75	24,6	24,05	51	38,3	79	89,4	6,75	3,06	100,73	100,79	0	0,92	6,01	5,32	-0,69
2017-06-21	11,3	11,95	19,3	18,95	47	44,7	89	81,9	6,42	2,93	100,87	100,93	0	0	4,6	4,13	-0,47
2017-06-22	11,2	11,85	20,6	20,85	56	45,9	93	87,5	3,86	1,24	100,64	100,68	0	0,01	4,23	4,05	-0,18
2017-06-23	13,6	13,45	17,8	21,25	83	54,7	97	94,7	2,17	0,46	100,09	100,07	0	2,72	2,52	3,65	1,13
2017-06-24	15,2	13,95	18,6	18,45	82	77,5	98	96,1	6,38	1,85	100,21	100,27	0	5,08	2,28	2,74	0,46
2017-06-25	13,5	13,75	21,7	19,45	65	68	91	90,6	6,29	2,01	100,1	100,17	0	1,9	4,14	3,26	-0,88
2017-06-26	12,8	12,95	18,1	18,35	50	45,8	90	81,1	6,5	2	100,15	100,18	0	0,54	4,03	3,61	-0,42
2017-06-27	10,7	9,75	18,7	19,35	55	47	89	91,4	4,58	1,42	100,64	100,68	0	0,1	4	3,93	-0,07
2017-06-28	12,1	11,15	18,5	21,15	74	56,7	89	94,9	4,33	0,97	100,21	100,21	0	4,16	3,18	3,97	0,79
2017-06-29	16,9	16,45	21,5	25,55	81	59,1	99	98,8	4,17	1,07	99,04	98,98	0	20,28	2,81	4,35	1,54
2017-06-30	15,3	14,25	19,3	19,15	87	75,9	100	97,2	5	3,1	98,68	98,79	0	7,51	2,23	2,86	0,63
Σ													0	66,58	94,19	99,02	4,83



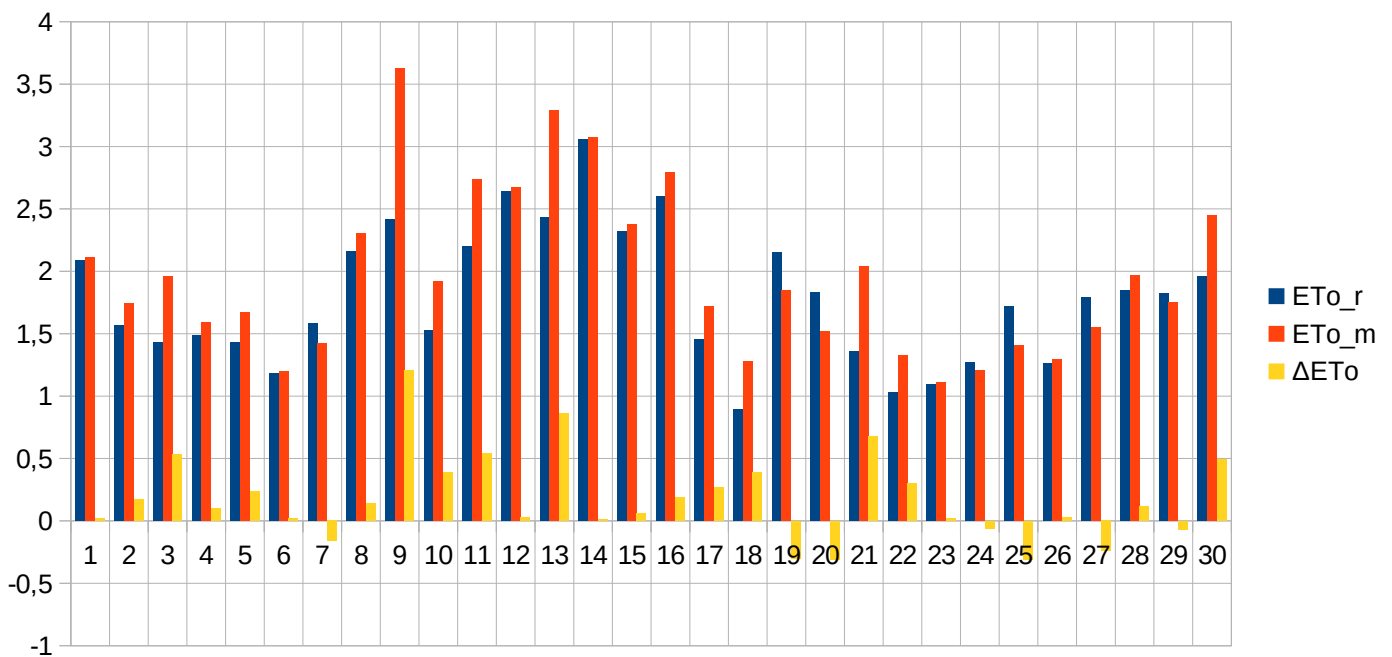
Data	T _{min_r}	T _{min_m}	T _{max_r}	T _{max_m}	RH _{min_r}	RH _{min_m}	Rh _{max_r}	RH _{max_m}	V _r	V _m	P _r	P _m	R _r	R _m	ET _{o_r}	ET _{o_m}	ΔET _o			
2017-07-01	13,2	13,25	16,5	16,15	81	77,4	98	97,5	7,04	2,77	99,45	99,53	0	7,7	2,1	2,21	0,11			
2017-07-02	12,8	12,95	18	19,45	67	54	98	97,1	7,21	3,54	100,11	100,16	0	1,22	3,06	3,71	0,65			
2017-07-03	12,4	11,75	18,4	18,35	56	51	91	80,2	7,5	2,39	100,82	100,89	0	0,09	3,9	3,74	-0,16			
2017-07-04	12,4	13,15	16,7	16,95	68	52,4	92	88,7	6,75	3,15	100,76	100,79	0	0,83	2,93	3,19	0,26			
2017-07-05	10,8	10,85	17,1	17,95	59	52,2	94	88,4	4,83	1,61	101,1	101,15	0	2,6	3,37	3,45	0,08			
2017-07-06	9,5	8,95	18,4	20,05	63	44,6	95	94	3,17	1,41	101,38	101,42	0	0,37	3,53	4,09	0,56			
2017-07-07	10,9	10,45	18,4	22,55	70	39,2	89	94	2,65	0,97	101,13	101,17	0	0,06	3,31	4,39	1,08			
2017-07-08	14	10,05	19,8	19,75	69	69,1	95	93,4	2,88	1,8	100,67	100,67	0	5,13	3,2	3,61	0,41			
2017-07-09	11,4	8,45	20	20,05	60	50,8	95	95,4	4,63	1,21	100,81	100,82	0	0,1	3,87	3,98	0,11			
2017-07-10	9,7	8,85	19,5	22,75	80	50,3	100	96	3	1,15	100,54	100,56	0	5,72	3,19	4,47	1,28			
2017-07-11	15	14,75	19,1	20,25	66	60,7	97	97,4	4,78	1,68	100,12	100,19	0	0,89	3,01	3,23	0,22			
2017-07-12	14,4	14,65	22,4	22,75	58	50,4	100	98,1	3,42	1,22	100,21	100,27	0	11,66	4	3,89	-0,11			
2017-07-13	13,7	13,45	19,3	19,35	50	43,3	99	97,6	5,92	6,18	100,58	100,52	0	10,25	3,85	4,24	0,39			
2017-07-14	10,8	8,95	17,9	18,25	55	50,7	95	92,7	3,5	0,98	100,99	101,01	0	0	3,49	3,49	0			
2017-07-15	9,3	7,15	19,2	20,85	62	42,4	97	93,5	2,25	0,82	101,24	101,25	0	0,3	3,59	4,11	0,52			
2017-07-16	11,7	11,55	21,7	22,65	49	37,7	92	93,8	3,75	1,17	101,44	101,49	0	1,51	4,52	4,27	-0,25			
2017-07-17	15	13,65	17,5	19,55	66	47,2	97	96	5,22	2,44	101,01	101,21	0	1,89	2,58	3,54	0,96			
2017-07-20	15,6	12,94	20,7	20,06	68	61,2	91	94,8	4,2	0,9	100,8	100,87	0	0	3,3	3,24	-0,06			
2017-07-21	14,2	14,61	18,1	16,39	71	73,7	96	94,01	5,08	0,83	100,92	100,89	9	2,68	2,67	1,87	-0,8			
2017-07-22	13,5	16,05	20,2	20,38	69	57,5	96	79,9	3,17	0,64	101,27	101,29	0	0	3,2	2,83	-0,37			
2017-07-23	14	15,35	19,7	19,95	78	73,4	98	93,08	3,15	0,9	100,89	100,95	0	0,54	2,74	2,72	-0,02			
2017-07-24	15	15,47	20,1	20,36	81	73,93	98	97,08	2,67	1,76	100,4	100,38	0	2,05	2,63	2,79	0,16			
2017-07-25	17	14,95	18,9	19,57	89	79,79	96	95,78	4,13	1,39	99,83	99,78	0	0,23	1,75	2,6	0,85			
2017-07-26	16,8	16,05	18,8	19,33	84	86,96	100	98,4	4,04	0,88	99,39	99,47	26	7,93	1,81	2,24	0,43			
2017-07-27	14,1	15,39	17,5	16,85	87	88,9	100	98,29	4,12	1,75	99,72	99,77	25	9,5	1,88	1,55	-0,33			
2017-07-28	13,7	14,12	20,2	19,12	68	80,53	99	96,69	2,58	1,75	100,27	100,26	10,5	17,01	3,05	2,54	-0,51			
2017-07-29	13,4	13,11	22,1	22,96	52	47,5	95	91,5	3,42	1,2	100,77	100,81	0	0,4	4,07	3,86	-0,21			
2017-07-30	15,5	15,23	29	28,45	47	50,2	98	93,63	3,17	3,78	100,6	100,71	1	4,86	5,55	5,56	0,01			
2017-07-31	17,1	17,21	22,9	23,81	64	66,6	100	91,83	2,71	0,71	100,91	100,95	6	7,56	3,27	3,23	-0,04			
															Σ	77,5	103,08	93,42	98,64	5,22



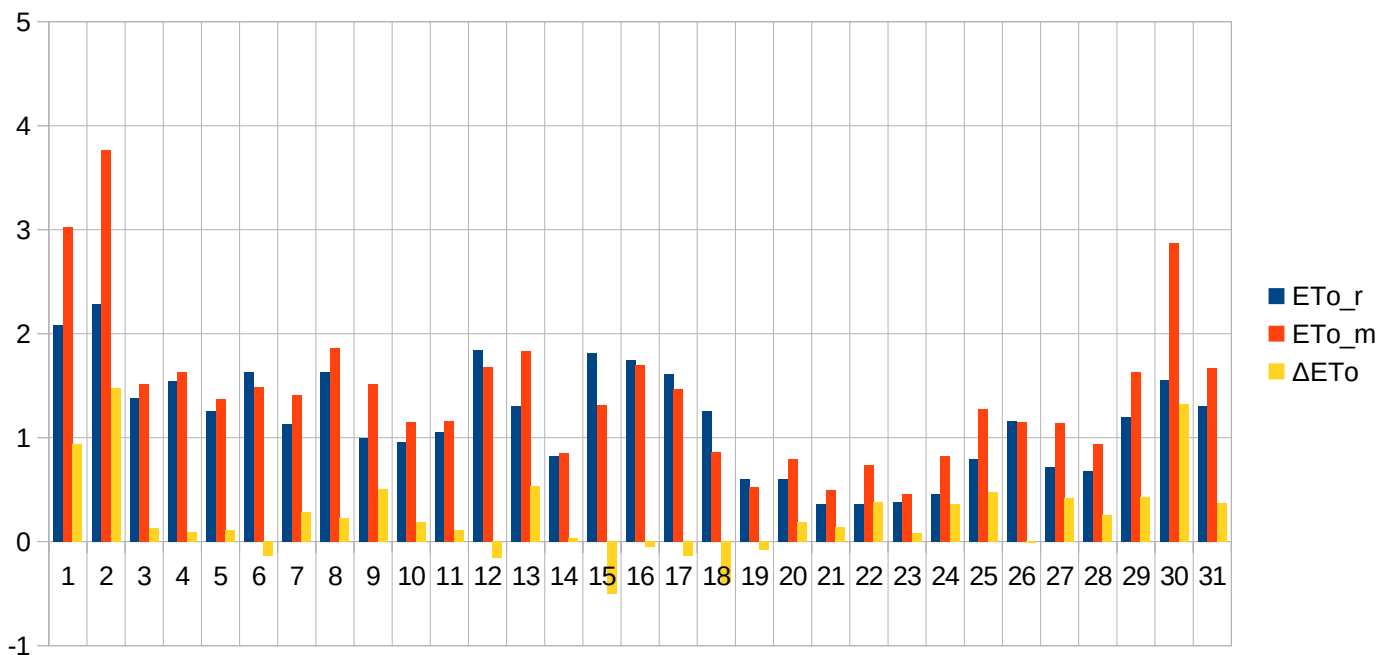
Data	T _{min_r}	T _{min_m}	T _{max_r}	T _{max_m}	RH _{min_r}	RH _{min_m}	Rh _{max_r}	RH _{max_m}	V _r	V _m	P _r	P _m	R _r	R _m	ET _{o_r}	ET _{o_m}	ΔET _o
2017-08-01	16,9	17,05	25,1	28,73	69	56,64	91	93,5	2,91	2,64	101,11	101,14	1	14,58	3,83	4,91	1,08
2017-08-02	14,9	16,34	23,6	23,05	49	52,94	86	94,6	4,21	1,38	101,03	101,11	0,2	5,94	4,66	3,41	-1,25
2017-08-03	15,7	16,16	21,4	22,5	70	68,01	98	89,1	3,42	3,64	100,68	100,72	4,4	3,49	2,99	3,45	0,46
2017-08-04	16,2	16,05	22,5	23,56	55	48,42	84	91,7	4,64	2,64	100,27	100,32	0	1,52	4,18	4,01	-0,17
2017-08-05	16,4	15,04	21,9	22,77	50	45,23	83	82,92	5,79	2,38	100,55	100,57	0	0,11	4,47	4,03	-0,44
2017-08-06	14	14,45	19,6	20,16	61	54	91	88,9	5,38	1,83	101,11	101,12	0,3	0,32	3,37	3,1	-0,27
2017-08-07	13,3	13,15	21,2	21,29	44	43,69	87	83,8	3,83	1,25	101,68	101,72	0	0	4,21	3,42	-0,79
2017-08-08	14	13,55	21,2	22,89	61	45,93	86	78,3	4,48	1,86	101,5	101,6	0	0	3,69	3,94	0,25
2017-08-09	15,5	16,45	24,6	25,65	62	55	92	87,6	3,38	4,47	101,16	101,2	0	3,79	3,93	4,66	0,73
2017-08-10	14,5	16,25	21,8	24,25	71	59,09	98	82,79	1,88	1,44	101,28	101,33	0	0	2,95	3,52	0,57
2017-08-11	13,1	16,15	21,5	25,05	83	63,04	99	84,4	2,35	0,82	100,96	101	0	0,59	2,74	3,41	0,67
2017-08-12	14,4	14,85	21,9	23,46	65	55,7	99	94,8	4,23	2,16	100,51	100,48	13	4,53	3,26	3,58	0,32
2017-08-13	13,3	14,05	19,7	19,85	60	53,7	91	81,8	5,71	2,41	101,01	101,03	0,4	0,21	3,41	3,21	-0,2
2017-08-14	11,4	12,85	18,6	18,95	60	52,57	92	81	3	1,37	101,89	101,9	0	0	2,98	2,83	-0,15
2017-08-15	12,9	12,25	20,3	21,45	53	46,52	83	80,23	3,71	1,67	101,88	101,93	0	0	3,66	3,48	-0,18
2017-08-16	14,2	15,45	21,8	24,25	67	55,9	99	96,61	3,58	4,37	101,35	101,38	5,1	8,87	3,05	3,99	0,94
2017-08-17	15,4	14,72	21,3	23,44	56	53,01	99	95,66	3,58	0,96	101,46	101,47	12	0,15	3,17	3,13	-0,04
2017-08-18	16,9	16,99	23,1	24,4	71	63,1	96	87,1	3,04	2,66	100,88	100,92	0,3	8,96	2,9	3,47	0,57
2017-08-19	13,9	15,15	20,5	20,65	71	61,6	99	92,3	3,83	2,43	100,74	100,82	5,3	9,54	2,66	2,81	0,15
2017-08-20	13,2	13,55	19,6	19,75	59	54,3	97	82,46	2,88	1,19	101,21	101,23	0,2	4,55	2,83	2,67	-0,16
2017-08-21	11,4	12,15	17,8	17,85	63	63,5	96	93,21	3,58	1,71	101	101,04	0,9	5,29	2,63	2,38	-0,25
2017-08-22	10,9	11,66	18,2	18,61	67	62,83	98	95,8	3,05	1,68	100,99	101	0,2	4,74	2,52	2,5	-0,02
2017-08-23	11,8	13,27	18,5	18,35	62	56,77	97	90,88	3,33	4,47	101,1	101,08	0	0,77	2,66	2,97	0,31
2017-08-24	11	12,85	19,6	21,12	53	43,63	93	82,28	3,17	1,14	100,96	100,97	0	0	3,16	2,92	-0,24
2017-08-25	15,2	15,19	21	20,39	59	59,99	89	87,3	6	2,18	100,91	100,94	0	0,45	3,49	2,68	-0,81
2017-08-26	13,5	14,55	21	21,05	60	56,4	94	90,2	3,58	1,22	101,19	101,21	0	0	3,05	2,58	-0,47
2017-08-27	13,2	13,85	18,8	19,15	68	73,02	99	94,05	2,42	1,39	100,77	100,8	18	16,9	2,25	2,12	-0,13
2017-08-28	10,8	12,12	17,4	18,15	63	61,1	98	92,1	3,04	2,87	101,35	101,34	0,1	0,11	2,38	2,53	0,15
2017-08-29	9,4	11,07	20,3	21,37	66	51,18	93	89,4	3,16	3,02	101,46	101,43	0	0	2,85	3,39	0,54
2017-08-30	15,6	15,51	25,5	25,05	48	43,5	75	71,3	4,8	7,13	100,85	100,94	0	0	4,85	5,8	0,95
2017-08-31	15,5	17,47	26,5	25,13	63	59,41	100	91,57	4,39	5,78	100,5	100,58	6	3,78	3,67	3,91	0,24
Σ													67,4	99,19	102,45	104,81	2,36



Data	T _{min_r}	T _{min_m}	T _{max_r}	T _{max_m}	RH _{min_r}	RH _{min_m}	Rh _{max_r}	RH _{max_m}	V _r	V _m	P _r	P _m	R _r	R _m	ET _{o_r}	ET _{o_m}	ΔET _o			
2017-09-01	13	12,8	17,2	16,05	67	65,59	96	87,8	3,29	3,22	101,22	101,22	2,8	6,27	2,09	2,11	0,02			
2017-09-02	12,3	12,35	15,1	14,77	77	81,5	98	89,45	4,25	8,54	100,93	100,89	17	14,82	1,57	1,74	0,17			
2017-09-03	13,2	12,79	16	16,03	84	73,71	97	90,44	4,79	4,77	100,52	100,52	4,8	1,52	1,43	1,96	0,53			
2017-09-04	14,2	13,95	17,5	17,25	84	82,44	99	92,9	4,38	2,16	100,24	100,35	2,6	3,52	1,49	1,59	0,1			
2017-09-05	15,7	14,85	17,9	18,85	82	78,3	99	96,66	3,25	1,09	100,8	100,82	0,4	0,86	1,43	1,67	0,24			
2017-09-06	12,9	12,55	15,5	14,85	88	89,4	100	95,8	3,17	0,42	100,58	100,55	4,9	11,23	1,18	1,2	0,02			
2017-09-07	11,9	11,88	14,3	14,14	72	64,64	97	96,7	4,08	1,43	99,98	99,9	7,6	47,63	1,58	1,42	-0,16			
2017-09-08	11,4	12,05	17,1	17,05	65	65,8	96	92,9	3,83	5,17	100,07	100,1	0,7	5,62	2,16	2,3	0,14			
2017-09-09	14,1	13,18	19,5	20,25	70	58,15	89	85,7	4,58	8,47	99,63	99,68	1	1,19	2,42	3,63	1,21			
2017-09-10	13,5	13,26	17,2	18,27	78	64,01	97	92,58	2,04	1,77	99,88	99,9	2,7	3,67	1,53	1,92	0,39			
2017-09-11	11,4	12,18	18,8	19,18	69	61,9	97	92,49	4,17	5,57	99,76	99,79	0	2,81	2,2	2,74	0,54			
2017-09-12	13,5	13,51	19,1	19,16	55	51,32	90	83,26	3,67	2,91	99,75	99,8	0,2	1,4	2,64	2,67	0,03			
2017-09-13	11,1	11,55	16,2	16,45	65	54,11	88	87,55	6,5	10,44	99,44	99,52	1	1,3	2,43	3,29	0,86			
2017-09-14	11,1	11,4	15,9	15,18	54	58,2	84	76,5	7,75	8,23	98,96	99,08	0,2	0	3,06	3,07	0,01			
2017-09-15	10,6	10,15	16,3	16,35	66	58,73	91	82,13	6,75	3,65	99,96	99,97	2	0,78	2,32	2,38	0,06			
2017-09-16	10,1	10,89	18,2	18,27	53	49,88	89	81,73	3,58	3,51	100,73	100,77	0	0,86	2,6	2,79	0,19			
2017-09-17	11,5	11,86	15,4	15,82	74	66,4	97	91,3	2,71	2,71	100,74	100,72	1,3	2,56	1,45	1,72	0,27			
2017-09-18	11,3	11,25	13,6	13,05	90	83,36	99	92,09	4,94	7,51	100,34	100,41	43	10,56	0,89	1,28	0,39			
2017-09-19	9,4	10,45	16,2	16,95	61	51,34	92	86,8	4,21	1,5	100,91	100,94	0,8	0,75	2,15	1,85	-0,3			
2017-09-20	8,2	9,65	16,2	17,24	57	55,7	98	87,11	2,26	0,72	101,21	101,2	0	1,14	1,83	1,52	-0,31			
2017-09-21	9,2	10,05	15,8	16,46	78	63,11	100	89,63	2,83	3,78	101,32	101,3	0	0,11	1,36	2,04	0,68			
2017-09-22	11,7	13,13	15,4	16,38	87	78,63	100	93,8	1,83	2,62	101,26	101,26	1,5	2,38	1,03	1,33	0,3			
2017-09-23	11,4	13,65	16,7	16,04	89	82,91	100	95,8	2,54	2,19	101,62	101,59	0,4	0,05	1,09	1,11	0,02			
2017-09-24	14	13,14	16,7	16,95	81	70,9	96	94,24	3,75	0,89	102,03	102	0	0	1,27	1,21	-0,06			
2017-09-25	14,2	12,96	16,7	17,05	77	61,7	86	77,22	4,79	0,99	102,28	102,24	0	0,14	1,72	1,41	-0,31			
2017-09-26	8,7	12,52	16,9	17,94	82	64,2	100	86,16	3,17	0,7	102,59	102,56	0,6	0,05	1,26	1,29	0,03			
2017-09-27	13,4	13,35	16,9	18,16	72	51,52	88	78,86	4,46	1,05	102,83	102,83	0	0	1,79	1,55	-0,24			
2017-09-28	11,9	11,8	16,3	17,39	71	53,07	84	75,51	4,25	2,08	102,87	102,88	0	0	1,85	1,97	0,12			
2017-09-29	7,6	9,96	14,4	14,9	57	51,17	96	78,2	3,92	2	102,6	102,61	0	0	1,82	1,75	-0,07			
2017-09-30	6,8	8,82	14,9	14,95	59	50,83	86	72,7	3,92	4,01	102,13	102,14	0	0	1,96	2,45	0,49			
															Σ	95,5	121,22	53,6	58,96	5,36

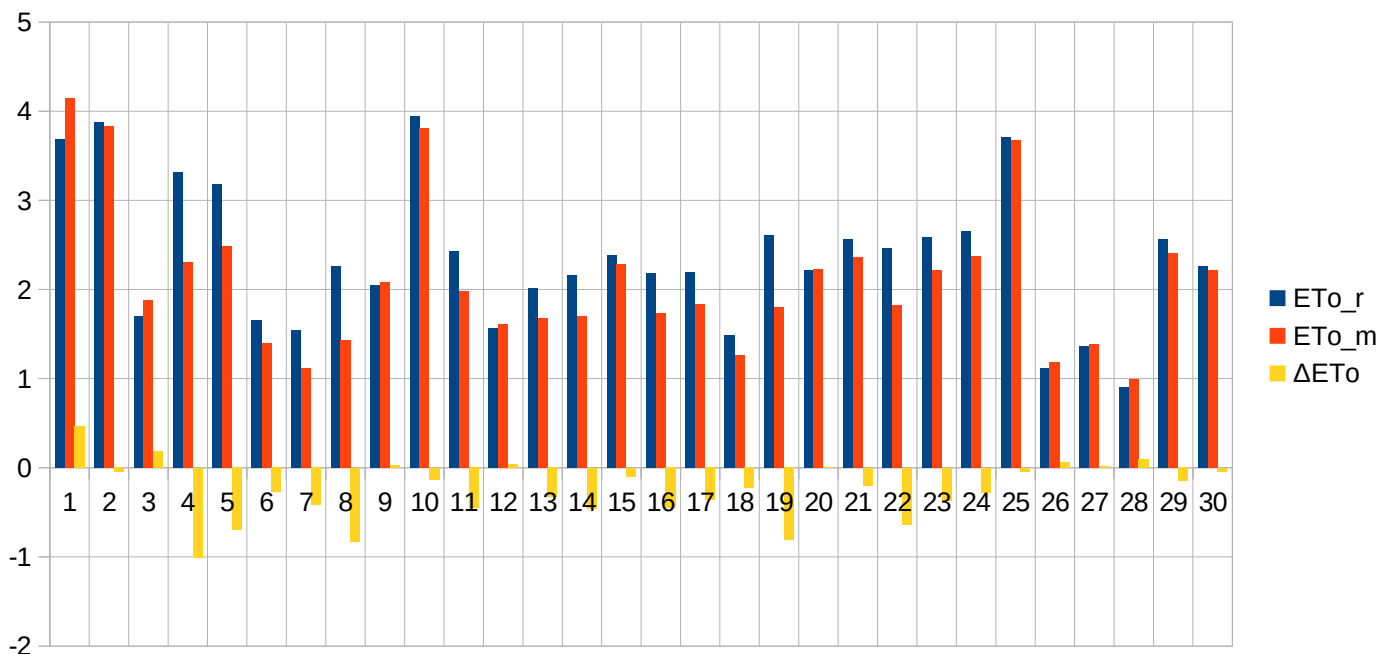


Data	T _{min_r}	T _{min_m}	T _{max_r}	T _{max_m}	RH _{min_r}	RH _{min_m}	Rh _{max_r}	RH _{max_m}	V _r	V _m	P _r	P _m	R _r	R _m	ET _{o_r}	ET _{o_m}	ΔET _o		
2017-10-01	6,6	8,33	15,1	14,85	55	46,43	90	75,56	4,33	6,43	101,97	102	0	0	2,08	3,02	0,94		
2017-10-02	7,1	9,2	16,2	16,5	57	47,7	92	86,06	5,77	14,07	101,14	101,16	0,2	4,13	2,29	3,77	1,48		
2017-10-03	11,6	11,52	14,2	14,65	72	66,6	96	88,92	5	3,23	100,35	100,39	2	2,03	1,38	1,51	0,13		
2017-10-04	8,2	10,23	12,4	11,92	73	70,2	92	81,8	8,43	4,98	100,16	100,44	0,4	1,61	1,54	1,63	0,09		
2017-10-05	7,9	8,91	11,8	12,07	73	66,55	96	85,8	5,75	3,12	99,12	99,16	7	2,39	1,26	1,37	0,11		
2017-10-06	7,6	9,38	14	13,58	64	58,7	96	82,4	5,17	2,41	99,64	99,66	0	0,22	1,63	1,49	-0,14		
2017-10-07	6,9	9,28	12,6	12,13	76	70,96	97	83,18	4,92	3,84	100,19	100,22	1,4	0,97	1,13	1,41	0,28		
2017-10-08	6	7,63	11	10,82	58	58,2	97	87,4	6,13	6,49	99,81	99,83	3,2	6,1	1,63	1,86	0,23		
2017-10-09	6,7	7,88	8,9	9,31	78	70	95	81,9	7,25	6	99,99	100,04	2,6	1,58	1	1,51	0,51		
2017-10-10	6,8	7,72	10,2	10,68	78	68,3	97	88,05	5,79	2,99	100,26	100,31	0,2	0,46	0,96	1,15	0,19		
2017-10-11	10,9	10,86	13,6	13,71	80	72,54	96	90,67	5,39	2,98	100,32	100,37	3,9	5,5	1,05	1,16	0,11		
2017-10-12	10,5	10,95	15,2	14,7	65	63,32	96	88,3	7,79	4,37	100,25	100,32	0,1	0,67	1,84	1,68	-0,16		
2017-10-13	7,7	9,78	11,8	12,37	72	59,57	96	91,15	7,29	6,56	101,05	101,09	1	0	1,3	1,83	0,53		
2017-10-14	9,7	9,81	15,7	15,98	89	85,1	97	93,48	7	2,74	101,37	101,42	0,4	0,39	0,82	0,85	0,03		
2017-10-15	10,9	12,85	15,9	16,25	57	62,28	99	92,5	5,25	2,5	101,7	101,76	1,3	0,29	1,81	1,31	-0,5		
2017-10-16	11,5	13,04	20,4	20,63	62	56,36	100	92,6	4	2,65	101,46	101,54	0,1	0	1,75	1,7	-0,05		
2017-10-17	11	12,07	20,4	20,55	64	57,5	99	95,3	3,63	2,26	101,3	101,39	0	0	1,61	1,47	-0,14		
2017-10-18	11,1	10,13	14,5	14,83	73	66,09	91	93,2	4,25	1,39	101,01	101,03	0	0	1,26	0,86	-0,4		
2017-10-19	10,9	9,52	12,1	12,04	88	82,65	98	96,04	3,38	0,7	101,3	101,3	0,4	0,16	0,6	0,52	-0,08		
2017-10-20	10,3	9,29	13,3	13,83	91	76,7	95	92,91	3,63	2,12	101,18	101,23	0	0	0,6	0,79	0,19		
2017-10-21	10,8	10,48	12,3	11,53	97	91,36	100	94,7	3,04	1,16	100,93	100,97	4	9,5	0,36	0,5	0,14		
2017-10-22	8,8	9,76	10,8	10,37	95	85,94	100	92,7	4,33	4,07	100,79	100,87	2	7,17	0,36	0,74	0,38		
2017-10-23	6,8	7,54	10,2	11,09	92	84	100	95,3	3,46	1,03	100,94	100,96	5,6	1,36	0,38	0,46	0,08		
2017-10-24	6,4	6,55	7,6	7,89	91	78,3	97	86,7	4,79	3,12	101,84	101,89	0,6	0,33	0,46	0,82	0,36		
2017-10-25	7,4	7,36	13,7	13,03	84	79,55	98	91,5	7,29	11,53	100,9	100,99	7,6	14,69	0,79	1,27	0,48		
2017-10-26	9,3	9,86	12,2	12,56	78	68,7	92	83,39	7,71	2,98	100,81	100,92	0,4	0,13	1,16	1,15	-0,01		
2017-10-27	6	6,94	10,4	10,22	75	72,2	99	86,9	3,74	5,01	100,5	100,51	5	2,27	0,72	1,14	0,42		
2017-10-28	6	6,71	10,4	10,32	85	72,8	96	84,2	7,42	3,18	99,29	99,39	3,8	2,62	0,68	0,94	0,26		
2017-10-29	4,3	5,48	8,9	7,91	61	60,8	99	98	6,48	19,27	98	97,97	11,2	21,05	1,2	1,63	0,43		
2017-10-30	3,7	4,44	5,9	5,91	54	56,1	85	60,1	7,04	22,04	100,12	100,07	1,8	2,55	1,55	2,87	1,32		
2017-10-31	1	3,54	7,8	7,5	53	52,9	90	74,9	5,04	5,52	101,04	101,1	0	0,17	1,3	1,67	0,37		
Σ															66,2	88,34	36,5	44,08	7,58

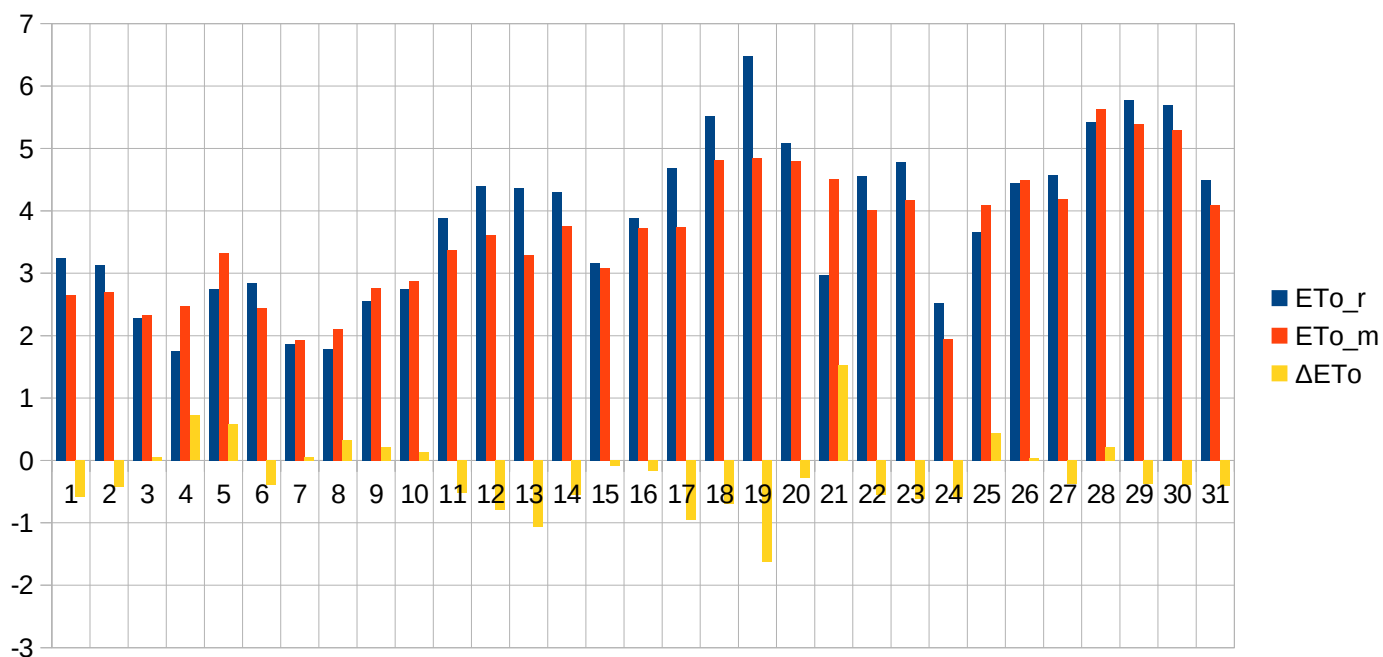


III.1.3. Okres wegetacyjny 2017 roku. Łódź.

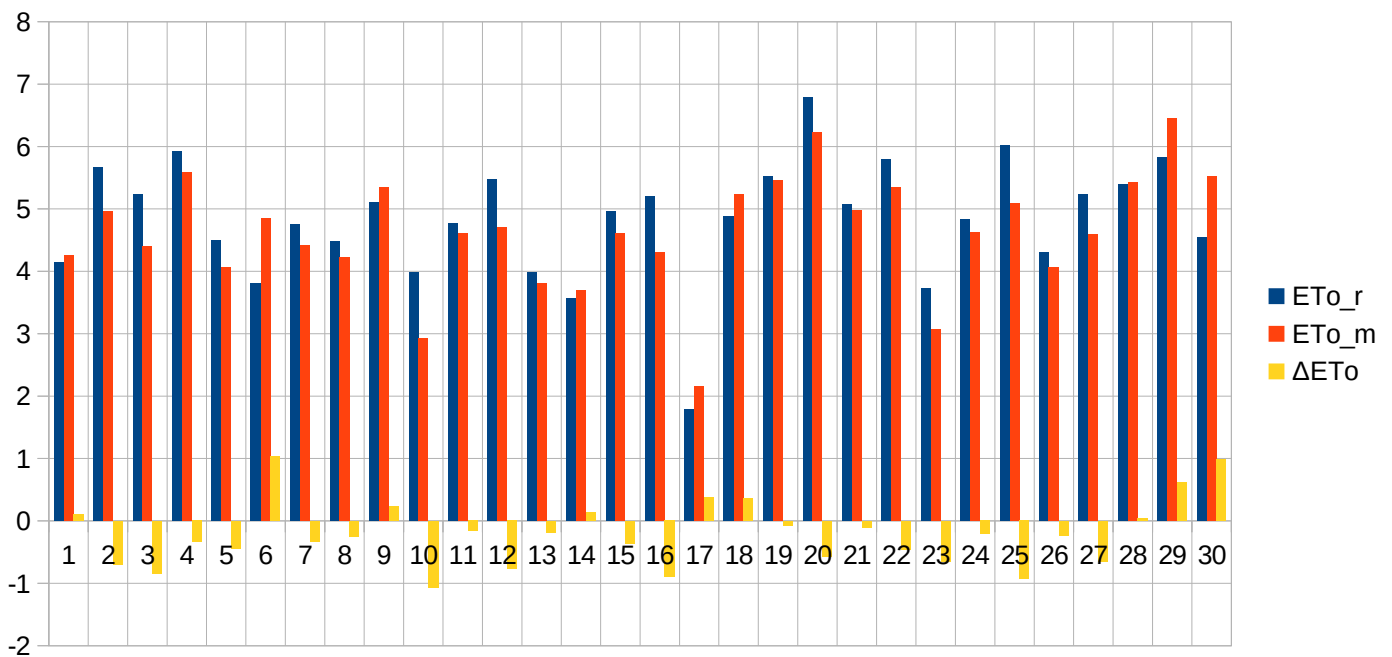
Data	T _{min_r}	T _{min_m}	T _{max_r}	T _{max_m}	RH _{min_r}	RH _{min_m}	Rh _{max_r}	RH _{max_m}	V _r	V _m	P _r	P _m	R _r	R _m	ET _{o_r}	ET _{o_m}	ΔET _o		
2017-04-01	7,3	9,15	22,3	20,95	35	38,6	85	83,1	2,42	4,55	99,33	99,8	0	0	3,68	4,15	0,47		
2017-04-02	6,1	10,25	22,1	21,65	40	40,9	90	88,8	3,25	3,72	99,38	99,79	0	0	3,88	3,83	-0,05		
2017-04-03	4,3	7,25	12,8	14,45	73	58,9	99	98,7	1,67	1,23	100,16	100,55	0,8	2,41	1,7	1,88	0,18		
2017-04-04	4,6	6,25	18,7	17,75	47	52,5	98	97,2	4,08	0,96	100,12	100,49	0	0	3,32	2,31	-1,01		
2017-04-05	4,2	7,85	19	18,75	46	49,5	94	95,6	2,71	1,1	99,5	99,89	0	10,1	3,18	2,48	-0,7		
2017-04-06	3,2	2,55	7,5	7,34	62	76,1	91	89,7	4,54	5,46	99,18	99,67	6,9	3,8	1,66	1,39	-0,27		
2017-04-07	2,7	2,35	8,8	6,75	68	86,8	98	98,6	2,79	1,51	99,2	99,7	5,8	4,35	1,54	1,12	-0,42		
2017-04-08	4,1	6,65	13,2	10,65	58	76	96	98,2	3,25	2,84	99,84	100,35	6	1,22	2,26	1,43	-0,83		
2017-04-09	0,4	3,95	12,6	13,65	62	57,9	100	97,2	1,38	1,16	100,35	100,84	0	0,09	2,05	2,08	0,03		
2017-04-10	1,8	5,75	21,1	19,55	39	44,8	97	93,7	3,29	4,52	99,43	99,92	0	0,17	3,94	3,81	-0,13		
2017-04-11	2,2	3,35	8,8	8,25	46	53,5	87	84,5	5,79	3,48	99,48	100,02	1,2	1,43	2,43	1,98	-0,45		
2017-04-12	1,8	2,35	9,2	9,25	77	75,7	94	92,1	3,63	3,86	99,11	99,61	1,7	2,01	1,57	1,61	0,04		
2017-04-13	5,1	4,45	10	9,35	60	62,9	95	96,7	5,88	2,24	98,46	98,94	13,1	6,44	2,01	1,68	-0,33		
2017-04-14	5,5	3,65	9,5	8,65	57	60,8	89	94,7	6,21	2,17	98,92	99,48	0,8	1,13	2,16	1,7	-0,46		
2017-04-15	3,9	2,85	11,8	12,45	58	58,1	89	91	4,17	2,08	98,81	99,33	2,5	1,66	2,38	2,28	-0,1		
2017-04-16	-2,6	-0,45	6,7	5,55	49	55,3	89	89,4	5,88	3,15	98,94	99,47	0	0,65	2,18	1,73	-0,45		
2017-04-17	-2,5	-0,85	8	7,55	48	56,7	91	83,6	3,21	1,12	99,34	99,84	0	1,34	2,19	1,83	-0,36		
2017-04-18	0,4	0,15	3,3	4,25	59	69,7	93	98,8	7,63	3,01	99,65	100,07	3,7	13,37	1,49	1,26	-0,23		
2017-04-19	0,4	-1,55	6,3	5,75	43	55,3	72	99,4	7,29	6,85	100,39	100,87	0	1,65	2,61	1,8	-0,81		
2017-04-20	-3,1	-1,95	5,7	5,45	41	37,6	85	82,1	4,17	3,93	100,8	101,36	0	0,01	2,22	2,23	0,01		
2017-04-21	-4	-1,15	9,7	10,35	50	46,9	90	89,9	4,79	1,65	100,03	100,64	0,1	0,66	2,56	2,36	-0,2		
2017-04-22	1,4	1,95	9,4	7,25	54	58,4	88	94,7	6,71	3,66	99,07	99,62	2	5,42	2,46	1,82	-0,64		
2017-04-23	2,2	1,35	9,4	8,45	42	45,9	94	94,5	5,08	3,17	99,25	99,79	2,1	1,49	2,59	2,22	-0,37		
2017-04-24	0,6	0,05	10	9,75	43	46,4	93	97,6	4,17	2,61	99,37	99,94	0	0,21	2,65	2,37	-0,28		
2017-04-25	5,5	4,9	16,2	16,75	45	53	74	85,9	3,92	6,43	98,42	98,92	0	1,93	3,71	3,67	-0,04		
2017-04-26	3,2	3,75	5,3	5,75	85	81	94	96	1,79	0,66	98,98	99,39	8,9	9,74	1,12	1,18	0,06		
2017-04-27	2,7	2,95	6,2	6,45	79	81,9	96	96,4	1,71	0,97	99,29	99,74	8	3,87	1,36	1,38	0,02		
2017-04-28	2	3,25	4,4	5,25	91	91,4	97	97,9	4,04	2,1	98,93	99,38	29	14,54	0,9	0,99	0,09		
2017-04-29	3,2	3,85	11	11,55	48	45,1	97	97,6	3,5	1,45	99,28	99,81	6	1,52	2,56	2,41	-0,15		
2017-04-30	0,4	1,45	9,3	10,15	55	51,5	98	96,2	3,17	0,73	99,99	100,43	0,4	0,06	2,26	2,22	-0,04		
Σ															99	91,27	70,62	63,2	-7,42



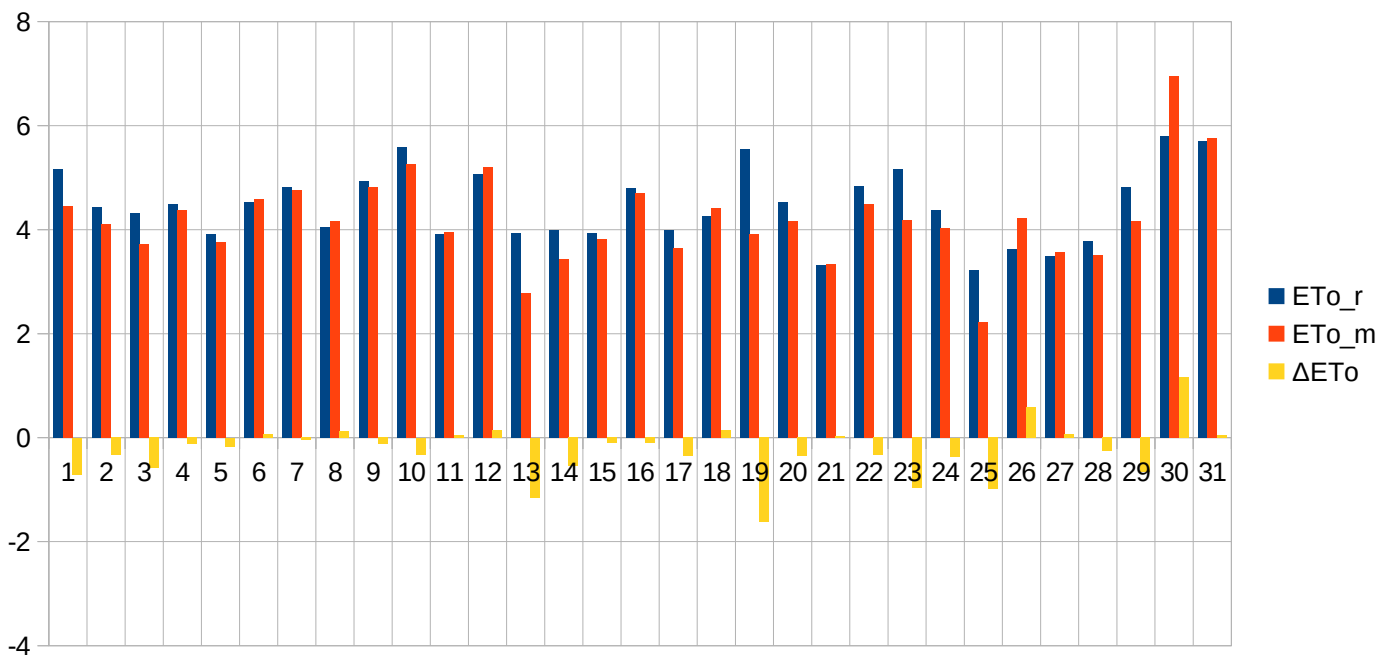
Data	T _{min_r}	T _{min_m}	T _{max_r}	T _{max_m}	RH _{min_r}	RH _{min_m}	Rh _{max_r}	RH _{max_m}	V _r	V _m	P _r	P _m	R _r	R _m	ET _{o_r}	ET _{o_m}	ΔET _o	
2017-05-01	3,1	2,75	13,5	13,05	46	52,1	95	97,6	5,63	1,56	99,83	100,29	0	0,14	3,25	2,66	-0,59	
2017-05-02	5,5	4,15	14	13,45	55	55	90	90,2	6,96	1,76	99,87	100,35	2	0,23	3,13	2,7	-0,43	
2017-05-03	7,1	6,85	12,6	13,45	73	65,8	86	88,9	5	0,61	100,04	100,48	0	0,23	2,28	2,33	0,05	
2017-05-04	8,8	8,05	13,4	15,35	87	83	98	98,2	3,38	0,55	99,44	99,87	3,1	4,86	1,75	2,47	0,72	
2017-05-05	9,6	5,45	17,2	18,35	69	51,8	99	98,7	2,29	0,86	99,63	99,99	0	4,38	2,74	3,33	0,59	
2017-05-06	11,9	10,55	18,7	17,05	70	79,6	97	98,5	2,33	2,63	99,16	99,57	10	17,39	2,84	2,44	-0,4	
2017-05-07	7,1	7,35	12,9	12,05	85	78,7	97	97,8	3,92	2,24	98,69	99,14	0,1	0,81	1,87	1,93	0,06	
2017-05-08	3,3	2,85	8,4	10,75	73	72,3	95	96	3,21	4,76	98,88	99,34	2	3,21	1,79	2,11	0,32	
2017-05-09	-1,3	-1,25	7,8	7,45	39	33,8	93	90,8	3,08	4,93	99,34	99,83	0	0,65	2,55	2,77	0,22	
2017-05-10	-3,2	-1,75	9,7	10,05	47	42,4	95	85,2	3	2,58	98,95	99,47	0	0,7	2,74	2,88	0,14	
2017-05-11	2,2	4,25	16,8	16,85	43	41,7	93	90,8	3	0,8	98,61	99,1	0	0,41	3,89	3,37	-0,52	
2017-05-12	5,6	5,65	19,8	18,95	50	57,8	92	96,4	4,79	1,32	98,55	98,98	0	0,16	4,4	3,61	-0,79	
2017-05-13	7,9	8,65	20,2	18,45	43	58,8	97	98,2	3,46	1,04	99,07	99,47	0	0,8	4,36	3,29	-1,07	
2017-05-14	6	7,75	21,2	21,55	39	44,1	97	94,5	1,54	0,18	99,85	100,3	0	0,53	4,31	3,76	-0,55	
2017-05-15	10,1	11,15	18,8	18,05	69	59,2	97	92,9	1,38	1,49	100,36	100,8	13	5,25	3,17	3,08	-0,09	
2017-05-16	9,3	9,75	19,8	19,35	41	46,7	98	97,8	1,75	2,07	100,69	101,12	0	3,26	3,89	3,73	-0,16	
2017-05-17	6,3	7,95	22,1	20,75	34	43,9	97	93,7	1,79	0,37	100,46	100,89	0	0	4,69	3,74	-0,95	
2017-05-18	8,9	10,45	24,4	23,15	35	41,8	85	76,5	2,75	2,12	99,73	100,18	0	0	5,52	4,82	-0,7	
2017-05-19	11,7	11,71	26,5	24,65	33	39,7	68	75,7	3,5	1,53	99,25	99,7	0	0	6,48	4,85	-1,63	
2017-05-20	13,1	13,25	23,8	23,85	50	49,1	84	91	4,21	3,33	99,31	99,75	0	3,87	5,08	4,8	-0,28	
2017-05-21	11,8	10,65	16,3	20,35	69	53,2	80	89,4	4,25	6,92	99,9	100,26	0	0,54	2,98	4,51	1,53	
2017-05-22	7,2	9,01	21,4	20,15	40	49,9	96	94,6	1,96	1,96	99,83	100,27	0	0	4,56	4,01	-0,55	
2017-05-23	7,5	9,55	23	22,25	41	40,2	97	91,2	1,67	0,7	99,45	99,88	0	0,11	4,78	4,17	-0,61	
2017-05-24	9,7	9,95	16,5	13,45	81	85,5	98	97,4	3,83	2,07	99,21	99,67	9	10,21	2,53	1,94	-0,59	
2017-05-25	9,7	9,15	18,3	18,85	53	45,7	97	98	3,04	3,81	99,62	100	12	5,82	3,66	4,1	0,44	
2017-05-26	6,6	7,85	20,7	20,65	51	41,7	98	97,1	3,17	2,47	99,68	100,11	0,1	0,56	4,45	4,49	0,04	
2017-05-27	8,2	8,53	21,1	20,55	37	41,1	96	97,3	2	1,43	100,16	100,58	0	0	4,57	4,19	-0,38	
2017-05-28	6,9	9,51	25,7	25,05	37	34,7	97	88,2	2,08	2,41	100,1	100,58	0	0	5,42	5,64	0,22	
2017-05-29	14,8	14,6	27,5	26,25	45	41,9	91	95,4	3,08	2,76	99,26	99,73	0,8	2,94	5,78	5,4	-0,38	
2017-05-30	12,5	13,74	27,6	28,05	40	43,1	99	99,2	2,04	1,15	99,08	99,47	14	0,97	5,7	5,3	-0,4	
2017-05-31	13,1	14,35	21,3	21,85	47	48,7	97	98	4,71	2,59	99,31	99,71	0	2	4,5	4,09	-0,41	
Σ														66,1	70,03	119,66	112,51	-7,15



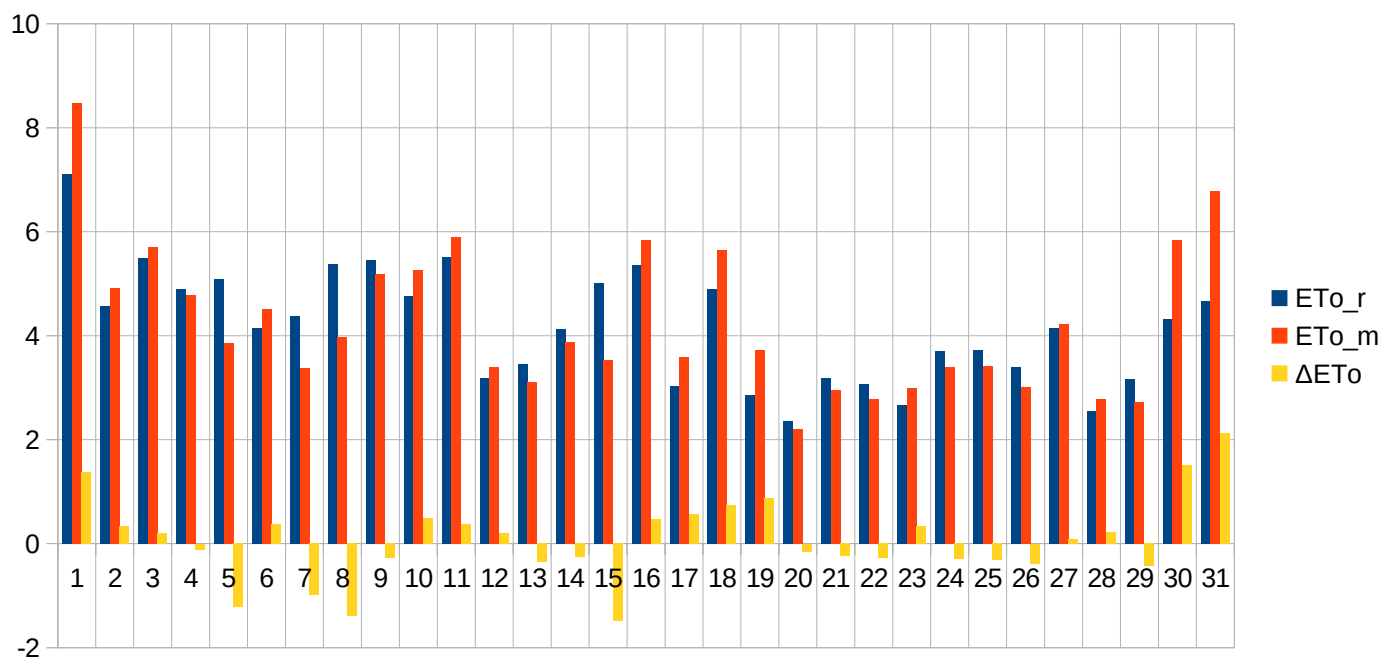
Data	T _{min_r}	T _{min_m}	T _{max_r}	T _{max_m}	RH _{min_r}	RH _{min_m}	Rh _{max_r}	RH _{max_m}	V _r	V _m	P _r	P _m	R _r	R _m	ET _{o_r}	ET _{o_m}	ΔET _o			
2017-06-01	8,4	10,35	18,2	19,15	47	38,7	92	89,9	3,92	2,73	99,67	100,16	0	0	4,14	4,25	0,11			
2017-06-02	5,3	8,45	22,3	21,75	24	30,7	96	87,9	3,04	2,03	99,6	100,08	0	0	5,66	4,96	-0,7			
2017-06-03	9,4	8,25	21,4	21,75	39	40,7	72	77,6	3,29	0,81	99,62	100,05	0	0	5,24	4,4	-0,84			
2017-06-04	11,9	11,75	26,4	25,75	41	48,5	99	93,6	3,42	3,44	98,83	99,26	13	7,95	5,92	5,58	-0,34			
2017-06-05	13,6	13,55	21,1	21,35	44	39,1	88	90,4	3,46	1,44	99,37	99,76	0	0,02	4,5	4,06	-0,44			
2017-06-06	13,7	12,55	20,8	23,65	61	48,7	96	93,2	4,08	2,63	98,75	99,18	16	4,15	3,81	4,85	1,04			
2017-06-07	9	12,45	19,9	20,15	40	35,5	98	94,2	4,46	3,02	99,08	99,6	17	2,83	4,75	4,42	-0,33			
2017-06-08	6,2	8,95	19,7	20,15	41	38,5	96	83,3	2,13	1,18	99,78	100,25	0	0	4,48	4,23	-0,25			
2017-06-09	12,2	11,35	24,2	23,95	39	37,7	88	80,4	1,96	2,3	99,61	100,05	0	0	5,11	5,35	0,24			
2017-06-10	11,3	11,95	20,7	17,45	63	71,3	92	95,6	3,21	2,68	99,61	100	0	3,35	3,99	2,92	-1,07			
2017-06-11	11,6	10,95	23,1	22,95	42	40,5	99	96,7	2	1,25	99,83	100,25	0	0	4,77	4,61	-0,16			
2017-06-12	12,1	13,95	24,8	23,35	45	52	91	88,7	3,21	2,9	98,93	99,4	0,8	4,56	5,47	4,7	-0,77			
2017-06-13	13,2	11,95	18,1	18,75	54	52,2	85	83,3	6,54	2,44	99,1	99,59	0	0,42	3,99	3,8	-0,19			
2017-06-14	9,2	10,65	17,7	18,35	62	55,1	94	93,2	4,17	2,86	99,46	99,88	0	0,53	3,56	3,7	0,14			
2017-06-15	6,2	9,25	22,6	22,85	44	37	97	94,9	1,92	0,78	99,63	100,07	0	0	4,97	4,61	-0,36			
2017-06-16	11,2	12,55	24	22,25	51	60,6	94	94,2	3,67	3,35	99,03	99,45	4,5	7,53	5,2	4,3	-0,9			
2017-06-17	11,3	10,55	14,3	14,25	89	80,5	97	98,1	4,13	2,71	99,42	99,85	19,4	1,25	1,79	2,16	0,37			
2017-06-18	11,2	10,75	23,4	23,45	50	42,4	97	98,6	2,67	3,26	100,05	100,42	0	0	4,88	5,24	0,36			
2017-06-19	11,2	13,75	26,8	26,85	49	43	98	88,6	1,83	1,72	99,98	100,39	0	0	5,53	5,46	-0,07			
2017-06-20	13,2	16,15	29,5	29,55	39	39,8	98	90	3,46	2,31	99,33	99,77	0	3,21	6,79	6,22	-0,57			
2017-06-21	8,6	10,45	21,8	21,95	43	39,1	91	82,8	3,25	2,47	99,44	99,87	0	0	5,08	4,98	-0,1			
2017-06-22	9,8	10,25	25,2	25,95	34	33,8	96	90,8	2,46	1,04	99,18	99,64	0	0,53	5,8	5,34	-0,46			
2017-06-23	16,2	17,75	22	21,35	65	69,6	97	97,2	4,88	4,01	98,71	99,06	1,6	20,3	3,72	3,07	-0,65			
2017-06-24	16,1	15,25	24	24,75	52	48,5	91	95	4,13	1,67	99,08	99,51	0	0,93	4,84	4,63	-0,21			
2017-06-25	13,2	14,25	26,7	26,15	40	44,7	96	97	3,33	1,52	98,92	99,33	0	1,57	6,02	5,09	-0,93			
2017-06-26	9,9	13,25	21,7	22,05	63	55	95	98,7	3,38	1,63	98,93	99,34	0,4	0,9	4,31	4,07	-0,24			
2017-06-27	6,9	11,15	24,6	24,15	44	43,8	97	92,2	1,92	0,51	99,1	99,52	0	0,41	5,24	4,59	-0,65			
2017-06-28	16,6	17,55	28,1	28,35	59	48	100	95	3,92	2,18	98,27	98,66	58	11,04	5,39	5,43	0,04			
2017-06-29	18,5	17,35	27,8	26,95	44	47,6	96	89,2	4,13	7,79	97,46	97,9	4,9	5,34	5,83	6,45	0,62			
2017-06-30	13,2	15,55	22,5	22,95	58	48,4	95	77,1	5,46	6,35	98,05	98,54	6,8	0,8	4,54	5,53	0,99			
															Σ	142,4	77,62	145,32	139	-6,32



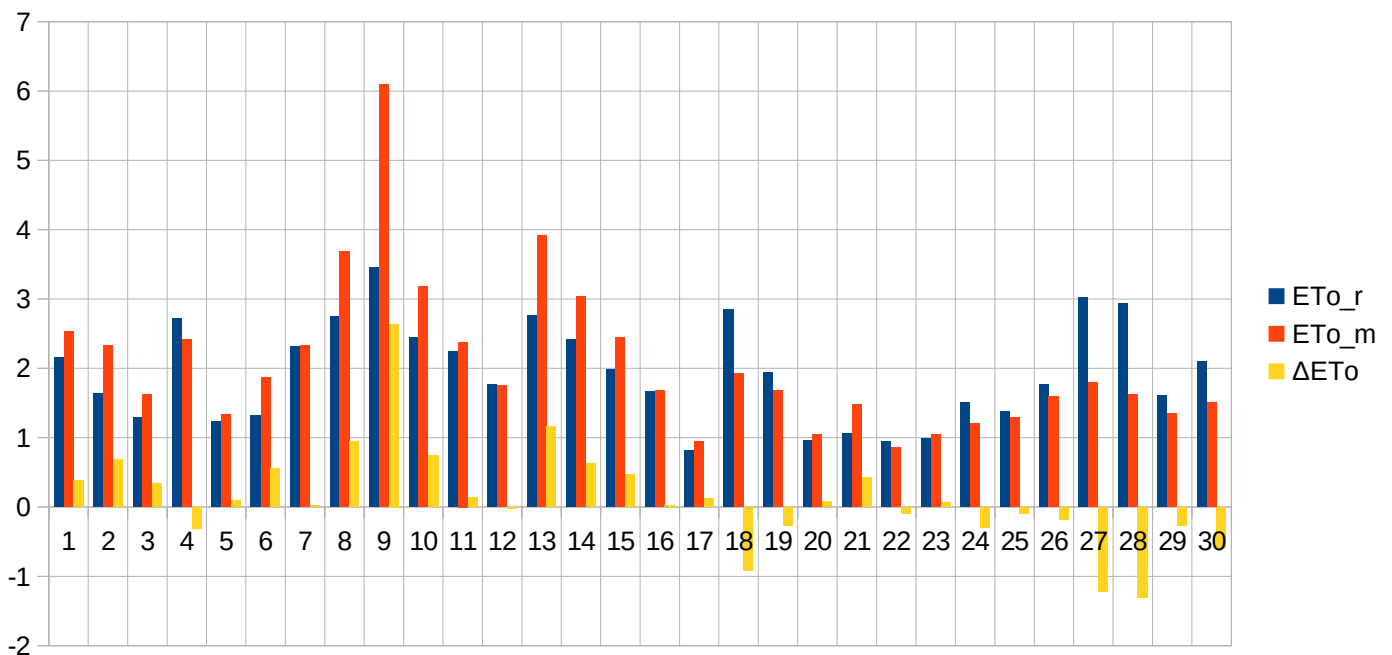
Data	T _{min_r}	T _{min_m}	T _{max_r}	T _{max_m}	RH _{min_r}	RH _{min_m}	Rh _{max_r}	RH _{max_m}	V _r	V _m	P _r	P _m	R _r	R _m	ET _{o_r}	ET _{o_m}	ΔET _o
2017-07-01	10,8	13,05	23,1	21,75	46	46,9	97	89,1	4	2,58	98,45	98,9	0,4	3,27	5,16	4,45	-0,71
2017-07-02	14,1	13,55	21,5	21,25	50	50,3	98	96,1	5,33	2,74	98,86	99,32	13	3	4,44	4,11	-0,33
2017-07-03	11,5	12,35	18,9	18,55	44	46,9	90	93,8	4,42	2,94	99,61	100,07	0	0,48	4,31	3,73	-0,58
2017-07-04	8,5	11,65	19,8	19,95	47	45,1	94	78	3,79	2,71	99,55	100	0,1	0,81	4,49	4,37	-0,12
2017-07-05	6,8	9,85	18,5	19,15	52	48,4	98	86,9	1,79	0,95	99,72	100,17	2,2	0,81	3,92	3,75	-0,17
2017-07-06	7,7	9,95	21	22,05	41	33,5	100	95,2	1,75	1,4	99,87	100,28	0	0	4,52	4,59	0,07
2017-07-07	7,2	11,25	22,2	23,15	43	37	96	98,4	1,83	1,73	99,5	99,92	3	5,91	4,81	4,77	-0,04
2017-07-08	14,4	11,95	23	22,85	61	60,8	99	98,6	2,21	1,04	99,18	99,57	11	3,32	4,04	4,17	0,13
2017-07-09	12,8	13,85	24,9	25,65	52	42,8	100	97,8	2,79	1,22	99,33	99,72	2	0,39	4,93	4,81	-0,12
2017-07-10	15,5	15,85	28,2	27,45	51	53,1	96	90	2,75	2,3	98,91	99,31	0,9	8,12	5,58	5,26	-0,32
2017-07-11	15,3	15,25	22,3	23,15	60	56	98	96,6	3,71	1,45	98,81	99,21	8	0,89	3,91	3,95	0,04
2017-07-12	13,6	14,55	25,6	26,25	41	38,9	99	96,3	1,96	2,01	98,86	99,28	0	14,91	5,07	5,21	0,14
2017-07-13	12,3	12,05	20	16,95	56	68,2	98	97,8	5,5	3,88	99,06	99,53	9,3	10,07	3,93	2,78	-1,15
2017-07-14	7,5	9,35	19,4	18,35	45	51,5	97	97,8	1,38	0,69	99,51	99,94	0	0,32	3,99	3,44	-0,55
2017-07-15	11,3	11,55	20,1	19,75	39	47,8	95	79,7	1,54	1,53	99,57	99,98	0	1,58	3,93	3,82	-0,11
2017-07-16	7,7	9,75	22,6	22,55	39	34,5	97	79	1,83	1,49	99,99	100,43	0	0,01	4,8	4,7	-0,1
2017-07-17	14,2	13,85	22,8	21,65	59	63,9	96	93,4	2,25	1,84	99,82	100,27	1,4	5,02	4	3,65	-0,35
2017-07-18	10,7	10,85	23,5	23,75	45	39,2	98	93,3	0,58	0,83	99,97	100,39	0	0	4,26	4,41	0,15
2017-07-19	11,1	14,07	26,3	23,87	46	57,1	95	88,5	2,96	0,41	99,56	99,97	0	6,17	5,54	3,92	-1,62
2017-07-20	16,2	16,11	26,4	25,58	63	55,2	97	93,3	2,54	0,84	99,02	99,4	16	18,58	4,52	4,17	-0,35
2017-07-21	14,5	17,65	22,2	23,69	85	73,81	100	93,63	1,13	0,89	99,2	99,58	26	18,42	3,31	3,34	0,03
2017-07-22	14,8	15,86	26,5	27,05	51	45,14	100	94,6	2,17	0,76	99,41	99,83	0	0	4,84	4,5	-0,34
2017-07-23	16,5	18,18	27	25,65	52	60,68	93	89,28	3,46	2,37	99,18	99,58	0	3,95	5,16	4,19	-0,97
2017-07-24	14,4	15,54	24,8	24,76	55	52,73	100	93,18	2,29	0,95	98,78	99,2	0	5,94	4,38	4,02	-0,36
2017-07-25	13,7	14,88	20,2	17,95	67	81,69	99	94,58	3,38	2,02	97,95	98,39	11,4	7,6	3,21	2,22	-0,99
2017-07-26	13,7	12,34	21	21,01	55	54	98	86,58	2,58	4,18	98,03	98,52	0	0,51	3,63	4,22	0,59
2017-07-27	12,3	12,15	20,6	20,75	65	65,2	96	92,82	3,04	2,79	98,48	98,87	0	1,19	3,49	3,56	0,07
2017-07-28	13,6	14,35	22,4	21,72	60	63,9	97	89,5	2,21	1,95	98,86	99,25	2,1	8,86	3,77	3,51	-0,26
2017-07-29	11,9	12,61	24,3	23,26	45	45,4	95	91,9	2,83	1,51	99,41	99,86	0	0	4,82	4,16	-0,66
2017-07-30	13,5	16,23	30,7	29,85	38	40,4	95	77,23	1,88	4,58	99,27	99,74	0	0	5,79	6,96	1,17
2017-07-31	18,5	19,25	30,9	30,05	44	45,9	92	78,53	2,42	2,85	99,43	99,85	0	3,46	5,7	5,75	0,05
Σ													106,8	133,59	138,25	130,49	-7,76



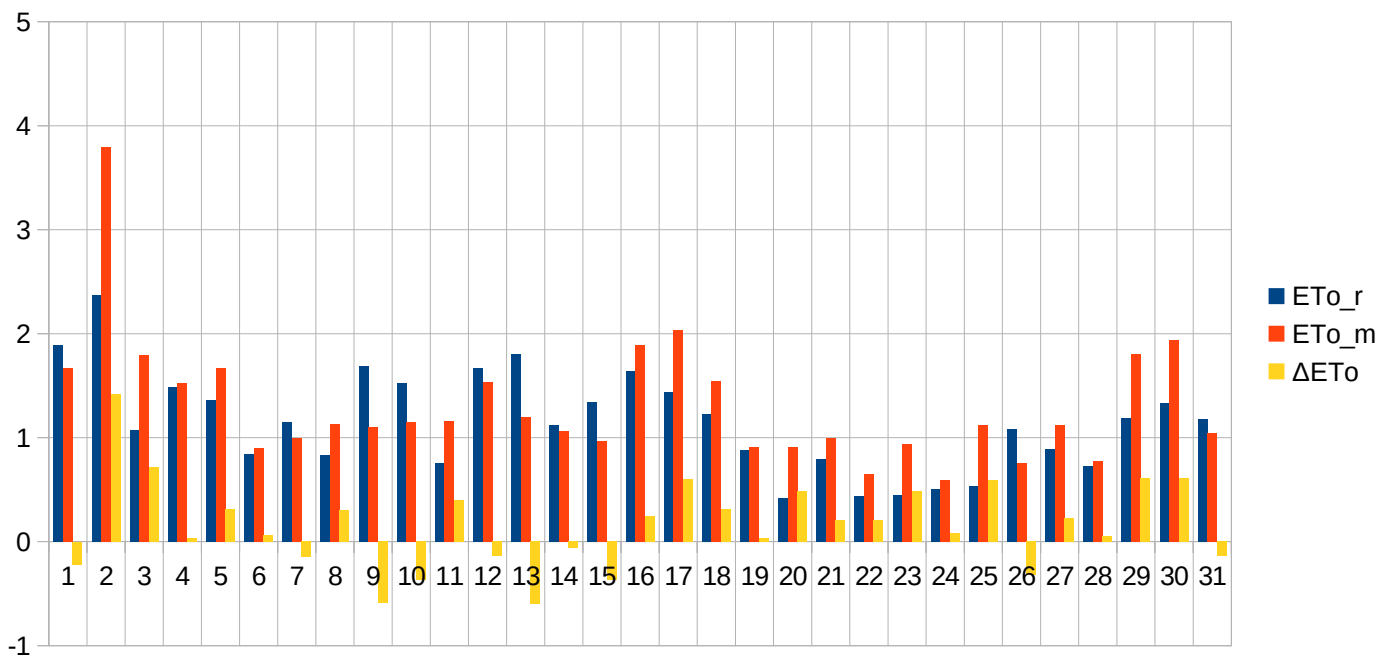
Data	T _{min_r}	T _{min_m}	T _{max_r}	T _{max_m}	RH _{min_r}	RH _{min_m}	Rh _{max_r}	RH _{max_m}	V _r	V _m	P _r	P _m	R _r	R _m	ET _{o_r}	ET _{o_m}	ΔET _o
2017-08-01	18,9	20,61	34,8	33,83	32	36,64	84	76,81	2,52	5,58	99,62	100,06	0	0	7,1	8,47	1,37
2017-08-02	18,6	21,64	27,5	28,75	52	48,18	93	73,62	2,42	2,4	99,61	99,98	0	0	4,58	4,91	0,33
2017-08-03	18,1	19,86	30,3	30,97	47	42,3	95	80,7	2,67	2,43	99,31	99,75	5	0,39	5,49	5,7	0,21
2017-08-04	17,9	19,15	27,5	28,36	50	47,62	94	86,9	3,25	2,19	99,03	99,48	0	0	4,9	4,79	-0,11
2017-08-05	15,4	20,32	27,2	26,35	40	46,21	95	70,12	2,54	1,26	99,27	99,67	0	0	5,08	3,86	-1,22
2017-08-06	13,3	16,55	22,5	22,86	48	49,86	96	75,29	3,26	4,07	99,68	100,12	0,5	0,01	4,15	4,52	0,37
2017-08-07	10,8	14,05	23,5	21,64	36	43,08	96	72,7	1,83	0,91	100,15	100,58	0	0	4,37	3,38	-0,99
2017-08-08	8,4	11,55	24,7	23,95	38	43,03	95	92,4	3,79	1,04	99,85	100,28	0	0	5,37	3,97	-1,4
2017-08-09	15,4	14,35	29,2	28,21	44	44,83	84	89,27	2,54	2,44	99,58	99,95	0	0,11	5,46	5,18	-0,28
2017-08-10	16,8	19,85	28,8	30,63	58	45,9	100	81,9	3,13	2,33	99,48	99,83	21	2,01	4,76	5,26	0,5
2017-08-11	20,3	20,59	30,9	32,85	50	37,04	92	89	3,67	2,44	99,2	99,48	0,2	2,82	5,52	5,89	0,37
2017-08-12	12,7	15,15	20,4	22,25	63	56,8	99	93,4	3,63	2,23	99,23	99,6	19,1	11,01	3,19	3,39	0,2
2017-08-13	10,4	12,81	21,4	20,39	60	59,3	98	84,6	2,17	1,46	99,68	100,09	0	0,1	3,46	3,11	-0,35
2017-08-14	11,8	12,65	22,3	22,5	39	37,21	98	90,9	2,75	1,8	100,25	100,66	0	0,01	4,13	3,87	-0,26
2017-08-15	12,7	12,75	25,2	23,95	41	40,22	79	68	3,21	0,66	100,17	100,62	0	0	5,02	3,53	-1,49
2017-08-16	13	15,15	28,5	28,55	38	36,5	95	93,91	2,71	3,94	99,84	100,23	0	3,75	5,36	5,84	0,48
2017-08-17	15,5	15,52	22,5	24,95	64	47,36	97	98,02	1,71	1,25	99,96	100,31	2	0,71	3,02	3,59	0,57
2017-08-18	14,7	18,39	29,8	29,85	42	38,5	98	80,5	1,83	3,15	99,48	99,9	0	0	4,9	5,64	0,74
2017-08-19	15	15,55	21,8	22,85	67	52,9	99	91,98	2,08	3,45	99,44	99,86	40	4,92	2,86	3,73	0,87
2017-08-20	11,3	13,55	17,9	17,66	72	53,7	100	93,8	1,08	0,83	99,77	100,24	1	1,51	2,35	2,2	-0,15
2017-08-21	8,7	11,25	18,9	18,65	55	53,21	99	84,53	3,17	1,88	99,75	100,2	0,2	1,51	3,18	2,95	-0,23
2017-08-22	12,8	11,26	17,9	17,71	54	53,8	93	97	4,75	2,79	99,6	100,08	0	0,25	3,07	2,79	-0,28
2017-08-23	11,1	10,99	18,3	18,83	65	55,28	98	93,38	3,33	2,73	99,55	100,01	8	0,32	2,66	2,99	0,33
2017-08-24	7,6	11,05	22,2	22,12	44	38,68	99	92,58	1,96	1,38	99,48	99,95	0	0,11	3,7	3,4	-0,3
2017-08-25	11,7	15,29	23,8	23,69	51	51,09	98	84,1	2,42	1,78	99,61	100,02	0	0,35	3,73	3,42	-0,31
2017-08-26	9,9	13,85	24	24,98	52	46,3	100	86,83	1,08	0,33	99,66	100,09	0	0	3,39	3,01	-0,38
2017-08-27	13,7	16,05	25	25,25	53	52,52	99	80,4	4,38	3,51	99,19	99,61	0	0,5	4,15	4,23	0,08
2017-08-28	10,8	12,25	18,9	18,99	63	57,4	100	92,9	2	2,69	99,75	100,16	0	0	2,55	2,78	0,23
2017-08-29	7,1	11,07	22,2	21,87	46	44	99	89	1	0,48	99,85	100,29	0	0	3,16	2,73	-0,43
2017-08-30	9	12,71	26,8	25,99	34	31,8	96	67,33	2	4,39	99,49	99,94	0	0	4,32	5,84	1,52
2017-08-31	11,9	15,57	30,4	29,39	35	31,36	92	64,9	1,88	4,78	99,16	99,6	0	0	4,66	6,79	2,13
Σ													97	30,39	129,64	131,76	2,12



Data	T _{min_r}	T _{min_m}	T _{max_r}	T _{max_m}	RH _{min_r}	RH _{min_m}	Rh _{max_r}	RH _{max_m}	V _r	V _m	P _r	P _m	R _r	R _m	ET _{o_r}	ET _{o_m}	ΔET _o		
2017-09-01	12,3	14,6	20,2	20,03	83	72,23	99	96,3	3,54	6,54	99,32	99,69	1	1,78	2,15	2,53	0,38		
2017-09-02	10,5	11,12	14,7	15,57	78	66,6	99	91,05	3,29	5,56	99,23	99,7	91,6	4,63	1,64	2,33	0,69		
2017-09-03	10	10,51	13,8	13,93	94	78,61	99	90,94	1,88	2,89	99,03	99,54	15	0,91	1,29	1,63	0,34		
2017-09-04	11,6	10,96	17,4	15,85	56	58,24	98	95,02	5,13	4,31	99,04	99,55	4,1	0,62	2,72	2,41	-0,31		
2017-09-05	11,8	12,28	16,1	14,48	94	81,6	99	98,22	4,29	2,91	99,22	99,76	50	5,62	1,24	1,34	0,1		
2017-09-06	15,1	13,8	17,6	18,05	89	70,7	100	95,7	2,29	1,57	98,96	99,41	6	2,27	1,32	1,87	0,55		
2017-09-07	11,7	12,02	15,9	16,45	64	54,74	98	89,9	7,33	2,8	98,73	99,22	26	1,3	2,31	2,33	0,02		
2017-09-08	10,4	11,85	18,8	19,45	54	46,8	93	79,7	3,04	4,87	98,95	99,39	0	0	2,75	3,69	0,94		
2017-09-09	12,1	13,66	24,2	24,35	50	43,75	86	69,1	2,42	9,34	98,33	98,8	0	0	3,45	6,09	2,64		
2017-09-10	12,8	15,16	21,5	21,91	67	57,91	97	87,38	2,13	4,13	98,41	98,81	0	1,3	2,44	3,18	0,74		
2017-09-11	14,3	14,99	22,1	21,74	72	63,65	99	95,5	1,71	2,01	98,31	98,69	5,3	16,85	2,24	2,38	0,14		
2017-09-12	13,4	12,75	17,3	16,75	68	63,51	99	93,96	2,29	1,48	98,46	98,94	14	9,29	1,77	1,75	-0,02		
2017-09-13	10,1	11,25	18,1	18,45	55	50,31	94	86,91	4,46	10,47	98,56	99,05	0,1	0,54	2,76	3,92	1,16		
2017-09-14	11,1	10,3	17,2	18,5	63	61,8	93	87,95	5,04	7,5	98,16	98,65	0,9	4,32	2,41	3,04	0,63		
2017-09-15	9,5	9,01	15,5	15,75	68	59,43	93	82,03	4	3,94	98,98	99,47	1,9	1,48	1,98	2,45	0,47		
2017-09-16	7,9	9,09	16,1	14,27	73	69,48	99	87,63	1,25	2,1	99,21	99,7	1	0,43	1,66	1,68	0,02		
2017-09-17	11,3	10,66	12,9	12,33	95	90,5	99	94,9	2,33	4,09	98,94	99,35	9,6	31,32	0,82	0,94	0,12		
2017-09-18	6,1	10,01	16,8	15,95	50	58,6	98	93,39	5,58	2,29	99,06	99,55	38	9,31	2,85	1,93	-0,92		
2017-09-19	4	8,35	16,9	16,55	50	51,94	100	87,17	1,13	0,68	99,49	99,93	0	0,96	1,94	1,68	-0,26		
2017-09-20	10,8	10,06	12,5	11,68	87	87,7	96	91,99	2,21	5,23	99,5	99,9	4	8,6	0,96	1,04	0,08		
2017-09-21	9,1	9,65	12,4	12,65	84	77,41	99	95,82	2,96	11,27	99,42	99,86	1,2	8,05	1,06	1,48	0,42		
2017-09-22	10,9	10,63	13,2	11,52	88	88,77	99	94,82	2,79	4,41	99,65	100,08	18	10,26	0,95	0,86	-0,09		
2017-09-23	11,5	10,91	15	14,34	90	89,71	100	96,02	3,71	5,17	99,65	100,06	17	8,24	0,99	1,05	0,06		
2017-09-24	11,6	10,54	16,4	15,45	76	80,1	98	97,64	3,71	0,8	100,01	100,43	4	3,6	1,51	1,21	-0,3		
2017-09-25	11,5	11,16	16	15,85	78	74	99	95,4	3,63	1,13	100,27	100,7	6,4	2,32	1,38	1,29	-0,09		
2017-09-26	11,1	9,92	18,6	18,34	73	63,7	99	94,42	3,79	1,03	100,65	101,09	0	0	1,77	1,59	-0,18		
2017-09-27	9,9	10,58	18,7	18,56	49	50,32	89	79,06	5,17	1,12	100,86	101,32	0	0	3,02	1,8	-1,22		
2017-09-28	7,9	9,21	17,9	17,29	47	50,57	86	79,72	4,63	0,96	100,95	101,45	0	0	2,93	1,62	-1,31		
2017-09-29	5,1	6,68	13,5	14,95	60	55,47	97	83,1	2,75	0,78	100,71	101,2	0	0	1,61	1,35	-0,26		
2017-09-30	6,7	8,15	16,3	15,45	53	46,73	89	78,15	2,96	0,98	100,34	100,85	0	0	2,1	1,51	-0,59		
Σ															315,1	134	58,02	61,97	3,95

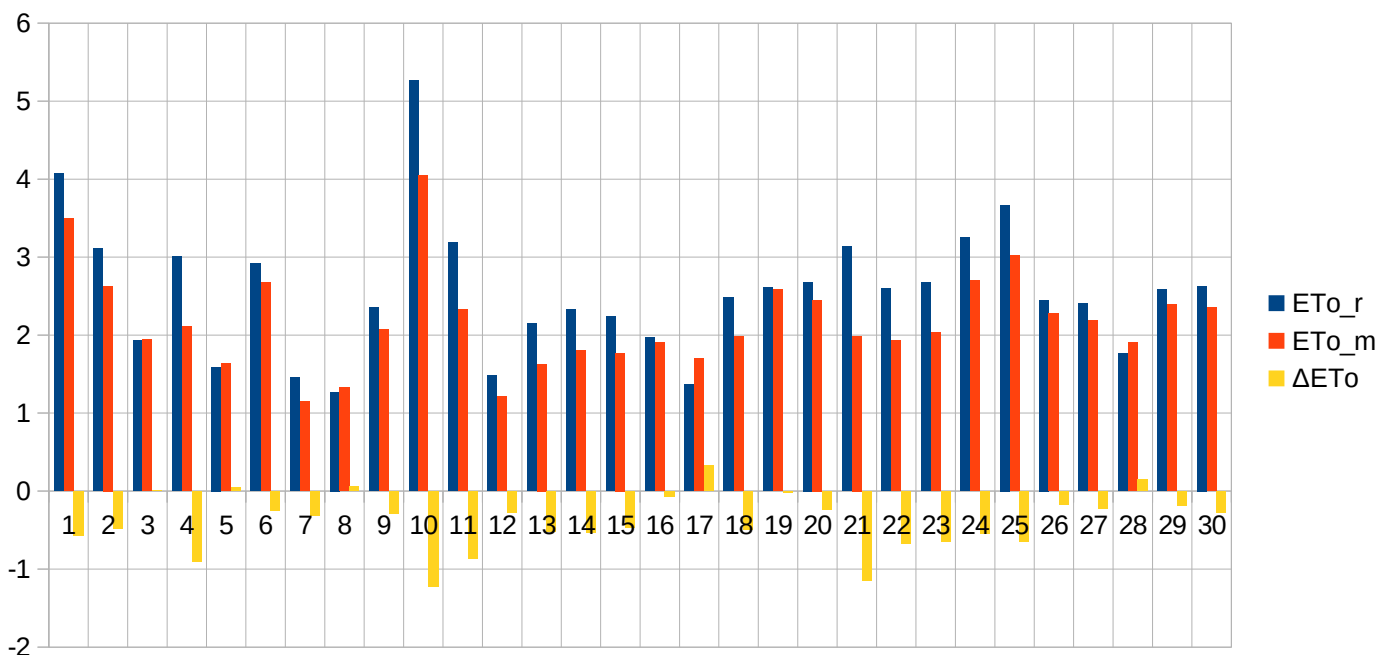


Data	T _{min_r}	T _{min_m}	T _{max_r}	T _{max_m}	RH _{min_r}	RH _{min_m}	Rh _{max_r}	RH _{max_m}	V _r	V _m	P _r	P _m	R _r	R _m	ET _{o_r}	ET _{o_m}	ΔET _o		
2017-10-01	4,4	6,01	16	15,4	54	46,13	97	74,91	2,67	1,3	100,31	100,82	0	0	1,89	1,67	-0,22		
2017-10-02	2,6	7	17,6	17,12	42	41,8	98	81,82	2,88	8,58	99,91	100,42	0	0	2,37	3,79	1,42		
2017-10-03	9,9	9,62	12,2	12,42	74	59,2	98	94,1	2,79	5,5	99,19	99,66	14,7	22,74	1,07	1,79	0,72		
2017-10-04	8,9	8,33	13,1	13,49	68	62	98	94,55	5,29	3,11	99,54	100,08	0	0,32	1,49	1,52	0,03		
2017-10-05	7,1	9,38	11,7	12,04	72	71,2	97	88,45	6,58	7,46	98,04	98,58	14,7	7,58	1,36	1,67	0,31		
2017-10-06	7,2	6,71	10,5	9,34	85	81,3	98	95,8	5,63	4,34	98,42	98,9	29	3,46	0,84	0,9	0,06		
2017-10-07	8	6,87	12,5	10,8	75	75,86	97	96,8	3,88	3,05	99,15	99,65	1	0,73	1,15	1	-0,15		
2017-10-08	4	6,06	11,4	10,99	86	79,1	98	91,42	3,88	4,95	98,67	99,16	8,3	5,3	0,83	1,13	0,3		
2017-10-09	4	4,39	11,2	9,71	60	67,1	97	90,8	6,75	2,43	99,03	99,63	0	0,4	1,69	1,1	-0,59		
2017-10-10	6,2	5,2	11,6	11,3	61	67,1	98	93,38	5,13	2,58	99,15	99,69	0,5	0,68	1,52	1,15	-0,37		
2017-10-11	11,1	10,86	13,9	14,04	90	79,07	98	90,7	5	3,52	99,32	99,83	6	2,3	0,76	1,16	0,4		
2017-10-12	10,4	10,08	16,6	15,73	68	69,92	97	91,81	5,25	4,13	99,39	99,89	5	0,46	1,67	1,53	-0,14		
2017-10-13	7,8	8,29	13,6	11,63	62	69,77	96	92,15	6,79	3,49	99,89	100,42	0	0,15	1,8	1,2	-0,6		
2017-10-14	5,1	7,71	16,6	16,45	79	73,8	99	95,53	3,52	1,75	100,26	100,74	0	0,02	1,12	1,06	-0,06		
2017-10-15	7,7	12,89	18,3	16,75	75	76,88	99	95,5	3,88	1,66	100,41	100,88	0	0,23	1,34	0,97	-0,37		
2017-10-16	6,7	12,22	21,8	20,87	56	54,06	100	93,8	1,96	2,66	100,23	100,69	0	0	1,64	1,89	0,25		
2017-10-17	6	11,64	22,3	21,35	56	51,3	100	90,4	1,46	2,69	100,08	100,56	0	0	1,44	2,04	0,6		
2017-10-18	6,2	11,77	20,8	20,32	56	50,09	100	79,1	1,25	1,5	99,5	99,93	0	0	1,23	1,54	0,31		
2017-10-19	7	12,07	17,9	17,88	73	61,35	100	91,6	1,21	0,78	99,43	99,86	0	0	0,88	0,91	0,03		
2017-10-20	10,7	10,58	12,1	16,2	98	67,1	100	95,21	2,38	1,23	99,59	100,03	0	0	0,42	0,91	0,49		
2017-10-21	6,8	9,19	13,8	14,06	76	70	100	90,34	2,08	2,01	99,36	99,86	0,8	0,79	0,79	1	0,21		
2017-10-22	4,7	7,81	10,7	11,1	93	78,24	100	95,81	1,46	1,41	99,25	99,76	2,3	1,23	0,44	0,65	0,21		
2017-10-23	4,5	6,5	9,7	10,69	90	75,1	100	93,9	1,88	3,88	99,24	99,74	0	0,46	0,45	0,94	0,49		
2017-10-24	5,5	3,74	8,6	9,2	86	67,5	98	95,6	2,08	1,01	100,2	100,79	0	0	0,51	0,59	0,08		
2017-10-25	5,1	4,79	13,3	12,34	90	78,7	99	93,35	3,67	8,09	99,9	100,45	11	3,89	0,53	1,12	0,59		
2017-10-26	10	8,74	13,1	11,99	78	73,5	93	96,59	5,21	1,99	99,76	100,28	0,4	0,71	1,08	0,76	-0,32		
2017-10-27	6,3	7,42	11,3	10,46	78	72,4	94	91,5	4,42	5,08	99,05	99,54	2,1	5,62	0,89	1,12	0,23		
2017-10-28	5,9	6	8,6	7,94	84	79,9	96	89,8	7,54	3,55	98,54	99,08	6,6	4,18	0,73	0,78	0,05		
2017-10-29	3,5	3,3	7,9	9,19	66	64,14	96	87	7,79	14,17	96,66	97,13	24	16,86	1,19	1,8	0,61		
2017-10-30	0,8	1,45	6,1	5,64	58	57,72	89	74,9	6,67	12,81	98,65	99,13	1,6	0,64	1,33	1,94	0,61		
2017-10-31	0	-0,03	6,7	5,78	53	54,4	94	92,5	4,54	3,79	99,72	100,3	0	0	1,18	1,04	-0,14		
Σ															128	78,75	35,63	40,67	5,04

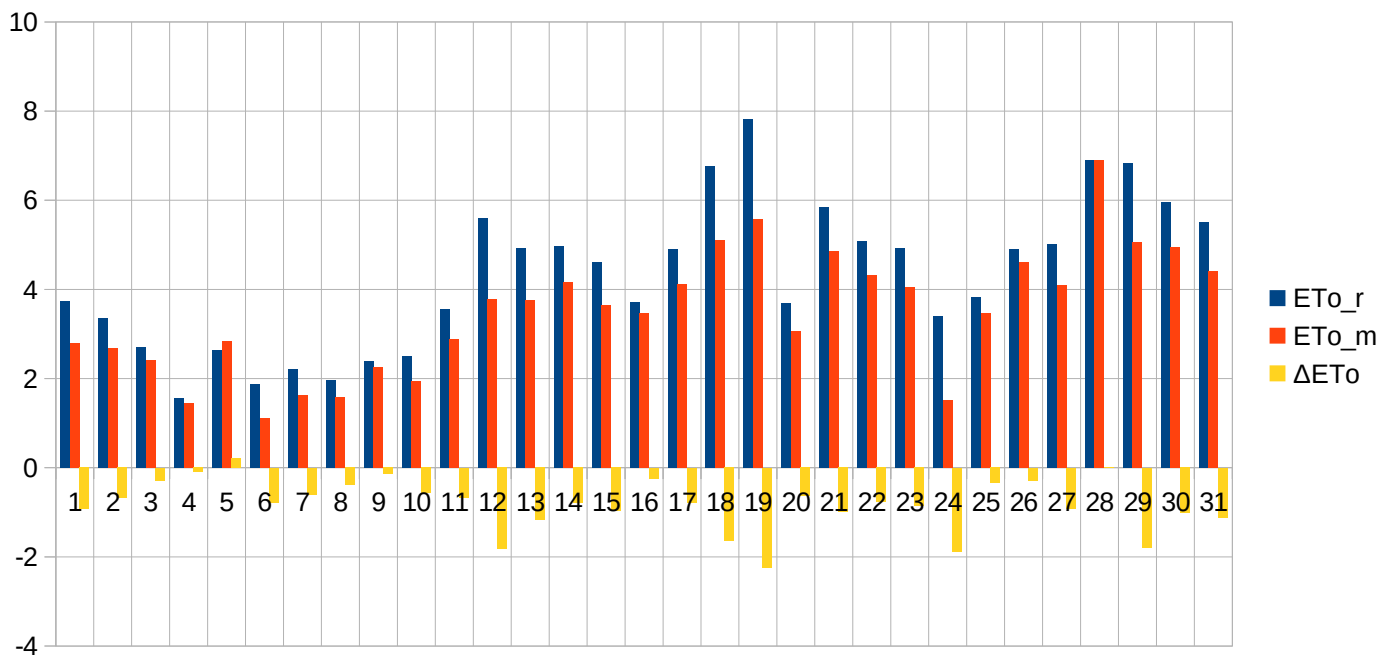


III.1.4. Okres wegetacyjny 2017 roku. Poznań.

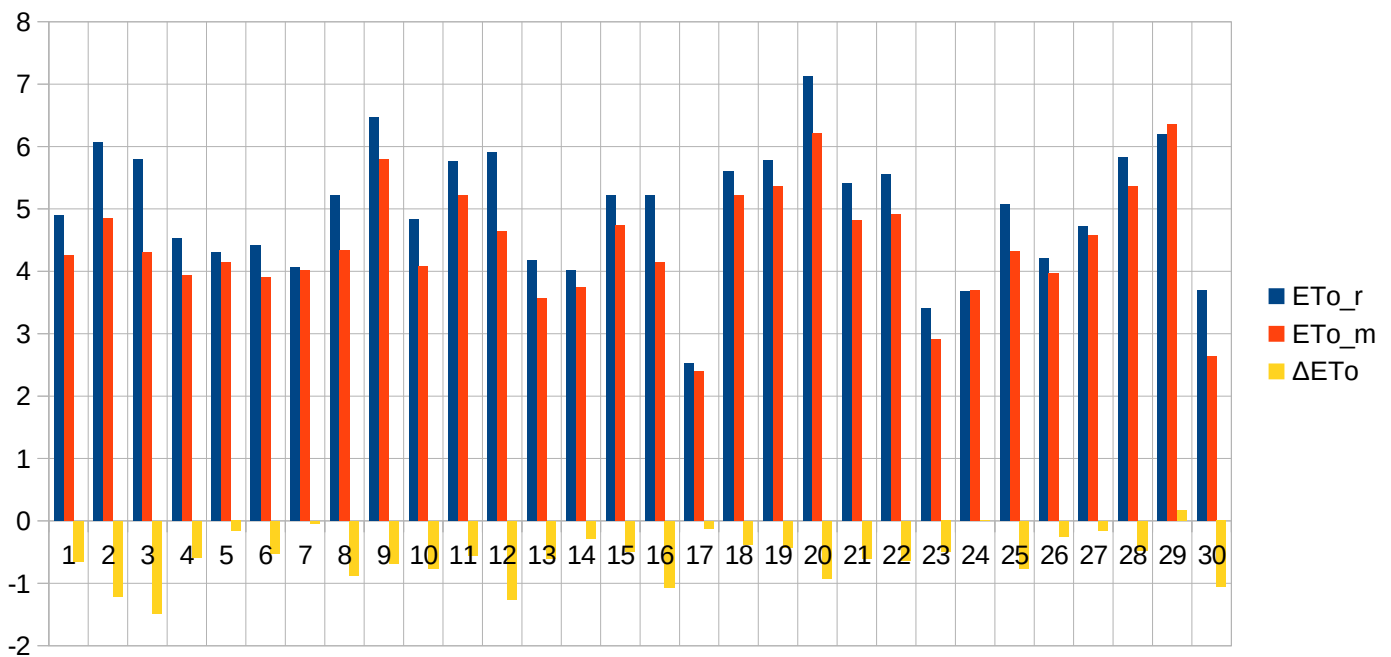
Data	T _{min_r}	T _{min_m}	T _{max_r}	T _{max_m}	RH _{min_r}	RH _{min_m}	Rh _{max_r}	RH _{max_m}	V _r	V _m	P _r	P _m	R _r	R _m	ET _{o_r}	ET _{o_m}	ΔET _o			
2017-04-01	8,4	9,55	23,5	22,05	30	50,5	84	93,9	2,67	3,88	100,24	100,24	0	0	4,07	3,5	-0,57			
2017-04-02	8	9,65	18,8	19,25	52	60,1	85	91,3	3,67	2,75	100,48	100,42	0	0,01	3,11	2,63	-0,48			
2017-04-03	4,8	7,45	12,9	14,55	62	55,6	95	96,1	2,54	1,46	101,38	101,32	0	0,53	1,93	1,94	0,01			
2017-04-04	5,9	6,05	17,6	17,35	49	58,8	97	96	3,92	0,61	101,35	101,27	0	0,01	3,01	2,11	-0,9			
2017-04-05	6,7	6,75	11,7	12,45	74	75,9	95	90,4	3,5	2,21	100,77	100,72	0,4	1,51	1,59	1,64	0,05			
2017-04-06	4,9	4,65	11,3	10,75	42	48,8	85	83,8	6,75	6,99	100,54	100,51	0,7	1,65	2,92	2,67	-0,25			
2017-04-07	5,8	4,85	9,8	9,05	75	88,6	95	95,5	5,25	2,49	100,42	100,39	5,9	3,72	1,46	1,15	-0,31			
2017-04-08	7,6	6,85	9,7	10,55	79	79,3	93	97,3	3,75	1,55	101,11	101,11	0,6	0,26	1,27	1,33	0,06			
2017-04-09	7,5	6,75	15,5	14,65	51	57,1	92	89,9	1,79	1,06	101,41	101,43	0	0,14	2,36	2,07	-0,29			
2017-04-10	6,2	7,05	23	21,25	30	43,4	90	95,5	5,13	4,4	100,45	100,48	0	0,86	5,27	4,05	-1,22			
2017-04-11	4,8	5,15	10,2	9,65	34	47,5	79	75	6,92	3,47	100,7	100,72	0,2	0,52	3,19	2,33	-0,86			
2017-04-12	5,1	3,65	9,6	8,75	78	88,9	93	94,2	5,13	3,59	100,1	100,04	6	9,28	1,48	1,21	-0,27			
2017-04-13	5,9	5,45	10,2	9,65	58	67,5	91	94	6,17	2,75	99,65	99,61	10,5	3,77	2,15	1,63	-0,52			
2017-04-14	5	5,05	10,6	10,15	53	62,4	92	93,7	5,58	2,41	100,1	100,11	0,2	2,1	2,33	1,8	-0,53			
2017-04-15	5,9	4,35	10,9	10,55	59	68,9	87	96,5	4,92	2,7	99,87	99,87	3	2,97	2,24	1,77	-0,47			
2017-04-16	3,8	1,65	7,2	7,35	55	51,8	84	91,2	4,83	3,2	100,15	100,12	0	1,37	1,97	1,9	-0,07			
2017-04-17	3	1,75	6,6	8,55	74	62,6	92	94,2	3,13	0,87	100,43	100,47	3	4,51	1,37	1,7	0,33			
2017-04-18	0,6	-0,15	7,2	6,95	37	53,6	91	91,5	6,04	4,58	101,05	101,09	1	2,72	2,48	1,98	-0,5			
2017-04-19	-1,7	-1,65	6,8	6,55	33	39,2	86	82,8	5,75	7,59	101,94	101,95	0	0	2,61	2,59	-0,02			
2017-04-20	-2,6	-2,85	7,9	7,65	32	36,5	80	86,1	3,83	3,48	102,17	102,24	0	0,02	2,68	2,45	-0,23			
2017-04-21	1,9	-0,39	12,7	9,45	51	65,6	78	93,2	6,13	2,19	101,15	101,21	0	0,6	3,14	1,99	-1,15			
2017-04-22	3,5	2,75	9,4	8,05	47	58,4	90	93	7,21	4,32	100,32	100,33	2,1	3,28	2,6	1,93	-0,67			
2017-04-23	1,7	1,45	9,9	8,65	44	52	92	97	5,42	2,29	100,53	100,51	13	1,79	2,67	2,03	-0,64			
2017-04-24	1	-0,15	12,3	11,45	35	47,2	90	97,2	4,33	3,91	100,4	100,42	2	0,06	3,25	2,7	-0,55			
2017-04-25	6,4	4,65	14,6	13,55	41	55,3	78	80,7	5,21	5,04	99,41	99,4	0	0,46	3,67	3,02	-0,65			
2017-04-26	2,8	1,35	9,4	9,95	37	41,3	88	91,8	2,5	1,26	100,1	100,1	0	0,01	2,45	2,28	-0,17			
2017-04-27	1,8	2,65	10,3	10,45	44	51,5	92	89,1	1,91	1,04	100,4	100,39	0	0,4	2,41	2,19	-0,22			
2017-04-28	3,1	2,95	7,9	8,85	69	63,7	90	91,2	3,25	1,78	100,26	100,26	0,8	1,47	1,76	1,91	0,15			
2017-04-29	1,8	2,55	11	11,45	51	53,5	94	95,8	3,58	1,66	100,5	100,49	0,7	1,75	2,58	2,39	-0,19			
2017-04-30	1,3	0,85	10,5	10,75	50	53	92	97,1	4,42	1,29	101,18	101,2	0	0,03	2,63	2,35	-0,28			
															Σ	50,1	45,8	76,65	65,24	-11,41



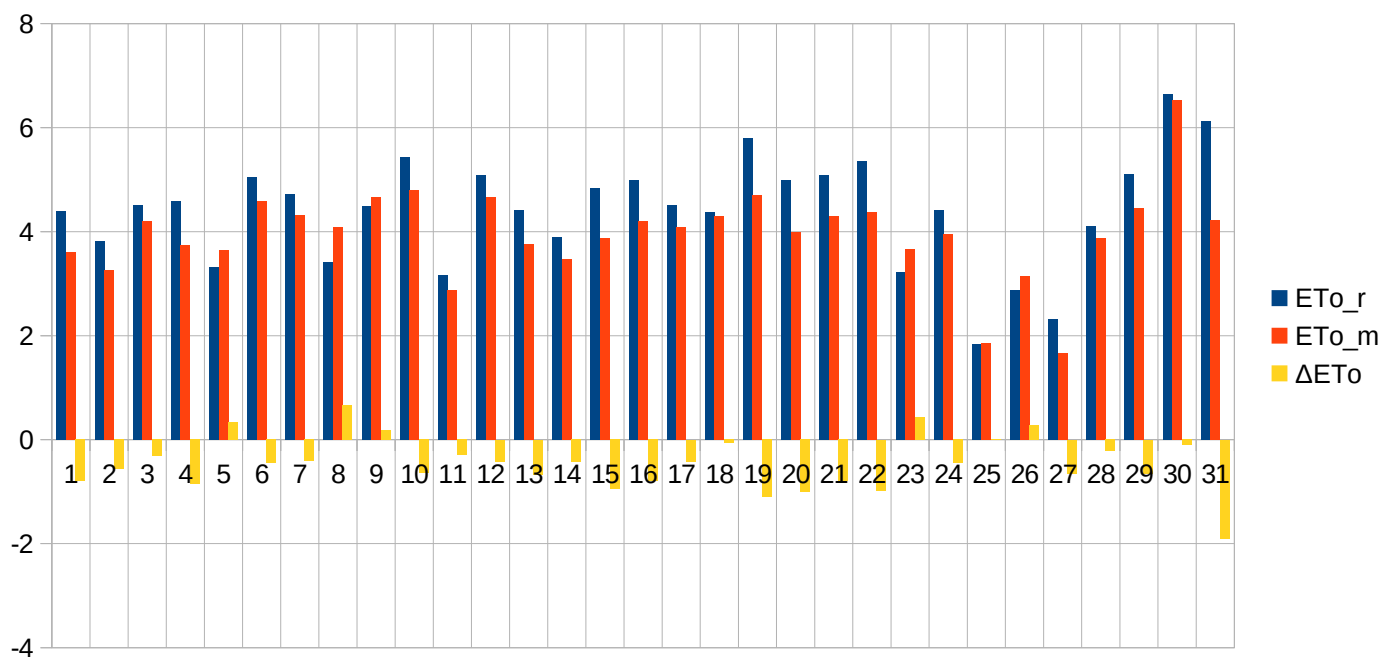
Data	T _{min_r}	T _{min_m}	T _{max_r}	T _{max_m}	RH _{min_r}	RH _{min_m}	Rh _{max_r}	RH _{max_m}	V _r	V _m	P _r	P _m	R _r	R _m	ET _{o_r}	ET _{o_m}	ΔET _o		
2017-05-01	3,5	2,35	14,9	13,75	46	56,1	85	87,2	6,54	1,82	100,9	100,94	0	0,1	3,73	2,8	-0,93		
2017-05-02	6,7	5,05	12,8	13,35	51	54,6	76	88,9	7,29	2,12	100,99	101,03	0,4	1,85	3,36	2,68	-0,68		
2017-05-03	7,5	6,45	13,8	13,95	65	64,6	83	95,5	4,79	0,8	101,24	101,22	0	0,01	2,71	2,42	-0,29		
2017-05-04	8,5	8,45	10,5	10,75	76	88,1	95	98,3	4,71	0,9	100,68	100,69	10	19,84	1,55	1,45	-0,1		
2017-05-05	8,2	5,75	15,7	16,15	66	66,2	97	99,9	1,79	1,04	100,81	100,76	0,2	0,01	2,63	2,84	0,21		
2017-05-06	5,9	9,05	12,9	10,65	90	94,4	97	97,8	2,96	2,93	100,48	100,42	5	10,99	1,88	1,1	-0,78		
2017-05-07	5,3	5,05	11,3	10,35	66	83,7	95	98,2	4,08	4,26	100,01	100,01	0,6	2,3	2,22	1,62	-0,6		
2017-05-08	1,4	1,35	7,9	7,95	68	83,7	90	95,9	3,83	4,1	100,27	100,27	2,8	2,41	1,96	1,57	-0,39		
2017-05-09	0	-0,85	7,5	7,35	46	49,9	90	96	3,83	3,7	100,67	100,69	0,2	1,16	2,4	2,26	-0,14		
2017-05-10	1,2	0,15	10,7	8,75	62	76,5	91	96,4	4,08	3,21	99,97	99,96	0,6	3,3	2,5	1,93	-0,57		
2017-05-11	5,1	0,25	15,6	13,75	46	68	92	98,9	3,79	0,9	99,7	99,71	0	0,5	3,56	2,89	-0,67		
2017-05-12	6,3	4,85	21	19,55	31	56,5	89	97,2	5,58	1,63	99,62	99,61	0	0	5,61	3,78	-1,83		
2017-05-13	10,1	8,55	22	20,65	35	52,4	92	96,9	3,46	1,14	100,17	100,11	0	0	4,93	3,75	-1,18		
2017-05-14	10	9,85	22,9	22,25	37	47,3	87	94,2	2,83	1,61	100,9	100,89	0	0,66	4,97	4,17	-0,8		
2017-05-15	11,7	11,95	22,2	20,75	37	53,2	93	97,4	2,79	1,91	101,55	101,52	0,4	8,14	4,62	3,65	-0,97		
2017-05-16	8,4	8,95	18,7	18,95	46	48,2	95	96,7	2	1,04	101,93	101,88	0	0,4	3,71	3,47	-0,24		
2017-05-17	7,8	8,85	22,6	21,95	34	49,7	96	92,8	2,33	1,25	101,51	101,48	0	0	4,9	4,12	-0,78		
2017-05-18	13,6	11,25	25,7	24,55	30	47,3	66	88,6	4,5	3,15	100,64	100,63	0	0	6,76	5,11	-1,65		
2017-05-19	14,9	13,4	28,4	26,35	28	47,3	71	84,3	5,25	3,48	100,12	100,15	0	0	7,81	5,57	-2,24		
2017-05-20	13,4	12,25	19,2	18,25	60	68,4	87	92,1	5,54	3,96	100,6	100,55	0	0,11	3,7	3,07	-0,63		
2017-05-21	10,5	10,35	21,1	19,75	30	46,4	85	85,5	6,38	7,37	101,27	101,22	0	0	5,85	4,85	-1		
2017-05-22	7,9	7,38	21,6	20,35	31	41,6	85	90,2	2,75	1,95	101,07	101,06	0	0	5,09	4,32	-0,77		
2017-05-23	8,8	8,45	23,2	21,95	31	45,4	81	78,7	1,58	0,44	100,56	100,56	0	0	4,92	4,06	-0,86		
2017-05-24	10,5	10,95	17	13,15	59	90,6	93	95,3	6,21	3,69	100,51	100,47	9	7,59	3,4	1,52	-1,88		
2017-05-25	10,2	6,95	18,3	17,65	49	58,8	93	98,8	3,54	1,58	100,88	100,83	0	0,25	3,83	3,48	-0,35		
2017-05-26	8,9	7,95	22,2	21,85	50	51,8	88	96,1	3,92	3,25	100,89	100,88	0	0,24	4,9	4,61	-0,29		
2017-05-27	9,1	7,74	23,6	21,35	26	45,1	90	94	1,5	0,56	101,34	101,32	0	0	5,02	4,1	-0,92		
2017-05-28	10,3	10,33	27,4	26,95	27	40,3	79	72,9	3,5	4,97	101,04	101,09	0	0	6,89	6,9	0,01		
2017-05-29	17,3	14,88	29	26,85	29	53,6	68	94	3,13	2,09	100,29	100,31	0	5,23	6,84	5,05	-1,79		
2017-05-30	14,6	13,94	28,4	27,35	40	54,2	91	97	2,46	0,89	100,16	100,1	14	4,37	5,95	4,94	-1,01		
2017-05-31	13,7	12,75	22,7	22,25	39	45,7	94	97,8	6,42	2,48	100,49	100,45	5,2	0,85	5,52	4,4	-1,12		
Σ															48,4	70,31	133,72	108,48	-25,24



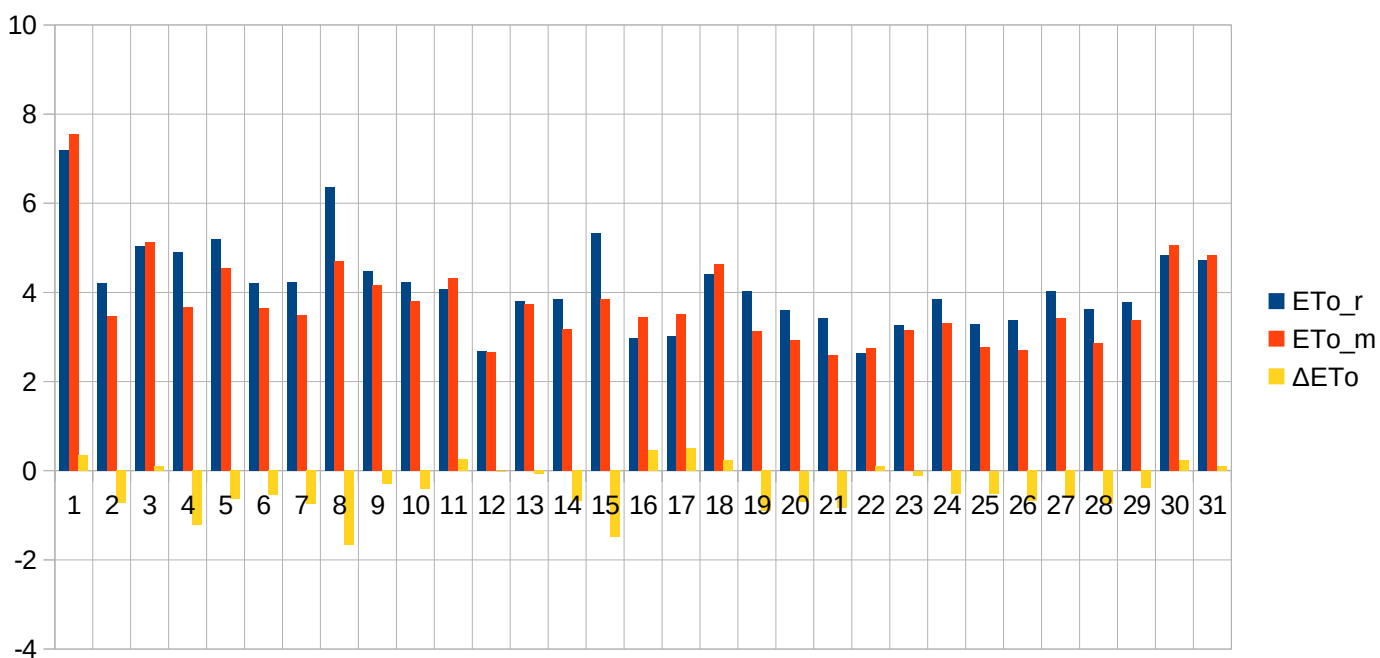
Data	T _{min_r}	T _{min_m}	T _{max_r}	T _{max_m}	RH _{min_r}	RH _{min_m}	Rh _{max_r}	RH _{max_m}	V _r	V _m	P _r	P _m	R _r	R _m	ET _{o_r}	ET _{o_m}	ΔET _o			
2017-06-01	9,4	8,35	19,2	19,55	39	45	83	91,9	4,96	2,42	100,89	100,9	0	0,01	4,9	4,25	-0,65			
2017-06-02	9	7,95	22,6	21,95	20	33,3	84	92,3	3,54	1,79	100,78	100,8	0	0	6,06	4,85	-1,21			
2017-06-03	8,7	7,35	21,9	21,05	34	48,3	76	80,8	4,29	0,94	100,69	100,67	0	0	5,79	4,31	-1,48			
2017-06-04	14,7	12,85	21,9	21,55	51	63,9	89	88,1	4,54	2,17	99,89	99,85	7,4	0,81	4,53	3,94	-0,59			
2017-06-05	11,2	9,75	20,5	21,15	49	47,5	92	97,4	3,13	1	100,46	100,43	0	0,12	4,3	4,14	-0,16			
2017-06-06	15,2	13,15	23,4	21,95	60	62,6	96	96,4	5,25	1,58	99,69	99,7	2	14,08	4,42	3,9	-0,52			
2017-06-07	12,3	10,85	18	18,35	41	45,9	94	94,3	4,75	4,03	100,09	100,13	65	5,11	4,06	4,02	-0,04			
2017-06-08	10,9	8,85	20,8	20,25	34	43,7	82	94,8	3,96	2,02	100,79	100,78	0	0,01	5,22	4,34	-0,88			
2017-06-09	13,2	12,65	26,6	25,65	32	44,1	82	88,1	3,42	3,59	100,52	100,52	0	2,22	6,47	5,79	-0,68			
2017-06-10	14,2	10,45	21,2	20,75	38	52,9	91	98	4,42	1,71	100,78	100,74	0,5	7,39	4,84	4,08	-0,76			
2017-06-11	11	9,45	25,2	25,05	35	44,6	89	92,1	2,58	1,46	100,86	100,86	0	0	5,76	5,21	-0,55			
2017-06-12	16,2	15,65	24	23,15	35	52,8	88	95	5,46	5,01	99,97	99,99	4	8,72	5,9	4,64	-1,26			
2017-06-13	14	11,95	18,1	18,35	54	58,3	79	85,5	7,17	2,65	100,27	100,24	0	0,51	4,17	3,57	-0,6			
2017-06-14	11,7	10,45	18,3	18,65	53	55,8	83	96	4,5	3,08	100,7	100,66	0	0,14	4,02	3,74	-0,28			
2017-06-15	9,1	9,25	23,6	23,45	39	45,3	91	92,4	2	0,92	100,72	100,71	0	0	5,22	4,73	-0,49			
2017-06-16	12,6	12,05	22,6	21,25	45	57,8	92	97	5,08	3,33	100,15	100,1	1,7	9,01	5,21	4,14	-1,07			
2017-06-17	11,9	10,55	16,4	15,65	79	85,9	92	95,6	5,83	2,6	100,7	100,6	4	2,92	2,52	2,4	-0,12			
2017-06-18	13,4	10,45	24,3	24,65	41	44,2	89	96,7	3,96	2,03	101,26	101,22	0	0	5,6	5,22	-0,38			
2017-06-19	14,3	14,35	27,9	28,05	45	43,5	91	94,2	2,21	1,05	101,11	101,08	0	0	5,78	5,36	-0,42			
2017-06-20	14,5	14,15	28,8	27,65	40	50,3	83	81,3	4,58	3,95	100,45	100,46	0	2,25	7,13	6,21	-0,92			
2017-06-21	11,1	10,25	22,3	21,95	35	43,5	86	81,8	3,54	2,15	100,63	100,63	0	0	5,41	4,81	-0,6			
2017-06-22	13,1	11,55	24,3	24,95	29	38,3	79	86	2,38	0,9	100,23	100,24	0	1,67	5,56	4,92	-0,64			
2017-06-23	16	16,45	21,4	20,85	72	80	94	93,4	5,67	3,82	99,88	99,7	15	6,77	3,41	2,91	-0,5			
2017-06-24	16,3	15,25	21,2	22,15	64	65,4	88	96,4	3,96	1,71	100,17	100,13	0,1	1,13	3,68	3,69	0,01			
2017-06-25	16,2	14,75	24,9	23,95	50	60,5	93	96,4	4,04	2,04	99,96	99,92	3	2,6	5,08	4,32	-0,76			
2017-06-26	13,6	12,35	19,7	20,55	45	49,1	92	98,1	4,21	1,94	100,03	99,98	2,2	2,02	4,21	3,96	-0,25			
2017-06-27	9,6	9,95	21,9	23,35	43	41,4	92	93,7	2,04	0,64	100,19	100,2	0	0	4,72	4,57	-0,15			
2017-06-28	14,2	14,75	27,4	28,35	60	53,5	82	89,1	4,67	1,16	99,28	99,2	0	0,12	5,83	5,36	-0,47			
2017-06-29	17,2	16,75	27	27,25	44	48	90	96,5	5,38	8,08	98,21	98,22	0,8	5,28	6,19	6,35	0,16			
2017-06-30	15	14,95	19,5	17,85	61	75,3	92	92,9	7,54	9,45	98,87	98,81	17,8	21,05	3,69	2,63	-1,06			
															Σ	123,5	93,94	149,68	132,36	-17,32



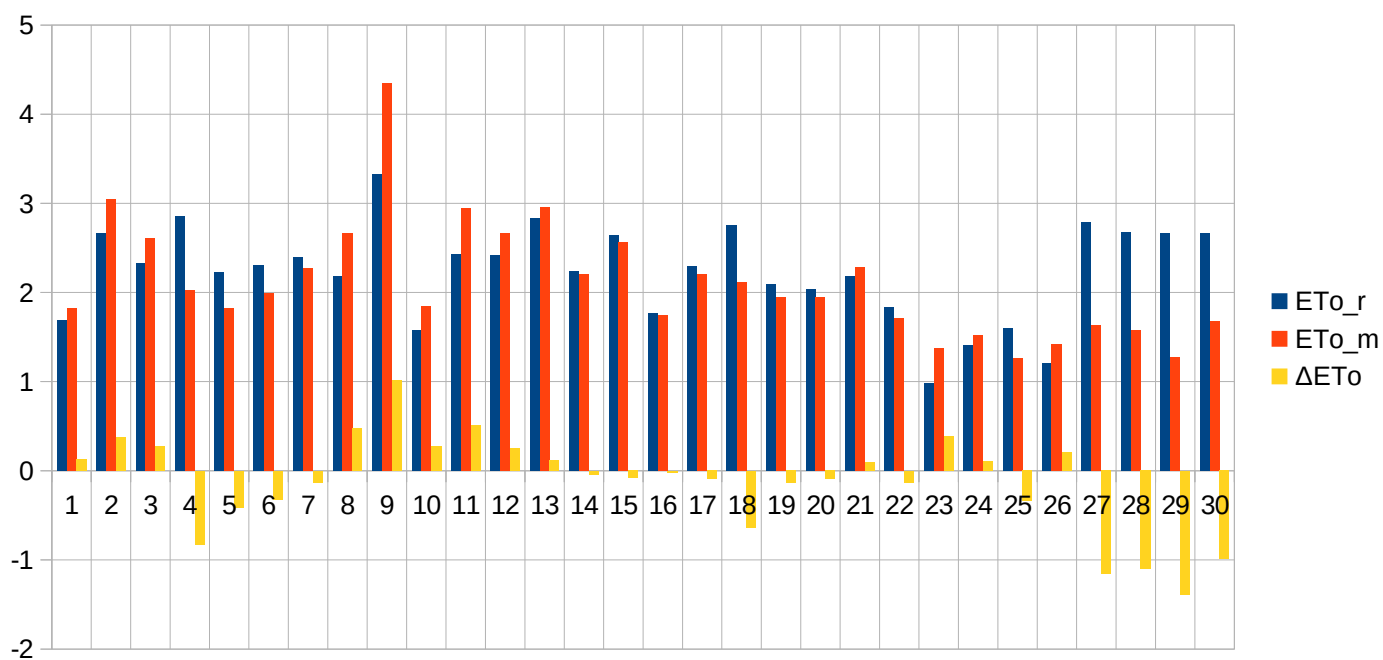
Data	T _{min_r}	T _{min_m}	T _{max_r}	T _{max_m}	RH _{min_r}	RH _{min_m}	Rh _{max_r}	RH _{max_m}	V _r	V _m	P _r	P _m	R _r	R _m	ET _{o_r}	ET _{o_m}	ΔET _o
2017-07-01	12,9	13,15	21,1	20,35	54	64,3	92	96,5	5,04	2,95	99,47	99,41	7	2,64	4,4	3,6	-0,8
2017-07-02	14	13,75	19,3	19,25	56	62,8	93	96,4	6	2,58	100,09	100,03	1,7	1,83	3,82	3,26	-0,56
2017-07-03	12,3	10,15	19,8	20,45	44	47,3	91	96,8	4,92	2,13	100,78	100,75	0	0,29	4,51	4,2	-0,31
2017-07-04	11,5	11,25	19,4	18,55	43	52,6	90	95,8	5,29	3,59	100,68	100,67	2	4,88	4,59	3,74	-0,85
2017-07-05	10,7	9,85	17,4	18,95	62	59,7	88	89,9	2,42	1,34	100,85	100,82	0,4	1,62	3,31	3,64	0,33
2017-07-06	8,5	8,25	22,6	22,65	28	33,6	93	91	1,75	0,83	100,98	100,96	0	0	5,04	4,59	-0,45
2017-07-07	12,4	11,85	22,6	22,75	45	56,7	93	96,3	2,88	1,84	100,54	100,51	12	14,61	4,72	4,31	-0,41
2017-07-08	12,2	12,05	20,6	22,65	78	64,6	96	98,2	1,92	1,42	100,34	100,28	6	1,99	3,42	4,09	0,67
2017-07-09	15	13,55	23,9	24,75	53	39,7	95	97,2	2,71	1,23	100,42	100,38	0	0	4,48	4,66	0,18
2017-07-10	16,9	15,15	27,5	26,95	55	66	91	94,8	3,88	2,01	99,84	99,84	1	20,5	5,43	4,79	-0,64
2017-07-11	17,3	15,95	20,9	20,45	65	72,6	94	98,1	3,79	1,07	99,86	99,88	1,2	2,45	3,17	2,88	-0,29
2017-07-12	15,2	13,95	25,3	24,65	43	52,8	94	96,1	2,79	2,35	99,84	99,83	3,4	7,73	5,09	4,67	-0,42
2017-07-13	12,2	11,75	19,6	19,45	49	56,9	94	97,3	7,54	4,41	100,41	100,38	25	15,65	4,42	3,75	-0,67
2017-07-14	10,1	9,15	19,5	18,65	42	54,4	86	96,4	1,42	0,57	100,6	100,62	0	0,54	3,9	3,47	-0,43
2017-07-15	11,3	12,75	22,2	21,75	29	36,8	87	78,4	2,13	0,74	100,74	100,74	0	0,12	4,83	3,88	-0,95
2017-07-16	10,4	9,25	23,2	22,15	40	45,8	89	91	2,5	0,79	101,11	101,09	0	0,43	4,99	4,2	-0,79
2017-07-17	15,3	13,15	22,4	21,95	42	50,9	95	97,4	3,67	2,45	100,91	100,91	6	9,3	4,51	4,09	-0,42
2017-07-18	14,8	10,95	23,2	23,75	43	43,1	84	90,7	1,92	0,66	101,06	101,08	0	0,01	4,37	4,3	-0,07
2017-07-19	13,5	12,5	26,7	26,37	40	46,9	88	88,4	3,17	0,72	100,62	100,62	0	0	5,8	4,7	-1,1
2017-07-20	16,6	16,76	26,3	25,26	52	61,7	91	90	3,25	0,95	100,05	100,05	0	5,75	4,99	3,99	-1
2017-07-21	17,8	17,94	26,7	25,75	48	56,43	95	96,22	3,54	2,48	100,26	100,24	10	11,4	5,08	4,29	-0,79
2017-07-22	16,5	15,66	26,9	26,35	48	54,6	95	96,2	3,96	1,05	100,48	100,48	0	0,11	5,36	4,38	-0,98
2017-07-23	17,8	18,15	22,8	25,05	72	63,28	93	89,3	2,83	0,95	100,26	100,22	35	4,82	3,23	3,67	0,44
2017-07-24	13,1	15,31	23,3	24,15	47	44,9	91	90,88	2,21	0,93	99,91	99,89	0	3,56	4,41	3,96	-0,45
2017-07-25	15,4	14,78	17,6	17,02	88	88,88	94	94,23	3,96	2,01	99,04	99,03	43	58,74	1,84	1,85	0,01
2017-07-26	14,6	12,57	19,2	19,75	70	69,16	94	96,7	3,71	1,91	98,98	98,98	4,8	0,5	2,87	3,14	0,27
2017-07-27	15,3	14,45	19,4	16,77	86	91,65	95	98,02	3,42	2,86	99,5	99,48	18	8,42	2,32	1,67	-0,65
2017-07-28	15,2	15,25	22,8	23,12	48	48,5	99	95,39	3,17	1,8	99,91	99,85	5,9	2,85	4,1	3,88	-0,22
2017-07-29	12,4	13,41	24,6	24,16	41	47,5	92	89,4	3,21	2,12	100,44	100,42	0	0,01	5,1	4,45	-0,65
2017-07-30	14,7	17,57	31,7	30,45	33	46,9	93	84,73	2,83	4,58	100,15	100,2	0	0,32	6,64	6,53	-0,11
2017-07-31	20,4	21,85	29,1	28,15	34	45,8	79	78,63	3,54	1,47	100,42	100,44	0	0,54	6,12	4,22	-1,9
Σ													182,4	181,61	136,86	122,85	-14,01



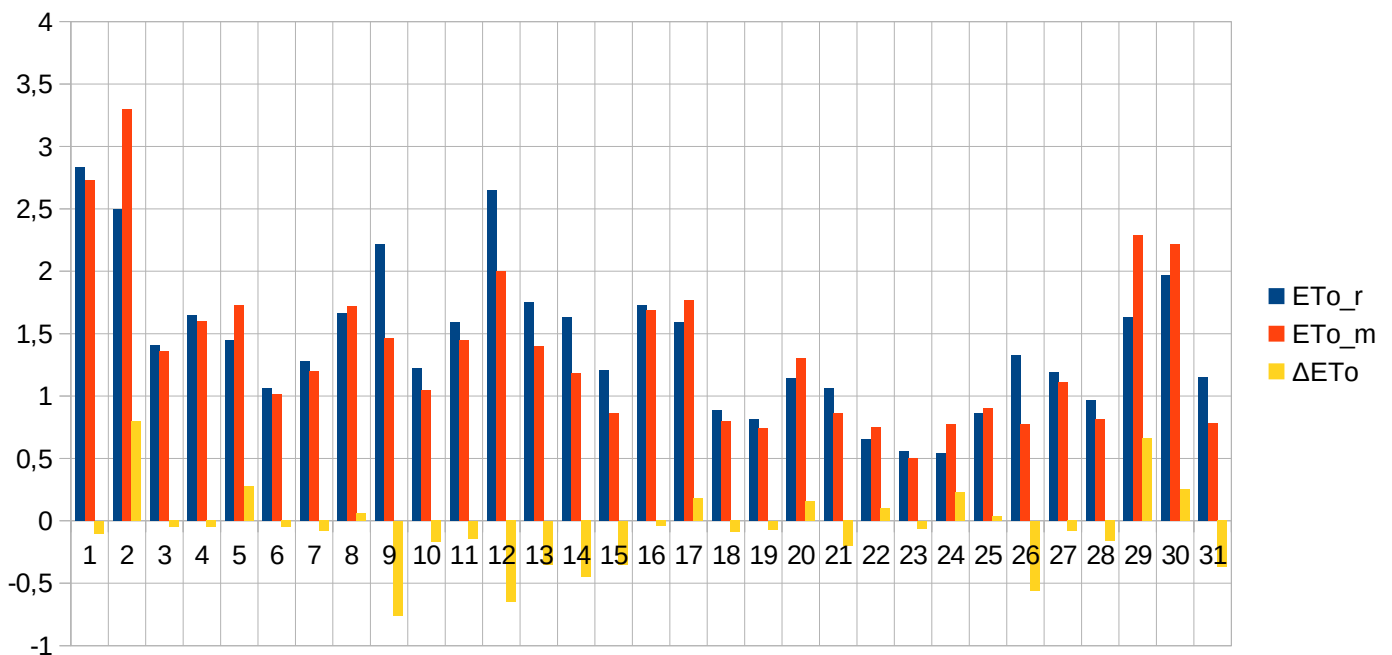
Data	T _{min_r}	T _{min_m}	T _{max_r}	T _{max_m}	RH _{min_r}	RH _{min_m}	Rh _{max_r}	RH _{max_m}	V _r	V _m	P _r	P _m	R _r	R _m	ET _{o_r}	ET _{o_m}	ΔET _o
2017-08-01	18,9	22,3	33,5	33,03	36	43,84	98	72,41	3,88	5,11	100,51	100,53	0,4	0	7,2	7,55	0,35
2017-08-02	18,8	20,64	26,5	26,42	59	55,94	98	88,61	3,38	0,95	100,67	100,67	55	1,26	4,21	3,48	-0,73
2017-08-03	19,5	19,86	27,7	27,17	49	52,8	92	83,4	3,83	4,58	100,25	100,28	0	0,43	5,03	5,13	0,1
2017-08-04	18,5	17,85	26,5	24,76	44	57,24	95	88	3,75	1,62	100,04	100,07	0	0,67	4,9	3,68	-1,22
2017-08-05	17	16,24	25,8	25,85	39	44,51	95	80,5	4,21	2,07	100,3	100,28	0	0,65	5,19	4,55	-0,64
2017-08-06	15,3	14,65	21,8	21,96	42	44,26	95	92,8	4,17	1,92	100,87	100,85	4	0,65	4,2	3,65	-0,55
2017-08-07	11,2	13,45	23,2	23,89	32	37,38	92	80,8	1,58	0,39	101,21	101,21	0	0	4,24	3,49	-0,75
2017-08-08	13,5	14,65	25,3	24,65	33	44,43	78	67,3	5,54	2,47	100,74	100,78	0	0	6,37	4,7	-1,67
2017-08-09	16,5	16,25	26,1	26,51	53	46,23	85	77,97	2,71	1,26	100,59	100,55	0	0	4,47	4,17	-0,3
2017-08-10	18	19,25	25,9	27,07	57	54,5	96	81,9	3,96	1,2	100,6	100,61	17	3,84	4,22	3,81	-0,41
2017-08-11	17,6	18,49	25,3	28,45	58	51,27	95	93	3,96	1,72	100,28	100,23	3,4	20,21	4,08	4,33	0,25
2017-08-12	13,8	14,65	18,3	18,96	66	63,6	96	91,8	4,38	2,38	100,31	100,22	40	4,07	2,68	2,66	-0,02
2017-08-13	13,1	14,05	21,5	22,49	55	49,2	88	84,5	3,67	2,11	100,75	100,72	0	0,1	3,8	3,73	-0,07
2017-08-14	11	13,15	22,5	22,8	43	41,21	96	79,1	1,92	0,47	101,37	101,37	0	0	3,86	3,18	-0,68
2017-08-15	12,2	14,15	25,4	25,15	41	44,22	83	66,6	4,04	1,04	101,15	101,17	0	0	5,32	3,84	-1,48
2017-08-16	15,3	16,75	21,9	24,15	65	61,7	98	94,81	2,38	2,54	100,9	100,85	5	6,51	2,98	3,44	0,46
2017-08-17	15	14,92	22,2	24,35	65	51,06	99	95,96	2,29	1,39	101	100,94	0	0	3,02	3,52	0,5
2017-08-18	17,8	19,29	27,2	27,25	54	55,81	92	71,9	3,38	3,34	100,37	100,37	0,1	2,2	4,41	4,64	0,23
2017-08-19	13,5	16,35	23,6	21,55	54	51,2	95	89,4	4,04	2,23	100,48	100,46	3,3	7,16	4,03	3,13	-0,9
2017-08-20	11,3	14,5	20,6	20,76	42	46,7	92	72,36	2,54	1,09	100,87	100,83	0	1,4	3,61	2,92	-0,69
2017-08-21	12,4	12,95	19,5	18,65	55	59,4	93	90,53	5,08	1,72	100,85	100,83	2,2	7,78	3,42	2,59	-0,83
2017-08-22	11,9	11,86	16,6	18,04	60	54,53	95	94,1	4,79	2,46	100,8	100,77	1,1	0,53	2,64	2,75	0,11
2017-08-23	10,4	10,97	20,1	20,53	54	50,58	94	92,78	2,92	1,88	100,73	100,73	0	0	3,27	3,16	-0,11
2017-08-24	9,7	12,15	23,1	22,92	38	39,98	96	87,38	1,96	1,13	100,52	100,55	0	0	3,85	3,32	-0,53
2017-08-25	14,9	16,19	22,3	22,09	53	57,29	96	83,7	2,83	1,35	100,7	100,68	0	0,21	3,29	2,78	-0,51
2017-08-26	12,1	14,25	23,5	23,45	51	47,8	96	82,23	1,67	0,28	100,69	100,71	0	0	3,38	2,7	-0,68
2017-08-27	13,7	15,45	23,4	22,21	53	53,6	93	89,3	4,88	3,34	100,32	100,32	0	3,57	4,03	3,42	-0,61
2017-08-28	11,3	12,95	21,9	20,85	45	54,91	95	92,8	2,88	1,85	100,9	100,89	0	0,22	3,62	2,87	-0,75
2017-08-29	9,9	13,37	23,9	23,47	40	44,8	97	87,2	2	1,69	100,84	100,86	0	0	3,78	3,39	-0,39
2017-08-30	12,1	15,21	27,7	26,99	35	36,6	88	71,63	2,63	3,23	100,36	100,39	0	0	4,83	5,06	0,23
2017-08-31	16,8	17,67	28,5	28,69	48	49,96	95	86,69	3,96	4,04	100,12	100,13	0	1,4	4,73	4,84	0,11
Σ													131,5	62,86	128,66	116,48	-12,18



Data	T _{min_r}	T _{min_m}	T _{max_r}	T _{max_m}	RH _{min_r}	RH _{min_m}	Rh _{max_r}	RH _{max_m}	V _r	V _m	P _r	P _m	R _r	R _m	ET _{o_r}	ET _{o_m}	ΔET _o		
2017-09-01	11,9	12,2	16,8	17,14	85	86,2	96	90,22	4,04	5,46	100,74	100,72	25	22,2	1,69	1,82	0,13		
2017-09-02	10,6	10,45	17,6	18,27	58	55,47	96	91,15	3,96	4,62	100,54	100,52	12	2,73	2,66	3,04	0,38		
2017-09-03	10,3	11,31	16,8	17,23	65	61,74	95	91,64	3,79	4,67	100,3	100,33	0	0,32	2,33	2,61	0,28		
2017-09-04	10,9	11,25	17,7	15,55	59	67,1	90	84,86	5,04	2,29	100,23	100,26	0,1	5,52	2,85	2,02	-0,83		
2017-09-05	12,8	12,18	16,7	17,78	67	82,11	95	95,32	5,46	2,58	100,45	100,5	0,9	1,73	2,23	1,82	-0,41		
2017-09-06	14,7	14,55	20	19,65	65	63,9	99	96,47	3	1,03	100,03	100	7	5,08	2,31	1,99	-0,32		
2017-09-07	11,8	12,02	16,2	16,25	65	57,93	94	85	7,17	2,66	99,83	99,75	6,3	3,35	2,4	2,27	-0,13		
2017-09-08	10,5	11,15	17,2	17,55	69	62,7	94	87,2	3,71	4,84	99,85	99,83	1,1	0,65	2,18	2,66	0,48		
2017-09-09	12,5	13,46	22,5	23,25	50	51,44	86	79,8	2,92	6,07	99,19	99,23	0	0	3,33	4,35	1,02		
2017-09-10	14,4	13,76	16,8	17,11	76	70,89	92	86,31	2,29	2,21	99,49	99,45	1,6	0,11	1,58	1,85	0,27		
2017-09-11	12,2	12,38	19,3	20,48	59	55,4	99	94,1	3,13	3,97	99,29	99,27	0	0,86	2,43	2,94	0,51		
2017-09-12	11,1	12,56	18,2	18,75	60	52,21	93	85,66	3,33	2,93	99,47	99,47	0,2	0,11	2,42	2,67	0,25		
2017-09-13	9,7	10,95	18,2	16,43	58	62,11	93	85,95	5,5	9,75	99,35	99,39	2,2	1,08	2,83	2,95	0,12		
2017-09-14	10,3	10,9	15,9	14,58	67	73,1	91	80,35	5,96	6,73	99,05	99,08	0,6	1,51	2,24	2,2	-0,04		
2017-09-15	9,4	9,9	16,8	17,05	54	53,83	90	83,8	4,38	3,29	99,93	99,9	0	0,46	2,64	2,56	-0,08		
2017-09-16	7,3	9,69	16	15,87	62	61,8	97	86,4	1,29	1,32	100,24	100,26	0	2,16	1,77	1,75	-0,02		
2017-09-17	6,4	9,76	17,1	17,42	49	53,4	99	89,8	2,33	2,18	100,28	100,18	0	0,53	2,29	2,2	-0,09		
2017-09-18	9	10,11	17,4	17,05	47	52,9	95	87,29	4,13	1,97	100,25	100,27	0	0,27	2,75	2,11	-0,64		
2017-09-19	6,7	9,15	18,3	17,36	42	45,49	96	78,1	1,21	1,08	100,57	100,57	0	0	2,09	1,95	-0,14		
2017-09-20	5,8	10,05	17,4	17,38	48	47,37	98	77,74	1,54	1,21	100,71	100,7	0	0,13	2,04	1,95	-0,09		
2017-09-21	7	9,55	17,4	16,85	63	65,18	98	89,13	4,04	5,11	100,82	100,82	0	0	2,18	2,28	0,1		
2017-09-22	8,3	9,53	15,8	15,48	63	66,33	98	94,42	3,13	2,81	100,91	100,87	0	3,35	1,84	1,71	-0,13		
2017-09-23	11,5	11,21	14,9	15,25	91	81,21	98	94,59	3,92	4,31	100,97	100,98	5,3	4,95	0,98	1,37	0,39		
2017-09-24	12,7	11,54	16,7	17,83	78	65,6	97	94,54	3,29	1,1	101,17	101,16	0	0,33	1,41	1,52	0,11		
2017-09-25	12,6	11,96	16,5	16,35	73	70,54	96	89,52	4,04	0,71	101,33	101,32	1,9	2,41	1,6	1,26	-0,34		
2017-09-26	11,8	11,02	15	17,14	80	65	98	94,76	3,58	1,04	101,74	101,72	0	0	1,21	1,42	0,21		
2017-09-27	12,5	12,65	18,8	19,26	52	46,42	95	77,6	5,67	0,78	101,85	101,89	0	0	2,79	1,63	-1,16		
2017-09-28	9	10,64	18	17,79	61	55,87	81	75,54	5,54	0,97	101,92	101,96	0	0	2,68	1,58	-1,1		
2017-09-29	6,6	9,5	15,7	15,6	46	44,87	89	79,5	4,92	0,55	101,75	101,76	0	0	2,66	1,27	-1,39		
2017-09-30	5,6	8,81	18,7	18,25	49	50,63	96	91,3	4,25	1,29	101,25	101,3	0	0	2,67	1,68	-0,99		
Σ															64,2	59,84	67,08	63,43	-3,65

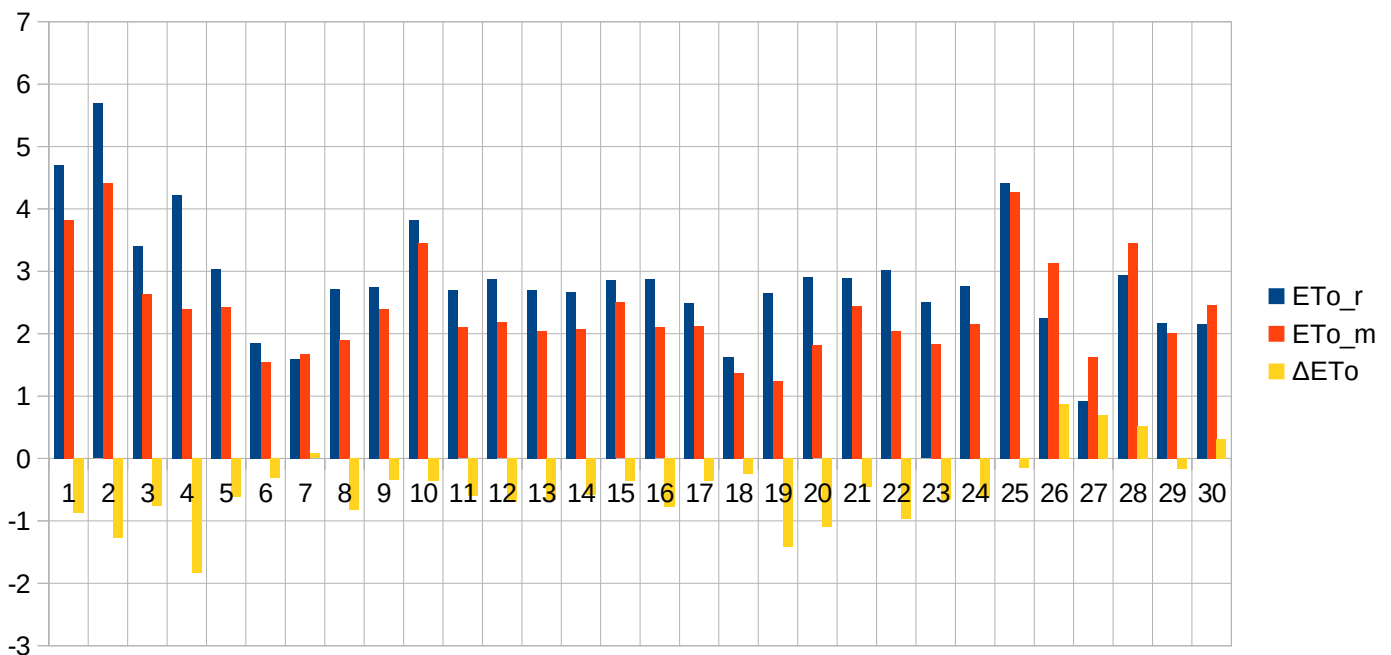


Data	T _{min_r}	T _{min_m}	T _{max_r}	T _{max_m}	RH _{min_r}	RH _{min_m}	Rh _{max_r}	RH _{max_m}	V _r	V _m	P _r	P _m	R _r	R _m	ET _{o_r}	ET _{o_m}	ΔET _o		
2017-10-01	7,8	9,43	18	17,8	41	42,23	90	77,86	4,04	3,36	101,19	101,24	0	0	2,83	2,73	-0,1		
2017-10-02	7,3	9,3	17,9	17,98	48	49,7	97	88,66	4,17	8,21	100,69	100,71	0	5,21	2,5	3,3	0,8		
2017-10-03	10,9	11,32	14,7	15,24	71	66,5	98	93,12	4,33	2,19	100,19	100,2	10,1	4,27	1,41	1,36	-0,05		
2017-10-04	9,4	9,54	13,2	12,98	70	64,2	91	87,35	6,25	3,62	100,53	100,54	0	0,26	1,65	1,6	-0,05		
2017-10-05	7,7	9,59	12,7	11,31	71	69,2	98	86,85	7,13	7,77	99,02	99,03	15	14,58	1,45	1,73	0,28		
2017-10-06	7,8	8,05	11,4	11,34	80	75,9	96	93,3	5,63	2,49	99,58	99,55	15	4,02	1,06	1,01	-0,05		
2017-10-07	7,3	6,96	13,1	11,79	74	72,27	98	94,64	5,42	3,83	100,16	100,16	1,8	1,24	1,28	1,2	-0,08		
2017-10-08	6,1	6,97	12,6	12,89	60	60	97	92,02	5,21	4,76	99,75	99,74	8,4	6,66	1,66	1,72	0,06		
2017-10-09	5,2	5,88	12,8	12,01	51	56,8	91	84	6,5	2,53	100,23	100,27	0	0,11	2,22	1,46	-0,76		
2017-10-10	6,9	5,9	12,1	12,23	71	64,3	97	96,4	4,46	1,78	100,22	100,23	0,2	2,13	1,22	1,05	-0,17		
2017-10-11	12	12,14	16,5	16,19	70	68,74	96	89,9	5,21	3,07	100,33	100,33	2,2	2,93	1,59	1,45	-0,14		
2017-10-12	11	10,84	17,1	16,56	52	58,4	89	88,17	6,42	4,26	100,39	100,41	0,6	0,52	2,65	2	-0,65		
2017-10-13	9,3	10,01	14,2	13,95	65	66,47	90	80,85	5,54	2,56	101,1	101,09	0	0,3	1,75	1,4	-0,35		
2017-10-14	9,1	9,52	18,6	18,49	71	71,1	93	95,73	4,29	1,89	101,37	101,36	0	0,18	1,63	1,18	-0,45		
2017-10-15	12,5	12,71	17,9	17,15	74	78,78	96	97,22	2,75	1,2	101,51	101,51	0	0	1,21	0,86	-0,35		
2017-10-16	10,6	12,38	21,3	20,99	56	57,86	98	92,22	2,46	2,33	101,24	101,23	0	0	1,73	1,69	-0,04		
2017-10-17	9,8	12,86	22,4	21,45	55	54,4	98	89,2	1,88	2,24	101,05	101,08	0	0	1,59	1,77	0,18		
2017-10-18	7,2	12	18,8	18,48	55	60,29	99	91,9	0,75	0,5	100,56	100,57	0	0	0,89	0,8	-0,09		
2017-10-19	5,8	10,32	15,9	16,22	76	66,55	99	89,9	1,63	0,6	100,55	100,53	0	0	0,81	0,74	-0,07		
2017-10-20	10	11,08	17,1	16,63	73	61,9	99	95,11	3,29	2,55	100,5	100,51	0	0	1,14	1,3	0,16		
2017-10-21	8,7	9,84	15,1	14,92	67	64,36	97	95,2	2,42	1,25	100,43	100,45	0,2	1,53	1,06	0,86	-0,2		
2017-10-22	7	8,3	12,4	12,14	81	78,57	98	91,98	2	1,9	100,24	100,28	12,1	7,4	0,65	0,75	0,1		
2017-10-23	8,1	6,64	11,4	10,39	85	87,4	98	96,1	1,83	1,44	100,44	100,46	3	0,46	0,56	0,5	-0,06		
2017-10-24	8,2	6,91	10,6	11,74	86	73,1	98	94,8	1,96	2,09	101,24	101,28	0	0,13	0,54	0,77	0,23		
2017-10-25	9,5	10,14	15,2	14,36	82	84,7	98	94,9	4,58	6,02	100,77	100,79	18,4	9,72	0,86	0,9	0,04		
2017-10-26	10,3	8,88	13,6	12,99	71	71,6	92	93,99	5,29	1,77	100,89	100,9	0	0,62	1,33	0,77	-0,56		
2017-10-27	7,8	7,9	12	11,42	72	74,4	93	87	5,58	4,26	100,31	100,31	1,6	2,7	1,19	1,11	-0,08		
2017-10-28	6,9	6,77	9,7	9,54	79	75,8	94	90,9	7,79	3,04	99,64	99,64	2,7	3,46	0,97	0,81	-0,16		
2017-10-29	4,6	4,83	10,3	11,28	61	57,31	95	83,9	9,79	12,38	97,99	97,97	10,8	10,07	1,63	2,29	0,66		
2017-10-30	2	2,45	7,2	6,49	44	51,72	82	68	7,42	9,91	100,12	100,11	0	0,35	1,97	2,22	0,25		
2017-10-31	0,6	1,22	8	7,86	61	57,6	89	90,5	4,71	2,09	100,98	101,01	0	0,06	1,15	0,78	-0,37		
Σ															102,1	78,91	44,18	42,11	-2,07

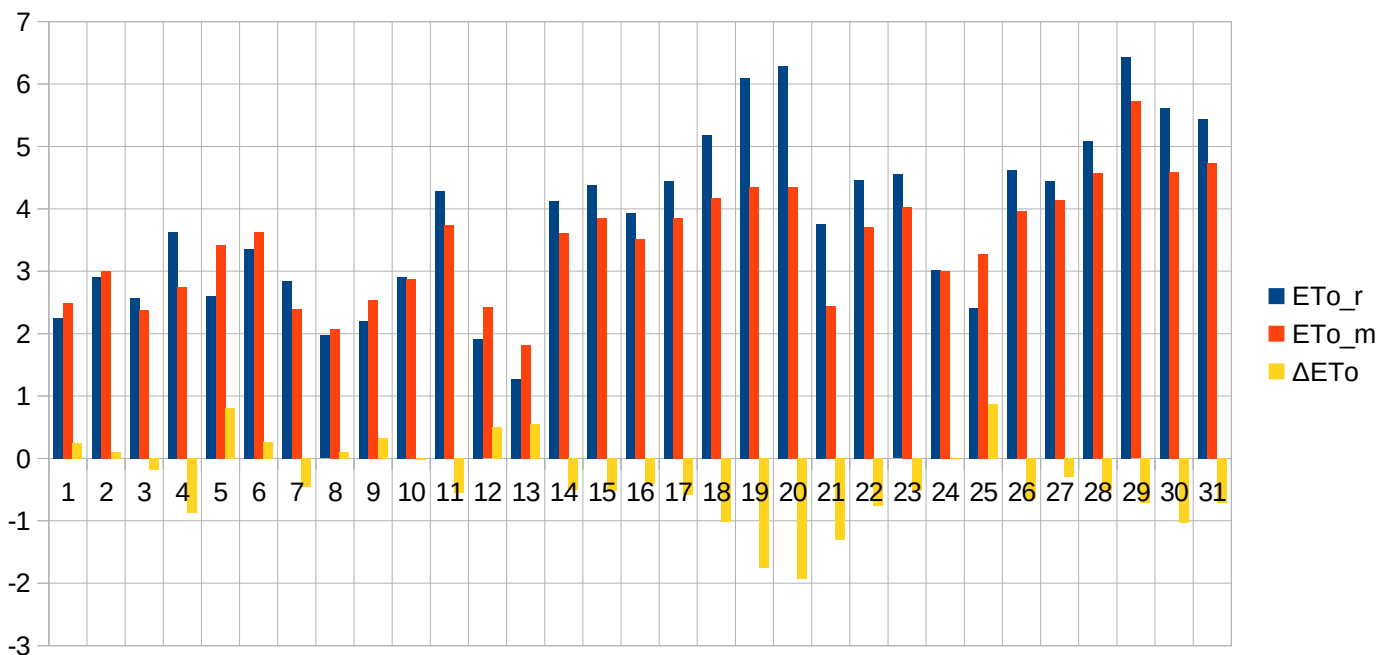


III.1.5. Okres wegetacyjny 2017 roku. Rzeszów.

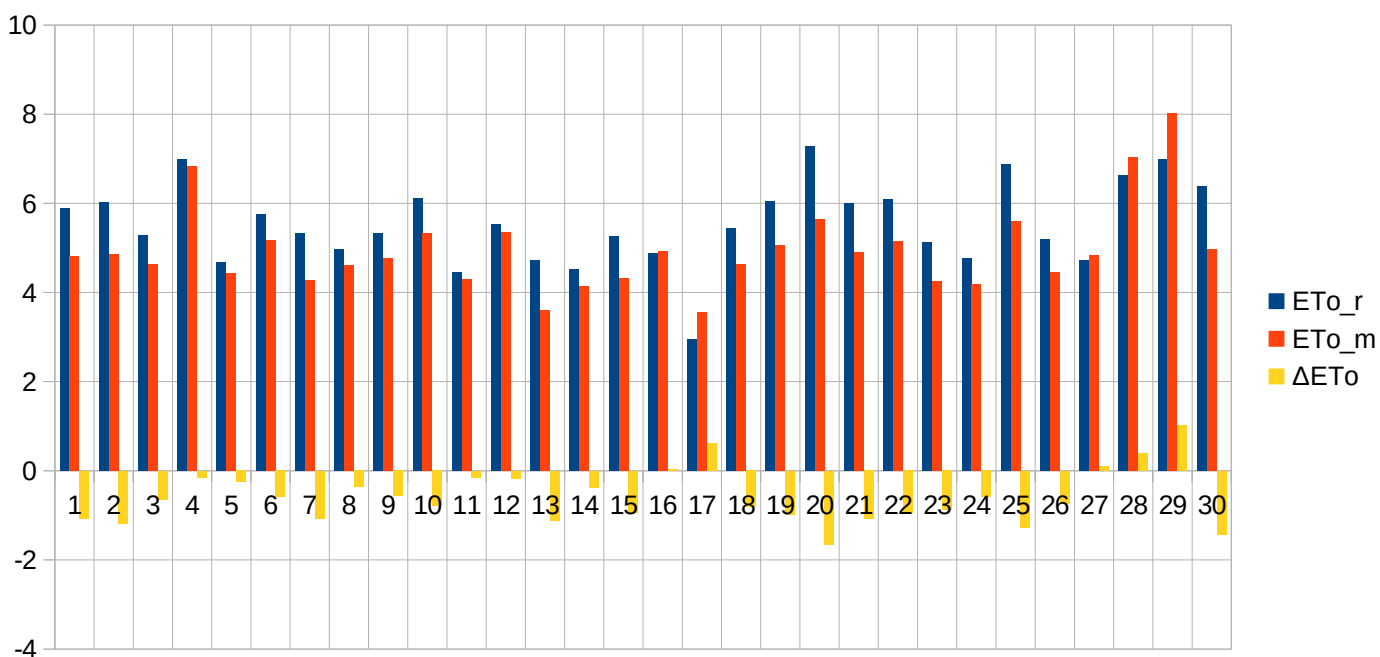
Data	T _{min_r}	T _{min_m}	T _{max_r}	T _{max_m}	RH _{min_r}	RH _{min_m}	Rh _{max_r}	RH _{max_m}	V _r	V _m	P _r	P _m	R _r	R _m	ET _{o_r}	ET _{o_m}	ΔET _o		
2017-04-01	7,8	8,15	20,7	19,25	27	43,9	75	83,5	4,38	4,98	99,25	99,55	0	0	4,7	3,83	-0,87		
2017-04-02	0	8,95	23,5	21,75	0	36,8	84	76,5	3,38	4,07	99,3	99,45	0	0,05	5,69	4,41	-1,28		
2017-04-03	7,1	9,15	19	19,35	40	46,3	89	90,4	3,04	1,3	99,59	99,75	0	0,18	3,4	2,64	-0,76		
2017-04-04	9,9	8,25	20,5	18,65	40	55,4	85	99,1	5,08	1,01	99,61	99,77	0,2	0,18	4,23	2,4	-1,83		
2017-04-05	7	7,85	18,2	19,05	43	45,4	91	98,3	2,38	0,59	99,06	99,23	0	4,08	3,04	2,43	-0,61		
2017-04-06	4,4	3,55	10,4	9,84	65	75,7	96	95,3	5,25	3,84	98,66	98,9	13	11,94	1,85	1,54	-0,31		
2017-04-07	0,8	0,65	7,2	8,05	66	56,6	94	98,1	4,42	1,69	98,81	99,06	0,1	0,9	1,6	1,68	0,08		
2017-04-08	3,4	4,35	12,1	10,55	44	62,5	93	95,9	4,71	3,76	99,27	99,58	0	0,59	2,72	1,9	-0,82		
2017-04-09	-0,5	0,95	15,2	15,65	45	45,1	100	95,6	1,96	0,57	100,04	100,32	0	0	2,75	2,4	-0,35		
2017-04-10	1,4	6,35	19,2	18,25	38	48,1	99	83,6	3,58	3,55	99,34	99,63	0	0	3,82	3,46	-0,36		
2017-04-11	3,3	3,05	11,6	9,95	48	55,2	92	92,8	5,88	3,61	99,1	99,37	3,3	1,23	2,7	2,1	-0,6		
2017-04-12	-0,4	1,85	11,9	10,95	42	51,3	96	92,3	4,83	1,92	99,08	99,36	0	0,09	2,87	2,18	-0,69		
2017-04-13	5,6	4,05	12	10,65	50	58,5	93	95	6,71	2,9	98,24	98,47	6	6,2	2,7	2,04	-0,66		
2017-04-14	1,8	3,25	10,3	10,25	47	54,4	89	90,1	6,04	2,1	98,66	98,95	0	0,58	2,67	2,08	-0,59		
2017-04-15	0,3	2,05	13,3	12,35	51	49,3	91	87,3	4,17	2,07	98,68	98,97	0	0,4	2,86	2,5	-0,36		
2017-04-16	-0,6	0,45	10,2	8,95	41	49,7	92	95,1	6,42	2,25	98,6	98,86	1	3,7	2,88	2,1	-0,78		
2017-04-17	-4,9	-2,05	9,6	10,85	38	35,6	98	93,1	2,29	0,25	99,01	99,33	0	0,01	2,49	2,13	-0,36		
2017-04-18	1,9	1,85	6,1	5,55	63	62,5	94	98,7	5,08	0,76	98,88	99,12	3,9	13,94	1,62	1,37	-0,25		
2017-04-19	1,1	1,35	8,2	5,75	37	86,7	96	97,8	7,21	1,73	99,39	99,63	21	6,94	2,65	1,24	-1,41		
2017-04-20	1,3	-1,55	6,7	4,95	37	56,5	61	85,9	5,96	3,83	99,97	100,3	0	0,58	2,91	1,81	-1,1		
2017-04-21	-4,2	-3,35	9	8,95	38	43,2	88	85,3	5,75	2,23	99,74	100,08	0	0,19	2,89	2,44	-0,45		
2017-04-22	1,2	1,55	10,3	9,25	42	59,7	87	94,9	6,96	2,42	98,78	99,1	1,8	3,79	3,02	2,05	-0,97		
2017-04-23	0,2	0,65	8,4	7,05	43	59,6	92	93	4,79	2,24	98,9	99,21	2	1,76	2,5	1,83	-0,67		
2017-04-24	1,8	1,05	9,8	9,25	42	49,8	91	98,2	5,46	1,54	99,2	99,53	0,4	0,76	2,77	2,15	-0,62		
2017-04-25	0,4	3,91	18,1	17,05	41	51,4	91	83,2	6,38	13,01	98,44	98,76	0	0,04	4,42	4,27	-0,15		
2017-04-26	5,7	9,05	12,7	16,65	67	55,7	96	97,7	2,83	5,61	98,42	98,65	0	1,74	2,26	3,14	0,88		
2017-04-27	4,8	4,55	6,1	9,85	92	91	99	98,7	1,96	1,59	98,76	98,91	3,7	6,21	0,92	1,62	0,7		
2017-04-28	5,2	4,75	17,4	19,05	69	61,6	100	99,1	3,92	3,61	98,34	98,49	13	6,99	2,94	3,46	0,52		
2017-04-29	4,7	3,55	10,7	9,45	61	55,9	98	97	3,71	1,04	98,98	99,23	10	1,16	2,17	2,01	-0,16		
2017-04-30	4,6	0,85	10,9	11,65	61	51,5	98	95,6	1,75	0,43	99,5	99,74	2	0,77	2,15	2,46	0,31		
Σ															81,4	75	86,19	71,67	-14,52



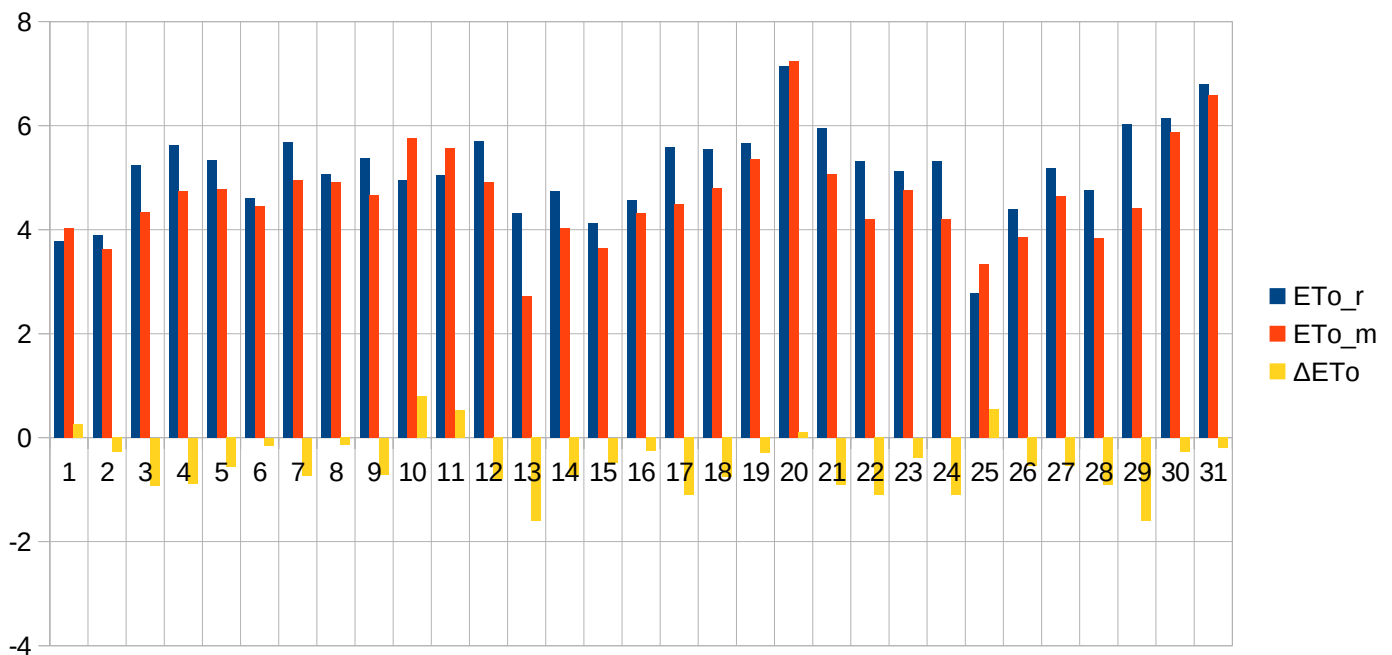
Data	T _{min_r}	T _{min_m}	T _{max_r}	T _{max_m}	RH _{min_r}	RH _{min_m}	Rh _{max_r}	RH _{max_m}	V _r	V _m	P _r	P _m	R _r	R _m	ET _{o_r}	ET _{o_m}	ΔET _o		
2017-05-01	3,5	1,85	10,8	11,95	64	58	96	98,5	5,67	1,37	99,47	99,65	0	0	2,25	2,5	0,25		
2017-05-02	6	3,85	15,3	16,05	66	59,7	89	97,8	5,08	1,34	99,41	99,6	0,1	4,64	2,91	3,01	0,1		
2017-05-03	8,2	10,15	15,9	15,95	73	76,3	97	99	2,58	0,72	99,49	99,62	0,1	8,41	2,57	2,38	-0,19		
2017-05-04	9,6	10,65	20,8	18,25	60	74,4	99	99,5	2,58	2,17	99,08	99,22	8,2	13,25	3,63	2,75	-0,88		
2017-05-05	5,2	7,35	15,6	19,75	86	59,1	100	99,4	1,46	0,66	99,15	99,28	3,3	10,79	2,61	3,42	0,81		
2017-05-06	10,1	10,85	20,3	22,25	66	60,5	100	99,1	1,63	0,68	98,77	98,92	0,2	8,54	3,36	3,63	0,27		
2017-05-07	8,1	7,85	16,9	15,05	70	85,8	99	97,8	3,04	1,48	98,24	98,43	1,2	2,97	2,85	2,39	-0,46		
2017-05-08	6,6	7,05	12,1	12,25	79	76	95	96,8	4,88	2,63	98,25	98,47	0,8	1,54	1,97	2,07	0,1		
2017-05-09	-1,4	-0,35	6,6	7,55	56	44,7	86	84,1	3,96	3,79	98,79	99,03	0,3	0,42	2,21	2,54	0,33		
2017-05-10	-2,9	-2,45	9,6	9,85	39	28	96	95,4	3,13	1,53	98,79	99,09	0	0,01	2,9	2,87	-0,03		
2017-05-11	4,9	3,65	17,3	15,85	42	46,5	78	95,4	4,04	4,65	98,4	98,69	0	0,43	4,29	3,74	-0,55		
2017-05-12	6,9	7,15	13	13,55	87	94,7	99	99,3	3,58	0,4	98,27	98,43	23	6,6	1,92	2,42	0,5		
2017-05-13	11,1	11,05	12,9	13,85	95	91,9	100	99,4	2,79	0,77	98,61	98,74	3,4	1,79	1,27	1,82	0,55		
2017-05-14	8,4	6,75	19,6	19,45	39	41,6	98	99,5	2,42	0,47	99,52	99,73	0	0,13	4,12	3,62	-0,5		
2017-05-15	3,9	4,95	20,7	20,65	34	40,6	100	93,6	1,63	0,27	100	100,22	0	0,06	4,38	3,86	-0,52		
2017-05-16	10,2	9,15	20,5	18,95	55	54,7	99	99,5	3,29	1,63	100,19	100,37	0	7,42	3,93	3,52	-0,41		
2017-05-17	6	7,45	20,6	20,75	38	39,1	100	96,5	2,13	0,48	100,1	100,33	0	0	4,45	3,86	-0,59		
2017-05-18	6,7	6,85	21,7	22,15	29	35,3	87	89,6	2,75	0,49	99,51	99,74	0	0	5,19	4,17	-1,02		
2017-05-19	9,8	9,66	23,6	24,15	31	41,9	76	83,9	4,17	0,44	99,02	99,26	0	0	6,1	4,35	-1,75		
2017-05-20	10,5	11,45	25,8	24,75	24	33	91	87,3	3,21	0,46	98,81	99,02	0	0,04	6,29	4,35	-1,94		
2017-05-21	13,8	12,85	20,5	18,25	63	86,1	93	99,2	6,25	3,02	99,21	99,36	0	4	3,75	2,44	-1,31		
2017-05-22	11,5	9,95	21,8	20,25	47	60,1	95	97,9	3,08	1,2	99,33	99,5	0,1	2,32	4,47	3,71	-0,76		
2017-05-23	11,7	9,55	23,5	21,95	49	60	97	96	1,96	0,41	99,1	99,29	2	8,86	4,55	4,03	-0,52		
2017-05-24	10,6	10,25	18,4	17,95	73	81,7	100	97,4	4,04	1,3	98,89	99,03	8,3	8,05	3,02	3,01	-0,01		
2017-05-25	10,2	7,65	15,4	17,15	78	65,7	97	98	3,42	1,43	99,12	99,29	0	1,21	2,41	3,28	0,87		
2017-05-26	7,7	7,25	20,3	19,05	44	47,9	99	97,3	3,96	1,71	99,24	99,42	0	0,96	4,62	3,97	-0,65		
2017-05-27	9,8	8,47	19,7	19,45	36	41	98	99,5	3,13	2,1	99,66	99,84	0,8	0,85	4,44	4,14	-0,3		
2017-05-28	7	6,15	23,3	25,15	38	36,6	97	90,7	2,04	0,45	99,86	100,1	0	0	5,09	4,57	-0,52		
2017-05-29	10,7	12,62	26,6	26,25	33	38,3	93	81,9	3,63	2,4	99,12	99,38	0	0	6,44	5,72	-0,72		
2017-05-30	16,9	14,94	27,2	25,65	48	58,2	94	94,9	4,04	1,46	98,77	98,96	2	3,87	5,62	4,59	-1,03		
2017-05-31	13,9	14,45	24,6	25,25	45	51,3	99	96,3	5,21	1,82	98,98	99,1	24	10,26	5,44	4,73	-0,71		
Σ															77,8	107,42	119,05	107,46	-11,59



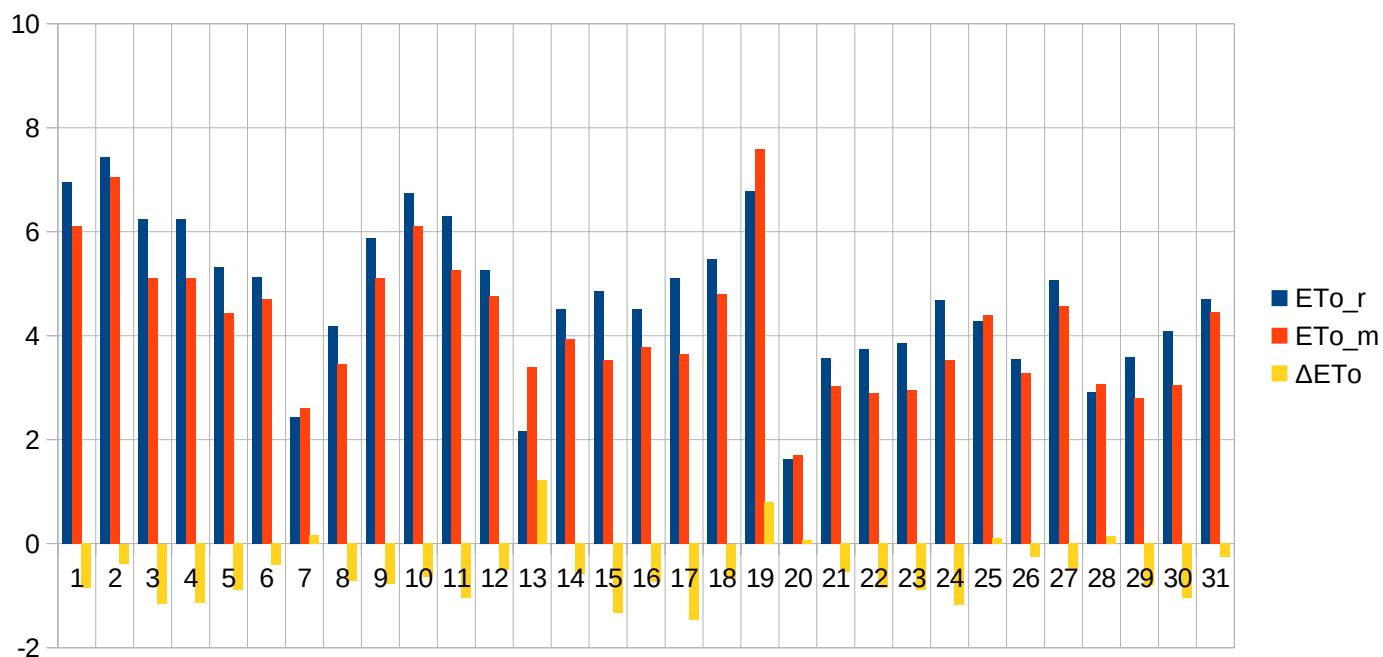
Data	T _{min_r}	T _{min_m}	T _{max_r}	T _{max_m}	RH _{min_r}	RH _{min_m}	Rh _{max_r}	RH _{max_m}	V _r	V _m	P _r	P _m	R _r	R _m	ET _{o_r}	ET _{o_m}	ΔET _o		
2017-06-01	10,1	9,45	21,7	21,55	27	32,9	93	93,1	5,25	2,15	99,25	99,48	0	0	5,88	4,81	-1,07		
2017-06-02	6,7	7,68	23	22,35	29	36,1	94	89,5	4,13	1,49	99,24	99,46	0	0	6,03	4,85	-1,18		
2017-06-03	6,8	6,75	23,8	24,45	32	33,9	96	89,1	1,83	0,46	99,19	99,41	0	0	5,28	4,64	-0,64		
2017-06-04	11	11,75	28	27,75	37	38,1	93	90,2	4,75	4,4	98,67	98,88	0	0,83	6,99	6,84	-0,15		
2017-06-05	12,3	12,75	22	23,25	47	42,3	94	97,1	3,54	1,17	99,02	99,18	1,7	5,32	4,68	4,43	-0,25		
2017-06-06	10,7	11,65	26,1	25,15	53	50,1	97	94,7	4,83	2,27	98,61	98,81	0,4	8,29	5,76	5,17	-0,59		
2017-06-07	12,3	12,05	21,5	21,15	38	41,8	81	96,1	4,54	1,93	98,82	99,05	0	3,65	5,34	4,27	-1,07		
2017-06-08	10,9	10,25	21,4	21,15	33	31,6	89	78,1	2,79	1,52	99,35	99,63	0	0	4,97	4,6	-0,37		
2017-06-09	7,5	7,45	23,6	24,85	31	34,9	92	90,6	1,75	0,44	99,32	99,56	0	0	5,33	4,76	-0,57		
2017-06-10	8,8	11,65	25,6	26,65	38	40,8	95	96,6	3,63	1,12	99,13	99,38	0	8,24	6,12	5,33	-0,79		
2017-06-11	13,7	10,85	22,1	22,05	53	50,9	91	98	3,46	1,14	99,41	99,64	0	0,9	4,45	4,3	-0,15		
2017-06-12	11,9	10,15	25,5	25,65	46	44,9	97	97,1	3	1,59	98,72	98,98	0,6	1,57	5,52	5,35	-0,17		
2017-06-13	14,2	12,45	20,6	19,05	40	49,9	99	98,3	6,29	2,09	98,72	98,97	0,6	0,81	4,72	3,61	-1,11		
2017-06-14	11,8	10,85	19,3	19,35	48	48,1	87	87,6	5,67	2,64	98,95	99,21	0	0,62	4,51	4,13	-0,38		
2017-06-15	10,3	9,25	22,8	21,35	37	43,5	93	96,7	2,88	0,91	99,24	99,52	0	0,15	5,26	4,32	-0,94		
2017-06-16	8,9	10,25	22,4	23,45	53	49	96	96	3,79	2,11	98,73	99,01	3	5,91	4,89	4,92	0,03		
2017-06-17	12,6	11,05	16,6	18,15	64	56	96	98,2	6,04	3,15	98,8	99,04	3	12,45	2,94	3,55	0,61		
2017-06-18	13,5	13,35	24,8	22,75	47	53,5	96	98,5	4,29	4,45	99,37	99,58	10	10,72	5,44	4,63	-0,81		
2017-06-19	12,3	11,75	26,8	25,45	46	50,7	96	95,1	3,83	1,35	99,53	99,77	0	0,02	6,04	5,06	-0,98		
2017-06-20	14,9	14,35	30	28,95	31	35,6	96	94	3,67	1,01	99	99,25	0	0,48	7,29	5,64	-1,65		
2017-06-21	14,7	11,45	24,6	23,25	27	32,8	96	98,6	4,04	1,66	98,9	99,15	1,6	0,78	5,99	4,91	-1,08		
2017-06-22	10,4	9,25	26,1	25,15	34	35,8	90	91,3	2,58	0,87	98,88	99,15	0	0	6,1	5,15	-0,95		
2017-06-23	17,4	16,05	25	23,75	56	64,3	89	92,1	5,79	3,32	98,35	98,61	3,2	4,65	5,12	4,24	-0,88		
2017-06-24	16,8	15,05	24,5	23,45	56	55,1	92	97,5	4,38	1,48	98,76	99,02	0	0,56	4,77	4,18	-0,59		
2017-06-25	16,5	16,65	29,6	28,65	36	39	88	90	3,5	1,53	98,58	98,83	0	0,12	6,87	5,59	-1,28		
2017-06-26	18,6	16,35	26,3	25,15	48	46,9	89	96	3,38	1,14	98,56	98,79	0	0,51	5,19	4,45	-0,74		
2017-06-27	16,6	12,75	25,6	26,05	57	53,9	94	97,8	2,63	0,39	98,77	99	2	1,61	4,73	4,83	0,1		
2017-06-28	16,6	17,15	30,5	29,75	44	40,9	97	94,1	3,42	5	98,1	98,39	0	0,54	6,63	7,03	0,4		
2017-06-29	19,9	19,05	28,6	28,65	42	39,4	83	85,6	6,29	9,95	97,5	97,76	0,4	1,93	6,99	8,01	1,02		
2017-06-30	15,7	14,15	26	24,15	35	47,4	89	85,3	4,96	2,49	98	98,25	6	1,61	6,39	4,96	-1,43		
Σ															32,5	72,27	166,22	148,56	-17,66



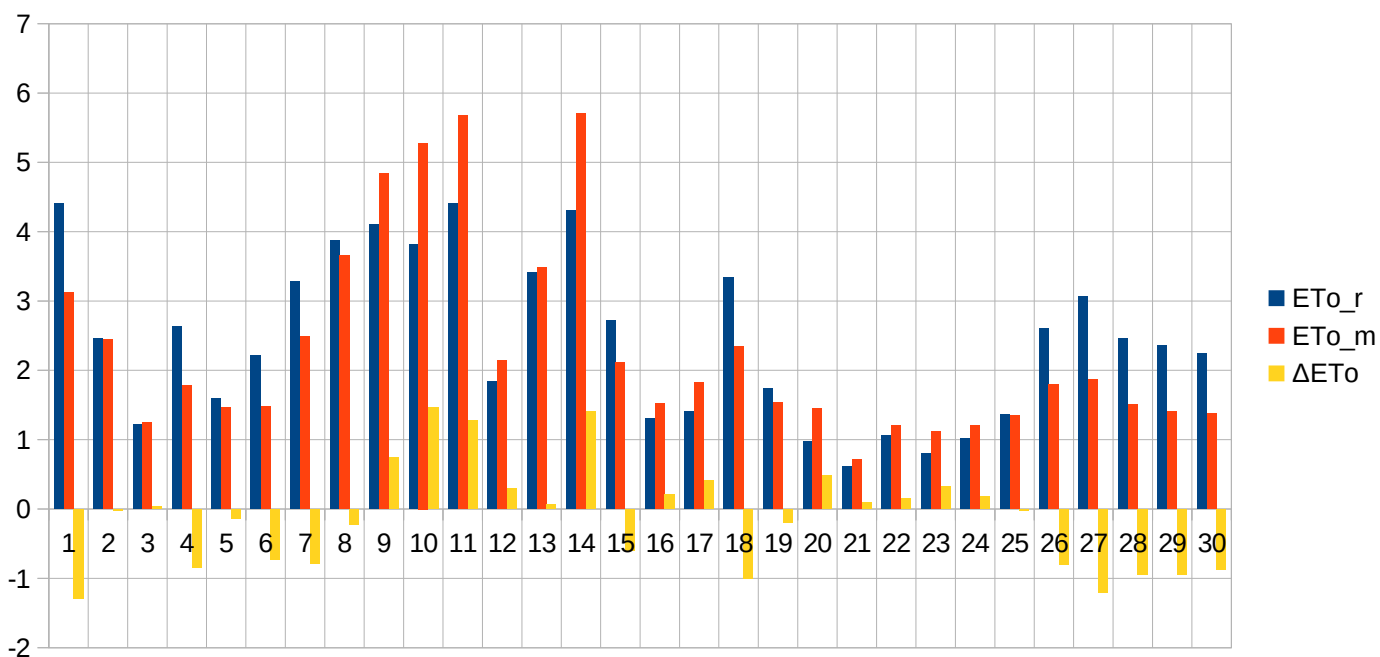
Data	T _{min_r}	T _{min_m}	T _{max_r}	T _{max_m}	RH _{min_r}	RH _{min_m}	Rh _{max_r}	RH _{max_m}	V _r	V _m	P _r	P _m	R _r	R _m	ET _{o_r}	ET _{o_m}	ΔET _o
2017-07-01	15,4	14,15	22	21,85	65	49,7	96	98	3,54	1,8	98,25	98,52	8	12,83	3,77	4,02	0,25
2017-07-02	13,3	13,05	20,2	20,15	59	60,7	95	94,5	5,29	1,98	98,57	98,82	1	0,62	3,9	3,62	-0,28
2017-07-03	9,9	10,05	21,8	20,15	37	44,8	95	96,5	4	2,67	99,14	99,4	0,1	0,98	5,25	4,33	-0,92
2017-07-04	7,6	7,85	23,5	21,95	42	38,5	95	92,2	3,96	1,46	99,25	99,5	0	0,29	5,62	4,74	-0,88
2017-07-05	8,8	8,75	23,6	23,65	39	40,7	97	96,9	2,63	0,89	99,31	99,57	0,9	1,78	5,34	4,78	-0,56
2017-07-06	10,1	8,95	21,6	21,65	40	39	99	97,5	2,17	1,18	99,41	99,63	0,6	0,71	4,61	4,46	-0,15
2017-07-07	8	7,95	24,3	24,25	38	38,2	97	95,3	3,17	1,01	99,19	99,48	0	0,76	5,68	4,95	-0,73
2017-07-08	14,7	13,25	25,3	25,55	54	50,3	99	97,9	4,38	1,69	98,73	98,99	10	7,64	5,06	4,92	-0,14
2017-07-09	14,2	13,55	26	25,25	44	42,8	99	98,5	2,96	0,95	99	99,21	0	0,23	5,38	4,67	-0,71
2017-07-10	13,3	15,75	25,3	26,95	57	48,9	98	93,4	3,42	4,55	98,8	99,04	0	5,37	4,96	5,76	0,8
2017-07-11	17,6	17,35	27,3	27,55	59	54,7	99	95,8	4,25	5,42	98,52	98,76	14,9	8,72	5,04	5,57	0,53
2017-07-12	15,3	15,25	26,9	26,55	38	38	97	97,9	3	1,24	98,61	98,89	0	0,51	5,7	4,91	-0,79
2017-07-13	12,2	12,95	20,1	16,65	50	64,5	96	93,7	5,96	2,83	98,6	98,9	2,4	1,91	4,32	2,72	-1,6
2017-07-14	9,9	9,45	21,8	20,75	38	41,7	95	97,5	2,42	0,87	99,05	99,32	0	0,22	4,74	4,02	-0,72
2017-07-15	10,7	11,45	20,2	19,75	43	49,3	96	91,5	2,17	1,11	99,05	99,28	1,8	2,32	4,12	3,64	-0,48
2017-07-16	9,2	9,25	21,7	21,65	46	38,8	98	95,7	2,67	1,15	99,54	99,8	0,2	1,84	4,57	4,31	-0,26
2017-07-17	10,2	11,55	24,3	23,45	37	37,5	94	85	3,38	1,06	99,53	99,79	0	0	5,59	4,49	-1,1
2017-07-18	12,8	10,85	27,4	26,05	40	43,2	98	97,2	2,04	0,62	99,51	99,79	0	0,71	5,55	4,79	-0,76
2017-07-19	11,8	12,31	28,3	28,65	43	40	97	89,7	1,96	1,04	99,21	99,49	0	0,05	5,66	5,36	-0,3
2017-07-20	15,8	18,03	31,6	29,46	32	43,5	95	70,4	3,21	5,37	98,69	98,95	0	0	7,14	7,24	0,1
2017-07-21	15,7	17,25	30,3	28,25	45	54,63	98	95,58	2,33	2,29	98,74	98,99	5,4	0,43	5,96	5,06	-0,9
2017-07-22	15	15,06	28,4	25,75	44	51,84	99	97,1	1,75	0,46	99,04	99,29	0	0	5,32	4,21	-1,11
2017-07-23	16,3	16,55	28,3	27,85	57	54,58	97	84,2	2,63	1,15	98,88	99,1	0,1	0,91	5,13	4,75	-0,38
2017-07-24	14,7	15,71	27,5	25,56	46	53,3	99	94,78	2,54	0,97	98,42	98,62	0	1,4	5,32	4,21	-1,11
2017-07-25	15,2	14,98	20,3	22,12	78	75,5	97	95,45	3,71	1,86	97,62	97,82	1,3	5,4	2,78	3,33	0,55
2017-07-26	13	13,14	23	21,71	50	57,1	98	90,18	3,13	2,1	97,84	98,11	3	7,11	4,4	3,85	-0,55
2017-07-27	10,9	11,35	25,5	23,87	44	51,6	98	87,52	2,67	2,38	98,17	98,39	0	0	5,19	4,64	-0,55
2017-07-28	12,1	12,65	24,2	22,72	47	56,56	97	95,9	2,79	1,07	98,51	98,7	0,8	0,22	4,75	3,84	-0,91
2017-07-29	13,2	12,81	25,6	23,46	33	47,3	98	95,44	4,83	2,42	99,01	99,29	0	0	6,03	4,42	-1,61
2017-07-30	13,7	13,96	29,6	27,15	36	45,7	87	76,23	2,5	3,65	99,13	99,46	0	0	6,15	5,87	-0,28
2017-07-31	18,7	17,25	32,7	31,05	37	46,5	82	75,03	2,92	3,61	99,19	99,5	0	0	6,79	6,59	-0,2
Σ													50,5	62,96	159,82	144,07	-15,75



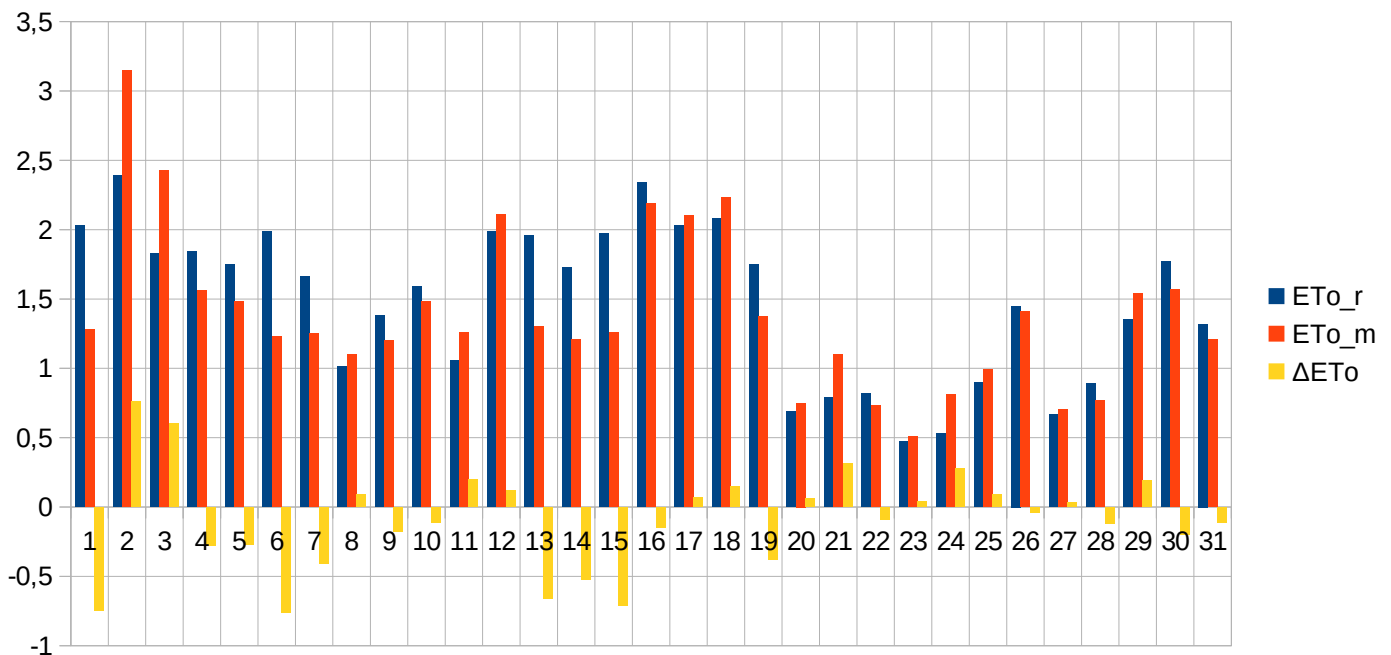
Data	T _{min_r}	T _{min_m}	T _{max_r}	T _{max_m}	RH _{min_r}	RH _{min_m}	Rh _{max_r}	RH _{max_m}	V _r	V _m	P _r	P _m	R _r	R _m	ET _{o_r}	ET _{o_m}	ΔET _o	
2017-08-01	17,6	19,55	35,4	32,83	28	43,94	96	74,91	2,21	2,1	99,46	99,78	0	0	6,96	6,11	-0,85	
2017-08-02	20,2	21,1	35,1	32,52	32	43,18	98	88,02	3,29	4,98	99,25	99,54	6	4,97	7,43	7,05	-0,38	
2017-08-03	17,7	19,06	33	31,8	33	45,9	99	93,4	2,04	1,05	99,05	99,31	0,6	2,92	6,25	5,1	-1,15	
2017-08-04	19,2	19,95	32,1	31,56	39	40,52	93	87,32	2,92	1,24	98,76	99	0	3,76	6,25	5,11	-1,14	
2017-08-05	20,4	19,44	31,2	29,05	39	45,71	92	87,62	1,88	1,09	98,86	99,1	0	2,41	5,32	4,43	-0,89	
2017-08-06	17,8	17,45	27,4	25,46	47	58,06	93	72,07	3,67	3,58	99,18	99,42	0	0,22	5,12	4,71	-0,41	
2017-08-07	12,8	11,09	17,8	17,05	75	67,8	98	96,2	1,92	1,47	99,7	99,91	12	1,09	2,44	2,6	0,16	
2017-08-08	9,1	9,75	22,4	21,05	59	58,83	100	97,8	5,42	0,97	99,58	99,79	0	0	4,18	3,46	-0,72	
2017-08-09	14,2	13,95	30,3	29,11	43	51,3	95	91,17	2,88	1,96	99,33	99,56	0	0	5,87	5,1	-0,77	
2017-08-10	19,1	19,75	34,3	32,57	38	44,19	97	85,5	3,08	2,93	99,19	99,41	0	0	6,74	6,1	-0,64	
2017-08-11	17,7	20,69	34,2	32,15	42	47,34	93	77,85	2,46	1,78	98,87	99,02	0	0,54	6,3	5,26	-1,04	
2017-08-12	18,8	15,65	29	26,56	51	57,5	93	82,95	4,13	3,61	98,67	98,87	0	3,13	5,27	4,76	-0,51	
2017-08-13	14,4	12,65	17,6	19,75	75	57,2	95	87,8	2,92	3,21	99,28	99,47	5	0,13	2,17	3,4	1,23	
2017-08-14	11,9	11,15	24,7	23,35	42	48,27	99	94,1	2,54	1,66	99,71	99,95	0	0	4,51	3,93	-0,58	
2017-08-15	9,7	11,05	25,6	23,45	37	48,22	97	90,5	2,33	0,53	99,78	100,03	0	0	4,86	3,52	-1,34	
2017-08-16	9,7	12,95	28,6	26,05	37	41,6	99	89,1	1,13	0,52	99,47	99,71	0	0	4,51	3,78	-0,73	
2017-08-17	13,1	14,72	29,6	27,15	39	41,06	97	73,12	1,92	0,33	99,42	99,63	0	0	5,11	3,65	-1,46	
2017-08-18	15,8	16,59	30,9	29,55	37	43,9	98	83,3	2,29	1,74	99,23	99,48	0	0	5,48	4,81	-0,67	
2017-08-19	16,1	15,85	32,1	30,55	33	37,9	99	96,88	4,08	8,27	99,08	99,32	0,9	1,65	6,78	7,58	0,8	
2017-08-20	13,4	13,05	17,6	17,05	94	89,6	100	97,23	3,29	4,1	99,24	99,53	26,4	7,51	1,63	1,7	0,07	
2017-08-21	10,2	10,55	20,6	19,15	51	53,4	99	95,93	3,29	1,92	99,37	99,6	0	0,22	3,57	3,02	-0,55	
2017-08-22	10	9,36	19,6	18,31	47	60	97	90,9	4,58	2,12	99,2	99,46	0	1,19	3,75	2,9	-0,85	
2017-08-23	8,6	8,89	20	18,03	50	58,68	97	88,9	5,17	2,45	99,09	99,4	0,2	1,9	3,85	2,96	-0,89	
2017-08-24	9,1	9,15	22,9	21,32	37	46,23	99	89,72	4,17	1,81	99,19	99,5	0	0,54	4,69	3,52	-1,17	
2017-08-25	14,6	13,69	25,9	25,23	51	51,89	98	82,15	3,46	3,32	99,3	99,58	0	0	4,28	4,39	0,11	
2017-08-26	14,4	15,15	25,5	26,78	56	49	99	87,93	1,54	0,32	99,28	99,54	0,2	0,33	3,54	3,28	-0,26	
2017-08-27	14,5	16,15	29,1	28,65	46	47,42	100	85,2	3,46	2,31	98,82	99,11	0	0,59	5,06	4,56	-0,5	
2017-08-28	11,3	12,45	19,5	19,55	57	55,01	98	93,8	2,75	3,37	99,23	99,48	0	0,05	2,92	3,07	0,15	
2017-08-29	9,8	10,37	22,2	20,47	41	46,8	99	94,8	2,04	0,86	99,46	99,74	0	0	3,59	2,8	-0,79	
2017-08-30	6,5	10,01	25,3	23,79	40	42,6	99	91,73	2,08	0,43	99,29	99,59	0	0	4,09	3,04	-1,05	
2017-08-31	10,3	12,27	28,2	26,09	32	45,16	98	73,5	2,21	2,57	98,97	99,28	0	0	4,71	4,45	-0,26	
													Σ	51,3	33,15	147,23	130,15	-17,08



Data	T _{min_r}	T _{min_m}	T _{max_r}	T _{max_m}	RH _{min_r}	RH _{min_m}	Rh _{max_r}	RH _{max_m}	V _r	V _m	P _r	P _m	R _r	R _m	ET _{o_r}	ET _{o_m}	ΔET _o		
2017-09-01	11,2	13,99	28,8	25,75	35	45,19	99	79,6	1,79	0,57	98,73	98,97	0	0	4,41	3,12	-1,29		
2017-09-02	11,6	10,62	17,9	17,87	69	61,7	95	94,95	4,83	2,09	98,75	98,94	0	0,3	2,46	2,44	-0,02		
2017-09-03	11,8	10,69	14,4	13,77	91	89,6	99	96,36	2,92	5,24	98,42	98,67	19,1	31,31	1,22	1,25	0,03		
2017-09-04	10,8	9,65	16,7	14,95	57	76,84	97	97,02	4,67	2,62	98,63	98,92	2,2	12,2	2,63	1,78	-0,85		
2017-09-05	11,5	9,45	14,5	12,64	77	77,36	99	96,52	6,29	2,49	98,92	99,24	6,8	12,1	1,6	1,47	-0,13		
2017-09-06	13,2	12,4	18,7	16	72	88,1	100	96,9	5,08	1,92	98,6	98,87	1,8	4,1	2,21	1,48	-0,73		
2017-09-07	11,4	10,94	18,5	17,45	52	56,73	98	92,2	7,04	2,69	98,52	98,79	5	0,86	3,28	2,49	-0,79		
2017-09-08	10,6	9,55	20,7	19,55	42	51,1	85	81,9	4,21	5,16	98,81	99,09	0	0	3,88	3,66	-0,22		
2017-09-09	7,9	11,31	25,1	23,35	45	51,45	95	78,91	3,21	7,8	98,28	98,56	0	0	4,1	4,84	0,74		
2017-09-10	17,3	16,28	25,5	24,51	52	54,71	89	78,13	3,79	10,59	98,18	98,43	0	0	3,82	5,28	1,46		
2017-09-11	16,3	16,99	27,6	25,88	44	49,6	91	74,19	3,54	8,46	98,05	98,25	0	0	4,4	5,68	1,28		
2017-09-12	13,1	12,76	18,5	17,35	78	68,54	99	93,17	3,08	3,99	98	98,21	2	1,51	1,84	2,14	0,3		
2017-09-13	11,5	10,95	20,1	18,85	51	48,16	98	92,11	6,25	6,26	98,53	98,82	12	0,86	3,41	3,48	0,07		
2017-09-14	12,7	12,3	23,2	22,08	50	51,5	95	84,9	7,83	27,96	98,13	98,43	0	2,16	4,3	5,71	1,41		
2017-09-15	9,5	9,87	17,3	16,25	54	57,23	95	87,8	4,63	2,02	98,86	99,11	1,5	2,37	2,72	2,12	-0,6		
2017-09-16	10,6	9,45	14,6	15,36	84	76,22	99	89,03	2	0,44	98,88	99,15	0,4	3,02	1,31	1,52	0,21		
2017-09-17	11,7	12,66	16,1	18,13	83	77,6	100	94,8	3,33	3,27	98,4	98,67	13,2	3,22	1,41	1,82	0,41		
2017-09-18	10,2	10,11	18,8	17,25	50	53,7	94	89,59	6,63	2,57	98,85	99,14	4	0,15	3,34	2,34	-1		
2017-09-19	4,3	8,05	15,2	14,56	74	72,8	100	89,67	3	1,06	99,02	99,25	0,2	1,7	1,74	1,54	-0,2		
2017-09-20	11	9,45	13,3	14,74	90	78,2	99	97,51	2,63	2,64	98,75	98,94	3,6	2,54	0,97	1,45	0,48		
2017-09-21	11,3	10,57	12,2	11,75	96	93,5	100	97,83	4,17	6,41	98,57	98,84	17	26,78	0,61	0,71	0,1		
2017-09-22	11,1	10,33	14,2	14,18	87	84,13	100	97,93	4,29	3,14	99,07	99,31	0	9,29	1,06	1,21	0,15		
2017-09-23	12,1	9,96	14,1	13,51	95	86,29	100	97,1	3,29	3,79	99,01	99,26	9,4	11,05	0,8	1,12	0,32		
2017-09-24	12,1	9,44	14,7	14,45	89	86,5	99	97	1,96	0,35	99,47	99,76	3,2	2,71	1,02	1,2	0,18		
2017-09-25	10	9,16	15,9	15,65	81	75,5	100	95,9	3,42	0,68	99,86	100,1	8	0,51	1,37	1,35	-0,02		
2017-09-26	9,6	8,92	21,3	18,7	61	64,2	100	94,42	4,13	1,36	100,19	100,44	0	0	2,6	1,8	-0,8		
2017-09-27	8	9,18	17,8	16,76	50	58,52	92	75,4	6,29	1,55	100,47	100,73	0	0	3,07	1,87	-1,2		
2017-09-28	6	6,83	16,5	15,09	55	60,17	94	81,21	4,79	0,98	100,62	100,92	0	0	2,46	1,51	-0,95		
2017-09-29	3,4	4,87	16,5	16	54	53,47	98	85,7	4,21	0,51	100,34	100,69	0	0	2,36	1,41	-0,95		
2017-09-30	3,1	4,31	15,8	15,55	53	51,83	99	85,4	4	0,54	100,03	100,35	0	0	2,25	1,38	-0,87		
Σ															109,4	128,74	72,65	69,17	-3,48

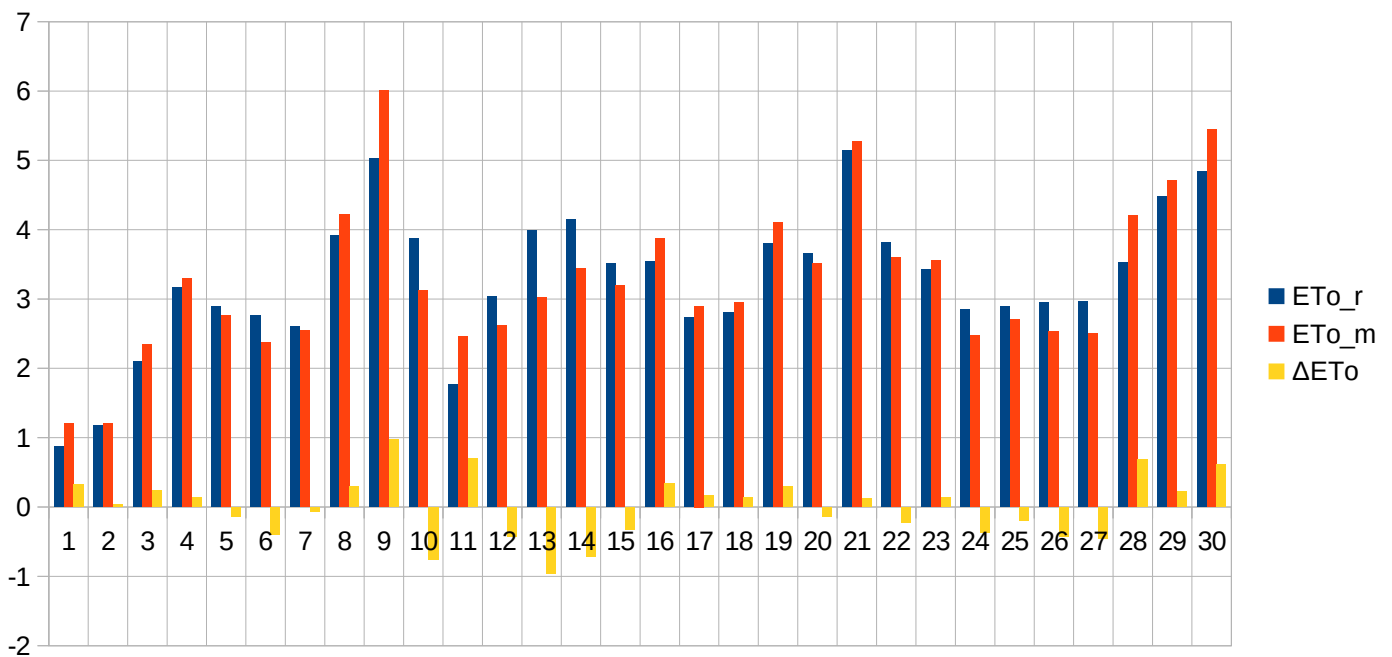


Data	T _{min_r}	T _{min_m}	T _{max_r}	T _{max_m}	RH _{min_r}	RH _{min_m}	Rh _{max_r}	RH _{max_m}	V _r	V _m	P _r	P _m	R _r	R _m	ET _{o_r}	ET _{o_m}	ΔET _o		
2017-10-01	2,6	3,87	14,9	14,95	55	53,13	98	85,32	3,58	0,45	100,03	100,34	0	0	2,03	1,28	-0,75		
2017-10-02	1,5	4,21	17,9	16,95	48	44	100	87,02	3,08	5,77	99,8	100,16	0	0	2,39	3,15	0,76		
2017-10-03	9,1	9,87	13,4	11,57	60	54,9	97	94,48	5,42	15,18	99	99,39	6,1	10,69	1,83	2,43	0,6		
2017-10-04	9,9	8,14	15,4	14,68	64	60,9	97	95,75	5	2,43	99,37	99,68	8	1,3	1,84	1,56	-0,28		
2017-10-05	10,6	9,72	13,6	12,34	65	68,2	95	91,65	6,04	4,27	98,08	98,39	0,5	7,99	1,75	1,48	-0,27		
2017-10-06	7,6	6,65	12,3	11,19	64	72	90	92,9	8,58	3,25	98,13	98,42	2,5	5,65	1,99	1,23	-0,76		
2017-10-07	6,1	5,98	13,3	11,93	62	64,66	96	94,8	4,29	2,16	98,93	99,25	0,6	0,48	1,66	1,25	-0,41		
2017-10-08	4,7	5,24	10,9	10,14	79	76,4	98	94,3	3,75	4,28	98,48	98,77	0	0,95	1,01	1,1	0,09		
2017-10-09	3,4	4,62	9,9	9,79	65	63,1	100	94,8	6,13	2,72	98,79	99,13	0,5	0,54	1,38	1,2	-0,18		
2017-10-10	5,2	5,5	11,7	10,97	64	63,1	94	85,25	5,42	3,38	98,97	99,31	0,9	0,41	1,59	1,48	-0,11		
2017-10-11	9,2	8,5	14,2	13,03	84	81,4	95	87,73	4,25	5,14	99,19	99,5	2,9	2,44	1,06	1,26	0,2		
2017-10-12	10,1	9,51	18,6	18,14	65	59,72	95	91,71	4,79	4,22	99,21	99,52	0	1,3	1,99	2,11	0,12		
2017-10-13	6	9,09	14,1	11,71	61	70,97	96	87,3	7,08	3,47	99,53	99,85	0	0,86	1,96	1,3	-0,66		
2017-10-14	4,8	7,2	15,7	15,29	65	67,2	99	95,1	5,25	1,92	99,94	100,23	0	0	1,73	1,21	-0,52		
2017-10-15	13,1	12,45	19,2	17,65	67	73,08	96	91,6	5,58	2,06	100,03	100,36	0	0,11	1,97	1,26	-0,71		
2017-10-16	9,5	11,07	21,7	20,29	54	58,76	100	93,5	3,83	4,09	100	100,33	0	0	2,34	2,19	-0,15		
2017-10-17	9,3	10,93	21,2	20,35	56	55,7	97	90,5	3,04	3,21	99,87	100,17	0	0	2,03	2,1	0,07		
2017-10-18	11,1	10,63	21,5	20,5	52	54,49	92	90,8	2,71	3,6	99,24	99,53	0	0	2,08	2,23	0,15		
2017-10-19	7,6	10,95	20,2	18,75	52	56,75	99	84,7	2,29	1,43	98,99	99,24	0	0	1,75	1,37	-0,38		
2017-10-20	10	9,47	13,6	15,08	87	66,7	99	91,51	1,92	0,46	99,24	99,47	0	0	0,69	0,75	0,06		
2017-10-21	8,7	8,17	13,5	14,64	83	58,96	99	90,9	2,88	1,51	99,01	99,3	0,4	0,41	0,79	1,1	0,31		
2017-10-22	5,8	7,24	12,8	13,71	81	66,14	99	96,6	3,38	0,7	98,91	99,24	0	2,03	0,82	0,73	-0,09		
2017-10-23	5,5	5,74	9,5	8,1	93	90,7	99	97	3,17	2,35	98,58	98,87	24	15,53	0,47	0,51	0,04		
2017-10-24	3,9	4,5	5,3	5,43	87	79,4	95	90,5	3,04	4,85	99,73	99,98	0	1,6	0,53	0,81	0,28		
2017-10-25	4,2	2,36	10,6	9,85	72	64,93	95	95,7	2,96	2,97	99,79	100,15	0	0,32	0,9	0,99	0,09		
2017-10-26	9,6	9,72	14	14,05	67	65,4	94	90,69	5,13	3,92	99,46	99,82	0,5	1,6	1,45	1,41	-0,04		
2017-10-27	7,7	7,02	10,5	9,77	88	84,9	95	91,5	4,92	2,97	98,64	98,94	11,7	9,4	0,67	0,7	0,03		
2017-10-28	4,5	4,7	8,1	7,53	80	78	93	91,4	7,38	3,42	98,31	98,63	3,8	2,69	0,89	0,77	-0,12		
2017-10-29	4	3,27	8,3	7,97	67	68,21	93	85,8	9,46	11,64	96,4	96,64	29	10,25	1,35	1,54	0,19		
2017-10-30	0,9	0,72	6,2	5,01	50	61,42	90	78,1	10,04	9,54	97,98	98,3	0	2,01	1,77	1,57	-0,2		
2017-10-31	-0,1	-0,32	5,3	5,24	55	53,3	93	87	7	4,45	99,27	99,66	0	0,11	1,32	1,21	-0,11		
Σ															91,4	78,67	46,03	43,28	-2,75

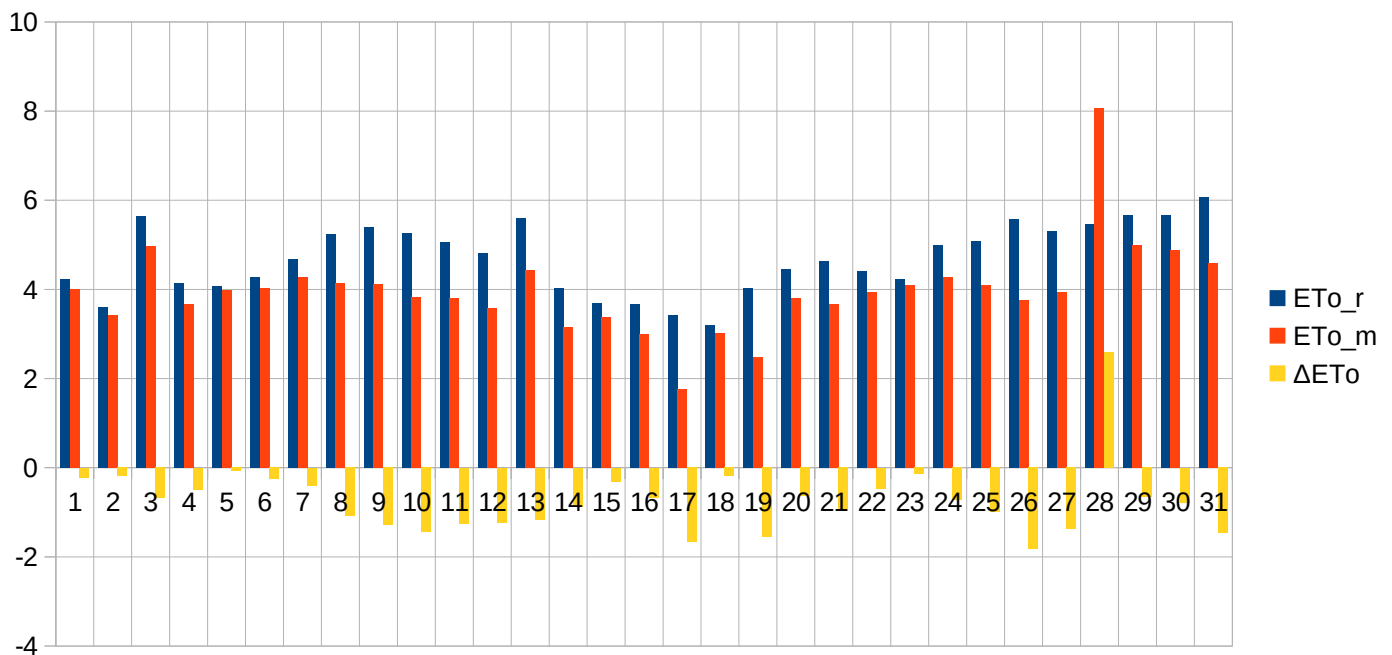


III.2.1. Okres wegetacyjny 2018 roku. Białystok.

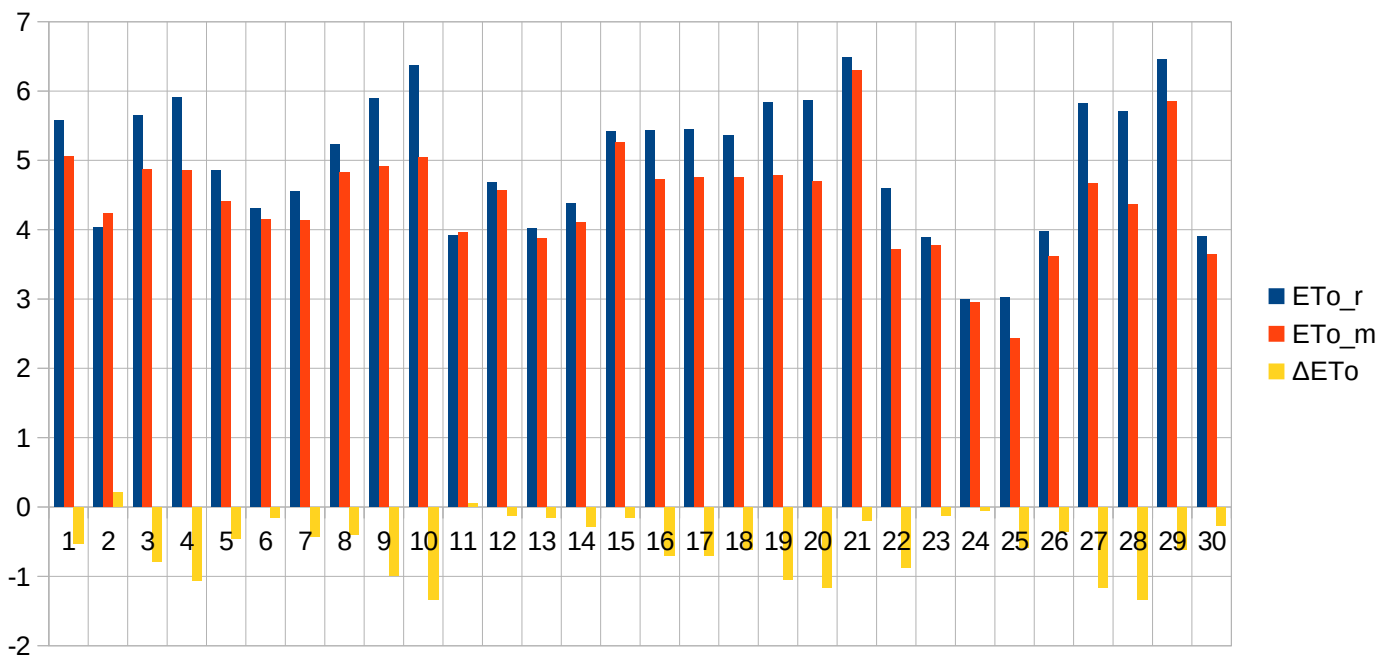
Data	T _{min_r}	T _{min_m}	T _{max_r}	T _{max_m}	RH _{min_r}	RH _{min_m}	Rh _{max_r}	RH _{max_m}	V _r	V _m	P _r	P _m	R _r	R _m	ET _{o_r}	ET _{o_m}	ΔET _o			
2018-04-01	0,9	4,22	6,4	10,8	93	88,67	97	97,93	3,25	2,65	97,41	97,33	33	34,04	0,88	1,21	0,33			
2018-04-02	-2,1	-0,13	4,2	4,55	70	71,3	96	90,9	3,96	4,09	98,17	98,29	24,4	11,66	1,18	1,21	0,03			
2018-04-03	-4,2	-0,82	12,1	11,86	51	55,5	96	91,2	1,96	5,03	99,27	99,45	0,1	0,65	2,1	2,34	0,24			
2018-04-04	0,5	5,61	20,4	19,65	38	51,4	97	87,6	2,04	3,66	99,16	99,28	0,4	0,09	3,16	3,3	0,14			
2018-04-05	6,2	8,79	18,6	18,35	45	54,23	95	92,48	2,25	2,94	98,87	98,93	0	0,08	2,89	2,76	-0,13			
2018-04-06	-0,4	3,11	11,6	10,55	26	38,3	89	84,83	2,92	2,98	99,93	100,1	0	0,11	2,76	2,37	-0,39			
2018-04-07	-3,3	0,35	13,7	13	29	34,41	90	74,4	1,71	1,8	100,88	101,07	0	0	2,61	2,55	-0,06			
2018-04-08	2,2	4,55	21,1	20,4	42	50,7	71	76,71	3,17	6,25	100,26	100,38	0	0	3,92	4,22	0,3			
2018-04-09	9,3	9,94	24,8	23,35	29	39,4	75	86,1	3,38	10,93	99,3	99,4	0	1,51	5,03	6,01	0,98			
2018-04-10	5,8	10,55	22,7	21,65	35	39,49	97	88,2	2,38	1,42	99,24	99,34	0	0,76	3,87	3,12	-0,75			
2018-04-11	6,2	7,38	10,5	16,75	72	57,51	87	86,69	4,46	1,57	99,82	99,85	0	0	1,76	2,46	0,7			
2018-04-12	4,9	7,48	16,8	17,88	54	54,48	87	88,1	3,75	1,43	99,91	100	0	0	3,04	2,62	-0,42			
2018-04-13	6	7,05	20,9	20,68	46	49,5	87	75,6	3,92	1,09	99,99	100,09	0	0,05	3,99	3,03	-0,96			
2018-04-14	10,1	10,76	23	20,87	36	56,2	77	85,3	2,46	3,45	100,2	100,29	0	2,44	4,15	3,44	-0,71			
2018-04-15	4,3	8,82	20,7	21,16	35	38,7	98	89,4	1,75	1,22	100,24	100,3	0	0	3,52	3,2	-0,32			
2018-04-16	10,1	12,38	23,2	23,05	43	45,3	86	79,4	1,42	2,46	99,56	99,64	0	0	3,54	3,88	0,34			
2018-04-17	6,1	7,57	16,7	18,26	58	66,66	95	92,6	2,46	4,68	99,98	100,09	3	1,32	2,73	2,9	0,17			
2018-04-18	6	5,45	15,5	15,95	51	55,1	94	96,61	2,92	4,69	100,91	101,01	0	0	2,81	2,95	0,14			
2018-04-19	9,4	7,04	18	17,55	35	47,47	87	95,32	3,79	12,14	100,72	100,85	0	0	3,8	4,1	0,3			
2018-04-20	4,4	4,74	19,1	18,29	34	40,7	94	93,1	2,17	2,62	100,67	100,8	0	0	3,66	3,52	-0,14			
2018-04-21	7,4	7,25	21,3	20,35	23	41	69	70,6	3,63	7,42	99,53	99,67	0	0	5,15	5,27	0,12			
2018-04-22	4,8	4,86	17,4	17,09	32	41,9	83	82,9	2,92	3,22	99,65	99,83	0	0	3,82	3,6	-0,22			
2018-04-23	1,1	4,44	18,6	18,15	28	38,3	97	83,5	1,33	2,06	99,5	99,6	0	0,76	3,42	3,56	0,14			
2018-04-24	10,9	8,47	16,1	14,29	48	55	95	94	3,29	2,65	99,31	99,41	1	0,96	2,85	2,48	-0,37			
2018-04-25	8,5	7,51	18,1	17,22	64	69,4	94	97,5	2,25	3,65	98,87	98,96	1,1	2,92	2,89	2,7	-0,19			
2018-04-26	7	5,59	14,2	13,76	44	54,8	91	93,1	3,21	1,87	99,17	99,29	8	1,48	2,95	2,53	-0,42			
2018-04-27	2,1	3,79	13,7	13,26	39	51	94	97,4	2,08	1,29	99,82	99,95	0	0,84	2,97	2,51	-0,46			
2018-04-28	1	5,33	20,2	20,03	43	52,9	98	81,62	1,33	4,89	99,73	99,85	0	0	3,53	4,21	0,68			
2018-04-29	7,2	11,31	25,9	24,9	42	52,65	97	80,25	1,75	3,28	99,47	99,57	1	0	4,48	4,71	0,23			
2018-04-30	10,7	13,92	27,3	26,65	41	48,5	98	92,62	1,92	5,41	99	99,01	0,2	1,51	4,84	5,45	0,61			
															Σ	72,2	61,18	98,3	98,21	-0,09



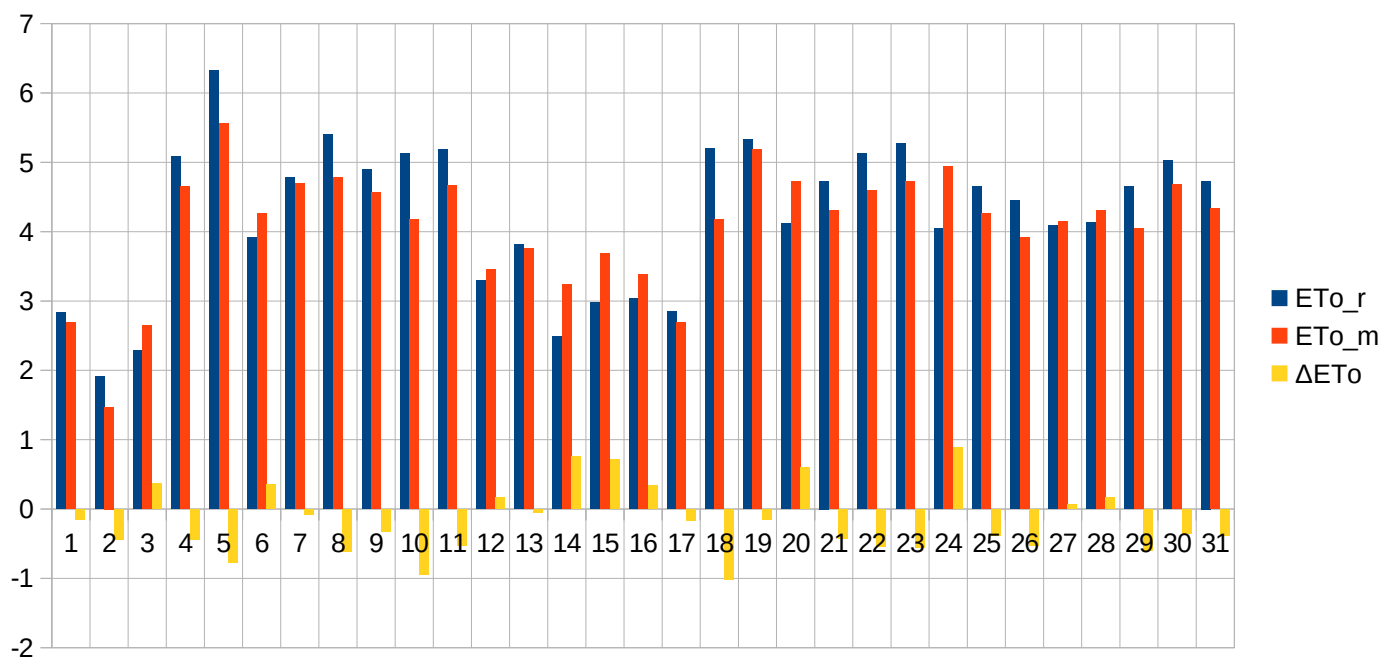
Data	T _{min_r}	T _{min_m}	T _{max_r}	T _{max_m}	RH _{min_r}	RH _{min_m}	Rh _{max_r}	RH _{max_m}	V _r	V _m	P _r	P _m	R _r	R _m	ET _{o_r}	ET _{o_m}	ΔET _o	
2018-05-01	11,9	13,85	24,8	24,22	46	50,3	97	96,05	1,75	2,13	99,1	99,15	0	6,6	4,23	4,01	-0,22	
2018-05-02	11,1	10,72	20,5	20,6	46	52,5	97	94,1	2,21	1,55	99,86	99,91	0	0,12	3,61	3,42	-0,19	
2018-05-03	12,5	11,95	28	27,07	29	48,7	82	90	2,29	2,38	99,53	99,54	0	2,2	5,64	4,96	-0,68	
2018-05-04	11,4	11,17	21,5	21,75	44	68,51	90	94,21	2,92	7,15	99,95	99,98	0	0,02	4,15	3,66	-0,49	
2018-05-05	7,2	7,33	17,3	17,31	32	52	74	86,25	2,88	7,94	100,51	100,6	0	0	4,07	3,99	-0,08	
2018-05-06	6,6	5,65	19,5	18,39	34	50,4	86	91,33	2,63	5,37	100,66	100,78	0	0	4,28	4,03	-0,25	
2018-05-07	4,3	7,29	22,1	20,38	31	46,6	96	92,18	2,33	3,59	100,42	100,53	0	0	4,67	4,27	-0,4	
2018-05-08	6,1	9,35	24,3	23,36	28	46,57	93	88,3	2,54	1,14	99,91	100,01	0	0	5,23	4,14	-1,09	
2018-05-09	10	11,63	25,9	24,85	33	47,96	87	90,03	2,38	0,72	99,53	99,61	0	1,02	5,4	4,12	-1,28	
2018-05-10	10,7	13,97	26,8	24,17	38	57,1	94	93,79	2,13	0,94	99,74	99,8	0	0,56	5,27	3,83	-1,44	
2018-05-11	8,9	12,28	23	22,74	32	48,7	79	81	2,5	0,89	100,19	100,28	0	0,01	5,06	3,81	-1,25	
2018-05-12	5,7	8,95	22,6	20,59	28	44,5	93	75,3	2	0,55	100,27	100,45	0	0	4,82	3,59	-1,23	
2018-05-13	6,4	10,39	24,8	23,77	27	48,1	96	80,2	2,88	1,46	99,94	100,1	0	0	5,59	4,43	-1,16	
2018-05-14	5,9	9,03	19,3	17,93	43	60,5	96	94,6	2,08	1,04	100,01	100,09	4	3,28	4,02	3,15	-0,87	
2018-05-15	9,3	9,62	19	19,14	45	52,33	96	96,86	1,92	0,9	99,79	99,81	0,4	0,29	3,69	3,38	-0,31	
2018-05-16	10,5	10,72	19,8	18,41	60	75,1	90	96,2	2,67	0,93	99,28	99,28	2	7,86	3,66	2,99	-0,67	
2018-05-17	7	11,65	15,7	14,35	44	85,67	95	97,6	2,75	2,53	98,84	98,87	11,8	3,22	3,43	1,77	-1,66	
2018-05-18	12	11,35	19,2	18,62	67	72,1	93	96,2	1,92	4,58	99,07	99,1	5,2	5,18	3,19	3,01	-0,18	
2018-05-19	9,4	9,76	18,8	16,55	41	77,4	91	97,2	2,79	7,38	99,82	99,93	0	2,99	4,03	2,47	-1,56	
2018-05-20	5,3	6,13	19,5	18,25	34	50,9	93	90,2	2,29	2,11	100,62	100,75	0	0	4,45	3,81	-0,64	
2018-05-21	5,2	7,99	19,9	18,85	32	45,74	96	94,1	2,5	1,1	100,63	100,72	0	0,11	4,64	3,67	-0,97	
2018-05-22	7,4	7,99	20,5	19,85	43	53,9	95	97,3	2,46	2,2	100,17	100,19	2	5,3	4,4	3,93	-0,47	
2018-05-23	9,5	10,65	21	20,65	43	50,7	98	95,21	1,96	2,84	100,33	100,38	30	1,98	4,24	4,1	-0,14	
2018-05-24	10	10,15	23,4	21,56	39	52,9	90	94,8	2,29	2,62	100,56	100,65	0	0,17	4,99	4,27	-0,72	
2018-05-25	9,7	11,17	24,2	22,33	40	55,1	95	94,6	2,13	1,22	100,4	100,51	0	3,46	5,08	4,09	-0,99	
2018-05-26	14,3	15,2	26,2	23,27	35	64,9	93	94	2,75	1,05	100,62	100,72	0,2	12,06	5,58	3,75	-1,83	
2018-05-27	10,7	14,16	26,1	23,46	33	61,7	94	93,8	1,46	0,85	100,64	100,71	0	0,22	5,31	3,94	-1,37	
2018-05-28	10,7	12,56	26,8	29,23	34	47,9	97	86,4	1,58	13,52	100,74	88,07	0	0	5,47	8,07	2,6	
2018-05-29	10,1	13,75	28	26,47	28	45,87	96	85	1,5	1,31	100,58	100,67	0	0	5,66	5	-0,66	
2018-05-30	10,8	15,61	29,5	27,86	26	40,59	96	87,7	1,17	0,71	100,18	100,28	0	0	5,66	4,88	-0,78	
2018-05-31	13,6	16,8	28,3	26,36	31	51,12	90	81,48	2,08	1,15	100,01	100,14	0	0	6,06	4,59	-1,47	
													Σ	55,6	56,65	145,58	123,13	-22,45



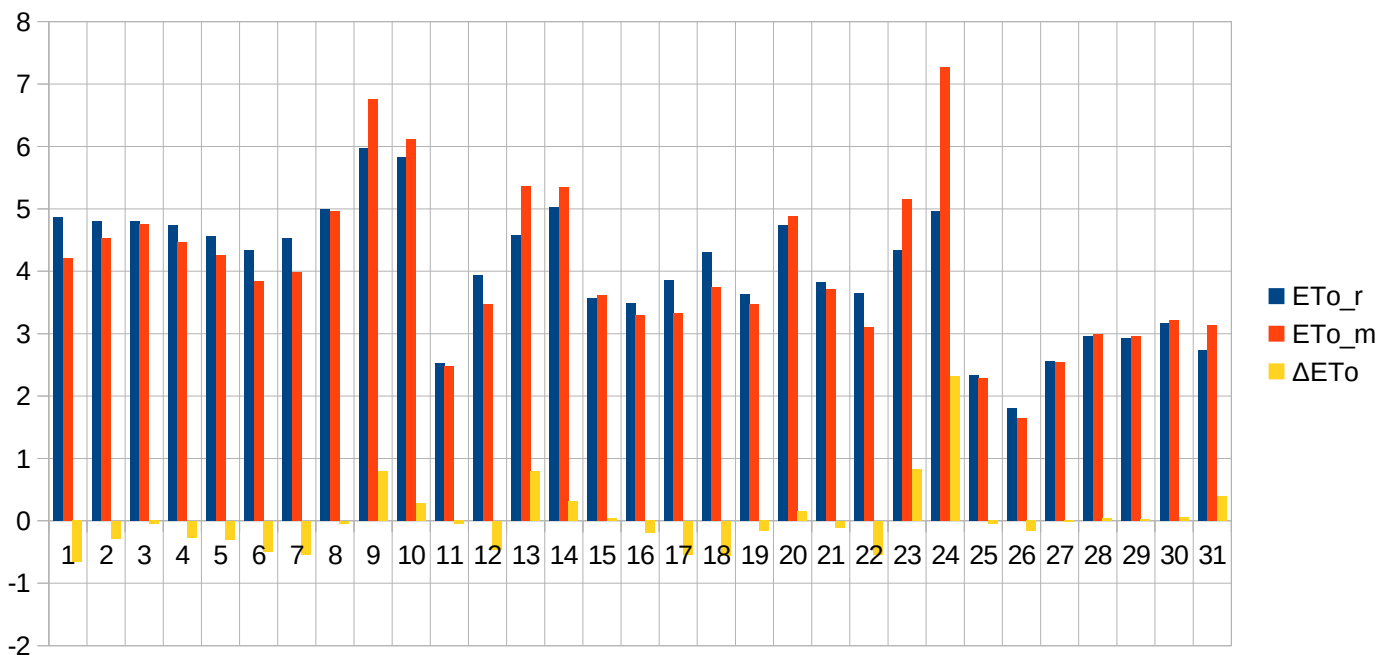
Data	T _{min_r}	T _{min_m}	T _{max_r}	T _{max_m}	RH _{min_r}	RH _{min_m}	Rh _{max_r}	RH _{max_m}	V _r	V _m	P _r	P _m	R _r	R _m	ET _{o_r}	ET _{o_m}	ΔET _o		
2018-06-01	13	13,88	26,1	25,56	33	51,01	79	80,18	1,96	2,07	100,13	100,23	0	0	5,58	5,06	-0,52		
2018-06-02	11,5	14,47	21,7	23,16	51	50,55	96	80,6	0,96	1,38	99,68	99,67	4	0	4,03	4,24	0,21		
2018-06-03	9,8	14,34	27,2	25,45	37	49,77	99	92,06	1,83	1,88	99,52	99,59	0	0,22	5,65	4,87	-0,78		
2018-06-04	11,2	15,08	27,3	26,27	36	48,37	98	91,01	2,21	1,31	99,05	99,13	0	0,68	5,91	4,85	-1,06		
2018-06-05	8,9	7,96	20,3	18,56	33	44,01	83	97,5	2,67	5	99,07	99,23	0	0,02	4,85	4,4	-0,45		
2018-06-06	4,5	3,6	16,9	15,09	25	36,73	82	77,5	1,92	3,33	100,21	100,41	0	0	4,3	4,15	-0,15		
2018-06-07	2,5	6,04	21,6	20,55	29	42,2	96	79,98	1,04	0,31	100,42	100,61	0	0	4,55	4,13	-0,42		
2018-06-08	5,6	9,33	26	24,6	26	39,41	96	78,8	1,17	0,63	99,94	100,08	0	0	5,23	4,83	-0,4		
2018-06-09	9,1	12,97	27,9	25,84	27	39,6	95	86,28	1,67	0,86	99,7	99,82	0	0	5,9	4,91	-0,99		
2018-06-10	12,1	13,72	28,9	27,25	28	53,16	83	93,4	1,96	0,7	99,45	99,56	0	0,22	6,37	5,04	-1,33		
2018-06-11	16,4	15,58	23	23,59	56	69,5	97	96,4	1,92	2,63	98,96	98,99	1,7	12,1	3,91	3,96	0,05		
2018-06-12	13,7	11,48	23,3	22,66	44	55,4	97	95,6	2,38	2,84	98,81	98,91	0	0	4,68	4,56	-0,12		
2018-06-13	11,6	10,47	20,7	20,2	47	60,4	95	97,5	1,33	1,65	99,08	99,14	0	0,24	4,02	3,87	-0,15		
2018-06-14	14,8	13,14	22,6	21,62	49	60,45	89	95,83	2,38	3,83	99,36	99,41	0	0,37	4,38	4,1	-0,28		
2018-06-15	13,2	12,02	25,3	23,99	35	50,64	90	94,97	2,08	4,68	99,61	99,67	0	0,21	5,41	5,26	-0,15		
2018-06-16	10,5	13,18	26	24,21	33	47,52	98	97,04	1,29	1,69	99,82	99,91	0	0	5,43	4,73	-0,7		
2018-06-17	11,3	13,89	27,3	25,27	34	47,6	92	94,6	0,96	1,11	99,79	99,89	0	0,15	5,45	4,75	-0,7		
2018-06-18	15,3	15,61	27	25,94	42	53,11	81	94,67	1,61	1,45	99,87	99,93	0	1,17	5,36	4,75	-0,61		
2018-06-19	14,8	14,15	26,7	25,05	34	52,1	88	93,46	2,46	1,69	100,02	100,09	0	0,21	5,83	4,78	-1,05		
2018-06-20	12,5	14,43	26,1	24,78	34	48,83	95	92,8	2,58	1,52	100,17	100,28	0	0,01	5,86	4,7	-1,16		
2018-06-21	11,3	17,73	29,8	27,75	36	52,08	92	94,76	2,33	8,68	99,27	99,35	0	7,85	6,49	6,29	-0,2		
2018-06-22	9,9	10,18	18,7	17,85	34	46,4	85	93	3,29	2,14	99,44	99,52	8	4,1	4,59	3,72	-0,87		
2018-06-23	8	9,45	18,3	18,45	44	44,82	95	92,34	1,33	1,21	99,56	99,63	10	2,94	3,89	3,77	-0,12		
2018-06-24	9,5	7,49	15,3	14,85	56	68,69	96	96,05	1,83	1,58	99,41	99,52	1,1	3,57	3	2,95	-0,05		
2018-06-25	10,2	8,04	16,3	13,85	64	86,49	95	96,76	1,83	1,64	99,8	99,93	8	4,04	3,02	2,43	-0,59		
2018-06-26	10,9	9,15	20,4	18,78	50	57,08	97	97,4	1,38	0,41	100,26	100,35	0	1,94	3,98	3,62	-0,36		
2018-06-27	13,7	13	25,9	24,54	37	52,33	94	96,2	3,17	1,34	100,51	100,57	0,3	2,52	5,82	4,66	-1,16		
2018-06-28	15,4	17,25	26	24,79	41	58,6	84	86,87	3,17	2,12	100,04	100,02	0	0,19	5,71	4,37	-1,34		
2018-06-29	12,3	15,01	28,6	26,21	32	52,8	95	93,5	2,5	7,12	99,22	99,29	0	0	6,46	5,85	-0,61		
2018-06-30	11,7	9,55	16,9	15,87	43	58,8	76	88,9	3,33	13,06	99,29	99,38	0	0,54	3,9	3,64	-0,26		
Σ															33,1	43,29	149,56	133,24	-16,32



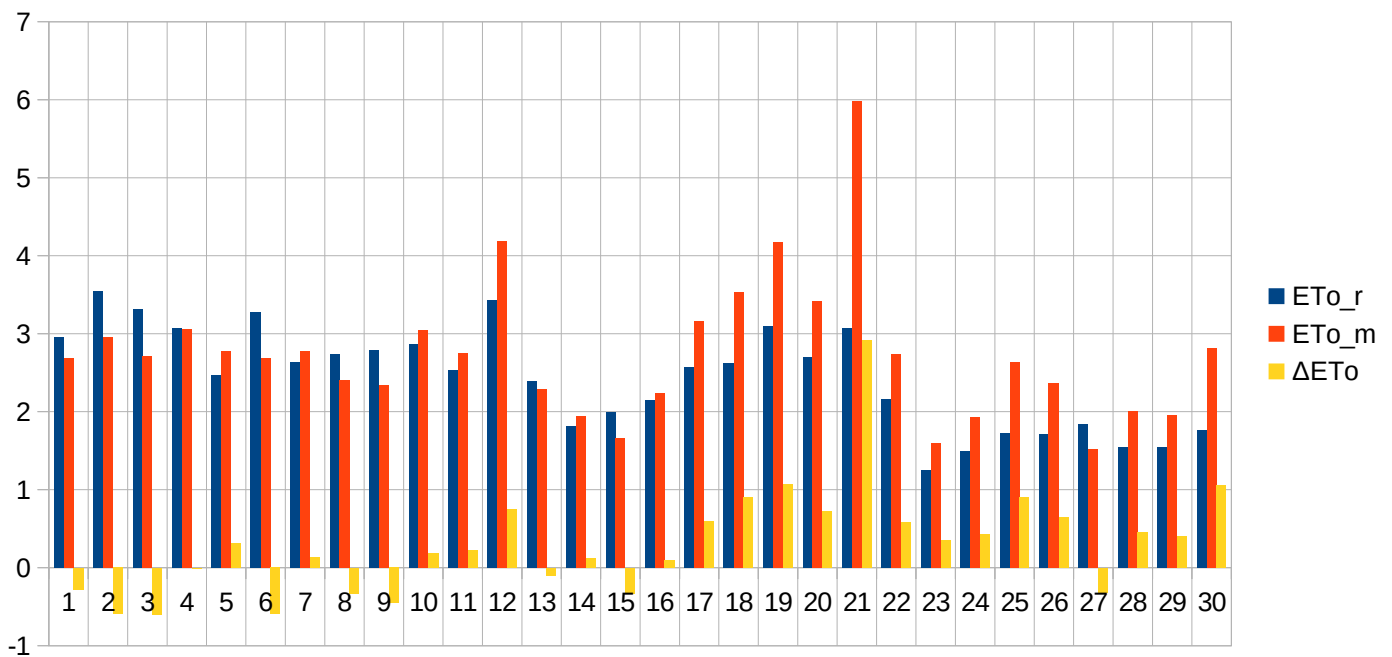
Data	T _{min_r}	T _{min_m}	T _{max_r}	T _{max_m}	RH _{min_r}	RH _{min_m}	Rh _{max_r}	RH _{max_m}	V _r	V _m	P _r	P _m	R _r	R _m	ET _{o_r}	ET _{o_m}	ΔET _o	
2018-07-01	11,4	9,54	13,7	12,55	54	63,53	74	88,7	3,04	10,5	99,39	99,54	0	1,5	2,84	2,69	-0,15	
2018-07-02	10,1	9,31	12,1	11,01	71	85,4	95	94,46	2,88	4,74	99,13	99,28	42	15,23	1,91	1,47	-0,44	
2018-07-03	10,7	10,51	15,1	16,35	85	83,19	96	96,15	2,33	1,89	99,38	99,43	0,9	3,43	2,28	2,65	0,37	
2018-07-04	12,1	11,25	24,1	22,99	40	54,47	97	96,08	2,38	2,9	99,33	99,42	1	0,01	5,09	4,65	-0,44	
2018-07-05	13,7	14,01	28,5	27,2	29	42,29	88	88,45	2,25	1,98	99,07	99,14	0	0	6,33	5,56	-0,77	
2018-07-06	14,3	12,79	21,7	22,88	59	61,36	90	95,8	2,29	2,76	99,26	99,26	0	0	3,92	4,27	0,35	
2018-07-07	13,8	12,26	23,7	23,58	46	57,4	88	96,9	2,42	4,08	99,55	99,57	0	0,97	4,78	4,7	-0,08	
2018-07-08	13,1	11,91	25,2	23,36	39	57,7	89	95,5	2,54	5,44	99,72	99,78	0	1,3	5,4	4,78	-0,62	
2018-07-09	12,6	10,27	24,2	22,62	41	52,8	84	96,58	1,71	2,46	99,75	99,84	0	0,33	4,89	4,57	-0,32	
2018-07-10	12,3	13,59	26	24,25	39	55,4	96	89,9	1,38	0,39	99,79	99,82	0	2,45	5,12	4,18	-0,94	
2018-07-11	12,2	14,47	26,8	26,37	41	45,1	97	92,5	1,21	0,73	99,64	99,68	0	0,32	5,19	4,67	-0,52	
2018-07-12	16,4	15,59	22,2	22,31	72	73,2	97	92,8	1,54	1,31	99,48	99,53	5,4	4,95	3,29	3,46	0,17	
2018-07-13	11,5	13,4	21	21,85	59	58,9	98	93,24	1,5	1,04	99,36	99,37	36	3,38	3,81	3,76	-0,05	
2018-07-14	14,7	14,04	18,9	21,35	87	76,2	97	99	1,75	3,93	99,17	99,21	37,3	5,76	2,48	3,24	0,76	
2018-07-15	16,7	15,17	21,7	22,85	78	70,31	97	98,1	2,17	5,41	99,22	99,25	13	6,44	2,98	3,69	0,71	
2018-07-16	16,4	15,95	21,6	22,58	76	74,25	97	97,7	2,25	2,57	99,08	99,11	16,1	8,73	3,04	3,38	0,34	
2018-07-17	17,7	16,62	22,4	21,02	84	85,44	97	97,01	2,13	1,59	98,72	98,77	26	7,45	2,85	2,69	-0,16	
2018-07-18	18,2	17,75	29	26,65	52	69,75	98	97,18	2,33	1,61	98,73	98,77	24,5	5,95	5,2	4,18	-1,02	
2018-07-19	16,9	16,98	28	26,65	42	56,1	98	95,78	2,38	5,52	98,92	98,99	0	0,03	5,33	5,18	-0,15	
2018-07-20	18,7	16,35	25,9	25,95	58	61,12	96	96,99	2,08	5,17	99,08	99,11	4	3,36	4,12	4,72	0,6	
2018-07-21	15,3	14,63	26	25,03	48	58,51	95	98,58	1,96	1,84	99,27	99,31	0	0	4,73	4,31	-0,42	
2018-07-22	13,5	16,05	27,4	26,07	46	56	98	93,86	1,71	2,36	99,25	99,32	0	0	5,13	4,59	-0,54	
2018-07-23	17,4	16,25	28,3	25,75	48	62,84	89	95,9	2,46	6,95	99,27	99,31	0,1	4,68	5,27	4,72	-0,55	
2018-07-24	18,3	16,51	25,7	26,13	62	61,6	94	96,1	2,38	8,19	99,36	99,39	3	0,79	4,05	4,94	0,89	
2018-07-25	16,5	16,66	26,9	25,97	50	57,2	98	97,09	1,92	1,83	99,5	99,5	0	0,95	4,65	4,27	-0,38	
2018-07-26	16	16,84	27	26,05	58	63,94	97	96,04	1,42	0,57	99,76	99,76	10	0,22	4,45	3,92	-0,53	
2018-07-27	17,2	17,5	26,1	26,86	64	58,42	97	96,53	2	1,11	99,77	99,77	0,3	3,51	4,09	4,15	0,06	
2018-07-28	19,2	18,37	27,5	28,45	64	57,5	96	96,98	1,75	0,76	99,41	99,4	0	3,42	4,13	4,3	0,17	
2018-07-29	19,4	19,15	29,6	28,36	57	64,18	97	94,1	1,54	0,4	99,64	99,62	0	17,1	4,65	4,05	-0,6	
2018-07-30	18	19,34	29,5	30,23	46	46,72	97	93,3	1,79	0,95	100,01	99,99	0	2,62	5,03	4,68	-0,35	
2018-07-31	18,7	19,55	29,8	29,26	51	54,83	99	93,8	1,33	0,94	100,21	100,22	0,2	1,86	4,73	4,34	-0,39	
													Σ	219,8	106,74	131,76	126,76	-5



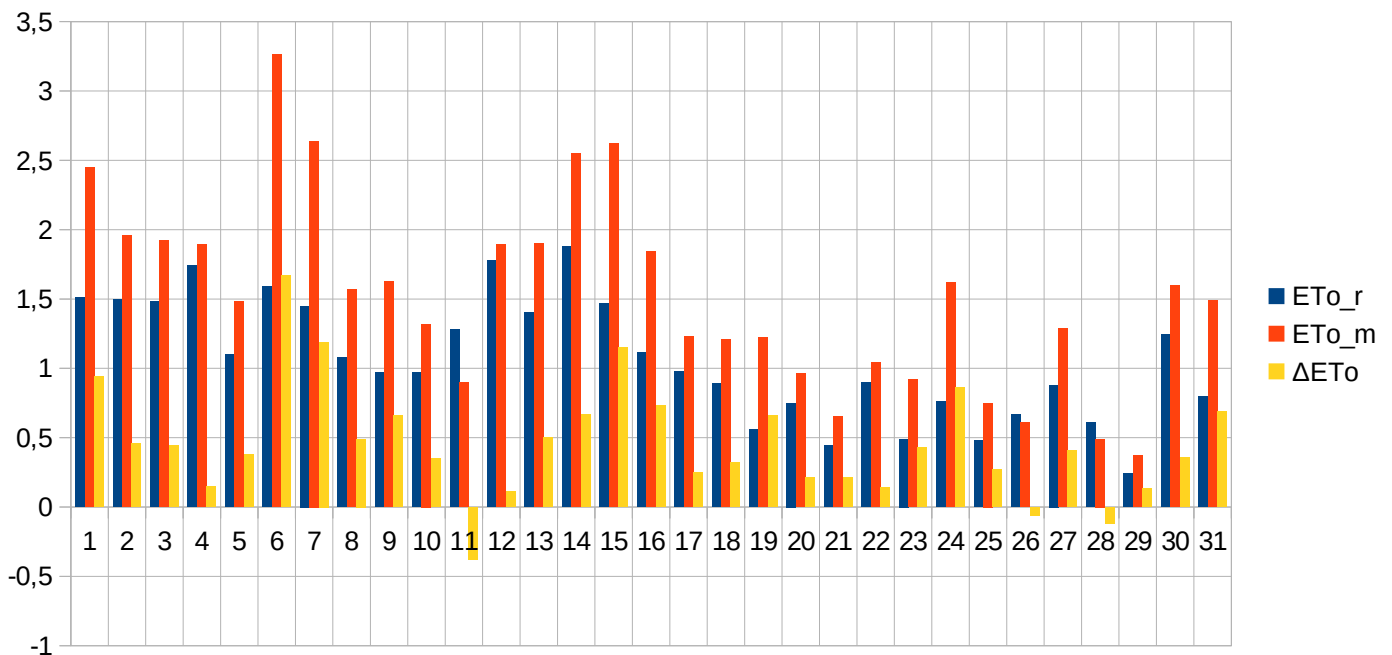
Data	T _{min_r}	T _{min_m}	T _{max_r}	T _{max_m}	RH _{min_r}	RH _{min_m}	Rh _{max_r}	RH _{max_m}	V _r	V _m	P _r	P _m	R _r	R _m	ET _{o_r}	ET _{o_m}	ΔET _o
2018-08-01	16,8	18,72	30	28,67	42	54,22	99	94,4	1	0,74	100,31	100,33	0	0,19	4,87	4,21	-0,66
2018-08-02	16,1	18,82	30,1	29,75	39	45,46	100	93,1	0,79	0,91	100,37	100,39	0	0	4,81	4,53	-0,28
2018-08-03	16,5	19,39	29,8	29,35	46	50,83	99	91,55	1,08	1,92	100,19	100,24	0	0,57	4,8	4,75	-0,05
2018-08-04	16,7	17,58	28,6	27,73	38	47,7	100	94,5	1,42	1,65	99,84	99,9	0	0	4,74	4,47	-0,27
2018-08-05	15,4	16,86	26,5	26,15	50	54,48	99	91,94	2,5	2,27	99,6	99,64	0,1	2,38	4,56	4,26	-0,3
2018-08-06	14,2	13,63	24,2	23,25	42	53,32	96	95	2,38	2,02	99,8	99,86	0	0,41	4,33	3,84	-0,49
2018-08-07	10,9	13,39	26,2	25,35	45	51,24	100	92,78	1,46	1	99,99	100,07	0	0	4,53	3,99	-0,54
2018-08-08	12,7	15,57	29,1	28,41	37	43,5	100	92,04	1,46	2,07	100,11	100,2	0	0	5	4,96	-0,04
2018-08-09	13,6	16,98	30,2	29,75	33	43,67	97	86,95	2,75	6,22	100,26	100,28	0	0	5,97	6,76	0,79
2018-08-10	18	19,04	30,3	29,4	35	53,91	97	96,69	3,17	9,92	100,25	100,27	0	6,26	5,83	6,11	0,28
2018-08-11	15,3	14,97	21,5	20,57	87	82,94	100	94,8	1,71	3,16	100,13	100,2	11	7,88	2,53	2,48	-0,05
2018-08-12	10	13,23	21,5	21,39	42	46,4	100	94,86	2,5	1,92	99,96	100,05	0	0,48	3,93	3,47	-0,46
2018-08-13	9,7	13,21	27,2	26,36	37	42,18	98	68,33	1,5	3,21	99,45	99,53	0	0	4,58	5,37	0,79
2018-08-14	12,9	16,99	30,5	29,05	41	48,67	99	85,66	1,71	3,55	99,2	99,21	2	0	5,03	5,35	0,32
2018-08-15	14,7	15,72	24	24,24	56	57,1	100	93,6	2,04	2,16	99,6	99,61	0,2	0,65	3,57	3,61	0,04
2018-08-16	12,7	13,59	23,7	23,2	50	57,4	100	97,6	1,08	1,17	100,19	100,2	0	0,15	3,48	3,29	-0,19
2018-08-17	11,1	14,41	26	25,34	42	46,12	100	94,76	0,79	0,36	100,14	100,18	0	0	3,86	3,32	-0,54
2018-08-18	12	15,72	28	26,86	39	44,8	100	87,8	1,17	0,9	100,1	100,14	0	0	4,3	3,74	-0,56
2018-08-19	15,7	15,65	26,2	26,15	51	49,4	99	96,07	1,21	0,75	100,19	100,24	0	3,46	3,63	3,47	-0,16
2018-08-20	13,8	17,23	29,9	29,06	35	40,67	100	82,1	1,54	2,31	99,64	99,68	0	0	4,73	4,88	0,15
2018-08-21	14,6	13,15	22	22,15	40	51,3	85	95,9	2,75	3,67	99,92	99,97	0	0	3,82	3,71	-0,11
2018-08-22	7,8	9,45	23,1	22,35	31	35,06	99	92,2	1,13	0,54	100,45	100,54	0	0	3,64	3,1	-0,54
2018-08-23	7,8	11,9	26,7	25,92	37	45,05	99	81,45	1,88	4,33	99,99	100,08	0	0	4,34	5,16	0,82
2018-08-24	17	17,95	30,2	30,93	44	39,8	98	87,3	2,83	7,45	99,2	99,2	7	2,16	4,96	7,27	2,31
2018-08-25	13,1	13	20,1	20,15	79	83,01	99	96,51	1,58	2,99	99,11	99,15	2,6	2,98	2,33	2,28	-0,05
2018-08-26	10,7	11,24	16,2	15,25	87	86	100	95,63	1,38	1,93	99,55	99,59	8,5	10,39	1,8	1,64	-0,16
2018-08-27	9,1	8,62	19	19,23	56	54	100	95,6	0,96	0,59	99,87	99,97	1,8	0,23	2,56	2,54	-0,02
2018-08-28	7,1	10,97	21,1	21,54	50	49,6	100	92,4	1	1,33	99,97	100,05	0	1,16	2,95	2,99	0,04
2018-08-29	10,1	10,75	21,2	20,76	47	51,5	99	96,9	1,29	1,85	100,17	100,24	0	0	2,93	2,96	0,03
2018-08-30	7,5	11,59	23,1	22,98	41	43,93	100	86,9	0,96	1,38	99,99	100,04	0	0	3,17	3,22	0,05
2018-08-31	10,9	13,52	21,5	22,75	60	55,56	99	90,02	1,38	2,2	100,05	100,08	1	0,11	2,74	3,14	0,4
Σ													34,2	39,46	124,32	124,87	0,55



Data	T _{min_r}	T _{min_m}	T _{max_r}	T _{max_m}	RH _{min_r}	RH _{min_m}	Rh _{max_r}	RH _{max_m}	V _r	V _m	P _r	P _m	R _r	R _m	ET _{o_r}	ET _{o_m}	ΔET _o			
2018-09-01	8,3	11,75	23,5	22,94	50	49,87	100	92,31	0,75	0,57	100,6	100,63	0	0	2,96	2,68	-0,28			
2018-09-02	11,1	13,5	25,2	25,15	45	48,6	99	90,1	1,79	0,79	100,77	100,83	0	0	3,55	2,96	-0,59			
2018-09-03	13,8	14,45	24,2	24,45	46	48	96	96,2	1,96	0,67	100,25	100,3	0	0	3,31	2,71	-0,6			
2018-09-04	11,5	14,11	25,1	24,56	52	52,4	100	96,8	1,13	1,62	99,63	99,66	26	1,4	3,07	3,06	-0,01			
2018-09-05	12,4	14,35	21,8	22,07	65	62,7	100	97,2	1,42	3,17	99,76	99,73	0,6	10,04	2,47	2,78	0,31			
2018-09-06	12,6	13,72	25,1	24,81	37	48,3	99	95,2	1,46	0,68	99,57	99,61	0,8	3,56	3,28	2,69	-0,59			
2018-09-07	11,1	14,89	22	23,35	55	48,4	98	79,13	1,42	1,27	99,59	99,61	0	0	2,64	2,78	0,14			
2018-09-08	12,6	12,45	23	21,75	42	53,6	99	88,8	1,21	0,92	100,02	100,09	0	0	2,73	2,4	-0,33			
2018-09-09	11,3	12,51	22,9	21,66	41	51,2	99	84,7	1,29	0,82	100,39	100,48	0	0,32	2,79	2,34	-0,45			
2018-09-10	10,6	12,22	23,4	23,26	52	48,5	98	94	1,67	2,1	100,31	100,4	0	0,13	2,86	3,04	0,18			
2018-09-11	9,6	12,79	22,8	23,18	49	45,6	100	87,7	0,96	1,37	100,21	100,3	0	0	2,53	2,75	0,22			
2018-09-12	15,6	15,96	26,6	26,52	47	50,8	88	82,6	2,17	4,12	100,02	100,12	0	0	3,43	4,18	0,75			
2018-09-13	13,6	13,38	20,9	20,39	48	54,3	94	97,5	1,58	1,85	100,14	100,19	0	0	2,39	2,29	-0,1			
2018-09-14	9,5	12,28	17,6	19,69	68	58,1	99	89,7	1,46	0,87	100,18	100,19	2	4,21	1,82	1,94	0,12			
2018-09-15	9,9	11,37	19	17,37	61	67,5	100	92,1	1,38	0,97	100,06	100,14	0	0,33	1,99	1,66	-0,33			
2018-09-16	6,1	9,29	17,5	17,77	50	47,1	100	93,4	1,71	1,9	100,47	100,56	0	0	2,15	2,24	0,09			
2018-09-17	5,4	9,34	21,6	21,27	44	48,2	100	78,2	1,54	2,99	100,43	100,51	0	0	2,57	3,16	0,59			
2018-09-18	8,7	11,85	24,6	24,37	44	46	100	81,7	1,21	3,04	100,23	100,31	0	0	2,62	3,53	0,91			
2018-09-19	13,5	14,45	27,1	26,44	44	44,2	98	86,4	1,83	4,06	100,05	100,12	0	0	3,1	4,17	1,07			
2018-09-20	10,9	15,23	28	27,45	40	43,1	100	80,9	1	2,16	100,09	100,15	0	0	2,7	3,42	0,72			
2018-09-21	11,2	15,95	26	26,11	37	38,3	100	71,2	1,83	7,46	99,66	99,69	0	0	3,07	5,98	2,91			
2018-09-22	6,4	9,05	18,2	18,74	54	49,6	97	87,1	2,33	3,61	99,52	99,6	2	3,02	2,16	2,74	0,58			
2018-09-23	5,8	7,85	12,7	13,55	74	65,1	98	94,3	1,67	3,02	99,41	99,51	2	4,41	1,25	1,6	0,35			
2018-09-24	6,5	6,01	12	12,36	66	66,2	98	93,9	4	9,65	98,93	99,04	34,3	15,04	1,5	1,93	0,43			
2018-09-25	4	4,75	10,8	12,05	54	48,2	90	84,4	3,29	7,41	100,72	100,87	0,3	0,11	1,72	2,63	0,91			
2018-09-26	0,2	2,73	11,8	12,58	53	43,71	100	87,8	3,13	4,46	101,14	101,31	3	6,26	1,71	2,36	0,65			
2018-09-27	8	8,9	16,3	15,65	67	72,2	91	93,8	3,67	2,95	100,17	100,31	8	2,57	1,84	1,52	-0,32			
2018-09-28	7	8,17	15,3	15,85	65	61,8	94	93,2	2,25	4,54	99,72	99,8	0	0,12	1,55	2,01	0,46			
2018-09-29	1,2	4,31	12,2	12,55	45	44,35	100	92,4	1,88	3,19	100,6	100,71	0	0	1,55	1,95	0,4			
2018-09-30	1	4,26	13,8	13,78	41	43,4	98	71,7	2	5,17	100,42	100,53	0	0	1,76	2,82	1,06			
															Σ	79	51,52	73,07	82,32	9,25

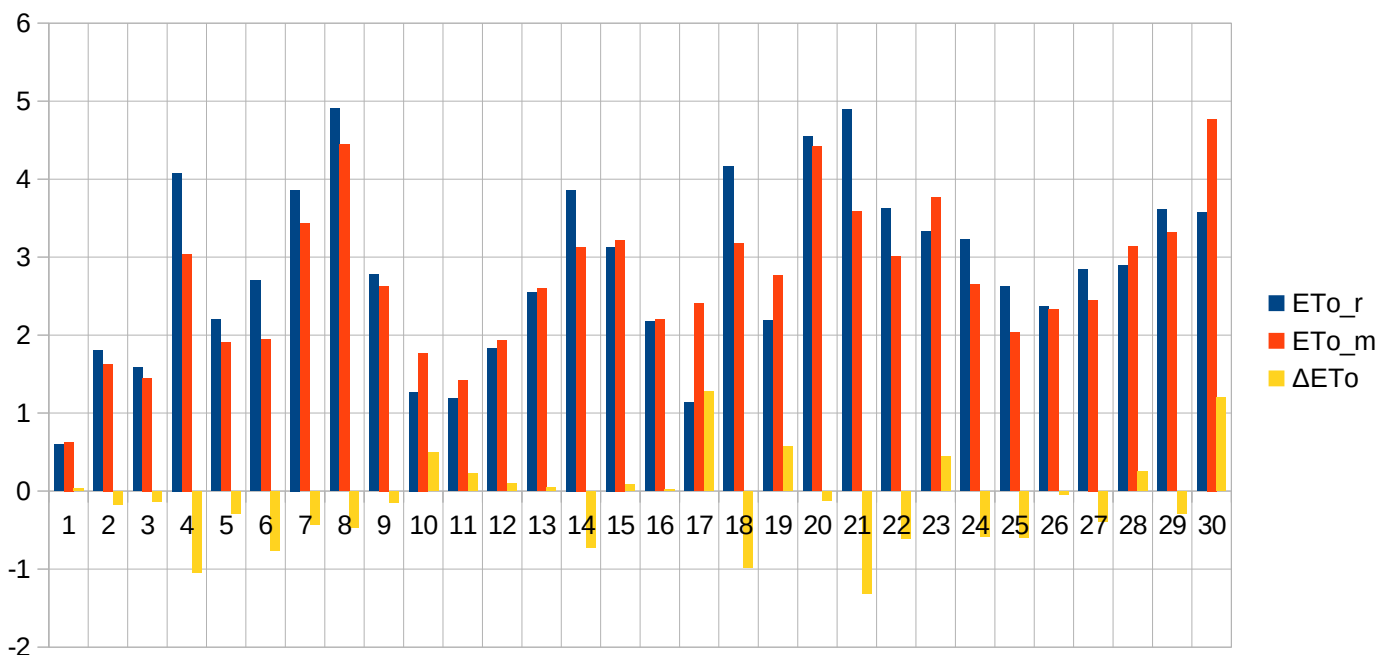


Data	T _{min_r}	T _{min_m}	T _{max_r}	T _{max_m}	RH _{min_r}	RH _{min_m}	Rh _{max_r}	RH _{max_m}	V _r	V _m	P _r	P _m	R _r	R _m	ET _{o_r}	ET _{o_m}	ΔET _o			
2018-10-01	0	4,3	15,3	15,77	50	44	100	90,6	1,42	3,97	99,4	99,48	0	0	1,51	2,45	0,94			
2018-10-02	2,9	6,54	12,9	13,65	55	56,1	100	74,6	2,5	3,2	99,2	99,29	0	0,11	1,5	1,96	0,46			
2018-10-03	6,2	6,54	11,5	10,65	63	64,4	95	81,2	4,29	7,16	98,73	98,84	3,3	2,16	1,48	1,92	0,44			
2018-10-04	3,7	5,03	12	12,18	47	48,66	95	88,5	3,21	3,7	100,15	100,27	0,2	0,22	1,74	1,89	0,15			
2018-10-05	4,1	5,1	13,6	13,64	71	67	99	92,02	1,79	3,58	100,66	100,76	0	0	1,1	1,48	0,38			
2018-10-06	2,8	6,56	18	17,91	53	48,1	100	82,5	1,75	7,15	99,94	100,04	0	0	1,59	3,26	1,67			
2018-10-07	8,3	8,35	18,1	18,64	67	57,48	95	88,42	2,21	6,23	99,36	99,48	0	0	1,45	2,64	1,19			
2018-10-08	2,1	6,38	12	12,3	54	47,41	99	81,69	1,38	2,23	100,53	100,61	0	0	1,08	1,57	0,49			
2018-10-09	0,5	5,18	13,8	13,94	60	50,63	100	84,68	1	2,45	100,77	100,86	0	0	0,97	1,63	0,66			
2018-10-10	1,5	6,28	18,1	17,71	56	42,75	100	81,9	0,58	1,03	100,96	101,08	0	0	0,97	1,32	0,35			
2018-10-11	2,9	8,45	19,4	19,89	53	44,6	100	83,97	1,17	0,34	101,12	101,22	0	0	1,28	0,9	-0,38			
2018-10-12	7,5	9,35	19,6	19,19	48	50,7	98	90,2	2,21	2,55	101,24	101,32	0	0	1,78	1,89	0,11			
2018-10-13	4,8	9,75	20,6	20,48	48	46,51	100	91,77	1,29	2,21	101,24	101,31	0	0	1,4	1,9	0,5			
2018-10-14	4,6	10,24	20	19,35	34	34,83	100	92,2	1,92	3,35	100,96	101,02	0	0	1,88	2,55	0,67			
2018-10-15	2,4	7,52	19,3	18,78	42	40,3	97	68,4	1,5	3,29	100,68	100,76	0	0	1,47	2,62	1,15			
2018-10-16	2,6	8,37	18,8	19,7	47	38,8	100	75	1,08	1,82	100,51	100,59	0	0	1,11	1,84	0,73			
2018-10-17	0,5	8,25	20,8	20,07	38	36,65	100	73,2	0,71	0,95	100,52	100,58	0	0	0,98	1,23	0,25			
2018-10-18	2	9,41	20,6	20,25	49	47,3	100	87,2	0,71	1,13	100,19	100,23	0	0	0,89	1,21	0,32			
2018-10-19	4,5	8,08	12,2	15,4	82	58,94	100	94,2	1,29	2,26	100,29	100,35	0	0	0,56	1,22	0,66			
2018-10-20	3,2	5,03	10,9	11,98	61	50,2	100	94,2	1,46	1,52	100,55	100,67	0	0	0,75	0,96	0,21			
2018-10-21	0,3	3,8	9,1	11,62	80	56,4	100	89,8	1,08	0,83	100,85	100,97	0	0	0,44	0,65	0,21			
2018-10-22	3,6	3,7	11,2	9,93	60	56,28	100	89,9	2,21	2,35	100,47	100,61	0,6	0,22	0,9	1,04	0,14			
2018-10-23	4,1	3,64	7,1	8,02	89	74,14	98	94,65	3,5	5,85	66,18	98,82	21,4	10,26	0,49	0,92	0,43			
2018-10-24	4,5	5,03	6,4	6,83	77	69,3	95	85,1	4,88	16,77	36,82	97,72	11	5,94	0,76	1,62	0,86			
2018-10-25	2,4	2,87	7,7	8,59	82	80,95	99	92,93	2,42	5,29	98,28	98,38	6,3	3,46	0,48	0,75	0,27			
2018-10-26	4,8	4,6	8,7	8,45	69	77,5	98	96,3	2,08	2,5	98,72	98,85	2,6	0,65	0,67	0,61	-0,06			
2018-10-27	5,7	6,12	10,4	10,47	71	70,5	90	87,9	2,92	6,29	98,55	98,7	0,2	0,81	0,88	1,29	0,41			
2018-10-28	2,3	4,17	6,6	6,3	71	70,23	95	83,1	2,29	0,7	99,68	99,85	0	3,51	0,61	0,49	-0,12			
2018-10-29	2,3	4,35	8,1	9,65	95	84,2	100	97,4	3,58	1,16	99,61	99,66	18	16,58	0,24	0,37	0,13			
2018-10-30	8,7	10,85	18,3	16,94	69	70,5	100	96,24	4,29	7,86	99,49	99,58	0	0,02	1,24	1,6	0,36			
2018-10-31	3,8	10,24	17,4	16,57	57	56,05	100	91,1	1,63	3,31	100,4	100,5	0	0	0,8	1,49	0,69			
													Σ	63,6	43,94	33	47,27	14,27		

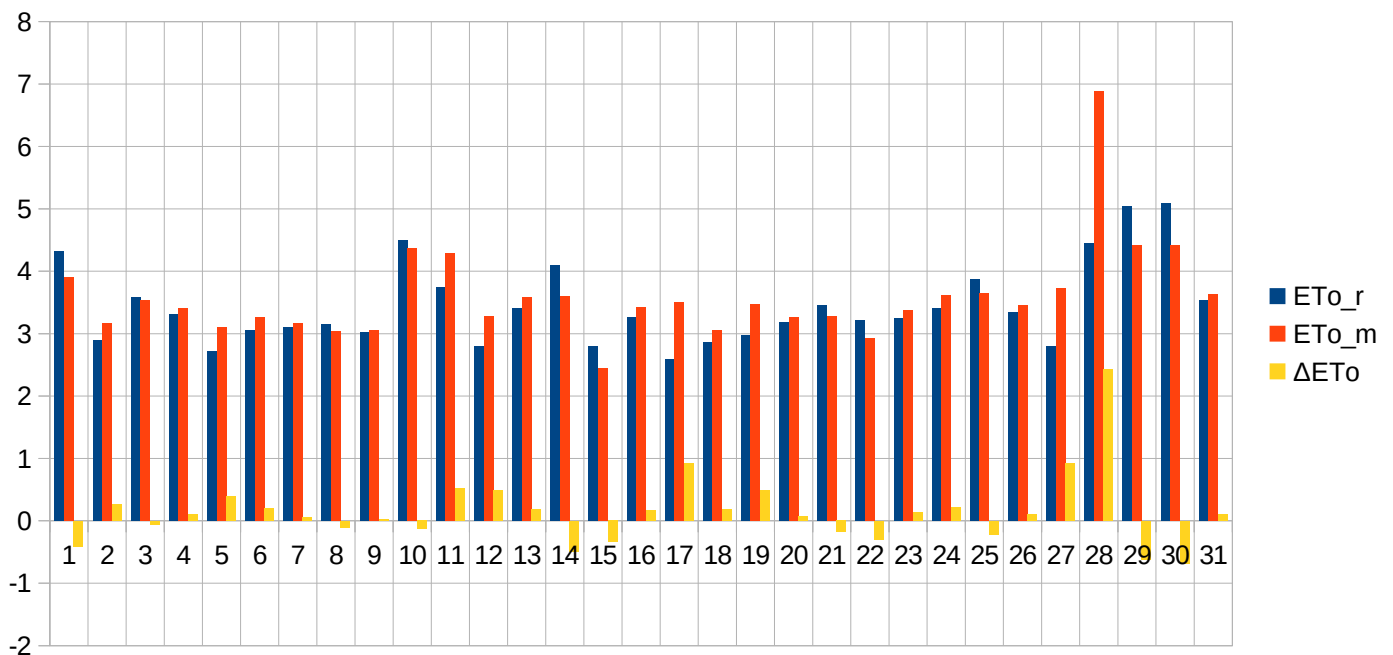


III.2.2. Okres wegetacyjny 2018 roku. Gdynia.

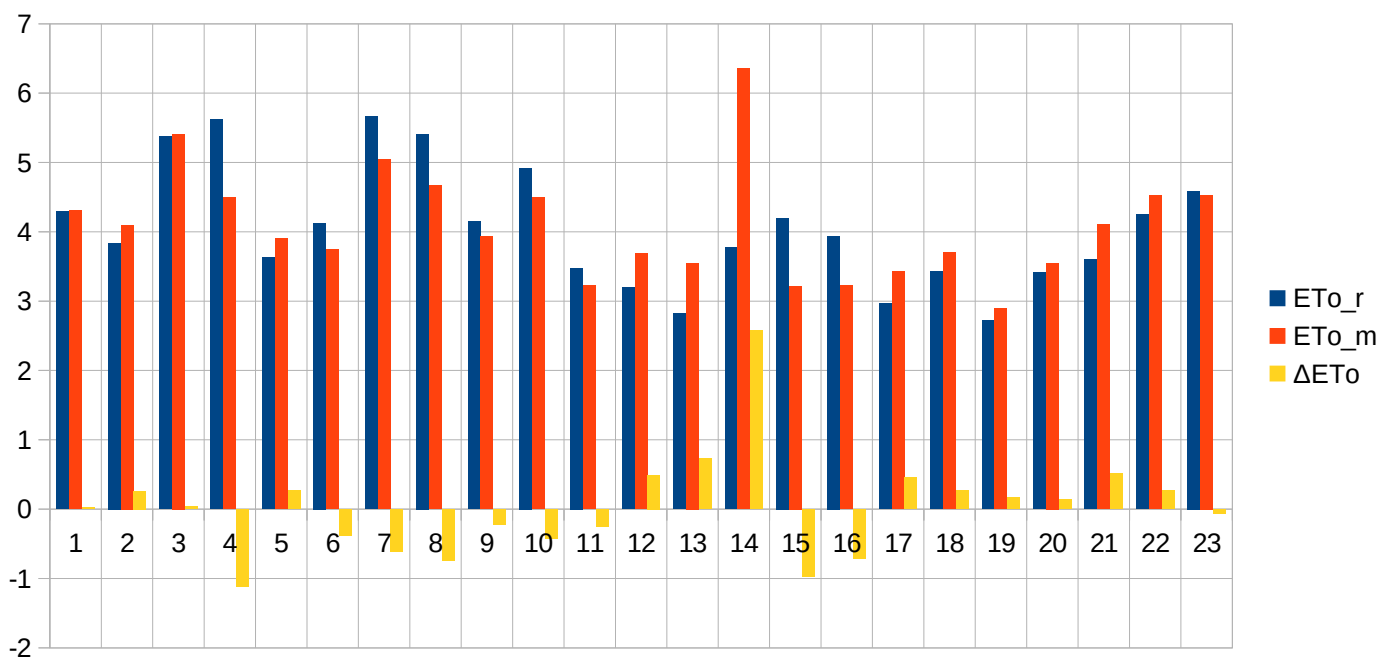
Data	T _{min_r}	T _{min_m}	T _{max_r}	T _{max_m}	RH _{min_r}	RH _{min_m}	Rh _{max_r}	RH _{max_m}	V _r	V _m	P _r	P _m	R _r	R _m	ET _{o_r}	ET _{o_m}	ΔET _o			
2018-04-01	1,4	2,26	2,7	3,63	87	91,74	100	97,5	4,14	2,44	98,86	98,75	29	18,51	0,6	0,63	0,03			
2018-04-02	0	-0,04	5,3	4,35	49	57,5	96	88,4	8,38	8,35	99,78	99,79	3,7	1,19	1,8	1,63	-0,17			
2018-04-03	-2,1	-0,39	10,2	7,86	72	70,73	97	93,34	3,5	4,29	100,17	100,21	6	0,54	1,58	1,45	-0,13			
2018-04-04	0	6,33	15,6	18,75	0	51,3	97	92,3	3,63	3,68	100	100,06	0,2	1,72	4,08	3,04	-1,04			
2018-04-05	4,3	7,49	15	15,15	64	59,71	93	94,68	3,17	1,26	99,91	99,94	3,2	6,37	2,2	1,91	-0,29			
2018-04-06	2,5	2,65	8,9	8,25	44	42,5	81	83,16	8,32	2,59	101,26	101,41	12	0,11	2,7	1,94	-0,76			
2018-04-07	-0,2	1,25	14,5	13,1	28	37,31	88	77,1	6,14	6,2	101,81	101,97	0	0	3,86	3,43	-0,43			
2018-04-08	9,9	7,55	21,2	19,5	34	42,5	76	79,4	5,63	6,96	101,02	101,13	0	0	4,91	4,44	-0,47			
2018-04-09	9,3	10,54	17,7	18,55	57	54	83	91,1	3,04	2,28	100,23	100,3	0	1,73	2,78	2,63	-0,15			
2018-04-10	4,7	6,65	8,2	12,34	80	70,9	91	86,6	3,63	1,98	100,83	100,74	0	0	1,27	1,77	0,5			
2018-04-11	3,7	4,74	6,6	8,55	78	62,41	93	85,88	5,2	0,94	101,23	101,14	0	0	1,19	1,42	0,23			
2018-04-12	5	6,06	10,5	13,13	71	65,08	88	88,5	5,33	1,48	101,08	101,05	0	0	1,83	1,93	0,1			
2018-04-13	6,5	7,95	14,9	18,19	63	56,2	93	86,6	6,46	1,43	100,97	100,97	0	0,49	2,55	2,6	0,05			
2018-04-14	10,1	11,56	19,5	17,97	44	49,3	90	96,1	5,13	4,83	101,23	101,24	0	0,28	3,86	3,13	-0,73			
2018-04-15	7,6	8,62	18,4	19,9	50	41,7	91	94,2	2,92	2,05	101,18	101,22	1,6	0	3,13	3,22	0,09			
2018-04-16	7,4	9,47	15,2	16,43	69	71,3	97	90,5	2,83	1,88	100,67	100,72	4	3,48	2,18	2,2	0,02			
2018-04-17	6,4	7,46	9,7	13,99	85	61,67	99	88,86	6,3	4,02	101,24	101,65	17	2,37	1,13	2,41	1,28			
2018-04-18	6,1	6,3	19,3	17,85	45	44	93	87,41	6,5	2,3	102,4	102,41	0	0	4,16	3,18	-0,98			
2018-04-19	5,9	8,35	14	15,75	68	53,17	98	88,32	4,17	3,04	102,49	102,49	0	0	2,19	2,76	0,57			
2018-04-20	3,9	7,92	23,6	22,28	40	44,2	100	79,59	3,67	3,67	101,83	101,92	0	0	4,54	4,42	-0,12			
2018-04-21	9	9,32	18,4	16,09	38	38,7	75	76	7,79	3,92	100,98	101,06	0	0	4,89	3,58	-1,31			
2018-04-22	4,2	6,35	15,1	14,99	37	38,8	93	77,2	5,29	2,18	101,11	101,17	0	0	3,62	3,01	-0,61			
2018-04-23	3,9	5,84	18,2	18,56	58	53	97	78,05	4,71	4,41	100,6	100,6	3	2,98	3,33	3,77	0,44			
2018-04-24	7,4	6,68	14,5	14,35	52	50,87	81	82,9	5,79	2,02	100,48	100,54	0	0,13	3,23	2,65	-0,58			
2018-04-25	6	5,88	15,4	12,92	67	75,77	95	93,5	5,7	3,3	99,86	99,93	12,2	9,95	2,62	2,03	-0,59			
2018-04-26	6,9	5,43	11,4	11,96	57	54,36	89	89,4	4,82	2,25	100,37	100,4	0,9	0,25	2,37	2,33	-0,04			
2018-04-27	4,8	5,25	12,8	12,66	49	45,82	87	88,1	3,92	1,48	100,95	100,97	2	0,33	2,84	2,45	-0,39			
2018-04-28	6,1	7,91	15,6	17,85	60	51,29	87	81,26	3,17	1,71	100,77	100,8	0	0	2,89	3,14	0,25			
2018-04-29	6,9	9,89	18,1	18	51	49,4	89	77,05	3,91	2,3	100,69	100,7	0	0	3,61	3,32	-0,29			
2018-04-30	6,9	9,12	19,9	24,75	62	51,21	92	84,6	4,17	3,4	100	99,93	3	1,19	3,57	4,77	1,2			
															Σ	97,8	51,62	85,51	81,19	-4,32



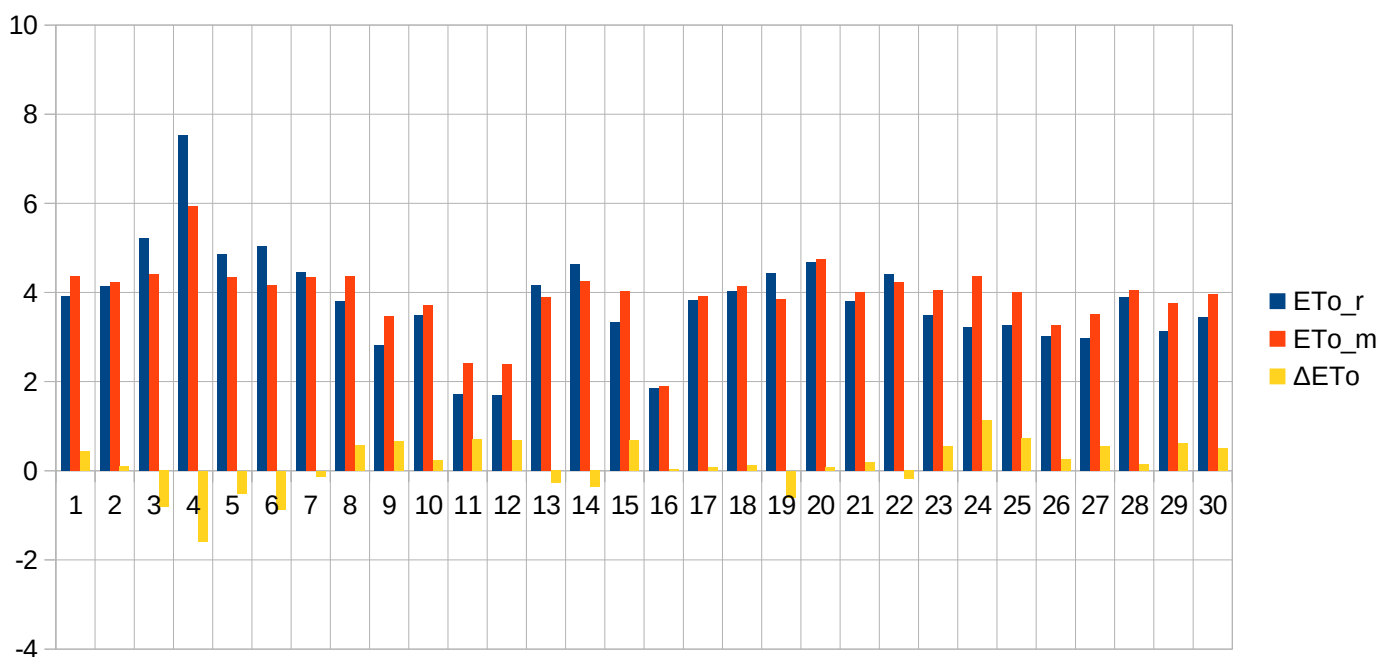
Data	T _{min_r}	T _{min_m}	T _{max_r}	T _{max_m}	RH _{min_r}	RH _{min_m}	Rh _{max_r}	RH _{max_m}	V _r	V _m	P _r	P _m	R _r	R _m	ET _{o_r}	ET _{o_m}	ΔET _o			
2018-05-01	7,9	8,66	19,7	19,09	38	46,8	99	91,15	4,63	4,24	100,34	100,39	0	0,76	4,32	3,91	-0,41			
2018-05-02	5,5	6,62	12,4	16,9	36	34,5	87	72,7	2,69	1,09	101,14	101,18	0	0,11	2,9	3,17	0,27			
2018-05-03	8,7	9,04	18,7	20,45	53	58,9	97	96	4,57	2,74	100,87	100,81	8,1	6,13	3,59	3,53	-0,06			
2018-05-04	4,5	5,77	12,2	13,15	38	43,01	81	68,11	4,54	3,95	101,79	101,74	0	0	3,31	3,41	0,1			
2018-05-05	4	5,03	13,3	15,11	60	41,6	86	77,59	2,58	1,52	102,23	102,2	0	0	2,71	3,11	0,4			
2018-05-06	4,6	6,65	15,3	18,59	43	46,4	92	81,17	1,46	0,73	102,26	102,27	0	0	3,06	3,26	0,2			
2018-05-07	6,3	8,39	17,3	19,58	60	46,4	93	84,28	1,6	0,31	101,97	101,98	0	0	3,11	3,17	0,06			
2018-05-08	6,5	9,3	16,6	18,66	54	48,9	91	76,5	1,88	0,45	101,47	101,46	0	0	3,15	3,04	-0,11			
2018-05-09	8,4	11,12	17,1	19,45	63	56,86	92	92,13	2,29	0,61	100,97	100,95	0	0	3,02	3,05	0,03			
2018-05-10	9,8	13,1	22,5	25,35	50	44,27	92	93,8	3,63	1,4	100,78	100,79	0	0,02	4,5	4,37	-0,13			
2018-05-11	13,7	14,51	22,8	24,74	63	49,7	98	94,02	3,33	2,06	101,22	101,2	15	10,53	3,75	4,28	0,53			
2018-05-12	11,8	13,75	17,5	21,89	60	53,6	100	96,21	2,17	0,48	101,47	101,46	1,4	4,4	2,79	3,28	0,49			
2018-05-13	9	11,91	18,8	21,22	55	44,1	96	76,22	1,83	0,86	101,35	101,38	0	0	3,41	3,59	0,18			
2018-05-14	10,3	11,82	20,1	20,35	45	39,2	93	83,02	3,21	1,16	101,36	101,4	0	0	4,09	3,6	-0,49			
2018-05-15	10	11,42	17,1	16,38	73	69,83	93	90,13	2,5	0,31	101,09	101,1	0	0,38	2,79	2,45	-0,34			
2018-05-16	10	11,19	18,8	19,61	64	51,7	99	95,4	2,75	1,43	100,75	100,72	0,6	0	3,26	3,43	0,17			
2018-05-17	10,8	11,3	17,7	18,45	79	60,3	97	92,6	4,87	5,67	100,46	100,42	0	1,62	2,58	3,5	0,92			
2018-05-18	10,1	9,77	15,1	15,42	63	61,6	93	93,7	7,21	9,53	100,95	100,87	2,1	0,03	2,86	3,05	0,19			
2018-05-19	5,8	8,39	13,6	14,98	57	52,7	93	85	5,17	6,03	101,7	101,69	0	0	2,98	3,47	0,49			
2018-05-20	4,6	7,53	15,2	15,95	58	42,8	95	83	3,17	1,32	102,25	102,26	0	0	3,19	3,26	0,07			
2018-05-21	6,4	9,05	16,8	18,25	59	50,24	84	76,5	2,58	0,51	102,05	102,09	0	0	3,46	3,28	-0,18			
2018-05-22	9,1	11,55	16,5	17,65	55	54,6	94	89,3	2,71	0,67	101,37	101,37	0,8	3,21	3,22	2,92	-0,3			
2018-05-23	7,6	10,55	16,8	18,35	58	52,7	99	94,4	2,29	1,72	101,87	101,82	0	0,23	3,25	3,38	0,13			
2018-05-24	8,9	11,05	17,4	18,86	57	49,2	95	81,1	3	1,68	102,23	102,19	0	0	3,4	3,62	0,22			
2018-05-25	7,4	10,11	18,9	19,93	55	55,7	96	90,6	3,21	1,07	101,88	101,89	0	0,32	3,87	3,65	-0,22			
2018-05-26	10,8	13,1	20,7	21,07	77	67,2	99	93,8	3,21	0,85	101,88	101,87	10	7,24	3,35	3,45	0,1			
2018-05-27	14,3	14,16	19,6	22,95	77	68,11	98	98,6	2,83	0,79	101,96	101,78	0	4,41	2,8	3,73	0,93			
2018-05-28	13,2	15,56	24,1	28,23	58	52,7	95	94,9	2,45	13,94	101,98	89,15	0	0,76	4,45	6,88	2,43			
2018-05-29	14	15,95	25,5	25,97	48	45,57	96	84,31	2,74	0,84	101,76	101,71	0	0	5,04	4,42	-0,62			
2018-05-30	17,1	16,19	25,5	26,49	44	45,39	87	81,4	3,06	0,59	101,44	101,44	0	0	5,09	4,41	-0,68			
2018-05-31	13,6	16,05	20,2	22,79	63	57,62	93	77,65	3,13	0,78	101,44	101,42	0	0	3,53	3,63	0,1			
															Σ	38	40,15	106,83	111,3	4,47



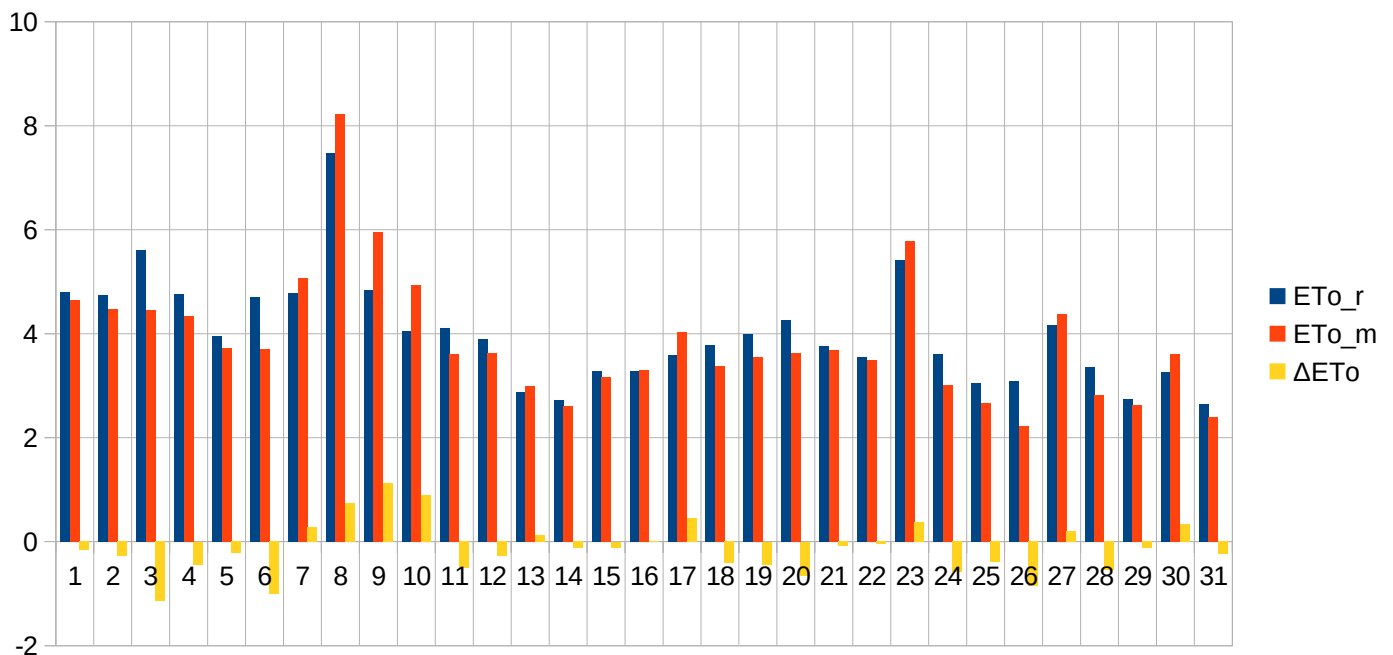
Data	T _{min_r}	T _{min_m}	T _{max_r}	T _{max_m}	RH _{min_r}	RH _{min_m}	Rh _{max_r}	RH _{max_m}	V _r	V _m	P _r	P _m	R _r	R _m	ET _{o_r}	ET _{o_m}	ΔET _o		
2018-06-01	12,7	15,38	23,1	25,66	60	58,01	95	90,8	2,5	0,6	101,21	101,19	0	3,05	4,29	4,31	0,02		
2018-06-02	12,8	14,08	21,7	23,75	63	55,45	97	92,8	2,04	0,78	100,92	100,85	0	0	3,84	4,1	0,26		
2018-06-03	11	13,44	24,7	28,65	42	30,17	95	73,51	2,83	0,85	100,92	100,9	0	0	5,37	5,41	0,04		
2018-06-04	16,6	15,44	24,9	24,47	50	51,17	85	93,81	6,38	2,07	100,38	100,41	0	0	5,62	4,5	-1,12		
2018-06-05	10,3	10,3	16,8	17,65	46	42,6	97	93	4,09	3,35	100,68	100,73	5	0,12	3,63	3,9	0,27		
2018-06-06	9	8,64	16,3	18,14	42	36,03	71	63,1	3,64	0,85	101,67	101,7	0	0	4,13	3,75	-0,38		
2018-06-07	12	9,83	21,5	21,35	34	38,88	73	70,78	4,58	2,73	101,58	101,69	0	0	5,66	5,04	-0,62		
2018-06-08	12,7	12,03	22,6	23,4	30	35,91	74	72,6	2,92	1,15	101,19	101,24	0	0	5,41	4,67	-0,74		
2018-06-09	12,6	12,93	21,7	22,04	59	43,9	87	82,38	2,33	0,58	101,12	101,12	0	0	4,15	3,93	-0,22		
2018-06-10	13,2	14,57	23,9	25,45	50	48,75	91	92,1	3	0,63	100,7	100,65	0	11,66	4,92	4,5	-0,42		
2018-06-12	12,9	12,78	18,4	18,36	63	62	89	93,6	4,95	2,39	100,15	100,19	0	0,43	3,48	3,23	-0,25		
2018-06-13	11,4	11,67	17,9	20,45	67	61,49	94	94,2	2,63	0,64	100,44	100,42	19	3,06	3,2	3,69	0,49		
2018-06-14	13,4	12,24	18,2	19,82	76	63,35	93	95,53	3,92	1,84	100,73	100,8	0,6	1,1	2,82	3,55	0,73		
2018-06-21	10,8	11,61	21,1	26,76	72	38,08	94	95,3	6	3,76	100,07	100,29	8	8,67	3,78	6,36	2,58		
2018-06-22	9,8	10,38	17,7	15,48	52	59,7	84	76,5	6,17	2,86	100,54	100,54	0,2	3,08	4,2	3,22	-0,98		
2018-06-23	11,1	10,75	18,3	16,35	50	55,29	91	92,11	4	2,82	100,8	100,81	3,6	3,65	3,94	3,23	-0,71		
2018-06-24	12,3	12,03	16,4	16,86	59	50,99	96	88,87	3,92	3,45	100,85	100,88	10,3	1,04	2,97	3,43	0,46		
2018-06-25	13,9	12,06	18	18,45	53	54,09	91	85,36	3,9	2,86	101,06	101,12	0,7	1,49	3,43	3,7	0,27		
2018-06-26	13,9	13,65	17,5	17,35	74	64,11	90	86,89	4,38	2,37	101,66	101,65	0,1	0,22	2,72	2,89	0,17		
2018-06-27	11,6	13,53	19,5	20,24	69	59,03	98	92,2	3,39	1,6	102,14	102,1	0	0	3,41	3,55	0,14		
2018-06-28	15,4	16,55	21	22,59	64	50,61	90	86,9	3,17	2,39	101,71	101,65	0	0	3,6	4,11	0,51		
2018-06-29	13,1	13,41	20,9	19,35	61	62,52	87	73	6,04	9,71	101,07	101,04	0	0	4,25	4,52	0,27		
2018-06-30	14	12,95	17	15,27	51	54,9	66	67,9	8,13	14,82	101,32	101,3	0	1,24	4,59	4,53	-0,06		
														Σ	47,5	38,81	93,41	94,12	0,71



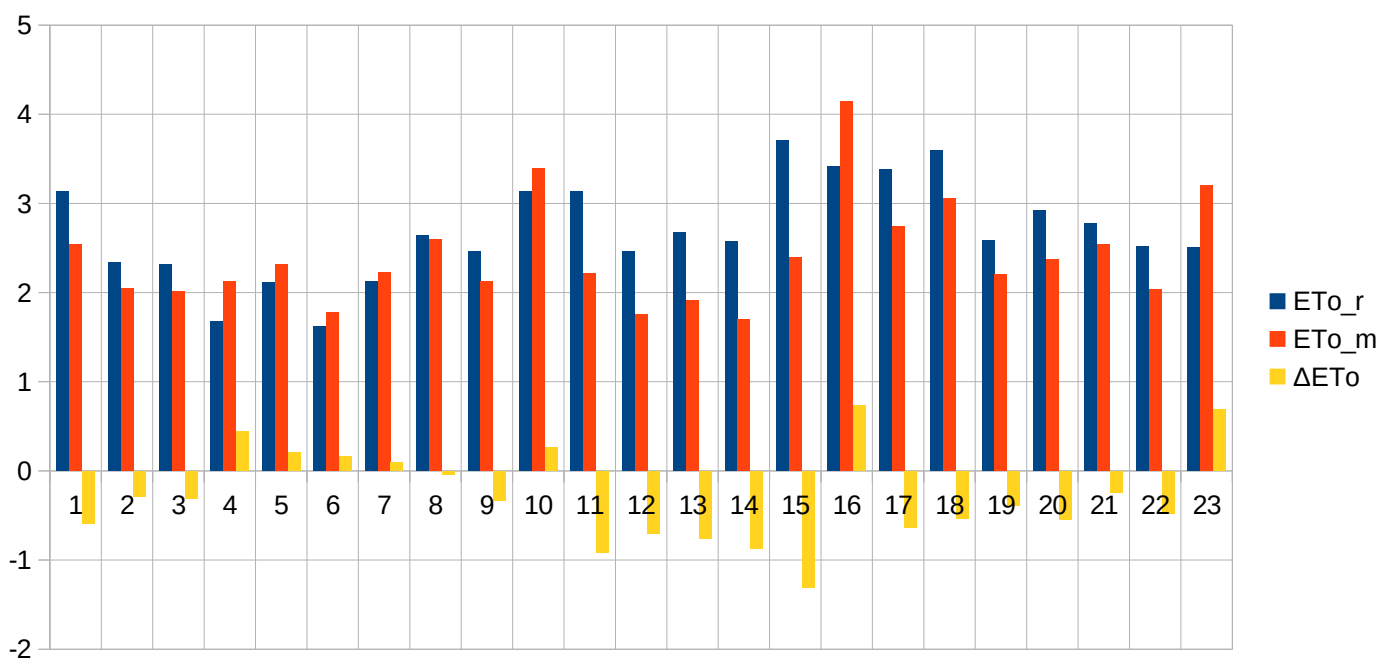
Data	T _{min_r}	T _{min_m}	T _{max_r}	T _{max_m}	RH _{min_r}	RH _{min_m}	Rh _{max_r}	RH _{max_m}	V _r	V _m	P _r	P _m	R _r	R _m	ET _{o_r}	ET _{o_m}	ΔET _o			
2018-07-01	13,9	11,69	16,8	16,95	55	49,72	76	85,1	7,42	11,57	101,36	101,34	0	5,02	3,92	4,36	0,44			
2018-07-02	13,6	13,25	18,4	18,28	56	54,1	82	87,5	7,74	10,83	100,9	100,9	0,2	1,94	4,13	4,23	0,1			
2018-07-03	13,6	13,35	20,8	19,85	33	48,09	83	79,65	4,75	4,22	100,77	100,77	1	0,01	5,22	4,41	-0,81			
2018-07-04	15	16,95	28,6	27,17	30	31,96	84	71,17	4,83	2,46	100,63	100,66	0	0	7,52	5,93	-1,59			
2018-07-05	14,4	14,31	23	23,3	55	57,49	87	87,75	5,54	2,33	100,4	100,4	0	0	4,86	4,35	-0,51			
2018-07-06	14,5	13,59	23,4	22,78	52	55,66	91	93,7	5,92	1,72	100,59	100,61	0	0	5,03	4,16	-0,87			
2018-07-07	14,6	13,88	22,8	22,78	58	56,7	90	89,75	4,64	2,81	100,87	101,01	0	0,22	4,46	4,33	-0,13			
2018-07-09	14,5	13,36	22	23,6	63	53	95	92,17	2,75	1,61	101,04	101,07	11,1	7,17	3,8	4,37	0,57			
2018-07-10	16,5	14,69	20	21,65	72	65,6	94	95,3	3,33	0,99	101,17	101,12	0	4,1	2,81	3,47	0,66			
2018-07-11	15,3	15,27	21,8	22,94	67	59,6	98	93,4	2,92	0,86	100,98	100,94	0,7	0	3,49	3,72	0,23			
2018-07-12	17,1	15,89	18,6	19,11	89	87,4	98	96,3	2,42	0,37	100,68	100,64	22	17,92	1,71	2,41	0,7			
2018-07-13	16,7	15,87	18,4	19,45	88	83,6	98	94,7	4,68	4,66	100,71	100,7	14	5,99	1,7	2,39	0,69			
2018-07-14	16,1	16,54	23	22,15	60	59,82	97	94,8	6,08	5,25	100,84	100,85	4,8	2,27	4,17	3,9	-0,27			
2018-07-15	15,8	16,65	24,4	23,55	59	59,51	96	90	6,08	4,25	100,9	100,9	0	0	4,63	4,26	-0,37			
2018-07-16	15,8	16,55	22,3	23,48	74	62,55	97	94,5	5,36	4,32	100,82	100,72	0	2,18	3,34	4,03	0,69			
2018-07-17	19,2	18,12	20,8	20,02	87	88,24	98	96,1	3,75	4,2	100,31	100,35	13	13,55	1,85	1,89	0,04			
2018-07-18	19	18,95	25,1	24,95	68	64,45	99	96,22	5,29	3,8	100,35	100,34	155	3,02	3,83	3,91	0,08			
2018-07-19	18,7	18,28	25,1	24,95	67	62,6	96	92,96	5,79	3,94	100,55	100,56	0	3,21	4,03	4,15	0,12			
2018-07-20	16,4	16,85	24,8	23,35	63	64,82	96	86,79	6,45	2,98	100,58	100,59	0	1,49	4,44	3,84	-0,6			
2018-07-21	14,7	15,73	24,4	26,97	55	47	89	79,34	3,63	1,28	100,55	100,57	0	0	4,67	4,74	0,07			
2018-07-22	16,3	16,25	22,4	23,87	63	59,08	86	80,76	3,58	1,89	100,68	100,68	0	0	3,81	4	0,19			
2018-07-23	15,8	16,25	24,4	26,55	51	43,34	93	82,56	2,79	0,63	100,86	100,86	0	0	4,41	4,22	-0,19			
2018-07-24	16,2	16,41	23,1	24,83	69	56,2	98	92,3	3,54	1,69	100,91	100,91	0	0	3,5	4,04	0,54			
2018-07-25	17,3	17,13	24	25,79	79	57,5	98	92,01	3,78	2,62	101,01	100,99	0	0	3,23	4,36	1,13			
2018-07-26	18,7	18,88	24,5	25,85	76	60,84	98	93,84	4	2,54	101,22	101,21	0	0	3,26	4	0,74			
2018-07-27	19,2	20,21	24,1	25,27	77	62,12	98	94,71	2,89	1,1	101,28	101,22	0	0,01	3,01	3,27	0,26			
2018-07-28	19,7	20,27	24,7	26,63	81	67,1	98	91,28	2	0,79	100,67	100,64	1	2,27	2,97	3,52	0,55			
2018-07-29	19,4	20,37	26,8	28,15	69	65,53	97	92,34	2,92	1,58	100,84	100,82	6,5	4,43	3,89	4,04	0,15			
2018-07-30	18	19,23	24,4	26,73	79	59,92	100	91,79	2,46	0,97	101,31	101,29	0	0,01	3,13	3,75	0,62			
2018-07-31	19,3	20,23	26,2	28,66	77	58,03	97	95	2,17	0,68	101,39	101,38	0	3,45	3,45	3,95	0,5			
															Σ	229,3	78,26	114,27	118	3,73



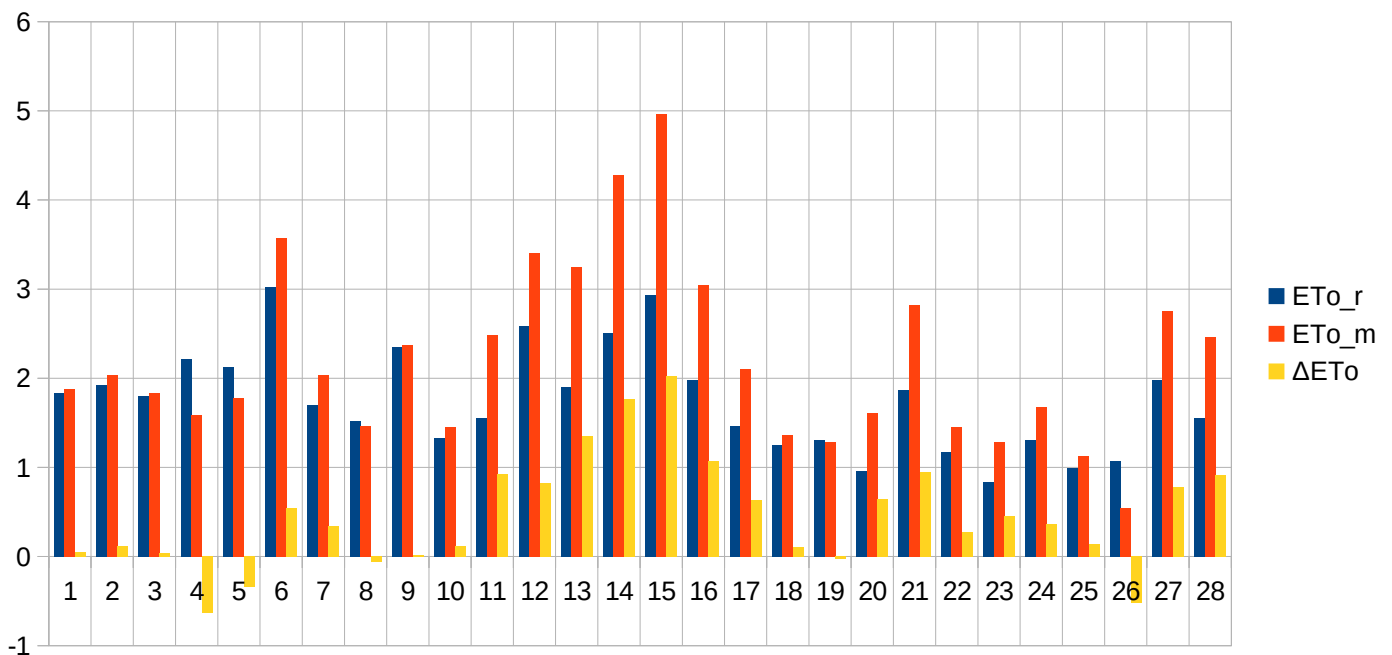
Data	T _{min_r}	T _{min_m}	T _{max_r}	T _{max_m}	RH _{min_r}	RH _{min_m}	Rh _{max_r}	RH _{max_m}	V _r	V _m	P _r	P _m	R _r	R _m	ET _{o_r}	ET _{o_m}	ΔET _o	
2018-08-01	21,8	21,67	30,6	31,35	57	48,57	98	82,58	2,75	1,04	101,46	101,48	0	3,87	4,8	4,64	-0,16	
2018-08-02	19,7	21,55	29,1	30,75	56	49,28	91	83,96	2,58	1,05	101,59	101,6	0	4,82	4,75	4,48	-0,27	
2018-08-03	17,2	19,15	27,7	26,8	42	46,43	89	78,9	3,96	2,1	101,52	101,52	0	0,16	5,6	4,46	-1,14	
2018-08-04	17,3	18,08	27	27,93	56	52,6	87	81,7	3,54	1,39	101,09	101,11	1	14,69	4,77	4,33	-0,44	
2018-08-05	17,5	18,66	23,1	23,95	56	55,18	95	80,81	5,42	2,45	100,9	100,89	30	0	3,95	3,73	-0,22	
2018-08-06	15,6	16,98	22,8	22,95	46	50,32	85	80,82	5,08	2,2	101,03	101,07	0	0,01	4,7	3,7	-1	
2018-08-07	17,3	16,69	26,1	29,04	49	37,14	86	82,78	3,58	1,82	101,09	101,12	0	0	4,78	5,07	0,29	
2018-08-08	18,2	19,74	30,3	29,71	38	38,8	71	62,67	5,75	7,67	100,95	100,99	0	0	7,47	8,22	0,75	
2018-08-09	20,7	21,88	27,6	30,55	54	47,37	77	83,89	3,71	4,75	101	101,02	0	3,01	4,84	5,96	1,12	
2018-08-10	17,1	17,68	25,3	26,41	66	58,12	86	82,59	4,26	5,54	101,13	101,19	21	4,62	4,05	4,94	0,89	
2018-08-11	14,3	15,45	23	21,49	48	51,77	90	79,49	3,29	2,69	101,32	101,36	3	5,4	4,11	3,61	-0,5	
2018-08-12	13,9	14,72	20,5	20,66	56	46,68	80	71,86	4,96	2,4	100,93	100,96	0,7	0,43	3,9	3,62	-0,28	
2018-08-13	15,3	15,83	21,2	23,89	68	52,56	93	79	2,46	0,32	100,57	100,56	0,3	0	2,87	3	0,13	
2018-08-14	18,3	16,93	22,4	21,65	70	74,87	95	89,66	3,13	1,88	100,3	100,29	11,7	10,37	2,73	2,6	-0,13	
2018-08-15	15,7	16,38	22	22,44	67	62,16	93	92,99	5,29	2,86	100,8	100,8	0,3	0,65	3,28	3,17	-0,11	
2018-08-16	14,2	15,16	22,6	24,73	67	47,5	97	90,9	4,04	0,7	101,37	101,39	0	0	3,28	3,29	0,01	
2018-08-17	16	17,18	23,5	25,91	64	45,3	88	74,12	3,83	1,84	101,2	101,23	0	0	3,58	4,03	0,45	
2018-08-18	15,9	15,97	23,2	23,06	52	51,7	94	87,45	3,79	2,01	101,35	101,36	4	4,47	3,78	3,37	-0,41	
2018-08-19	15,6	15,78	23,9	24,55	50	49,5	87	86,44	3,25	1,65	101,36	101,4	0	0	3,99	3,55	-0,44	
2018-08-20	17,5	17,18	25,2	24,06	54	56,54	92	82,7	5	2,79	100,73	100,79	0,1	0,22	4,27	3,62	-0,65	
2018-08-21	14	13,95	20,9	20,45	50	50,4	85	74,5	4,22	3,46	101,22	101,33	0	0	3,76	3,68	-0,08	
2018-08-22	9,9	12,45	20,7	22,25	58	46,41	90	80,4	4,4	1,87	101,59	101,65	0	0	3,54	3,49	-0,05	
2018-08-23	16,3	16,5	27,1	26,7	43	42,25	70	69,92	4,13	5,18	100,83	100,87	0	0	5,42	5,79	0,37	
2018-08-24	15,1	15,95	22,7	23,35	53	70,4	93	86,33	3,83	2,55	100,13	100,17	0	5,88	3,6	3,01	-0,59	
2018-08-25	14,4	14,65	20,4	19,31	51	51,9	91	80,2	2,79	1,79	100,36	100,41	1,2	1,65	3,05	2,66	-0,39	
2018-08-26	11,5	12,21	18,8	17,35	56	65,81	91	84,83	4,25	1,66	100,7	100,71	6,4	4,71	3,09	2,23	-0,86	
2018-08-27	11,8	11,42	20,7	20,43	41	43,7	80	80,4	4,42	5,86	100,9	100,97	0	0,03	4,17	4,38	0,21	
2018-08-28	14,1	14,26	20,9	20,14	55	56,9	85	84,6	3,83	2,41	101,1	101,12	0,3	0,37	3,35	2,81	-0,54	
2018-08-29	12,6	13,15	19,9	21,84	62	50,92	91	89,1	2,96	0,85	101,42	101,42	0	0	2,75	2,62	-0,13	
2018-08-30	14,2	14,79	22,5	23,15	61	48,33	90	85,12	3,87	3	100,92	100,96	0	4,21	3,27	3,61	0,34	
2018-08-31	16,2	15,22	20,1	20,25	65	58,89	92	94,93	4,61	2,03	101	101,01	0,8	4,86	2,64	2,4	-0,24	
													Σ	80,8	74,43	124,14	120,07	-4,07



Data	T _{min_r}	T _{min_m}	T _{max_r}	T _{max_m}	RH _{min_r}	RH _{min_m}	Rh _{max_r}	RH _{max_m}	V _r	V _m	P _r	P _m	R _r	R _m	ET _{o_r}	ET _{o_m}	ΔET _o			
2018-09-01	14	14,05	21,6	21,34	57	56,07	93	92,11	3,75	1,41	101,8	101,83	0	0,54	3,13	2,54	-0,59			
2018-09-02	13	14,42	20,4	20,85	73	62,2	94	89	2,63	0,4	102,21	102,21	0	0	2,34	2,05	-0,29			
2018-09-03	17,6	14,95	20,7	20,25	69	66,7	92	93,9	3,76	0,94	101,71	101,74	0	0	2,32	2,01	-0,31			
2018-09-04	16	15,61	20	20,66	84	67,3	99	93,4	2,64	1,58	101,19	101,19	0	0,32	1,68	2,12	0,44			
2018-09-05	18,4	15,95	20,8	20,67	75	69	87	96,1	3,36	3,8	101,29	101,28	0	0,22	2,11	2,32	0,21			
2018-09-06	16,9	15,75	19,6	20,11	82	74,8	95	96	2,67	1,07	101,03	100,99	0	2,81	1,62	1,78	0,16			
2018-09-07	15,4	15,29	21,3	23,2	70	57,4	99	93,1	2,17	0,62	100,73	100,72	0	0,32	2,13	2,23	0,1			
2018-09-08	11,3	13,25	19,7	19,85	55	44,3	95	90,1	2,88	1,98	101,27	101,3	24,8	0,76	2,64	2,6	-0,04			
2018-09-09	10,2	12,31	19,5	19,16	60	53,1	92	81,4	2,46	1,1	101,75	101,77	0	0	2,46	2,13	-0,33			
2018-09-10	13,6	12,92	22,2	23,25	52	45,6	88	80,5	3,21	2,66	101,55	101,6	0	0	3,13	3,39	0,26			
2018-09-11	14,9	15,39	20,6	18,98	49	62,5	87	89,3	3,96	3,08	101,23	101,24	0,2	11,56	3,14	2,22	-0,92			
2018-09-12	14	14,25	20,9	18,96	74	79,6	90	87,1	5,62	2,11	101,1	101,15	0,2	1,08	2,46	1,76	-0,7			
2018-09-13	10,8	12,58	18,6	19,09	49	49,2	87	79,31	2,91	0,83	101,48	101,5	0	0	2,67	1,91	-0,76			
2018-09-14	8,8	10,75	19,9	19,59	41	47,2	92	84,72	1,83	0,33	101,44	101,46	0	0	2,57	1,7	-0,87			
2018-09-15	13,7	14,17	20,2	19,87	41	44,8	82	73,8	4,88	1,65	101,16	101,26	0,1	0,14	3,71	2,4	-1,31			
2018-09-18	18,4	15,25	20,6	25,57	53	39,2	62	68,2	4	3,35	100,95	101,23	0	0	3,42	4,15	0,73			
2018-09-19	16,1	17,05	25,1	24,44	50	51,8	94	83,3	3,9	2,2	101,02	101,11	0	0	3,38	2,74	-0,64			
2018-09-20	21,2	17,82	24,5	26,85	55	46,7	72	77,3	4,25	2,01	101,04	101,15	0	0,06	3,59	3,06	-0,53			
2018-09-26	10,1	7,99	13,9	13,88	52	62,5	91	80,4	8,29	5,67	101,58	102,14	3	4,1	2,59	2,2	-0,39			
2018-09-27	13,2	14,12	18,1	18,35	52	59,3	94	85,5	7,5	4,32	101,26	101,41	1,7	0,46	2,92	2,37	-0,55			
2018-09-28	5,9	9,29	17,9	16,65	53	53,3	93	78	6,21	4,3	101,03	101,07	2,2	0,9	2,78	2,54	-0,24			
2018-09-29	4,2	8,51	13,9	13,45	40	40,25	79	66,32	4	2,2	101,91	101,95	2	0,11	2,52	2,04	-0,48			
2018-09-30	7,7	8,51	15,3	14,65	39	43,8	72	64,6	3,16	5,68	101,22	101,28	0	0	2,51	3,2	0,69			
															Σ	34,2	23,38	61,82	55,46	-6,36

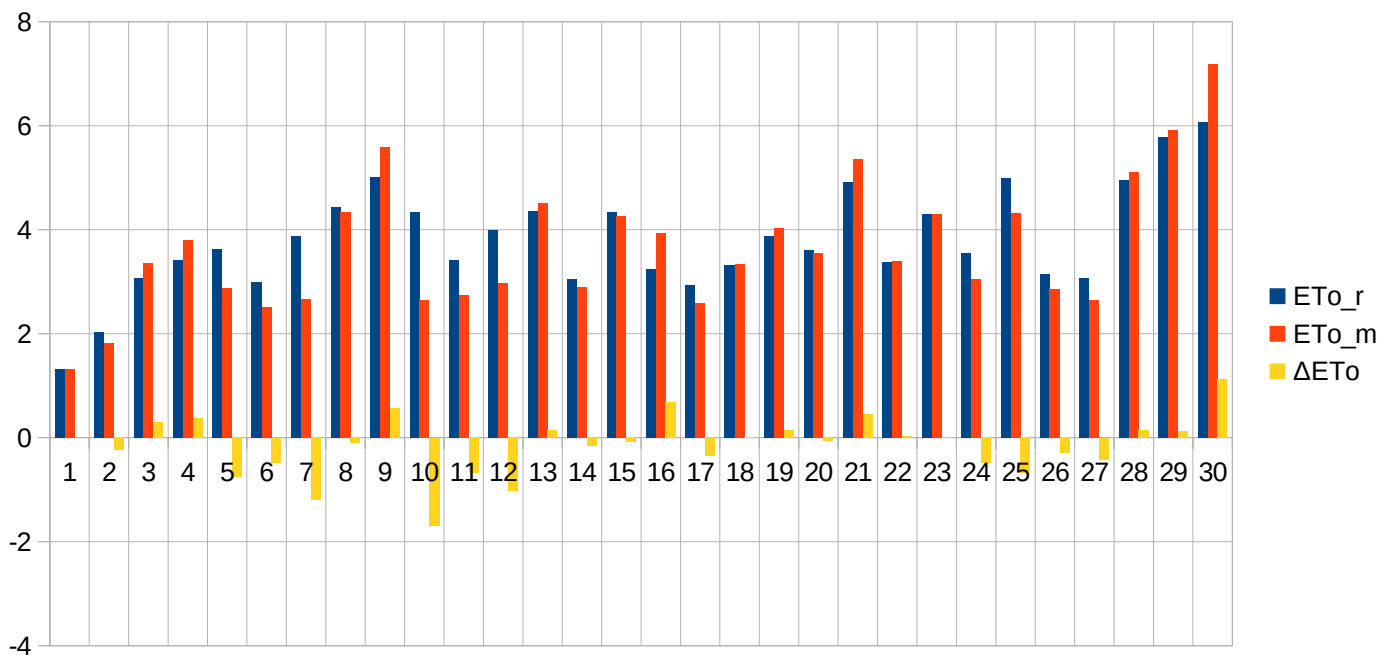


Data	T _{min_r}	T _{min_m}	T _{max_r}	T _{max_m}	RH _{min_r}	RH _{min_m}	Rh _{max_r}	RH _{max_m}	V _r	V _m	P _r	P _m	R _r	R _m	ET _{o_r}	ET _{o_m}	ΔET _o			
2018-10-01	5,5	7,98	14	16,37	51	39	84	85,9	2,78	1,88	100,46	100,44	0	0,76	1,83	1,88	0,05			
2018-10-02	7,6	8,36	10,5	12,03	57	55,7	85	85	5,89	5,52	99,91	100,21	0,6	1,62	1,92	2,04	0,12			
2018-10-03	7,8	8,17	10,4	9,85	64	68,2	87	75,2	7,71	6,44	100,46	99,98	4	4,54	1,8	1,84	0,04			
2018-10-04	4,5	7,83	13,3	13,28	47	52,4	87	83,81	4,74	2,38	101,48	101,53	0	0	2,22	1,59	-0,63			
2018-10-05	12,1	10,42	18,1	16,65	60	68,2	87	90,55	4,13	4,77	101,5	101,61	0	0,11	2,12	1,78	-0,34			
2018-10-06	10	10,76	20,5	18,88	45	44,7	77	73,8	4,13	6,3	100,66	100,76	0	0	3,02	3,57	0,55			
2018-10-07	6,8	8,65	15,8	17,02	70	68,58	92	81,82	5,81	5,55	100,87	100,7	4,8	0,67	1,7	2,04	0,34			
2018-10-08	4,3	7,16	13,4	13,22	56	56,91	95	86,3	3,25	2,57	101,78	101,83	0,2	0	1,52	1,46	-0,06			
2018-10-09	7,4	8,89	17,5	16,46	45	49,33	79	70,32	3,39	3,62	101,7	101,79	0	0	2,35	2,37	0,02			
2018-10-10	8,1	11,04	19,2	19,74	63	45,95	97	74,4	1,86	1,18	102,03	102,09	0	0	1,33	1,45	0,12			
2018-10-11	9,1	11,51	17,1	18,68	67	47,7	99	78,22	4,67	3,66	102,06	102,1	0	0	1,56	2,48	0,92			
2018-10-12	11,4	12,47	19,5	20,31	58	50,2	81	71,94	5,3	5,99	102,04	102,1	0	0	2,59	3,41	0,82			
2018-10-13	11,1	13,2	21,3	20,83	52	46,51	92	72,78	2,58	4,85	102,12	102,17	0	0	1,9	3,25	1,35			
2018-10-14	11,7	12,83	20,6	20,35	53	46,33	88	69,66	4,58	8,56	101,66	101,75	0	0	2,51	4,28	1,77			
2018-10-15	10,3	12,76	21,5	20,98	41	36	87	65,1	4,25	8,14	101,37	101,48	0	0	2,94	4,96	2,02			
2018-10-16	8,8	12,78	20,8	20,19	43	39,9	85	60,6	2,38	3,59	101,44	101,51	0	0	1,98	3,05	1,07			
2018-10-17	6,6	12,5	19,7	20,04	58	46,15	88	64,4	2,25	2,32	101,54	101,58	0	0	1,47	2,1	0,63			
2018-10-18	7,2	12,15	18	18,95	56	47,1	89	89,5	1,89	1,63	101,36	101,43	0	0	1,25	1,36	0,11			
2018-10-22	7,6	8,37	11,3	10,94	67	67,7	93	82,4	5,7	3,71	101,53	101,69	0,8	0,76	1,31	1,28	-0,03			
2018-10-23	6,7	7,44	8,6	10,75	84	67,7	87	82,36	7,6	6,87	99,55	99,68	4	3,78	0,96	1,61	0,65			
2018-10-24	3,4	5,78	8	7,85	55	54,9	78	67,7	7,7	17,71	100,3	99,71	0	0,97	1,87	2,82	0,95			
2018-10-25	4,3	5,91	10,6	11,22	69	64,8	94	87,06	6,35	5,86	99,55	99,58	11,6	2,05	1,17	1,45	0,28			
2018-10-26	4,6	7,04	9,8	10,38	72	62,8	95	85,45	3,79	4,03	99,75	99,79	15,2	0,76	0,83	1,29	0,46			
2018-10-27	5,1	6,71	9,8	9,53	61	59,1	91	81,36	5,22	5,98	99,42	99,48	3	0,85	1,31	1,68	0,37			
2018-10-28	3,2	5,85	7,6	7,7	68	68	93	74,4	5,42	3,17	101,13	101,14	5,8	0,5	0,99	1,13	0,14			
2018-10-29	4,2	4,25	6,5	6,52	71	71,3	93	93,3	8,67	1,65	100,98	100,97	2,2	1,77	1,07	0,55	-0,52			
2018-10-30	7,2	9,21	16,7	17,78	59	56,6	96	96,04	7,46	12,91	99,86	99,94	5,1	0,32	1,98	2,76	0,78			
2018-10-31	5,3	8,21	12,9	12,51	53	53,65	84	70	4,04	6,98	101,22	101,34	0	0	1,55	2,46	0,91			
													Σ	57,3	19,46	49,05	61,94	12,89		

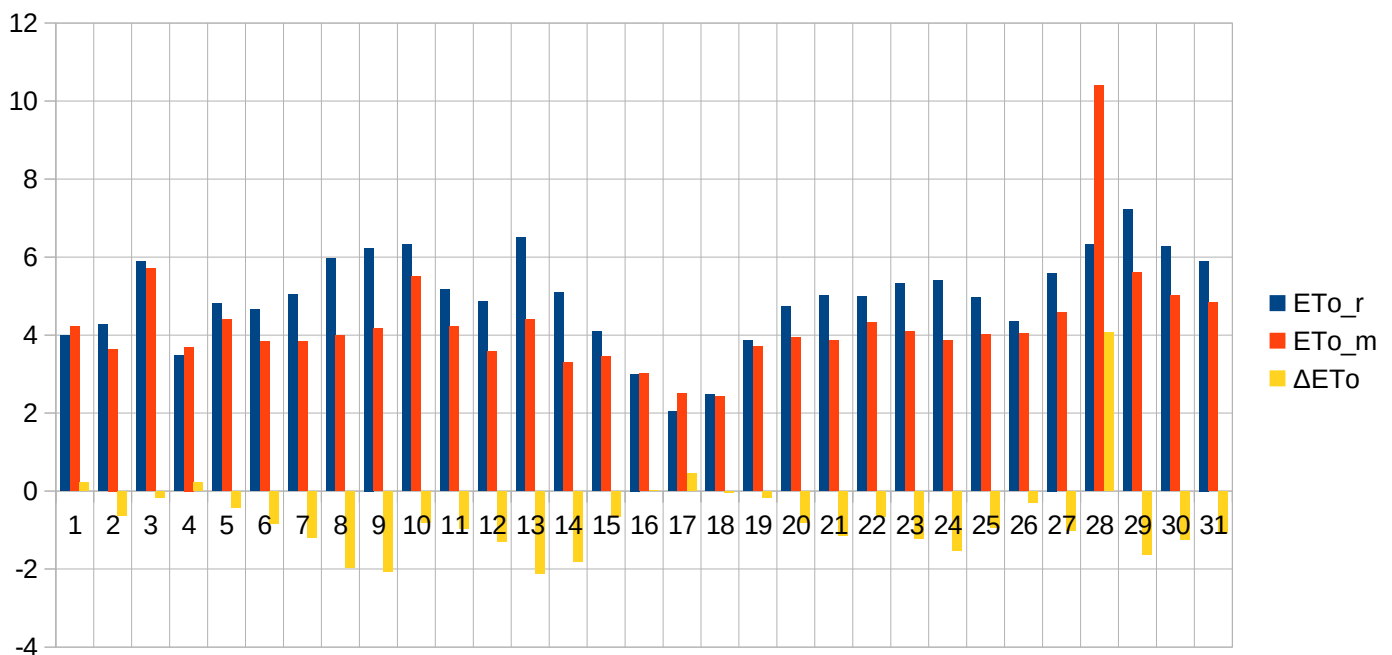


III.2.3. Okres wegetacyjny 2018 roku. Łódź.

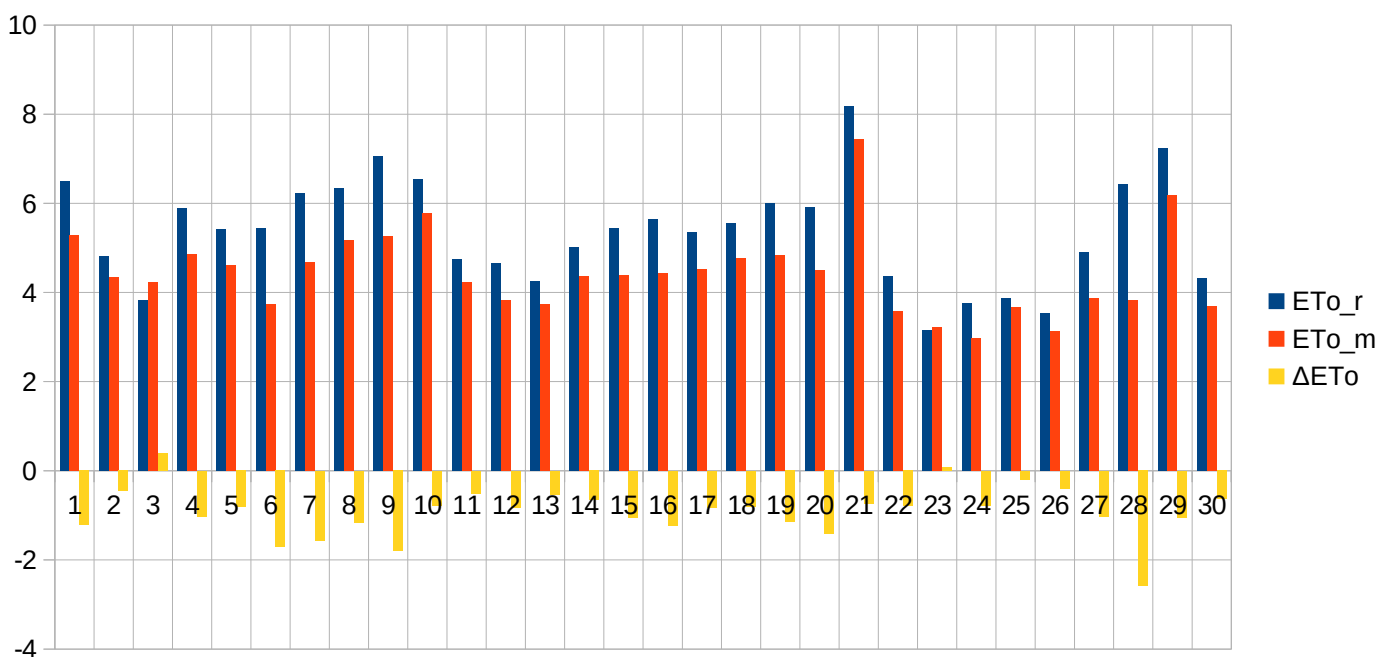
Data	T _{min_r}	T _{min_m}	T _{max_r}	T _{max_m}	RH _{min_r}	RH _{min_m}	Rh _{max_r}	RH _{max_m}	V _r	V _m	P _r	P _m	R _r	R _m	ET _{o_r}	ET _{o_m}	ΔET _o			
2018-04-01	1,5	1,28	9	8,1	78	76,43	98	96,61	8,29	4,34	97,32	97,76	3,4	0,97	1,32	1,32	0			
2018-04-02	-0,7	0,77	7,8	7,25	53	57	93	83,39	7,17	4,02	98,54	99,04	0,4	1,62	2,04	1,81	-0,23			
2018-04-03	-2,5	1,28	17,5	15,86	39	48,8	92	85,3	2,54	6,27	98,76	99,29	0	0	3,06	3,35	0,29			
2018-04-04	2,5	7,55	20,4	19,75	39	45,6	93	89,4	2,46	5,07	98,6	99,08	0	0	3,41	3,79	0,38			
2018-04-05	6,5	8,07	19	17,65	40	48,61	88	93,08	3,75	3,03	98,61	99,06	0	0,23	3,63	2,88	-0,75			
2018-04-06	0	4,21	10,9	9,67	29	38,7	85	82,56	4,38	4,2	99,95	100,49	0	0,11	2,99	2,51	-0,48			
2018-04-07	-2,4	1,95	17,2	15,4	22	39,51	90	76,4	3,33	1,52	100,25	100,81	0	0	3,87	2,67	-1,2			
2018-04-08	6,2	7,65	22,4	21,2	38	44,5	82	92,5	3,71	6,03	99,49	99,95	0	0	4,43	4,33	-0,1			
2018-04-09	9,6	11,64	24,6	23,67	29	40	79	76,54	3,42	6,99	98,71	99,16	0	0	5,02	5,59	0,57			
2018-04-10	7,5	12,15	24,1	21,65	35	47,29	87	86,6	2,63	0,61	98,76	99,18	13	14,83	4,33	2,64	-1,69			
2018-04-11	9,9	10,18	19,4	20,25	53	46,31	94	92,41	5	0,95	98,96	99,36	2	1,99	3,42	2,74	-0,68			
2018-04-12	9,1	10,32	21,5	22,33	51	51,48	93	97,3	5,29	0,89	99	99,4	0	0	4	2,98	-1,02			
2018-04-13	11,4	12,35	23,4	24,18	44	40,9	100	92	4,75	3,87	99,02	99,46	28	0,02	4,36	4,51	0,15			
2018-04-14	7,1	10,36	18,1	17,67	47	52,4	100	80,7	2,46	2,31	99,85	100,27	0	0	3,05	2,89	-0,16			
2018-04-15	6,7	10,02	22,7	22,3	37	38,9	91	76	2,96	2,91	99,61	100,04	0	0	4,34	4,26	-0,08			
2018-04-16	13,3	15,46	22	22,85	52	49,1	93	85,97	2,04	3,8	99,11	99,49	1,1	3,62	3,25	3,94	0,69			
2018-04-17	8,4	10,57	17,2	16,69	57	61,26	97	96,96	4,08	3,89	100	100,43	0,1	1,68	2,93	2,58	-0,35			
2018-04-18	3,9	7,62	18,3	17,55	41	42,6	99	91,97	2	2,96	100,9	101,34	0	0	3,32	3,33	0,01			
2018-04-19	5,8	9,42	20,6	20,45	47	51,47	96	87,62	3,33	5,25	100,75	101,2	0	0	3,87	4,02	0,15			
2018-04-20	3,5	7,19	21,8	20,42	29	33,7	96	74,5	1,17	1,32	100,44	100,92	0	0	3,61	3,55	-0,06			
2018-04-21	9,6	11,34	22,7	23,35	37	42,9	72	69,8	3,63	5,29	99,54	99,99	0	0	4,91	5,36	0,45			
2018-04-22	2,2	6,79	17,7	17,45	41	39,5	94	70	1,75	1,9	99,56	100,02	0	0	3,37	3,4	0,03			
2018-04-23	3,7	8,44	22,4	21,85	39	41,6	96	89,15	2,67	3,09	99,12	99,53	0,2	0,64	4,3	4,29	-0,01			
2018-04-24	9	9,11	18,2	18,09	45	49,47	95	96,31	3,67	1,92	99,24	99,67	0,2	0,23	3,54	3,05	-0,49			
2018-04-25	8,2	10,42	22	21,86	35	47,4	95	89,8	4,83	4,21	98,72	99,15	0,1	0,13	5	4,32	-0,68			
2018-04-26	6,1	6,29	15	14,96	46	47,6	92	89,1	3,46	1,88	99,11	99,56	2,2	2,33	3,14	2,85	-0,29			
2018-04-27	1,9	4,74	14,4	13,96	42	44,7	97	94,3	2,17	1,15	99,57	100,03	0	0	3,06	2,64	-0,42			
2018-04-28	6,6	8,15	23,1	22,55	34	45,49	83	80,76	3	5,33	99,18	99,64	0	1,08	4,96	5,1	0,14			
2018-04-29	10,2	13,48	27,8	26,7	33	39,15	81	87,41	2,92	4,79	98,94	99,34	0	3,12	5,78	5,91	0,13			
2018-04-30	14,6	15,32	28,3	27,49	29	38,9	89	82,2	3,38	8,39	98,42	98,79	0,2	2,81	6,07	7,19	1,12			
															Σ	50,9	35,41	114,38	109,8	-4,58



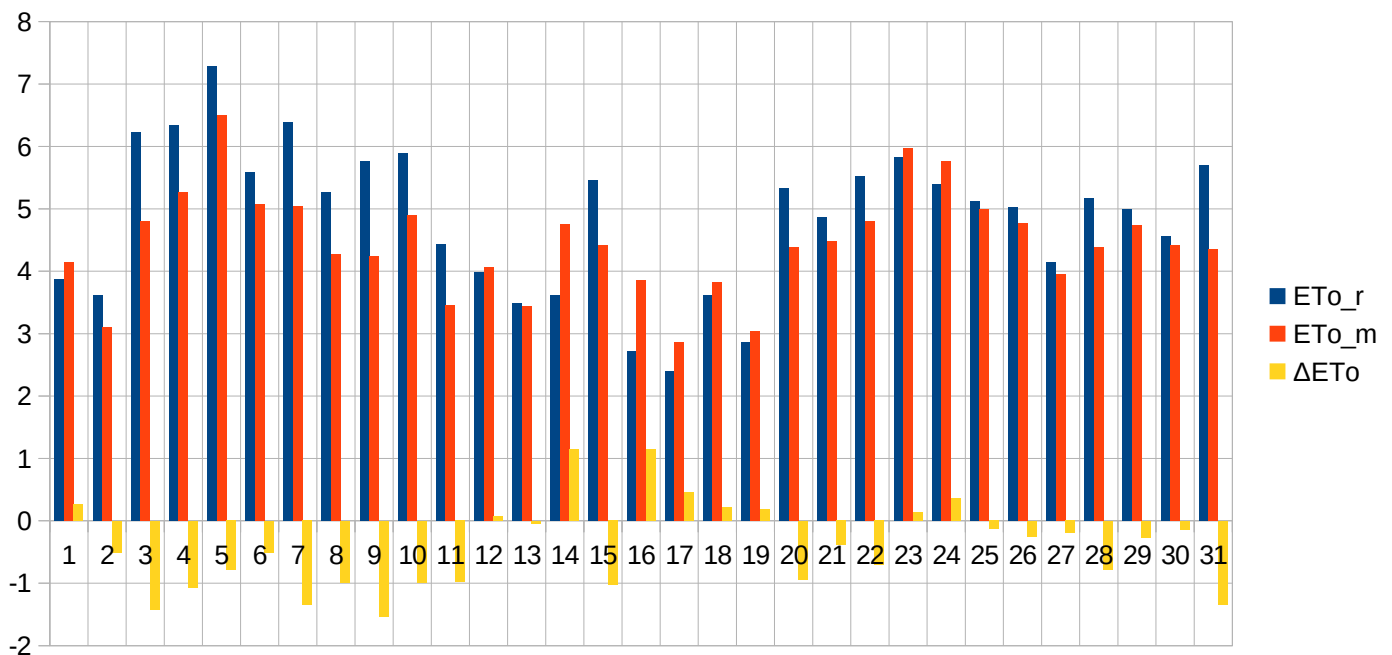
Data	T _{min_r}	T _{min_m}	T _{max_r}	T _{max_m}	RH _{min_r}	RH _{min_m}	Rh _{max_r}	RH _{max_m}	V _r	V _m	P _r	P _m	R _r	R _m	ET _{o_r}	ET _{o_m}	ΔET _o	
2018-05-01	10,3	12,85	22,6	23,22	48	43,2	97	82,45	2	2,12	98,83	99,22	1,8	1,91	4	4,21	0,21	
2018-05-02	10	9,92	21,4	21	50	60,7	92	84,8	4,17	2,15	99,39	99,75	0	2,47	4,26	3,64	-0,62	
2018-05-03	14,5	14,75	28,8	27,05	37	44,7	91	95,2	3,17	5,32	98,97	99,29	0	11,18	5,88	5,71	-0,17	
2018-05-04	10	10,97	17,7	19,05	52	60,91	92	93,19	4,13	9,8	99,81	100,13	8	6,23	3,47	3,69	0,22	
2018-05-05	6	6,83	17,7	16,71	23	41,2	72	73,25	3,88	5,76	100,32	100,73	0	0	4,82	4,39	-0,43	
2018-05-06	5,8	6,05	19,7	18,39	38	49,8	85	84,4	4	2,92	100,38	100,83	0	0	4,66	3,83	-0,83	
2018-05-07	3,7	8,02	21,7	20,28	29	46,1	95	90,68	3,21	1,68	100,07	100,53	0	0	5,03	3,84	-1,19	
2018-05-08	7	9,89	24,4	22,76	32	46,37	90	86,3	4,5	0,99	99,45	99,88	0	0	5,96	3,99	-1,97	
2018-05-09	10,4	12,74	26,8	24,75	32	52,46	79	85,33	3,46	1,03	98,99	99,36	0	0	6,23	4,16	-2,07	
2018-05-10	13,6	14,5	27,2	25,05	29	43,57	83	79,79	3,58	4,36	99,06	99,44	0	0,01	6,32	5,51	-0,81	
2018-05-11	10,6	14,36	26,4	24,64	44	48,2	94	87,02	2,21	1,4	99,58	99,95	3	1,89	5,18	4,21	-0,97	
2018-05-12	13,5	13,88	24,5	22,69	31	45,7	96	94,91	2,29	0,6	99,66	100,11	0	4,83	4,87	3,57	-1,3	
2018-05-13	7,4	10,65	24,9	23,27	24	41,3	85	75,5	4,29	1,32	99,43	99,84	0	0,04	6,51	4,4	-2,11	
2018-05-14	10,1	8,76	20,3	18,11	35	55,2	76	90,5	4,42	1,06	99,48	99,83	0	2,82	5,1	3,3	-1,8	
2018-05-15	8,7	7,72	18,7	18,25	45	48,7	93	96,26	3,96	0,97	99,22	99,56	0	1,9	4,1	3,44	-0,66	
2018-05-16	12,6	9,64	18,5	17,65	66	70,1	97	97	3,17	1,34	98,77	99,16	23	17,22	3	3,01	0,01	
2018-05-17	13,2	11,49	16,9	17,25	88	78,2	97	98,2	3,08	4,46	98,48	98,89	23	16,28	2,04	2,49	0,45	
2018-05-18	11,8	10,85	16,8	16,72	78	79,75	95	95,6	3,67	5,49	99,12	99,55	3,3	5,13	2,48	2,43	-0,05	
2018-05-19	8	7,09	17,8	17,85	44	58,1	96	96,1	3,08	6,2	99,79	100,22	0	0,03	3,86	3,7	-0,16	
2018-05-20	7,2	7,63	19,8	18,85	32	48,5	88	90,9	3	2,29	100,29	100,73	0	0	4,74	3,93	-0,81	
2018-05-21	5,4	8,51	20,5	19,55	32	48,84	96	84,9	3,33	1,33	100,11	100,54	0	0,01	5,01	3,86	-1,15	
2018-05-22	8,8	8,82	22,8	21,85	41	50,4	88	85,8	2,54	1,48	99,54	99,96	0	0,22	4,98	4,32	-0,66	
2018-05-23	10,4	12,75	23,5	22,85	37	52,8	93	83	3,33	1,12	99,94	100,33	0	0	5,33	4,1	-1,23	
2018-05-24	12,5	11,45	22,7	22,06	40	52,7	84	91,9	4,63	0,47	100,19	100,59	0	0,01	5,39	3,87	-1,52	
2018-05-25	11,9	11,53	22,9	22,33	38	49,1	95	91,6	3,04	0,73	99,97	100,37	4	0,86	4,96	4,02	-0,94	
2018-05-26	12,3	13,04	23,3	23,17	59	59,3	97	93,2	2,58	0,99	100,09	100,45	4	4,13	4,34	4,05	-0,29	
2018-05-27	11,7	13,76	26,4	25,36	39	49,1	98	90,8	2,42	1,01	100,11	100,45	0	1,19	5,59	4,57	-1,02	
2018-05-28	14,6	15,22	27,2	36,43	36	46,7	84	96,2	3,67	14,15	100,18	87,78	0	0	6,33	10,4	4,07	
2018-05-29	13,4	13,45	28,3	26,97	31	42,47	73	82,4	3,92	2,19	99,9	100,31	0	0	7,23	5,61	-1,62	
2018-05-30	13,3	15,34	28,7	27,46	29	35,81	88	84,9	2,13	0,97	99,69	100,11	0	0	6,27	5,02	-1,25	
2018-05-31	12,2	16,15	29,5	28,22	31	39,42	95	80,68	1,46	0,54	99,59	100	0	0	5,9	4,83	-1,07	
Σ														70,1	78,36	153,84	132,1	-21,74



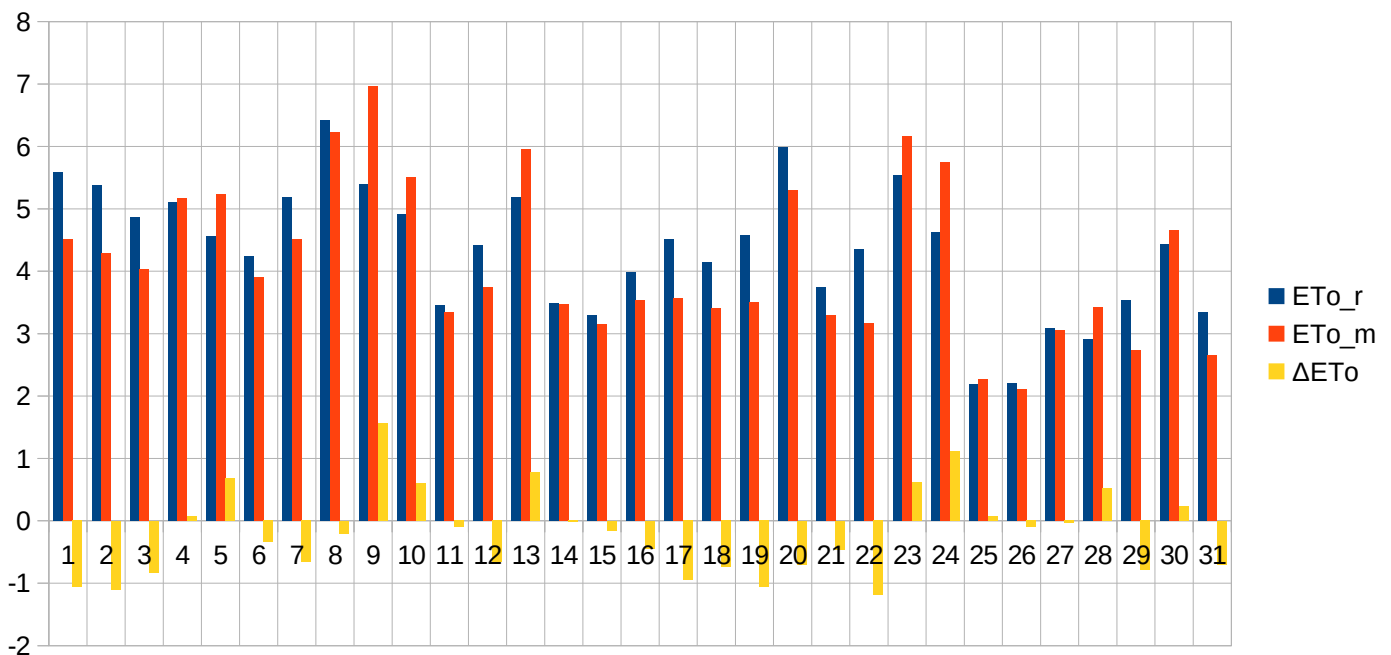
Data	T _{min_r}	T _{min_m}	T _{max_r}	T _{max_m}	RH _{min_r}	RH _{min_m}	Rh _{max_r}	RH _{max_m}	V _r	V _m	P _r	P _m	R _r	R _m	ET _{o_r}	ET _{o_m}	ΔET _o		
2018-06-01	13,6	18,54	29,9	28,56	30	41,7	96	79,9	2,25	1,6	99,5	99,9	3	1,59	6,5	5,28	-1,22		
2018-06-02	16,8	16,67	25,8	25,15	54	60,97	91	92,2	2,71	2,06	99,27	99,6	0	19,93	4,81	4,35	-0,46		
2018-06-03	14	16,29	22,8	25,18	72	53,17	97	90,46	2,04	0,73	99,36	99,68	0	10,05	3,83	4,22	0,39		
2018-06-04	12,5	15,94	27,3	26,27	31	45,47	99	93,1	2,04	1,47	98,94	99,29	0	0,32	5,88	4,85	-1,03		
2018-06-05	12,7	14,17	24,4	23,3	43	60,4	96	93,5	3,83	6,22	98,85	99,25	0	0,9	5,41	4,6	-0,81		
2018-06-06	7,5	7,42	17,4	16,66	23	38,63	69	69,8	5,04	1,24	99,88	100,33	0	0	5,44	3,73	-1,71		
2018-06-07	7,5	7,1	22,9	21,36	26	40,38	64	73,73	3,33	1,32	99,9	100,35	0	0	6,23	4,67	-1,56		
2018-06-08	8,6	11,33	28,1	26,81	23	38,11	81	91,1	2,04	0,69	99,44	99,85	0	0	6,33	5,17	-1,16		
2018-06-09	13,1	15,16	29,1	28,24	24	40,6	78	79,3	2,71	0,86	99,21	99,64	0	0	7,06	5,26	-1,8		
2018-06-10	13,8	18,18	30,6	28,75	20	35,55	78	71,7	1,63	1,83	98,93	99,32	0	1,51	6,55	5,77	-0,78		
2018-06-11	15,2	17,58	24,6	24,31	56	61,6	95	91,9	3,38	3,24	98,73	99,05	2,5	9,83	4,74	4,23	-0,51		
2018-06-12	13,2	14,05	22,7	21,26	40	61,1	96	91,4	2,21	2,3	98,62	99,05	2,2	4,75	4,65	3,83	-0,82		
2018-06-13	8,9	11,67	20,6	19,85	50	56,99	95	92,1	1,5	1,4	98,81	99,24	0,4	0,56	4,26	3,73	-0,53		
2018-06-14	10,3	11,64	22,7	20,82	40	51,45	97	95,71	2,58	3,88	99,19	99,62	0	0,27	5,02	4,36	-0,66		
2018-06-15	11,9	12,62	24,4	22,27	37	58,95	89	95,77	2,5	4,18	99,39	99,8	0	0,92	5,44	4,39	-1,05		
2018-06-16	11,5	13,8	26	23,91	38	53,12	93	95,14	2,08	1,2	99,48	99,91	0	0,84	5,65	4,42	-1,23		
2018-06-17	14,5	14,53	26,9	25,67	32	42,6	90	86,4	1,33	0,41	99,39	99,83	0	0,11	5,36	4,53	-0,83		
2018-06-18	13,1	17,01	26,2	24,38	42	57,81	88	78,37	2,17	3,39	99,58	100,02	0	2,68	5,56	4,76	-0,8		
2018-06-19	11,4	14,45	25,7	24,95	35	50,6	93	84,14	2,96	1,7	99,89	100,32	0	0,28	5,99	4,84	-1,15		
2018-06-20	12,4	15,23	27,1	24,98	39	50,63	93	90,2	2,29	0,98	99,98	100,41	0	0,09	5,91	4,49	-1,42		
2018-06-21	12,4	13,08	31,2	29,46	28	46,88	90	83,36	4,42	6,32	99,05	99,46	0	1,98	8,17	7,44	-0,73		
2018-06-22	8,4	9,64	16,4	16,45	41	49,1	81	80,2	5,17	2,18	99,44	99,9	0,6	0,41	4,36	3,57	-0,79		
2018-06-23	6,7	7,75	15	15,35	64	57,59	93	95,5	3,38	2,74	99,47	99,93	1	1,63	3,15	3,23	0,08		
2018-06-24	10,3	9,2	17,6	15,85	51	68,59	96	94,61	4,13	2,54	99,36	99,84	5,4	5,58	3,75	2,97	-0,78		
2018-06-25	9,9	8,46	18,7	18,15	55	55,6	97	96,4	3,63	1,18	99,7	100,14	9	4,49	3,86	3,66	-0,2		
2018-06-26	8,1	11,55	17,7	17,95	62	62,78	98	94,1	1,58	0,39	99,88	100,26	1,5	3,86	3,54	3,14	-0,4		
2018-06-27	10,2	10,43	22,8	20,54	52	68,23	96	92,4	3,83	2,99	100,09	100,44	2	5,83	4,91	3,88	-1,03		
2018-06-28	17,4	16,15	26,7	23,25	48	74,81	80	90,07	6,46	5,4	99,52	99,81	0,5	9,07	6,42	3,83	-2,59		
2018-06-29	13,3	14,31	27,9	25,55	26	48,8	84	95,4	3,83	9,73	99,04	99,41	0	5,81	7,23	6,18	-1,05		
2018-06-30	8,4	9,45	17,5	15,85	42	60,7	85	83,2	4,04	11,02	99,32	99,77	0	0,85	4,32	3,69	-0,63		
Σ															28,1	94,14	160,33	133,07	-27,26



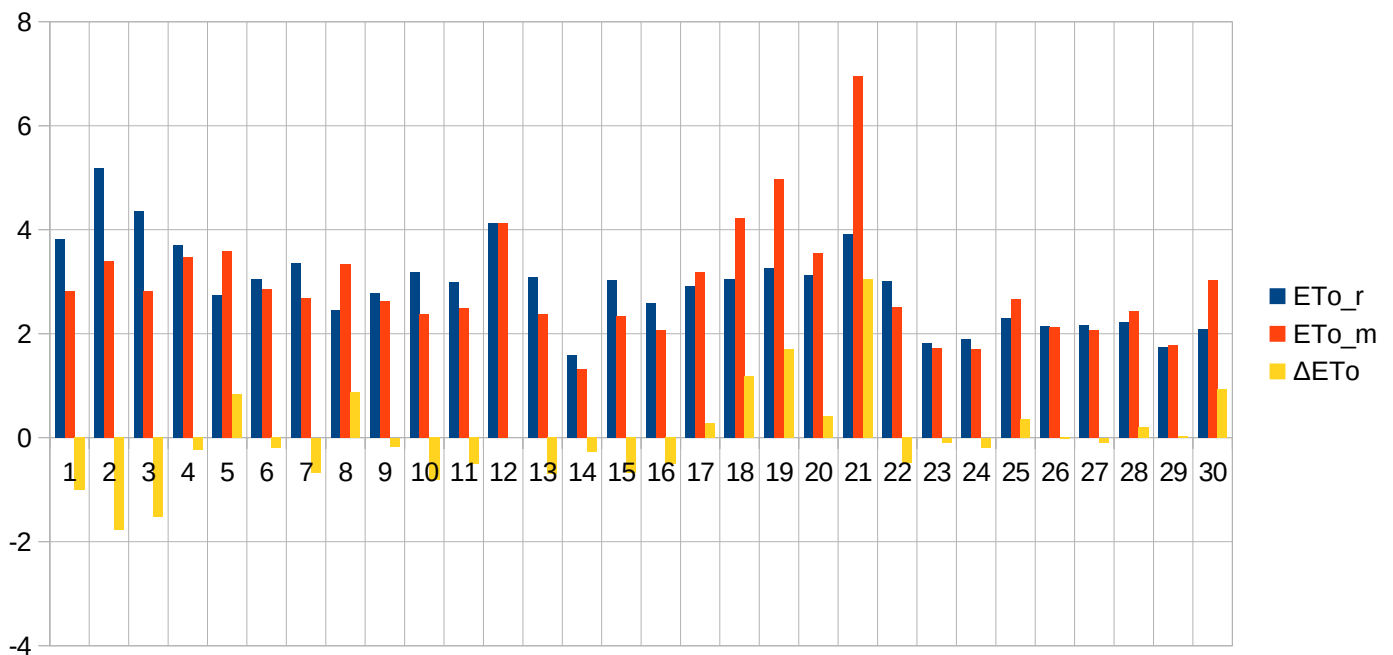
Data	T _{min_r}	T _{min_m}	T _{max_r}	T _{max_m}	RH _{min_r}	RH _{min_m}	Rh _{max_r}	RH _{max_m}	V _r	V _m	P _r	P _m	R _r	R _m	ET _{o_r}	ET _{o_m}	ΔET _o			
2018-07-01	8,2	8,55	16,4	16,25	46	50,6	84	81,6	3,29	7,47	99,51	99,97	0	0,64	3,88	4,15	0,27			
2018-07-02	6,9	7,6	16,6	15,51	59	67,5	88	90,4	3,29	3,48	99,4	99,85	0	0	3,62	3,11	-0,51			
2018-07-03	12	9,85	24,7	22,75	27	43,4	85	89,35	3,54	1,76	99,31	99,77	0	0	6,22	4,8	-1,42			
2018-07-04	10	12,87	27,6	25,67	27	43,06	91	75,47	2,42	1,66	99,24	99,7	0	0	6,34	5,27	-1,07			
2018-07-05	10	15,81	31,4	29,2	20	36,19	92	74,18	2,58	2,58	98,89	99,31	0	0	7,29	6,5	-0,79			
2018-07-06	15,6	16,89	25,7	25,08	41	51,16	85	91,7	3,25	4,43	99,08	99,49	0	8,64	5,58	5,07	-0,51			
2018-07-07	11,9	14,66	25,8	23,38	25	45,1	89	81,2	3,29	3,39	99,46	99,89	0	0	6,39	5,04	-1,35			
2018-07-08	14,9	14,01	25,4	23,16	42	60,23	85	95,7	2,5	3,11	99,57	99,97	0	6,48	5,26	4,27	-0,99			
2018-07-09	12	13,67	26,5	24,32	25	49,7	93	88,98	1,88	0,44	99,46	99,89	0	0,41	5,77	4,24	-1,53			
2018-07-10	11,9	15,09	26,2	25,55	31	38,6	88	82	2,42	1,47	99,32	99,73	0	1,21	5,89	4,9	-0,99			
2018-07-11	14,7	17,08	24,6	22,67	51	64,4	95	90,69	1,42	1,32	99,24	99,61	5,3	15,96	4,44	3,46	-0,98			
2018-07-12	14,6	14,1	21,7	22,01	49	49,8	96	94	2,42	2,12	99,19	99,58	7,2	5,11	3,99	4,07	0,08			
2018-07-13	11,3	12,1	19,8	20,05	69	69,2	96	95,54	3,33	1,95	99,22	99,64	14	4,28	3,48	3,44	-0,04			
2018-07-14	16	14,64	21,9	23,35	65	54,82	95	97,2	4	7,11	99,27	99,69	12	2,01	3,62	4,76	1,14			
2018-07-15	14,2	13,87	25,7	23,15	43	58,81	95	97,5	3,5	5,34	99,28	99,7	3,6	4,23	5,45	4,42	-1,03			
2018-07-16	15,9	14,95	20	21,98	78	66,66	95	92,8	2,58	5,99	99,01	99,37	28	1,18	2,71	3,85	1,14			
2018-07-17	17,9	16,72	21,3	21,42	88	77,73	97	98,01	2,67	4,53	98,48	98,91	19	16,19	2,4	2,86	0,46			
2018-07-18	18,6	16,45	24,9	24,75	73	73,45	98	98,68	3,46	5,92	98,57	98,93	6	16,36	3,62	3,83	0,21			
2018-07-19	18,3	17,78	22,4	22,78	78	79,12	97	95,43	4,13	5,18	98,98	99,4	23	11,8	2,86	3,04	0,18			
2018-07-20	15,5	16,25	26,1	24,65	45	58,02	94	96,89	3,58	3,79	99,1	99,52	0	0	5,33	4,39	-0,94			
2018-07-21	13,2	15,13	26,4	25,63	37	42,31	94	95,28	1,13	1,17	99,07	99,49	0	0,22	4,87	4,48	-0,39			
2018-07-22	12,1	15,35	27,8	26,66	34	43,1	96	81,46	1,63	1,32	98,95	99,34	0	0	5,52	4,81	-0,71			
2018-07-23	15,9	16,45	27,2	26,25	33	45,14	91	85,1	3,13	5,66	99,17	99,52	0	0,43	5,83	5,97	0,14			
2018-07-24	13,8	16,01	27,1	26,63	41	46,8	94	77,8	2,38	4,09	99,23	99,62	0	0	5,4	5,76	0,36			
2018-07-25	14,7	16,43	27,2	26,39	48	54,4	93	94,3	2,25	4,15	99,23	99,59	0,2	8,58	5,12	4,99	-0,13			
2018-07-26	17,8	17,22	27,9	26,85	48	49,64	96	95,74	2,54	2,52	99,41	99,77	6	0,15	5,02	4,77	-0,25			
2018-07-27	16,8	18,23	25,8	27,12	59	57,81	97	92,43	1,71	0,39	99,39	99,72	0,4	3,41	4,14	3,95	-0,19			
2018-07-28	15	18,45	29,7	29,24	39	44,8	97	91,38	1,04	0,45	98,99	99,35	0	0,04	5,17	4,39	-0,78			
2018-07-29	17,7	20,3	29,5	28,78	48	51,58	96	83,6	1,54	1,92	99,26	99,6	15	13,21	5	4,73	-0,27			
2018-07-30	18,1	19,54	28,5	29,01	48	48,26	98	92	1,25	0,98	99,61	99,93	0	5,15	4,56	4,42	-0,14			
2018-07-31	18,2	19,93	30,7	29,66	39	48,43	96	83,77	2,29	0,68	99,71	100,09	0	0	5,7	4,36	-1,34			
															Σ	139,7	125,69	150,47	138,1	-12,37



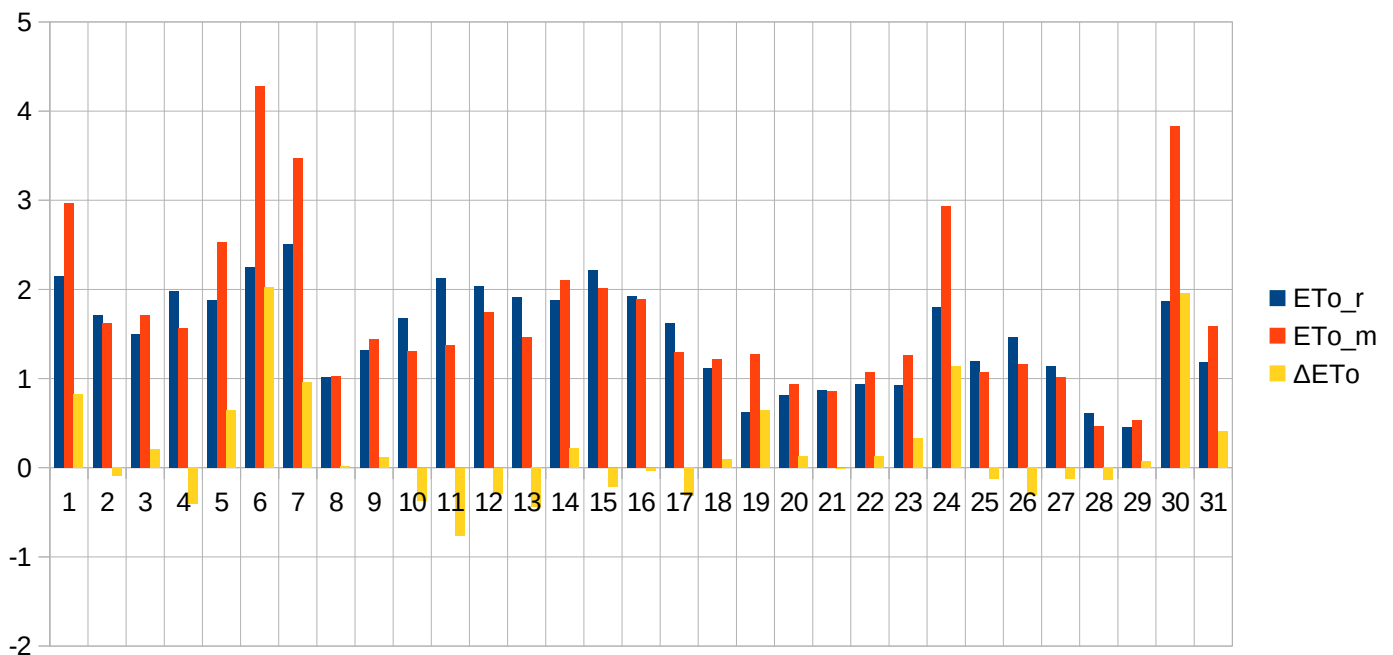
Data	T _{min_r}	T _{min_m}	T _{max_r}	T _{max_m}	RH _{min_r}	RH _{min_m}	Rh _{max_r}	RH _{max_m}	V _r	V _m	P _r	P _m	R _r	R _m	ET _{o_r}	ET _{o_m}	ΔET _o	
2018-08-01	18,4	20,03	31	29,97	40	43,77	93	92,5	2	0,92	99,85	100,22	0	0	5,58	4,52	-1,06	
2018-08-02	18,8	20,61	31,1	30,85	36	42,78	95	76,2	1,63	0,4	99,93	100,31	0	0	5,38	4,28	-1,1	
2018-08-03	17,3	20,21	30	29,6	44	40,33	95	85,5	1,13	0,39	99,93	100,28	1	5,94	4,87	4,04	-0,83	
2018-08-04	17,4	20,08	30	29,93	34	36,1	96	79,6	1,42	1,82	99,59	99,98	0	6,98	5,1	5,17	0,07	
2018-08-05	17,9	19,26	26,2	27,05	47	46,68	93	73,23	2,88	3,46	99,5	99,85	4	1,19	4,56	5,24	0,68	
2018-08-06	12,3	14,8	23,9	23,35	50	50,72	95	83,2	2,25	1,8	99,72	100,12	0	0	4,24	3,9	-0,34	
2018-08-07	11	15,39	28,2	28,25	35	35,09	96	79,54	1,79	0,91	99,65	100,05	0	0	5,18	4,52	-0,66	
2018-08-08	13,7	17,02	31,1	30,47	34	40,25	87	81,24	3	3,35	99,48	99,91	0	4,86	6,42	6,22	-0,2	
2018-08-09	19,6	19,65	31,7	32,65	46	38,1	91	93,05	2,21	4,49	99,49	99,87	3	2,48	5,39	6,96	1,57	
2018-08-10	17,6	19,15	27,5	28,11	50	51,56	88	79,39	3,29	4,71	99,8	100,18	0	0,22	4,91	5,51	0,6	
2018-08-11	13,6	15,58	22,2	22,81	54	55,58	97	92,04	1,71	1,55	99,95	100,36	15	21,64	3,45	3,35	-0,1	
2018-08-12	10,4	12,99	23,3	22,97	35	39,08	97	82,13	2,25	1,22	99,76	100,18	4	0,54	4,41	3,75	-0,66	
2018-08-13	11,9	15,38	29,5	29,18	37	37,62	94	89,91	1,88	3,64	98,95	99,38	0	0	5,18	5,96	0,78	
2018-08-14	15,9	18,92	23,5	24,79	57	53,7	93	80,4	2,04	1,59	98,93	99,28	6	4,75	3,49	3,47	-0,02	
2018-08-15	14,1	16,79	22,6	22,34	65	64,76	95	80,2	2,25	2,03	99,5	99,86	2	1,3	3,3	3,15	-0,15	
2018-08-16	11,6	15,21	24,9	25,1	44	42,4	98	91,1	1,33	0,8	99,84	100,22	0	0	3,98	3,54	-0,44	
2018-08-17	13,3	16,5	26,5	26,51	48	47,2	94	86,16	2,42	0,65	99,6	100,01	0	0	4,51	3,56	-0,95	
2018-08-18	14,9	17,27	27,3	26,99	49	44,09	95	86,7	1,5	0,43	99,76	100,14	0	5,94	4,15	3,41	-0,74	
2018-08-19	13,9	18,35	28,7	27,15	39	47,9	97	83,97	1,5	0,77	99,86	100,24	0	3,02	4,57	3,51	-1,06	
2018-08-20	14,6	19,73	31,3	30,16	31	40,25	95	68,8	2,88	2,51	99,41	99,82	0	0	5,99	5,29	-0,7	
2018-08-21	11	16,45	22,3	22,25	47	52	93	88,2	2,38	2,4	99,81	100,22	0	0	3,75	3,29	-0,46	
2018-08-22	9	14,05	24,6	24,35	35	40,96	95	76	2,04	0,51	99,98	100,39	0	0	4,35	3,16	-1,19	
2018-08-23	14,4	16,1	30,5	30,52	39	35,66	76	81,6	2,58	3,67	99,35	99,79	0	0,58	5,54	6,16	0,62	
2018-08-24	17,7	19,75	29,5	29,03	45	44,5	96	83,8	2,42	5,2	98,76	99,14	4	16,83	4,63	5,74	1,11	
2018-08-25	14,5	15,3	18,8	19,61	70	68,9	97	90,08	1,92	1,42	98,87	99,27	9	9,59	2,19	2,27	0,08	
2018-08-26	8,5	11,54	15,7	15,88	68	62,49	96	89,9	1,75	1,57	99,36	99,8	14	4,94	2,21	2,11	-0,1	
2018-08-27	5,3	9,82	20	19,98	43	42,99	98	76,85	1,13	1,26	99,53	99,99	0	0	3,08	3,05	-0,03	
2018-08-28	9,9	14,26	20,2	20,75	58	53,2	95	69	1,88	2,75	99,69	100,13	0,3	0,91	2,91	3,43	0,52	
2018-08-29	6,8	12,05	22,1	22,26	39	44,02	97	78	1,67	0,5	99,82	100,24	0	0	3,53	2,74	-0,79	
2018-08-30	10,9	12,89	26,2	26,18	43	43,43	92	92,62	2,75	3,67	99,41	99,82	0,7	4,54	4,43	4,66	0,23	
2018-08-31	11,3	13,95	21,6	21,05	50	51,99	96	93,62	2,79	1,3	99,78	100,2	0,4	1,94	3,35	2,65	-0,7	
													Σ	63,4	98,19	134,63	128,61	-6,02



Data	T _{min_r}	T _{min_m}	T _{max_r}	T _{max_m}	RH _{min_r}	RH _{min_m}	Rh _{max_r}	RH _{max_m}	V _r	V _m	P _r	P _m	R _r	R _m	ET _{o_r}	ET _{o_m}	ΔET _o			
2018-09-01	10,3	13,75	23,2	23,52	48	54,07	97	85,71	3,33	0,79	100,16	100,55	0	1,3	3,82	2,82	-1			
2018-09-02	14,9	16,15	26,6	25,85	45	45,6	83	81,5	5,13	1,43	100,22	100,6	0	0,65	5,18	3,4	-1,78			
2018-09-03	14,6	16,25	25,2	24,85	45	52,1	90	89,7	4	0,89	99,77	100,14	0	0	4,35	2,82	-1,53			
2018-09-04	13,1	15,41	24,7	23,96	43	49	92	86,1	2,33	2,54	99,31	99,66	0	0	3,71	3,48	-0,23			
2018-09-05	12,7	15,45	21,8	22,37	56	50,4	97	86,4	1,75	3,9	99,51	99,86	0	0	2,75	3,58	0,83			
2018-09-06	10	13,22	22,8	22,61	51	51,3	98	95,4	1,71	1,6	99,28	99,66	0	0,11	3,05	2,85	-0,2			
2018-09-07	9,5	13,99	25,6	24,15	39	43,9	96	85,8	1,25	0,72	99,1	99,5	0	0	3,36	2,69	-0,67			
2018-09-08	10,3	14,75	20,4	21,45	63	56,7	96	84,8	1,63	4,45	99,68	100,11	2	0,86	2,46	3,34	0,88			
2018-09-09	6,2	11,71	22,7	21,36	29	39,5	98	76,2	0,83	0,99	100,11	100,55	0	0	2,79	2,62	-0,17			
2018-09-10	7,9	12,52	25,3	23,96	32	37,7	96	71,9	1,17	0,38	100,05	100,49	0	0	3,19	2,38	-0,81			
2018-09-11	11,8	16,15	22,1	20,45	47	54,2	93	81	2,17	2,04	99,97	100,44	0	0,43	2,99	2,49	-0,5			
2018-09-12	11,6	15,31	28,5	27,16	30	41,66	92	82,79	2	2,8	99,81	100,24	0	0	4,13	4,13	0			
2018-09-13	14,5	15,25	22,3	22,93	53	56,99	91	96,11	3,29	1,31	99,77	100,13	0	2,59	3,08	2,38	-0,7			
2018-09-14	14,2	14,18	17,5	16,65	77	84,2	94	91,62	2,17	1,24	99,78	100,15	27	8,64	1,59	1,32	-0,27			
2018-09-15	8,8	12,87	20	19,47	42	53,47	95	93	2,83	2,11	99,86	100,29	2	1,62	3,02	2,34	-0,68			
2018-09-16	7,3	10,99	19,9	18,87	41	46,7	95	82,8	1,63	0,98	100,3	100,75	0	0	2,58	2,07	-0,51			
2018-09-17	7,5	11,84	23,2	22,75	42	42,7	95	76,3	1,67	2,25	100,08	100,51	0	0	2,92	3,19	0,27			
2018-09-18	8,9	14,35	25,5	25,27	44	43,8	96	88,3	1,63	4,54	99,81	100,25	0	0	3,04	4,22	1,18			
2018-09-19	11,9	16,25	27,2	26,44	40	41,3	92	64,4	1,67	4,5	99,75	100,18	0	0	3,27	4,98	1,71			
2018-09-20	10,8	16,26	28,2	27,25	37	40,9	94	77,5	1,33	2,16	99,78	100,19	0	0	3,12	3,54	0,42			
2018-09-21	11,6	16,45	26,6	26,81	36	35	93	67,9	2,88	8,77	99,15	99,55	0	0,01	3,92	6,96	3,04			
2018-09-22	8,7	11,45	17	16,64	46	49,3	87	83,4	5	3,45	99,52	99,96	0,8	2,78	3,01	2,52	-0,49			
2018-09-23	8,7	10,05	14,5	14,95	59	57,9	94	95,3	2,83	2,29	99,03	99,49	3,1	31,88	1,81	1,72	-0,09			
2018-09-24	5,3	6,81	10,8	10,66	59	68,1	95	93,6	7,08	9,56	99,3	99,81	49,9	19,79	1,9	1,71	-0,19			
2018-09-25	1,6	5,11	11,7	11,55	39	42,5	93	81,4	4	5,89	100,93	101,41	0,2	0	2,3	2,66	0,36			
2018-09-26	-0,7	4,36	12,9	12,78	42	45,11	96	88,5	3,13	3,31	101,14	101,65	0	0	2,15	2,13	-0,02			
2018-09-27	10,7	11,52	16,1	17	59	49	93	90,2	4,67	2,44	100,35	100,82	0	0,19	2,16	2,07	-0,09			
2018-09-28	8,1	10,03	18,3	17,95	59	63,7	89	85,6	3,17	5,14	99,69	100,13	0	0,63	2,22	2,43	0,21			
2018-09-29	1	6,31	13,4	12,75	30	41,75	97	85,4	1,46	1,94	100,45	100,91	0	0	1,75	1,77	0,02			
2018-09-30	-0,6	5,49	15	14,48	31	36	94	62,7	1,92	4,05	99,98	100,44	0	0	2,09	3,03	0,94			
															Σ	85	71,48	87,71	87,64	-0,07

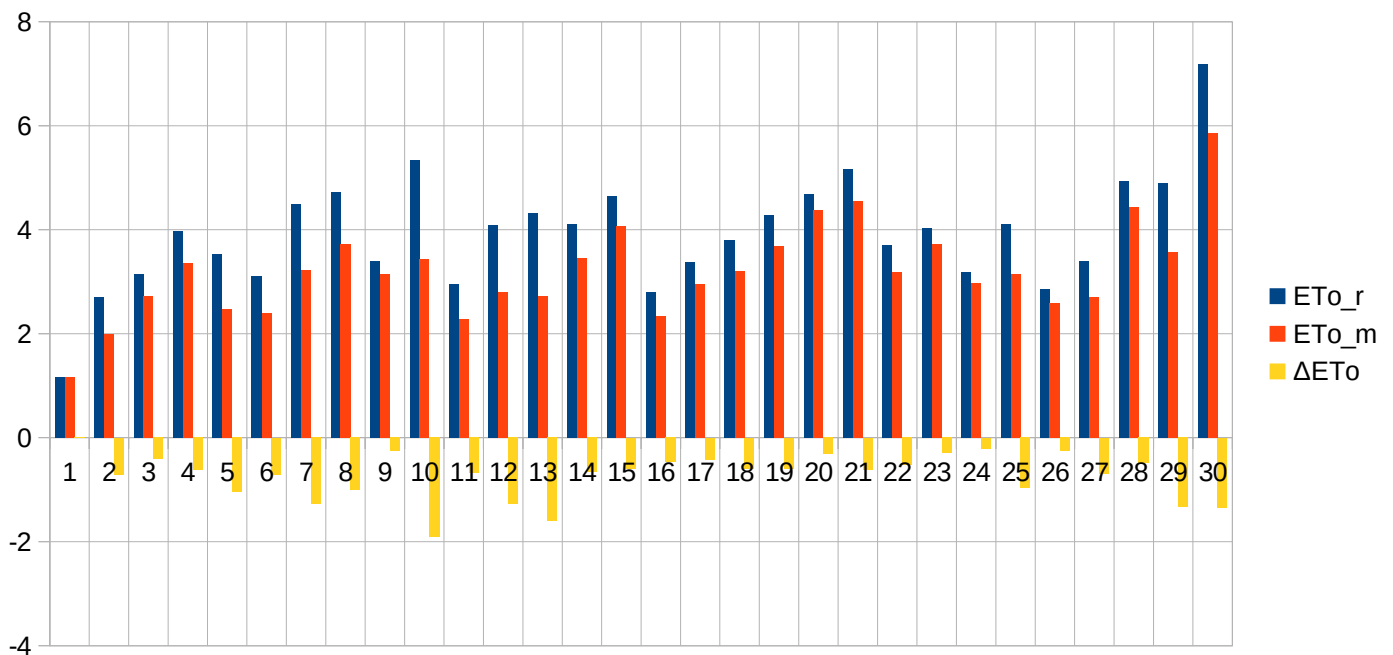


Data	T _{min_r}	T _{min_m}	T _{max_r}	T _{max_m}	RH _{min_r}	RH _{min_m}	Rh _{max_r}	RH _{max_m}	V _r	V _m	P _r	P _m	R _r	R _m	ET _{o_r}	ET _{o_m}	ΔET _o
2018-10-01	-0,1	6,63	16,7	15,84	38	40,2	94	67,55	2,08	4,03	98,98	99,41	0	0	2,15	2,97	0,82
2018-10-02	8,2	7,79	10,3	10,73	58	53,22	87	92	4,58	3,53	99,19	99,69	0	0,65	1,71	1,62	-0,09
2018-10-03	7,6	6,97	10,9	11	72	62,2	91	85,8	7,46	4,75	99,09	99,55	8,2	5,51	1,5	1,71	0,21
2018-10-04	5,7	5,73	13,3	12,38	54	56,36	91	87,1	4,42	2,56	100,27	100,76	0	0	1,98	1,57	-0,41
2018-10-05	6,9	6,75	17,6	16,34	46	47,7	88	79,65	1,88	3,95	100,36	100,83	0	0	1,88	2,53	0,65
2018-10-06	7,1	8,56	20	19,73	44	41,6	85	76,4	2,21	8,26	99,44	99,89	0	0	2,25	4,28	2,03
2018-10-07	7,2	9,9	21,7	21,35	52	51,32	87	76,92	3,04	5,76	99,21	99,65	0	0,22	2,51	3,47	0,96
2018-10-08	2,5	6,32	11,3	12,87	61	53,46	96	89	1,17	0,78	100,25	100,69	0	0	1,01	1,03	0,02
2018-10-09	1,1	6,62	16,7	15,91	56	48,63	96	83,72	1,25	1,35	100,33	100,78	0	0	1,32	1,44	0,12
2018-10-10	2,5	10,13	20,4	20,51	53	46,85	96	77,8	1,63	0,69	100,49	100,91	0	0	1,68	1,31	-0,37
2018-10-11	7,3	10,65	20,7	20,05	51	42,2	90	86,07	2,58	0,85	100,39	100,83	0	0	2,13	1,37	-0,76
2018-10-12	6,7	10,45	22,3	21,21	45	45,6	94	78,29	1,92	1,4	100,57	101,02	0	0	2,04	1,75	-0,29
2018-10-13	5,1	12,25	21,8	21,21	46	39,71	97	68,58	1,88	0,89	100,67	101,11	0	0	1,91	1,47	-0,44
2018-10-14	7,1	10,94	21,2	20,77	51	41,43	96	81,1	2,21	2,06	100,25	100,67	0	0	1,88	2,1	0,22
2018-10-15	4,9	11,02	21,3	20,68	38	38,1	94	69,5	2,29	1,71	100,06	100,47	0	0	2,22	2,01	-0,21
2018-10-16	3,5	11,07	20,7	21,19	36	32,2	94	53,8	1,83	1,34	100	100,43	0	0	1,92	1,89	-0,03
2018-10-17	5,4	12,15	20,4	20,69	38	34,95	94	55,4	1,5	0,78	100,01	100,4	0	0	1,62	1,3	-0,32
2018-10-18	7,4	12,83	19,4	20,25	56	49,7	94	71,7	1,08	0,87	99,82	100,2	0	0	1,12	1,22	0,1
2018-10-19	8	9,59	12,4	14,56	87	65,7	98	86	1,54	2,45	100,1	100,5	0	0	0,62	1,27	0,65
2018-10-20	5,5	7,5	11,6	10,72	74	68,3	99	85,9	2,38	1,83	100,31	100,81	2,1	0,76	0,81	0,94	0,13
2018-10-21	1,2	4,75	12,1	10,85	55	58,7	99	94,3	1,42	1,47	100,62	101,08	0	0,37	0,87	0,86	-0,01
2018-10-22	0,4	4,2	11,4	10,63	63	55,08	99	87	2,42	2	100,37	100,85	0,4	0	0,94	1,07	0,13
2018-10-23	3,6	4,25	9	9,81	79	67,14	93	89,9	6,79	5,27	98,94	99,47	15,8	10,48	0,93	1,26	0,33
2018-10-24	3,4	4,44	8,3	8,36	45	43,3	92	79,8	6,38	19,02	98,28	98,73	31	4,64	1,8	2,94	1,14
2018-10-25	2,4	3,02	10,3	9,66	68	73,6	95	87,98	6,04	5,11	98,52	99,01	16,1	5,4	1,2	1,07	-0,13
2018-10-26	7,2	6	10	9,44	59	63	83	86,25	4,04	3,27	98,63	99,12	0,2	0,22	1,47	1,16	-0,31
2018-10-27	4,3	6,7	10,8	9,9	67	67,3	87	90,2	3,75	3,19	98,39	98,86	0	0,48	1,14	1,02	-0,12
2018-10-28	4	4,82	5,1	6,32	85	72,5	92	89,7	4,17	0,53	99,17	99,6	15	11,1	0,61	0,47	-0,14
2018-10-29	3,9	5,31	12,7	14,2	91	83,2	99	96,1	4,79	1,69	98,77	99,11	28	13,21	0,46	0,53	0,07
2018-10-30	12,5	12,45	19,6	20,85	56	56,84	92	81,64	3,88	13,1	98,44	98,95	5	1,59	1,87	3,83	1,96
2018-10-31	3,5	8,76	16,4	15,87	40	49,95	94	83,35	1,75	2,81	99,9	100,35	0	0	1,18	1,59	0,41
Σ													121,8	54,63	46,73	53,05	6,32

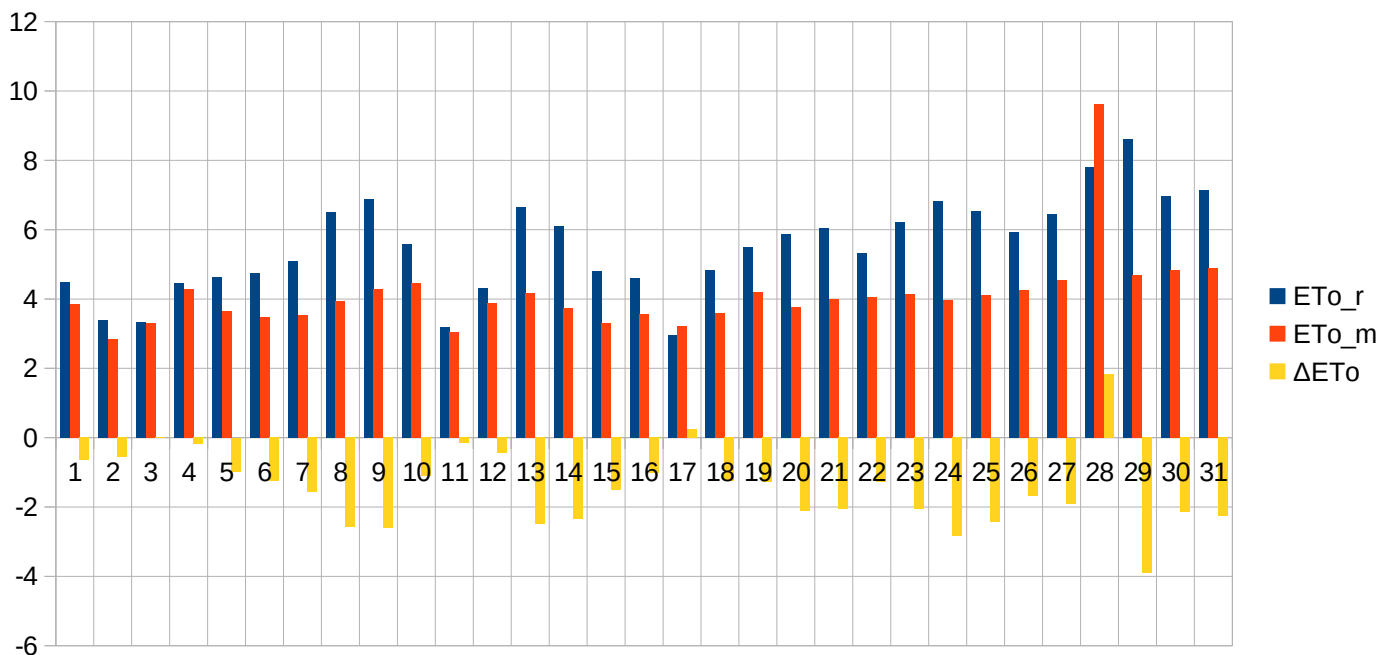


III.2.4. Okres wegetacyjny 2018 roku. Poznań.

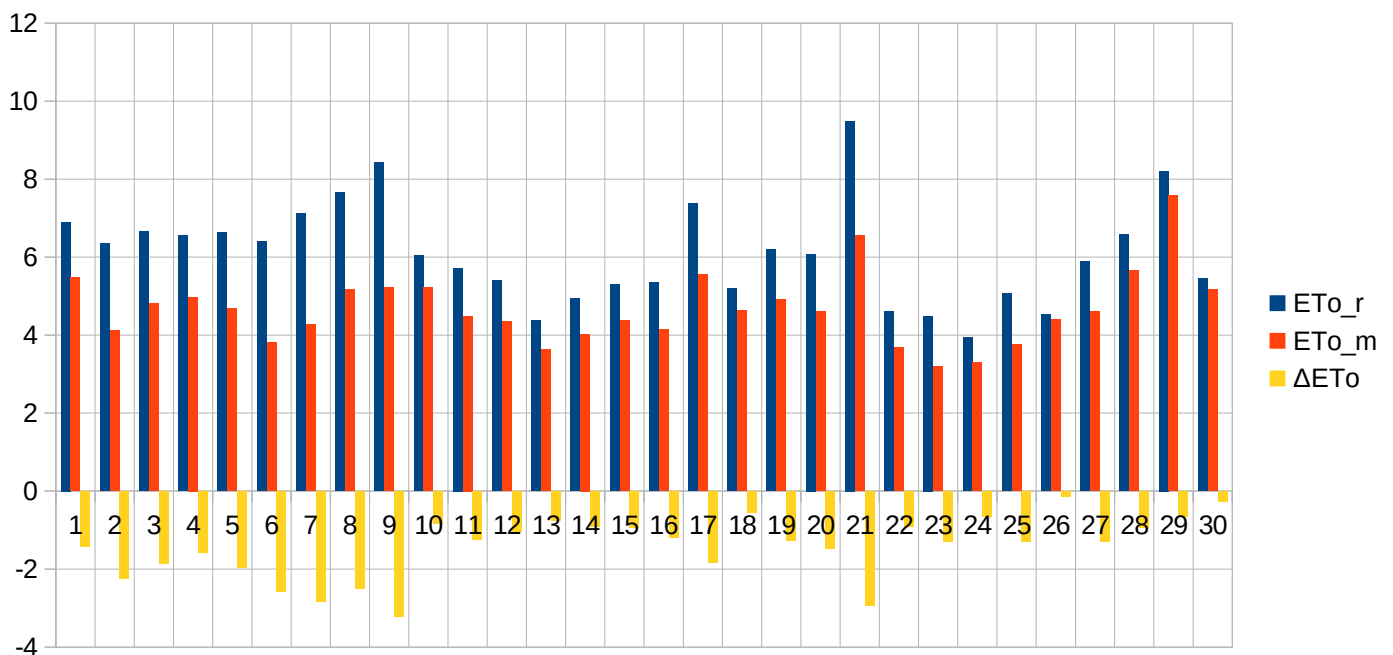
Data	T _{min_r}	T _{min_m}	T _{max_r}	T _{max_m}	RH _{min_r}	RH _{min_m}	Rh _{max_r}	RH _{max_m}	V _r	V _m	P _r	P _m	R _r	R _m	ET _{o_r}	ET _{o_m}	ΔET _o			
2018-04-01	1,4	1,61	6	6,21	75	73,22	97	98,34	8,08	3,9	98,59	98,54	8	0,79	1,16	1,17	0,01			
2018-04-02	0,8	0,83	8,7	8,15	36	48,2	85	82,3	6,79	3,36	99,75	99,78	0	0,97	2,71	2	-0,71			
2018-04-03	0,5	2,33	17,2	15,56	47	60,5	85	83,8	3,54	5,06	99,63	99,68	0,6	0,32	3,14	2,73	-0,41			
2018-04-04	8,6	8,52	21,8	20,69	34	46,9	77	88,2	2,92	2,99	99,46	99,52	0	0,86	3,98	3,36	-0,62			
2018-04-05	9,3	9,27	16,7	15,85	39	50,63	84	91,18	4,96	2,79	99,66	99,63	0,6	2,21	3,53	2,48	-1,05			
2018-04-06	2,1	3,05	11,7	11,27	32	39,2	82	81,26	4,83	2,54	101,18	101,23	0	0	3,11	2,4	-0,71			
2018-04-07	1,2	2,95	17,6	15,9	24	41,61	77	71,1	4,88	3,11	101,18	101,27	0	0	4,5	3,22	-1,28			
2018-04-08	9,1	7,85	21,8	20,25	29	46,6	91	88,7	4,58	4,14	100,38	100,41	3	1,81	4,72	3,72	-1			
2018-04-09	8	8,54	20,5	19,67	37	44,9	97	91,7	2,29	2,28	99,72	99,71	8	0,43	3,4	3,14	-0,26			
2018-04-10	11,1	10,95	23,9	23,05	30	41,91	77	84,7	4,54	1,65	99,77	99,78	5	2,56	5,34	3,43	-1,91			
2018-04-11	9,3	12,2	17,7	17,85	63	63,5	89	88,23	5,96	1,6	100,09	100	2,8	4,15	2,96	2,28	-0,68			
2018-04-12	8,5	11,03	20,6	20,53	52	59,08	89	95	6,79	1,75	99,96	99,93	0	3,56	4,08	2,8	-1,28			
2018-04-13	13,2	13,41	21,9	20,39	50	61,5	81	91,8	5,67	2,09	99,94	99,95	0	4,98	4,32	2,72	-1,6			
2018-04-14	10,2	9,96	19,4	18,45	40	51,2	77	90,1	4,29	5,07	100,74	100,74	0	0,29	4,11	3,45	-0,66			
2018-04-15	8,2	10,22	23,4	22,46	35	45,9	85	79,8	3,25	3,06	100,5	100,53	0	0,02	4,65	4,06	-0,59			
2018-04-16	11,6	12,44	18,6	18,55	61	73,8	95	94,1	3,5	2,65	100,1	100,13	3,5	7,43	2,8	2,34	-0,46			
2018-04-17	9	9,89	17,9	17,46	49	58,87	95	91,06	4,67	4,29	101,29	101,25	2	1,72	3,37	2,95	-0,42			
2018-04-18	4,9	8	20,7	20,35	39	42,78	93	82,61	2,25	1,17	102,07	102,06	0	0	3,79	3,2	-0,59			
2018-04-19	8,4	10,33	23,2	22,35	46	52,87	92	89,42	3,25	2,53	101,98	101,98	0	0	4,28	3,69	-0,59			
2018-04-20	11,2	10,31	23,4	22,5	36	44,3	80	77,29	3,21	3,29	101,45	101,47	0	0	4,69	4,37	-0,32			
2018-04-21	9,6	10,31	21,7	21,65	27	41,5	81	84,9	4,33	4,49	100,73	100,79	0	0	5,16	4,55	-0,61			
2018-04-22	3,6	7,45	19,6	19,65	32	38,7	85	75	1,67	0,89	100,65	100,69	0	0	3,71	3,18	-0,53			
2018-04-23	10,7	11,34	21,8	21,46	52	56,4	91	86,95	4,08	3,42	100,13	100,1	1,7	8,25	4,02	3,72	-0,3			
2018-04-24	10,2	8,95	17,6	18,05	52	52,67	93	91,92	3,75	1,71	100,32	100,33	3	4,32	3,19	2,98	-0,21			
2018-04-25	7,9	8,58	19,9	18,26	49	62,9	94	94,5	5,67	5,01	99,72	99,71	0,8	4,57	4,11	3,15	-0,96			
2018-04-26	5,5	5,98	13,4	13,63	52	52,4	91	89,7	4,38	2,06	100,19	100,19	6	2,03	2,85	2,59	-0,26			
2018-04-27	4,2	5,15	15,2	14,46	38	47,42	93	93,1	3,25	1,42	100,57	100,58	0	0,11	3,4	2,71	-0,69			
2018-04-28	7,8	8,1	22,2	21,63	33	40,8	74	73,32	3,13	2,7	100,12	100,16	0	0	4,93	4,44	-0,49			
2018-04-29	10,9	12,31	24,8	24,3	42	51,8	92	88,5	3,25	0,49	99,97	99,98	1,8	4,04	4,9	3,57	-1,33			
2018-04-30	11,5	14,38	27,7	26,69	30	45,1	84	92,7	5,88	6,45	99,25	99,25	0	1,73	7,19	5,85	-1,34			
															Σ	46,8	57,15	118,1	96,25	-21,85



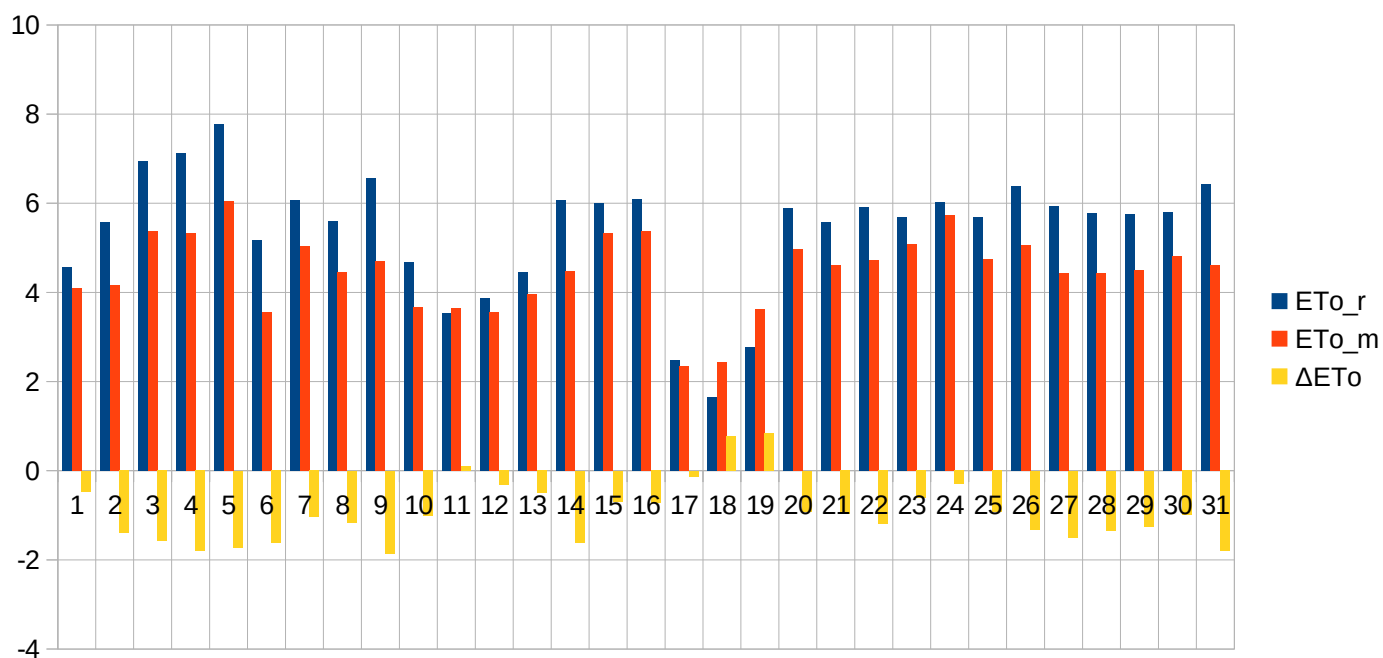
Data	T _{min_r}	T _{min_m}	T _{max_r}	T _{max_m}	RH _{min_r}	RH _{min_m}	Rh _{max_r}	RH _{max_m}	V _r	V _m	P _r	P _m	R _r	R _m	ET _{o_r}	ET _{o_m}	ΔET _o			
2018-05-01	7,3	11,45	20	19,85	34	46,3	86	72,04	3,38	2,51	99,95	99,95	0	0,22	4,49	3,84	-0,65			
2018-05-02	4,4	7,22	15,4	16,4	45	45,1	86	89,9	3,04	0,76	100,51	100,48	0	3,8	3,4	2,85	-0,55			
2018-05-03	10,4	10,55	19,7	20,95	69	71,7	89	95,2	4,71	4,67	100,23	100,12	3,4	9,06	3,32	3,31	-0,01			
2018-05-04	7,1	7,37	17,6	17,27	33	42,21	80	73,81	4,42	4,87	101,16	101,13	1	0	4,45	4,27	-0,18			
2018-05-05	3,6	5,93	18,8	17,99	33	43,2	81	69,19	3,67	1,64	101,59	101,58	0	0	4,63	3,65	-0,98			
2018-05-06	6,2	6,55	20	19,29	32	44,1	79	73,87	3,25	0,81	101,62	101,63	0	0	4,74	3,49	-1,25			
2018-05-07	7,8	8,82	23	21,68	32	43,2	88	88,88	2,88	0,3	101,26	101,32	0	0	5,1	3,53	-1,57			
2018-05-08	11,5	11,33	25	23,56	24	44,77	78	91,4	4,46	0,8	100,63	100,66	0	0	6,5	3,93	-2,57			
2018-05-09	13	13,44	27,2	25,45	26	46,86	76	84,68	4,25	1,11	100,09	100,06	0	3,18	6,89	4,29	-2,6			
2018-05-10	15,2	15,48	26,6	25,37	40	51,64	88	88,89	3,67	2,38	100,02	99,96	6	1,89	5,58	4,47	-1,11			
2018-05-11	13,7	15,3	20,4	21,14	69	69	92	90,02	2,88	1,4	100,69	100,64	6	3,12	3,19	3,04	-0,15			
2018-05-12	13,2	12,23	23,8	23,22	51	60,6	98	96,11	2,58	1,27	100,75	100,76	1	0,02	4,31	3,87	-0,44			
2018-05-13	11,8	12,35	24,7	23,39	27	43,4	74	76,1	4,96	1,14	100,5	100,51	0	0,01	6,65	4,16	-2,49			
2018-05-14	12,6	12,03	21,7	20,72	29	44,8	68	80,9	5,63	1,36	100,56	100,55	0	0,19	6,09	3,74	-2,35			
2018-05-15	12	10,45	19,9	18,86	40	51,4	73	91,86	4,46	0,95	100,34	100,31	0,2	0	4,8	3,29	-1,51			
2018-05-16	14,7	11,14	21,4	20,31	47	57,7	71	91,4	3,75	1,36	99,97	100,01	0	8,43	4,59	3,56	-1,03			
2018-05-17	13,4	12,38	18,1	19,08	70	70,27	88	93	4,42	7,75	99,88	99,85	2	13,33	2,96	3,21	0,25			
2018-05-18	10,8	9,08	21,5	19,62	49	66,9	90	94,1	6,08	5,48	100,45	100,48	0	8,52	4,84	3,59	-1,25			
2018-05-19	7,2	7,39	20,4	18,65	21	39,5	86	84,8	3,88	2,65	101,06	101,1	0	0	5,49	4,21	-1,28			
2018-05-20	6	6,73	21,4	20,08	20	44,7	72	79,8	3,5	0,39	101,49	101,51	0	0	5,87	3,76	-2,11			
2018-05-21	10,1	9,7	22,3	20,85	27	47,64	73	85,43	4,46	1,3	101,21	101,25	0	0,02	6,05	4	-2,05			
2018-05-22	9,8	10,14	22,9	22,55	26	37,8	78	81,4	2,42	0,5	100,64	100,66	0	0,11	5,32	4,05	-1,27			
2018-05-23	8,8	11,25	25,1	23,15	28	44,7	82	76,7	3,33	0,63	101,07	101,11	0	0	6,21	4,15	-2,06			
2018-05-24	12,9	11,95	24,7	22,86	30	50,6	78	82,6	5,75	0,53	101,36	101,38	0	0	6,81	3,98	-2,83			
2018-05-25	12,9	11,94	25,9	23,83	26	46,8	87	83,1	4	0,32	101,12	101,14	0	1,94	6,53	4,11	-2,42			
2018-05-26	10,5	13,31	27,5	24,77	26	46,2	94	88,2	2	0,47	101,15	101,14	0	0	5,92	4,25	-1,67			
2018-05-27	14,7	14,56	27,7	26,36	32	43,5	96	80,8	3,79	0,59	101,15	101,08	0	0	6,44	4,54	-1,9			
2018-05-28	16,4	16,33	29,6	35,63	30	51,1	83	92,9	5,17	14,03	101,17	88,38	0	0	7,81	9,63	1,82			
2018-05-29	16	15,65	29,5	26,77	20	44,97	70	79,5	5,08	0,87	100,86	100,86	0	0,03	8,6	4,7	-3,9			
2018-05-30	17,7	16,95	29,2	27,76	33	47,01	68	87,7	3,5	0,98	100,65	100,66	0	0,83	6,97	4,82	-2,15			
2018-05-31	16,4	17,24	30,9	29,06	25	40,62	81	80,28	2,73	0,56	100,61	100,6	0	0,81	7,15	4,89	-2,26			
															Σ	19,6	55,51	171,7	127,18	-44,52



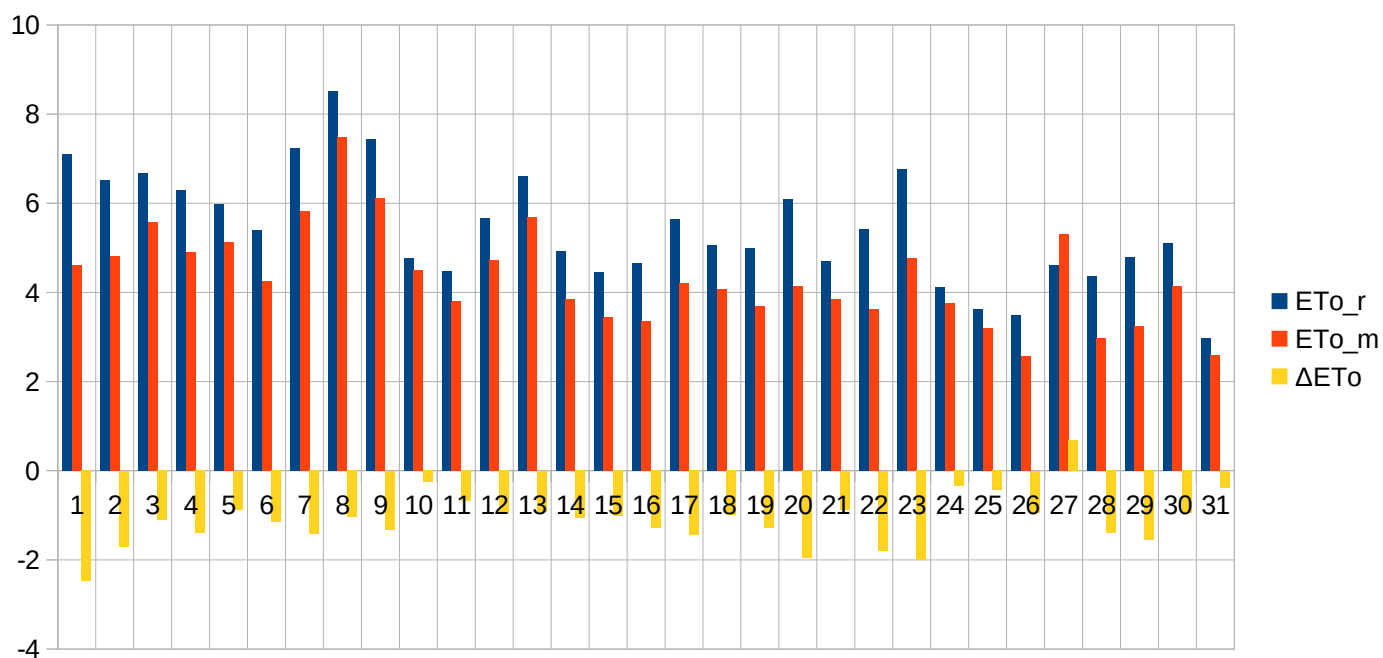
Data	T _{min_r}	T _{min_m}	T _{max_r}	T _{max_m}	RH _{min_r}	RH _{min_m}	Rh _{max_r}	RH _{max_m}	V _r	V _m	P _r	P _m	R _r	R _m	ET _{o_r}	ET _{o_m}	ΔET _o			
2018-06-01	18,1	18,08	30,3	29,66	30	45,71	80	85,1	3,04	1,56	100,48	100,44	0,1	3,89	6,9	5,48	-1,42			
2018-06-02	17,2	18,41	29	25,96	39	58,95	88	93	3,38	1,02	100,34	100,24	0,2	15,81	6,35	4,11	-2,24			
2018-06-03	17,8	17,03	28,4	26,9	25	44,53	93	93,66	3,63	1,33	100,43	100,41	0	9,06	6,66	4,8	-1,86			
2018-06-04	15,1	14,84	27,6	25,87	38	53,37	80	85,91	3,88	2,08	100,05	100,03	0	3,27	6,55	4,98	-1,57			
2018-06-05	13,5	12,89	24,7	24,06	26	55,93	89	95	5,21	2,72	100,05	100,07	0	0,71	6,64	4,69	-1,95			
2018-06-06	9	8,76	20,4	17,96	21	45,43	71	72,2	5,67	1,33	100,99	101,02	0	0	6,4	3,81	-2,59			
2018-06-07	9,1	8,86	23,8	21,66	21	45,18	60	70,53	4,42	0,63	100,94	100,98	0	0	7,12	4,28	-2,84			
2018-06-08	12,4	12,03	29,6	27,4	22	40,71	63	79,1	3,17	0,59	100,45	100,47	0	0	7,66	5,16	-2,5			
2018-06-09	16,4	15,88	30,5	28,04	22	49,4	56	68,18	3,88	1,05	100,28	100,29	0	0,11	8,42	5,21	-3,21			
2018-06-10	18,5	16,66	28,6	28,8	36	46,13	94	80,7	3,08	0,9	99,98	99,95	1,1	1,08	6,04	5,21	-0,83			
2018-06-11	16,8	16,18	25,9	24,29	37	56,2	97	92,8	4,13	2,88	99,85	99,78	12	4,1	5,72	4,49	-1,23			
2018-06-12	13,3	13,48	22,7	21,66	35	48,7	87	86,1	3,92	2,49	99,8	99,82	0	0	5,41	4,36	-1,05			
2018-06-13	11,8	10,97	20,5	18,9	48	57,5	91	90,4	3,33	1,63	99,98	100,01	0	0,26	4,37	3,62	-0,75			
2018-06-14	13,9	12,94	21,9	21,14	39	49,25	84	91,61	3,5	1,66	100,4	100,37	0	0,25	4,95	4,03	-0,92			
2018-06-15	11,2	12,22	24,3	22,99	29	41,84	87	75,97	1,71	0,77	100,56	100,57	0	0	5,3	4,37	-0,93			
2018-06-16	16,5	14,62	26,2	24,35	25	45,47	70	80,74	1,58	0,3	100,65	100,64	0	0,32	5,35	4,15	-1,2			
2018-06-17	17,9	15,42	29,8	27,57	22	40,2	69	85,1	3,13	1,75	100,43	100,45	0	0,43	7,38	5,55	-1,83			
2018-06-18	16	15,26	24,6	24,25	36	45,8	91	89,67	2,83	1,82	100,81	100,78	4	0,41	5,19	4,64	-0,55			
2018-06-19	17,8	15,4	25,5	24,95	37	51,2	69	76,24	4,17	2,06	100,97	100,96	0	0,54	6,19	4,92	-1,27			
2018-06-20	15,4	15,16	27,3	25,29	35	50,73	83	93	2,71	1,17	101,03	101,02	0	0	6,08	4,6	-1,48			
2018-06-21	11,6	12,7	30,9	28,26	26	54,08	69	85,6	6,29	5,67	100,06	100,04	0,7	2,13	9,49	6,55	-2,94			
2018-06-22	9,5	9,62	17,1	17,28	42	48,3	74	81,7	5,38	1,92	100,52	100,5	0	0,72	4,6	3,69	-0,91			
2018-06-23	10	10,05	18,2	16,35	43	59,32	84	88,6	4,75	2,01	100,59	100,6	0,4	2,69	4,49	3,2	-1,29			
2018-06-24	11,4	9,49	18,4	17,21	51	64,7	94	95,85	4,88	2,67	100,55	100,57	5,4	5,41	3,94	3,29	-0,65			
2018-06-25	10,5	9,78	22	19,25	42	62,4	97	90,56	4,04	1,97	100,82	100,82	2,2	0,66	5,06	3,77	-1,29			
2018-06-26	12	12,15	21,3	21,15	45	53,11	96	86,99	3,25	3,2	101,01	101,01	8	3,57	4,53	4,39	-0,14			
2018-06-27	10,9	11,53	24,9	23,35	40	52,63	95	93,7	4	1,69	101,32	101,33	0	0,22	5,89	4,61	-1,28			
2018-06-28	16,4	15,45	26,3	25,29	40	51,6	76	88,1	5,21	6,12	100,85	100,87	0	0,11	6,59	5,65	-0,94			
2018-06-29	13,8	13,71	28	27,51	28	40,62	70	76,5	5,67	7,05	100,36	100,38	0	0	8,21	7,57	-0,64			
2018-06-30	9,1	10,25	19,1	18,75	30	41,5	83	76,1	5,75	7,1	100,73	100,76	0	0,01	5,45	5,18	-0,27			
															Σ	34,1	55,76	182,93	140,36	-42,57



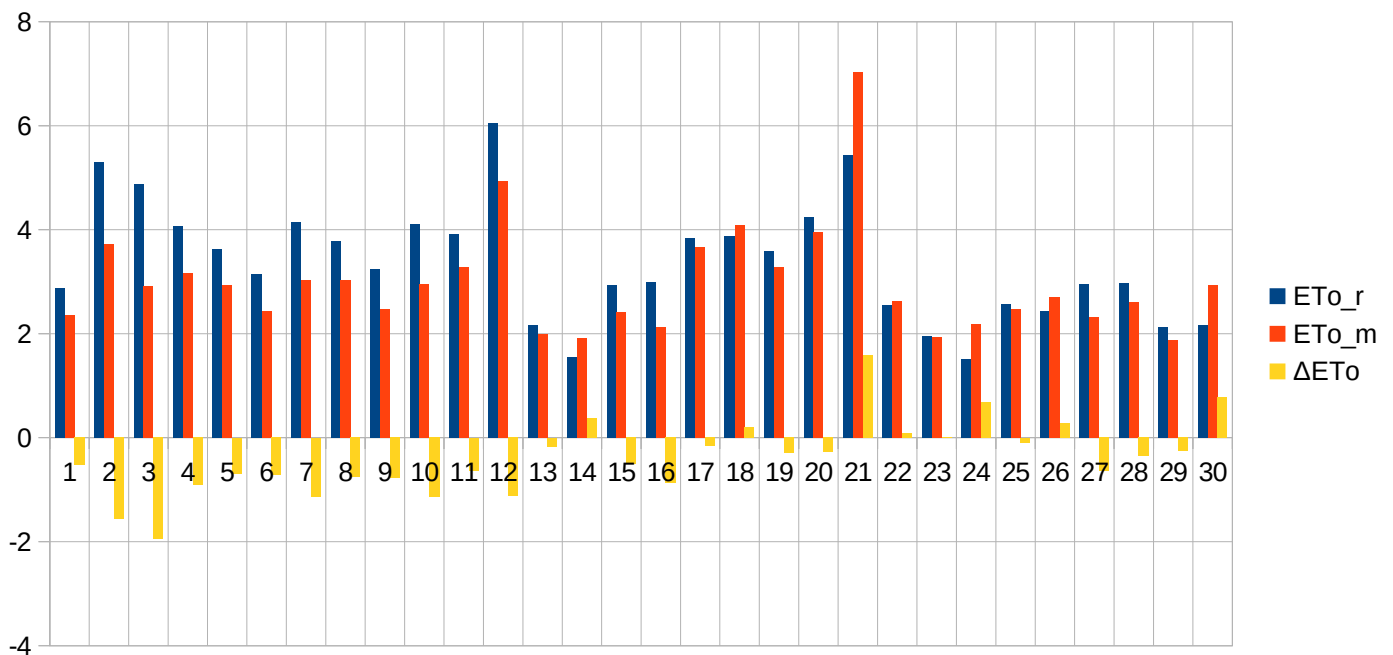
Data	T _{min_r}	T _{min_m}	T _{max_r}	T _{max_m}	RH _{min_r}	RH _{min_m}	Rh _{max_r}	RH _{max_m}	V _r	V _m	P _r	P _m	R _r	R _m	ET _{o_r}	ET _{o_m}	ΔET _o
2018-07-01	8	9,2	18	16,75	41	53,22	79	75,1	4	5,45	100,86	100,87	0	0,66	4,57	4,1	-0,47
2018-07-02	7,4	8,86	21,4	18,81	34	51,7	85	81,6	4,08	2,98	100,61	100,63	0	0,54	5,57	4,17	-1,4
2018-07-03	12,1	10,85	26,3	24,45	24	37,1	74	81,15	3,58	2,02	100,42	100,46	0	0	6,94	5,37	-1,57
2018-07-04	13,8	14,17	29,4	28,09	13	27,17	73	64,07	2,33	0,85	100,31	100,34	0	0	7,12	5,32	-1,8
2018-07-05	13,3	16,31	30,8	29,5	25	37,89	71	82,95	3,29	1,98	99,94	99,96	0	2,27	7,77	6,05	-1,72
2018-07-06	14,9	14,29	22,4	20,46	43	62,1	86	90,5	5,21	2,37	100,32	100,31	0	1,62	5,17	3,55	-1,62
2018-07-07	12,3	11,66	23,8	23,51	31	42,5	80	83,1	4,13	2,31	100,67	100,65	0	0	6,07	5,03	-1,04
2018-07-08	15,2	14,41	26,4	24,63	31	47,2	91	84,3	2,38	0,99	100,73	100,73	0,3	0,11	5,61	4,45	-1,16
2018-07-09	14,6	14,87	27	24,8	31	46,4	82	85,08	3,71	1,71	100,57	100,6	0	0,65	6,57	4,71	-1,86
2018-07-10	14,7	14,69	23,3	21,65	45	61,2	82	87,6	2,42	1,43	100,44	100,46	0	2,19	4,67	3,66	-1,01
2018-07-11	14,5	15,97	21,4	22,87	68	60	94	93,8	2,58	1	100,34	100,26	17	7,38	3,54	3,65	0,11
2018-07-12	14,5	14,4	21,4	21,01	55	58	96	91,7	3,08	1,57	100,18	100,15	68,8	8,38	3,88	3,56	-0,32
2018-07-13	14,5	13,8	23,6	22,35	57	65,1	96	95,64	3,96	4,3	100,39	100,37	3	6,29	4,46	3,96	-0,5
2018-07-14	17,2	15,34	25,9	23,65	41	60,02	88	94,6	5,88	5,78	100,52	100,53	0	3,28	6,08	4,47	-1,61
2018-07-15	13,4	12,97	26,2	25,69	38	47,57	90	92,5	3,83	3,08	100,53	100,54	0	0,42	6,01	5,32	-0,69
2018-07-16	14,8	14,45	27,9	26,78	38	47,05	90	91,6	3,17	2,71	100,24	100,21	2	1,22	6,09	5,37	-0,72
2018-07-17	17,8	17,79	20,9	20,35	82	82,5	95	94,2	4,79	5,82	99,85	99,83	30,1	14,53	2,47	2,34	-0,13
2018-07-18	17,9	18,25	19	21,14	88	82,33	95	95,32	6,42	9,09	99,96	99,9	17	8,8	1,65	2,43	0,78
2018-07-19	17,4	17,55	21,5	23,18	80	68,22	94	95,59	4,92	5,15	100,26	100,26	0,4	7,45	2,78	3,62	0,84
2018-07-20	14,6	14,55	25,5	24,95	34	44,92	86	84,09	3,92	2,6	100,31	100,31	0	0	5,9	4,98	-0,92
2018-07-21	12,3	14,93	26	25,83	30	39,21	90	90,38	2,29	1,2	100,16	100,18	0	0	5,57	4,6	-0,97
2018-07-22	13,8	15,15	27,1	25,56	36	45,9	88	86,76	3,04	1,89	100,15	100,14	0	0	5,91	4,72	-1,19
2018-07-23	15,6	16,65	28,2	27,75	35	40,94	84	86,82	2,25	1,76	100,37	100,34	0	0	5,7	5,09	-0,61
2018-07-24	16,3	16,31	27,9	27,65	41	47,5	87	88	3,88	4,03	100,43	100,42	0	0	6,03	5,73	-0,3
2018-07-25	16,1	17,45	27,9	27,77	41	46,2	89	87,5	3,04	1,48	100,44	100,42	0	0	5,68	4,75	-0,93
2018-07-26	16,7	17,48	29,7	28,91	34	45,6	92	89,84	3,29	1,65	100,59	100,57	0	0	6,38	5,06	-1,32
2018-07-27	19,6	19,2	29,8	29,15	43	47,11	90	94,33	3,63	0,77	100,5	100,46	0,4	0,01	5,94	4,44	-1,5
2018-07-28	18,9	18,81	30,2	29,78	34	44,5	87	93,08	2,29	0,44	100,03	99,98	0	0,11	5,78	4,44	-1,34
2018-07-29	19,8	20,57	27,9	27,78	42	51,32	84	83	4,21	2,08	100,4	100,32	0	3,89	5,75	4,5	-1,25
2018-07-30	16,5	18,84	30,4	30,63	31	40,96	95	92,8	2	0,85	100,71	100,68	0	0	5,81	4,81	-1
2018-07-31	18,6	21,14	32,8	32,35	32	38,23	86	78,3	2,25	0,46	100,73	100,72	0	0	6,42	4,62	-1,8
Σ													139	69,8	167,89	138,87	-29,02



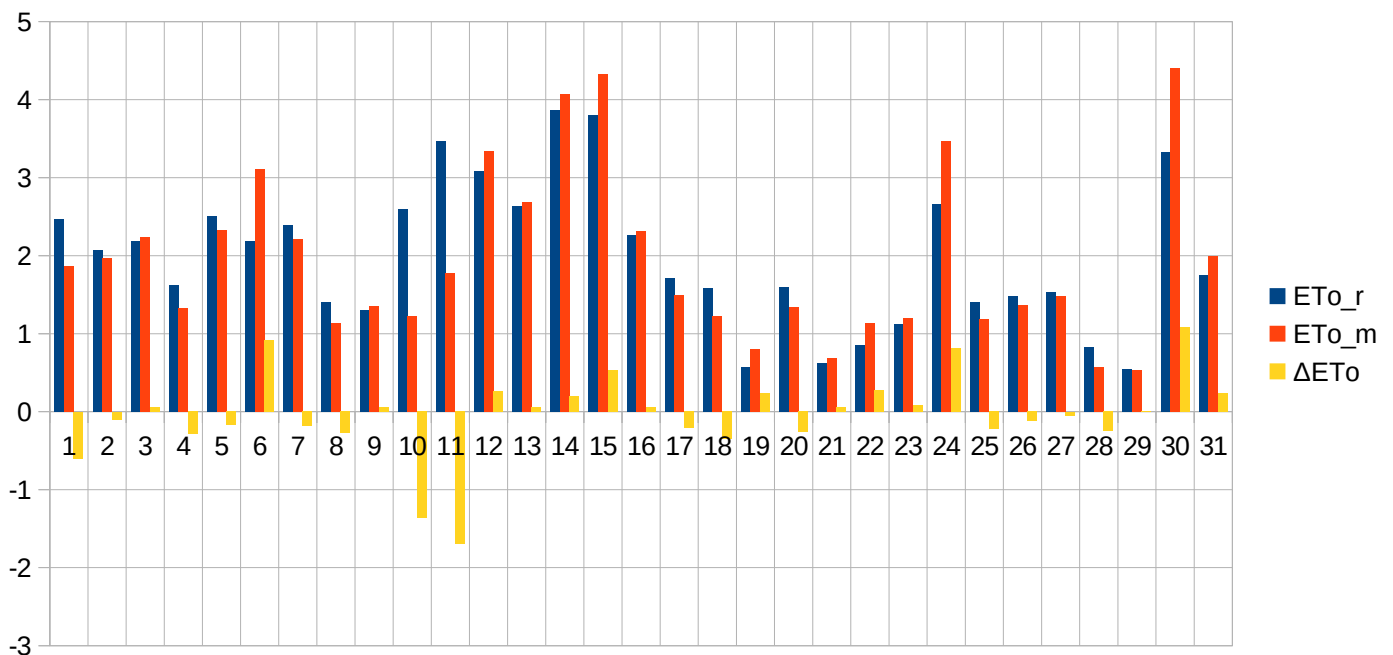
Data	T _{min_r}	T _{min_m}	T _{max_r}	T _{max_m}	RH _{min_r}	RH _{min_m}	Rh _{max_r}	RH _{max_m}	V _r	V _m	P _r	P _m	R _r	R _m	ET _{o_r}	ET _{o_m}	ΔET _o		
2018-08-01	21,3	22,15	33,9	32,47	29	36,62	79	72,6	2,92	0,61	100,86	100,85	0	0	7,09	4,62	-2,47		
2018-08-02	20,9	22,11	32,6	33,05	35	39,18	80	73,3	2,88	0,72	101,02	101,01	0	0,11	6,52	4,82	-1,7		
2018-08-03	19,7	21,38	32	31,25	31	41,02	90	88,1	3,29	2,54	101,05	101,01	0	0,87	6,68	5,58	-1,1		
2018-08-04	16,3	19,48	32,3	32,43	28	35,5	77	70,6	2	0,73	100,67	100,65	0	0,11	6,29	4,9	-1,39		
2018-08-05	17,5	17,76	27,2	26,65	35	47,08	91	82,83	4,79	3,66	100,66	100,64	0,6	0,76	5,99	5,12	-0,87		
2018-08-06	14,6	15,97	26,3	25,95	35	41,03	79	77,8	2,88	1,3	100,79	100,77	0	0	5,4	4,25	-1,15		
2018-08-07	14,4	17,19	30,9	30,05	21	32,59	86	70,24	3,54	2,25	100,56	100,53	0	0	7,24	5,82	-1,42		
2018-08-08	19,8	20,22	33,7	32,71	30	35,9	63	65,14	4,71	4,11	100,28	100,3	0	0	8,52	7,48	-1,04		
2018-08-09	21,9	22,23	34,1	33,35	31	38,6	69	77,85	3,54	2,61	100,35	100,35	0	1,4	7,44	6,12	-1,32		
2018-08-10	16,3	17,35	26,3	26,27	52	54,19	89	78,21	3,75	2,75	100,82	100,85	2	2,28	4,76	4,5	-0,26		
2018-08-11	13,8	15,68	23,7	22,46	39	47,37	94	81,29	3,04	2,37	100,97	100,98	1,7	1,65	4,48	3,8	-0,68		
2018-08-12	11,3	13,72	24,8	24,39	28	33,78	79	65,76	3,58	2,2	100,74	100,73	0	0	5,67	4,72	-0,95		
2018-08-13	13,7	16,69	31,7	30,98	18	28,72	70	66,61	2,5	1,91	99,85	99,88	0	0,86	6,6	5,68	-0,92		
2018-08-14	18,2	18,79	25,6	25,49	38	45,2	93	85,5	4,21	1,92	99,94	99,89	1,4	4,97	4,92	3,85	-1,07		
2018-08-15	17,3	17,22	24,3	23,74	47	53,5	90	87,69	4,46	1,89	100,59	100,53	2	0,23	4,46	3,44	-1,02		
2018-08-16	16,5	16,19	27	25,83	31	43,7	83	83,3	1,96	0,46	100,85	100,83	0	0	4,65	3,36	-1,29		
2018-08-17	15,7	18,24	29	28,24	33	39,12	80	64,56	2,83	1,21	100,56	100,55	0	0	5,64	4,2	-1,44		
2018-08-18	16,6	19,17	27,6	27,19	40	45,99	88	77,45	3,17	1,76	100,86	100,84	0	0,55	5,07	4,07	-1		
2018-08-19	17,4	18,95	29,3	28,41	27	32,78	80	66,86	1,88	0,72	100,9	100,9	0	0	4,99	3,7	-1,29		
2018-08-20	16,2	18,98	27,6	26,66	39	49,77	73	78,8	4,83	2,39	100,49	100,5	0	0	6,1	4,14	-1,96		
2018-08-21	14,1	15,85	23,4	23,45	36	41,4	75	79,97	3,42	2,23	100,95	100,94	0	0	4,71	3,84	-0,87		
2018-08-22	11,8	14,35	27,2	26,55	30	35,31	83	75,8	2,92	0,75	100,95	100,96	0	0	5,41	3,62	-1,79		
2018-08-23	17,2	19,8	31,7	31,02	26	31,26	65	62,4	3,33	1,53	100,23	100,23	0	0	6,76	4,76	-2		
2018-08-24	17,8	18,35	25,5	25,85	46	57,5	87	79,5	3	2,5	99,76	99,72	3	7,46	4,12	3,77	-0,35		
2018-08-25	13,4	15,4	21,4	21,65	38	41,01	90	86,22	2,58	1,83	99,96	99,92	1,6	4,89	3,63	3,19	-0,44		
2018-08-26	9,7	13,11	18,8	18,68	40	45,49	88	73,8	3,08	1,09	100,43	100,39	0,2	0,04	3,5	2,56	-0,94		
2018-08-27	7	11,82	22,8	22,58	26	36,99	91	62,45	2,96	4,94	100,45	100,48	0	0	4,61	5,3	0,69		
2018-08-28	12,4	16,1	22,2	21,54	35	45,6	78	80,6	3,42	1,69	100,77	100,76	0	0,59	4,36	2,97	-1,39		
2018-08-29	10,5	14,05	25	24,26	30	38,8	89	76,7	3,08	1,05	100,79	100,81	0	0	4,8	3,25	-1,55		
2018-08-30	14,8	15,79	26,4	26,55	41	47,93	84	83,72	4,38	2,67	100,36	100,33	0,8	2,27	5,1	4,15	-0,95		
2018-08-31	14,9	14,65	19,7	20,55	58	58,19	90	87,93	4,33	1,74	100,83	100,81	0	0,22	2,97	2,59	-0,38		
Σ															13,3	29,26	168,48	134,17	-34,31



Data	T _{min_r}	T _{min_m}	T _{max_r}	T _{max_m}	RH _{min_r}	RH _{min_m}	Rh _{max_r}	RH _{max_m}	V _r	V _m	P _r	P _m	R _r	R _m	ET _{o_r}	ET _{o_m}	ΔET _o			
2018-09-01	13,7	14,45	20,8	19,74	52	58,07	91	85,6	2,21	1,36	101,35	101,34	0,6	7,34	2,88	2,36	-0,52			
2018-09-02	14,5	15,7	27,1	26,05	43	49,69	94	86,17	5,67	2,3	101,34	101,37	5	2,48	5,29	3,73	-1,56			
2018-09-03	16,2	17,55	26,6	25,75	43	50,7	87	83,5	4,54	0,99	100,89	100,87	0	0	4,87	2,92	-1,95			
2018-09-04	14,6	15,81	24,4	24,56	38	45,7	89	86,6	3,13	1,57	100,52	100,51	0	0,11	4,07	3,16	-0,91			
2018-09-05	12,9	14,75	23,3	23,07	43	48,3	96	91,4	2,96	1,67	100,72	100,7	0	0,11	3,62	2,93	-0,69			
2018-09-06	13	14,22	23,2	23,41	45	46,2	97	94,4	2	0,49	100,43	100,39	0	0	3,15	2,43	-0,72			
2018-09-07	12	15,49	26,1	25,4	33	40,8	93	81,63	2,46	1,11	100,18	100,15	0	1,62	4,15	3,02	-1,13			
2018-09-08	10,9	14,75	21,4	21,25	31	35	91	86,7	3,13	2,03	100,86	100,89	0,3	0,76	3,78	3,03	-0,75			
2018-09-09	8,2	13,11	23,1	23,06	35	40,6	88	57,8	1,58	0,62	101,16	101,19	0	0	3,25	2,47	-0,78			
2018-09-10	10	14,42	25,9	24,96	27	32,2	85	71,6	2,17	1,04	101,06	101,08	0	0	4,1	2,96	-1,14			
2018-09-11	15,9	17,05	24	23,85	36	46,6	78	76,3	2,96	2,35	100,95	100,98	0	0,22	3,91	3,28	-0,63			
2018-09-12	15,6	17,25	29,1	27,72	26	38,16	80	76	4,46	3,89	100,81	100,83	0	0	6,05	4,93	-1,12			
2018-09-13	11,9	14,37	17,6	18,15	63	61,3	93	77,61	3,08	1,57	101	100,96	2	0,97	2,17	2	-0,17			
2018-09-14	12,5	13,28	16,8	18,39	78	58	95	86,2	1,92	1,24	100,96	100,94	3,2	1,3	1,55	1,92	0,37			
2018-09-15	12,1	12,38	19,5	19,87	44	43,3	97	90	3,58	1,65	100,98	100,98	0	0,06	2,93	2,42	-0,51			
2018-09-16	10,7	11,49	20,8	19,97	41	44,1	88	89	2,5	0,98	101,37	101,36	0	0	2,99	2,12	-0,87			
2018-09-17	11,9	13,64	25,6	24,45	28	39,4	79	73	2,25	2,63	101,03	101,04	0	0	3,83	3,67	-0,16			
2018-09-18	11,4	15,65	27,7	26,35	30	38,9	87	73,9	2,13	3,02	100,7	100,72	0	0	3,88	4,09	0,21			
2018-09-19	15,2	17,35	27,6	27,64	36	42,1	79	77,2	2	1,8	100,7	100,7	0	0	3,58	3,28	-0,3			
2018-09-20	15,7	18,87	29,6	28,45	33	42,61	81	72,7	2,5	2,71	100,69	100,7	0	0	4,24	3,96	-0,28			
2018-09-21	12,5	16,05	29	28,71	31	38,6	92	78,9	4,63	9,63	99,97	99,93	0	4,32	5,44	7,03	1,59			
2018-09-22	10,8	12,26	15,6	16,27	54	47,8	90	69,6	5,75	3,12	100,55	100,55	14	2,66	2,55	2,63	0,08			
2018-09-23	8,4	9,75	14	14,85	59	55	94	91,1	4,21	2,92	100,09	100,11	10,2	12,92	1,95	1,94	-0,01			
2018-09-24	5,2	7,7	10,8	11,45	72	58,5	93	84,1	6,75	6,86	100,73	100,71	26	5,57	1,51	2,19	0,68			
2018-09-25	4	6,12	14,1	13,45	44	41,1	92	76,5	4,83	3,46	102,23	102,21	0	0,54	2,57	2,48	-0,09			
2018-09-26	3,4	5,86	13,9	13,55	45	43,01	92	71,8	4,5	4,29	102,14	102,18	0	0	2,44	2,71	0,27			
2018-09-27	13,3	12,17	18,4	19,2	48	53,4	84	79,7	4,71	2,47	101,38	101,37	0	0,01	2,95	2,31	-0,64			
2018-09-28	7,1	9,38	16,1	16,15	39	49	88	86,6	4,88	4,67	100,87	100,86	0	0,22	2,97	2,61	-0,36			
2018-09-29	3,5	6,91	14,2	13,85	36	40,15	90	80,6	2,46	1,89	101,6	101,61	0	0	2,12	1,87	-0,25			
2018-09-30	3,6	6,95	15,9	15,58	34	37,7	87	65	2,08	3,69	100,9	100,93	0	0	2,16	2,94	0,78			
															Σ	61,3	41,21	100,95	89,39	-11,56

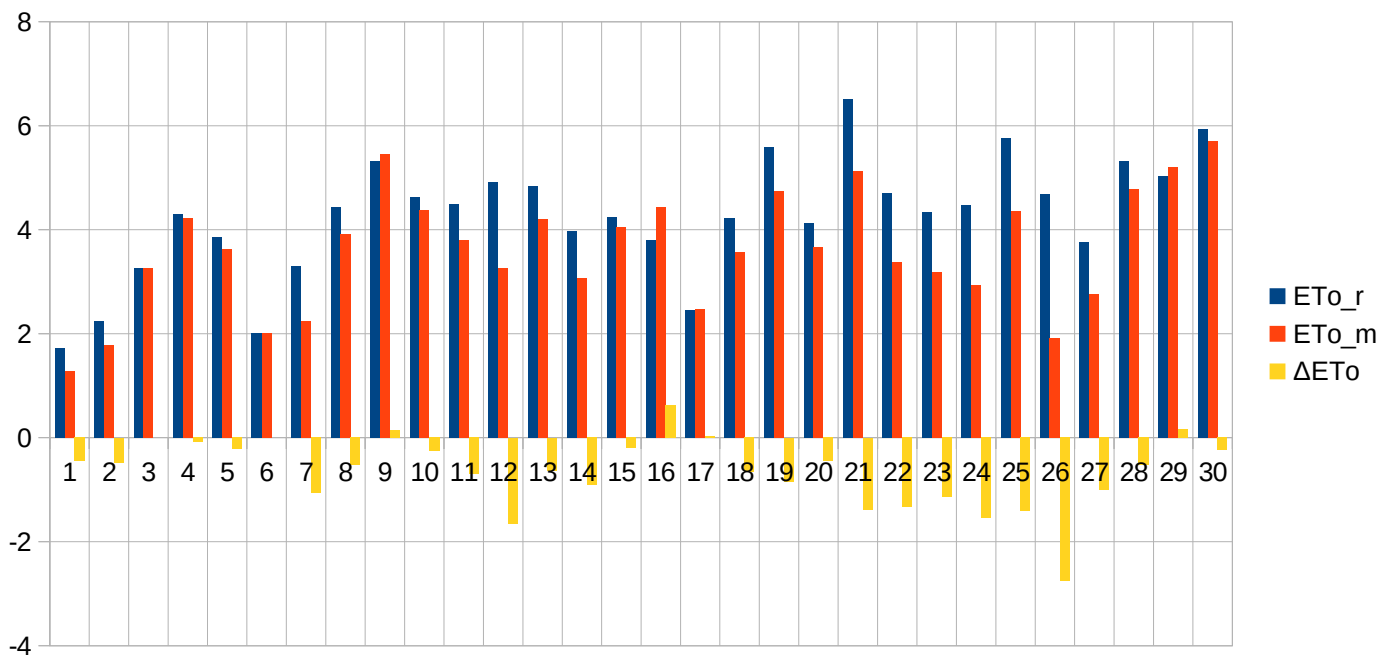


Data	T _{min_r}	T _{min_m}	T _{max_r}	T _{max_m}	RH _{min_r}	RH _{min_m}	Rh _{max_r}	RH _{max_m}	V _r	V _m	P _r	P _m	R _r	R _m	ET _{o_r}	ET _{o_m}	ΔET _o	
2018-10-01	1,5	7,37	16,5	16,37	36	40,7	92	85,2	2,92	1,67	100,04	100,02	0	0,32	2,47	1,87	-0,6	
2018-10-02	6,9	6,45	11,2	11,46	52	50,7	92	86,9	6,46	4,41	100,25	100,21	0	1,08	2,07	1,97	-0,1	
2018-10-03	7,9	8,26	11,9	12,43	56	54,1	89	74,8	7,58	4,66	100,24	100,18	3,2	3,02	2,18	2,24	0,06	
2018-10-04	4,8	6,68	13,1	12,95	64	64,56	92	86,31	4,08	2	101,4	101,38	0	0	1,62	1,33	-0,29	
2018-10-05	8,8	8,65	18,6	18,24	43	48,8	87	89,92	3,17	3,39	101,27	101,29	0	0	2,5	2,33	-0,17	
2018-10-06	6,1	9,56	19,5	18,65	46	44,2	89	71,81	2,42	4,39	100,3	100,31	0	0	2,19	3,11	0,92	
2018-10-07	8,6	8,06	18,9	17,45	59	61,29	84	84,52	4,42	4,65	100,36	100,36	0	0,02	2,39	2,21	-0,18	
2018-10-08	3,7	6,12	13,9	13,39	50	50,81	95	88,7	1,83	1,04	101,32	101,35	0	0	1,41	1,14	-0,27	
2018-10-09	5	7,5	16,3	16,38	60	57,93	92	83,5	1,5	1,4	101,33	101,34	0	0	1,3	1,35	0,05	
2018-10-10	6,5	11,07	22,5	21	44	48,35	95	85,9	2,96	0,65	101,45	101,48	0	0	2,59	1,23	-1,36	
2018-10-11	11,1	12,32	22,6	21,5	44	47,2	81	73,27	4,79	1,4	101,26	101,28	0	0	3,47	1,77	-1,7	
2018-10-12	11,6	13,42	23	22,51	41	42,3	86	75,24	3,71	4,07	101,44	101,45	0	0	3,08	3,34	0,26	
2018-10-13	8,3	12,12	22,7	21,79	38	39,51	91	73,68	2,79	2,75	101,57	101,56	0	0	2,64	2,69	0,05	
2018-10-14	11,1	12,77	23,5	22,4	32	38,13	82	64,5	4,5	4,99	101,03	101,05	0	0	3,87	4,07	0,2	
2018-10-15	11,6	12,94	22,6	21,58	27	32,9	65	57,9	3,75	5,05	100,85	100,86	0	0	3,8	4,33	0,53	
2018-10-16	7,2	11,98	22,1	20,88	34	38,4	83	62,7	2,13	2,14	100,9	100,92	0	0	2,26	2,32	0,06	
2018-10-17	6,7	11,29	20,3	19,96	43	42,85	91	70,9	1,83	1,25	100,97	100,96	0	0	1,71	1,5	-0,21	
2018-10-18	5,2	11,26	19,8	19,05	46	50,7	94	77,5	1,83	1,1	100,91	100,92	0	0	1,58	1,23	-0,35	
2018-10-19	10,1	9,69	13,1	13,87	91	72,9	97	96,1	1,54	1,41	101,3	101,29	0	0	0,57	0,8	0,23	
2018-10-20	8	8,91	12	12,19	51	55,5	95	88,3	4,08	2,66	101,54	101,57	0,2	2,02	1,6	1,34	-0,26	
2018-10-21	2,7	6,73	9,8	11,8	77	66	95	94,5	1,71	0,97	101,78	101,77	0,6	1,03	0,62	0,68	0,06	
2018-10-22	1	5,93	11,3	12,32	72	63,98	97	90,4	3	2,8	101,5	101,52	0,8	1,62	0,85	1,13	0,28	
2018-10-23	3,1	5,5	10,5	10,88	75	75,7	94	83,9	7,88	5,37	100,01	100,02	12	7,67	1,12	1,2	0,08	
2018-10-24	4,1	5,75	10,4	10,2	35	34,9	86	73,77	8,29	13,3	99,74	99,74	3	0,97	2,66	3,47	0,81	
2018-10-25	4,1	4,75	11,7	11,12	67	72,05	95	84,85	7,54	4,65	99,71	99,68	4,3	3,46	1,41	1,19	-0,22	
2018-10-26	7,8	7,11	11,3	11,1	65	61	80	83,05	4,33	3,56	99,62	99,62	0	0,22	1,48	1,36	-0,12	
2018-10-27	4,1	5,93	10,1	9,91	60	56,4	81	81,3	5	3,98	99,39	99,38	0	0,29	1,53	1,48	-0,05	
2018-10-28	3,7	5,01	7	7,56	75	68,53	92	84,9	4,42	0,91	100,37	100,38	1	5,98	0,82	0,57	-0,25	
2018-10-29	2,7	4,33	9,5	9,87	89	79	95	93,9	6,88	1,78	99,9	99,87	12	10,75	0,54	0,53	-0,01	
2018-10-30	10,1	11,46	19,4	19,18	38	48,13	90	83,74	6,75	17,48	99,02	99,1	0	0,43	3,32	4,4	1,08	
2018-10-31	5,1	7,73	13,3	13,3	43	46,95	87	76,8	3,67	4,08	100,82	100,86	0	0	1,75	1,99	0,24	
															Σ	37,1	38,88	-1,23

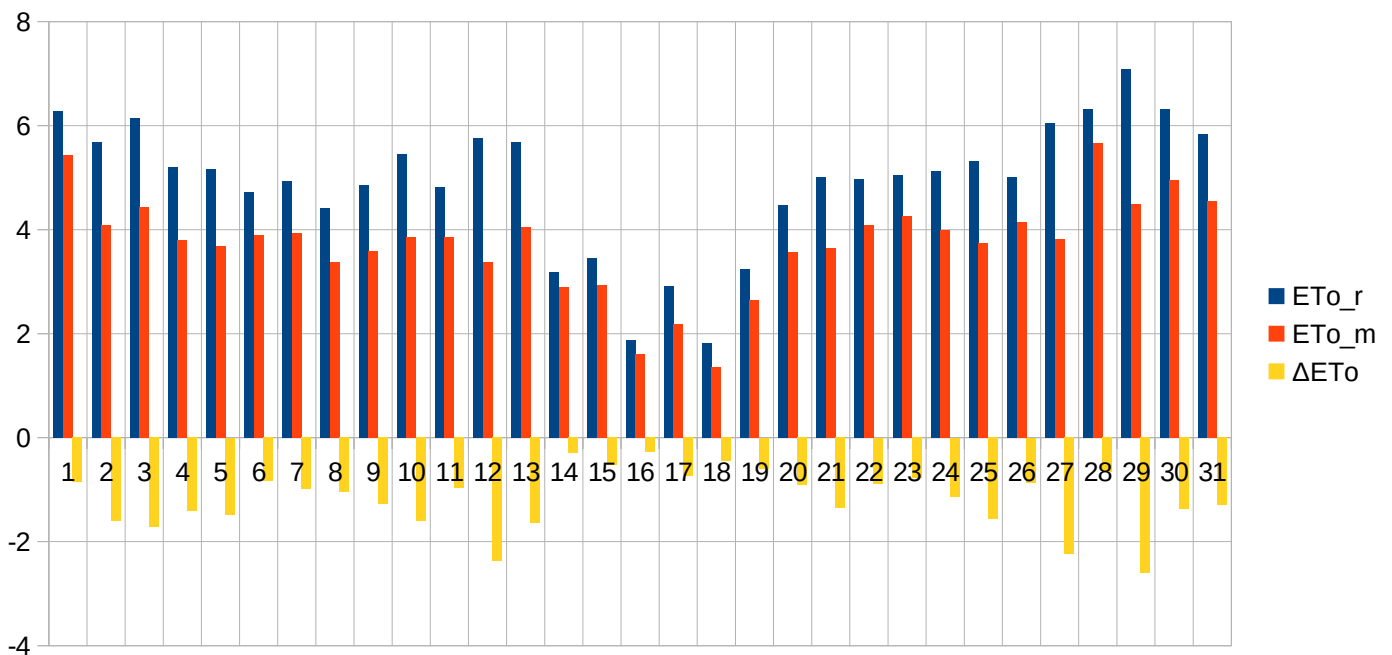


III.2.5. Okres wegetacyjny 2018 roku. Rzeszów.

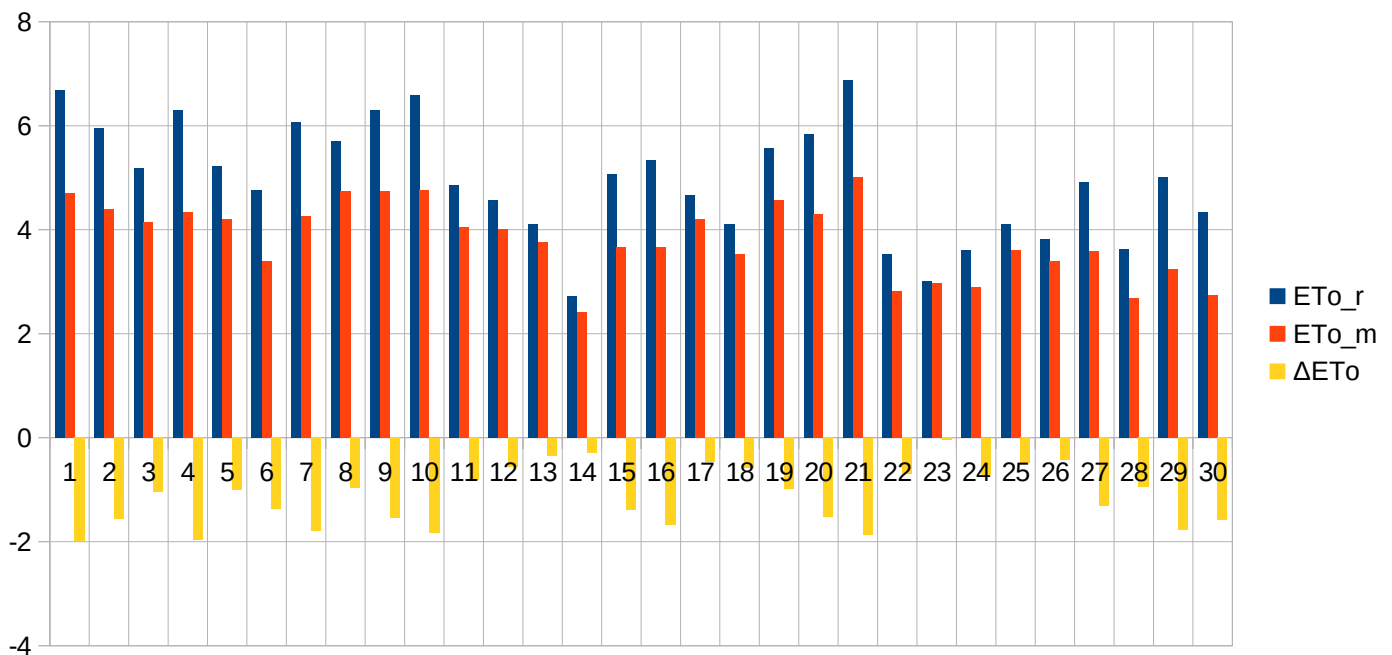
Data	T _{min_r}	T _{min_m}	T _{max_r}	T _{max_m}	RH _{min_r}	RH _{min_m}	Rh _{max_r}	RH _{max_m}	V _r	V _m	P _r	P _m	R _r	R _m	ET _{o_r}	ET _{o_m}	ΔET _o			
2018-04-01	2,5	2,52	10,9	8,81	73	81,2	95	97,3	7,46	4,42	96,86	97,07	11,3	13,18	1,72	1,27	-0,45			
2018-04-02	0,6	1,58	8,2	7,35	52	58,4	87	80,9	7,58	3,21	98,23	98,56	4	0,97	2,25	1,77	-0,48			
2018-04-03	-1,4	1,46	15	14,06	42	59,1	91	78,9	4,92	17,24	98,67	99,08	0	0	3,27	3,27	0			
2018-04-04	7,5	8,49	19,2	18,05	34	54,9	70	82,7	4,33	16,85	98,48	98,82	0	0,01	4,31	4,23	-0,08			
2018-04-05	7	9,81	19,4	19,45	41	51,71	85	90,22	4,13	5,98	98,36	98,63	1	5,98	3,85	3,63	-0,22			
2018-04-06	2,5	4,01	10,4	10,57	58	60,93	97	92,76	4,08	4,6	99,41	99,75	7	2,84	2,02	2,02	0			
2018-04-07	-2,5	1,35	15,6	14,2	41	53,98	95	88,6	4,29	0,92	99,96	100,27	0	0	3,31	2,25	-1,06			
2018-04-08	5,5	7,85	22,4	22	45	47,7	93	89,5	5,08	3,56	99,38	99,68	0	0,18	4,44	3,92	-0,52			
2018-04-09	8	10,64	24,5	22,85	29	43,9	89	84,2	4,17	9,28	98,67	98,95	0	0	5,31	5,45	0,14			
2018-04-10	8,3	11,35	22,7	20,95	30	49,09	85	80,9	3,29	6,38	98,47	98,73	0	0,01	4,62	4,37	-0,25			
2018-04-11	6,8	9,31	22,7	21,25	28	39,11	93	89,68	2,88	2,67	98,59	98,84	0	0	4,49	3,79	-0,7			
2018-04-12	8,7	10,37	23,9	23,48	35	45,68	95	92,6	4,13	0,9	98,63	98,86	0	0	4,92	3,27	-1,65			
2018-04-13	11,1	11,35	23,3	23,28	43	47,1	83	89,3	4,92	3,64	98,78	99,02	0	0,36	4,83	4,2	-0,63			
2018-04-14	9,3	10,56	22,5	20,87	25	43	95	90,4	1,88	1,11	99,49	99,76	0	0	3,98	3,07	-0,91			
2018-04-15	4,7	10,52	23,3	23	25	37,2	90	74,5	1,92	2	99,34	99,64	0	0	4,25	4,05	-0,2			
2018-04-16	11,3	13,83	22,8	23,84	44	47,8	87	79,07	2,08	3,68	98,84	99,11	0	0,02	3,8	4,43	0,63			
2018-04-17	9,1	9,87	16,4	16,66	71	68,97	93	93,2	3,83	3,31	99,53	99,76	0	0,35	2,45	2,47	0,02			
2018-04-18	4,4	7,54	19,7	18,45	32	43,9	97	95,11	3,29	3,42	100,35	100,63	0	0,06	4,22	3,56	-0,66			
2018-04-19	7,2	7,88	21,7	20,75	29	48,37	82	81,42	5,63	7,41	100,11	100,42	0	0	5,59	4,75	-0,84			
2018-04-20	6,8	6,03	19,6	17,79	31	41,7	77	85,6	2,54	3,12	100	100,33	0	0	4,12	3,67	-0,45			
2018-04-21	7,2	8,42	26,3	24,85	28	45,2	77	70,6	4,83	3,61	99,12	99,5	0	0,29	6,51	5,13	-1,38			
2018-04-22	6,7	8,74	20,6	19,19	23	39,9	77	83,5	2,88	1,49	99,04	99,34	0	0,01	4,7	3,37	-1,33			
2018-04-23	3,1	7,44	21,8	20,95	28	41,1	89	83,75	2,08	0,36	98,81	99,08	0	2,92	4,33	3,19	-1,14			
2018-04-24	12,7	12,8	21,2	18,85	34	54,77	91	95,5	4,04	2,33	98,84	99,08	0,2	1,84	4,47	2,93	-1,54			
2018-04-25	10,3	10,36	24,7	23,02	30	45,6	89	90,3	4,38	2,94	98,48	98,76	0	0,32	5,76	4,35	-1,41			
2018-04-26	0	9,37	15,6	12,83	0	71,7	90	92,5	3,38	2,25	98,87	99,01	2,2	7,64	4,68	1,92	-2,76			
2018-04-27	3,8	5,13	16,9	14,56	32	47,6	95	91,4	2,67	1,24	99,25	99,55	0	0,03	3,77	2,76	-1,01			
2018-04-28	4,9	6,57	24	21,75	32	53,89	87	79,46	3,38	6,29	99,01	99,36	0	0	5,31	4,78	-0,53			
2018-04-29	9	13,84	25	24,13	47	55	92	84,9	3,63	8,6	98,8	99,09	0	0	5,04	5,21	0,17			
2018-04-30	13,2	15,52	26,5	24,99	34	52,5	92	88,62	4,33	11,32	98,35	98,6	0	0	5,93	5,7	-0,23			
															Σ	25,7	37,01	128,25	108,78	-19,47



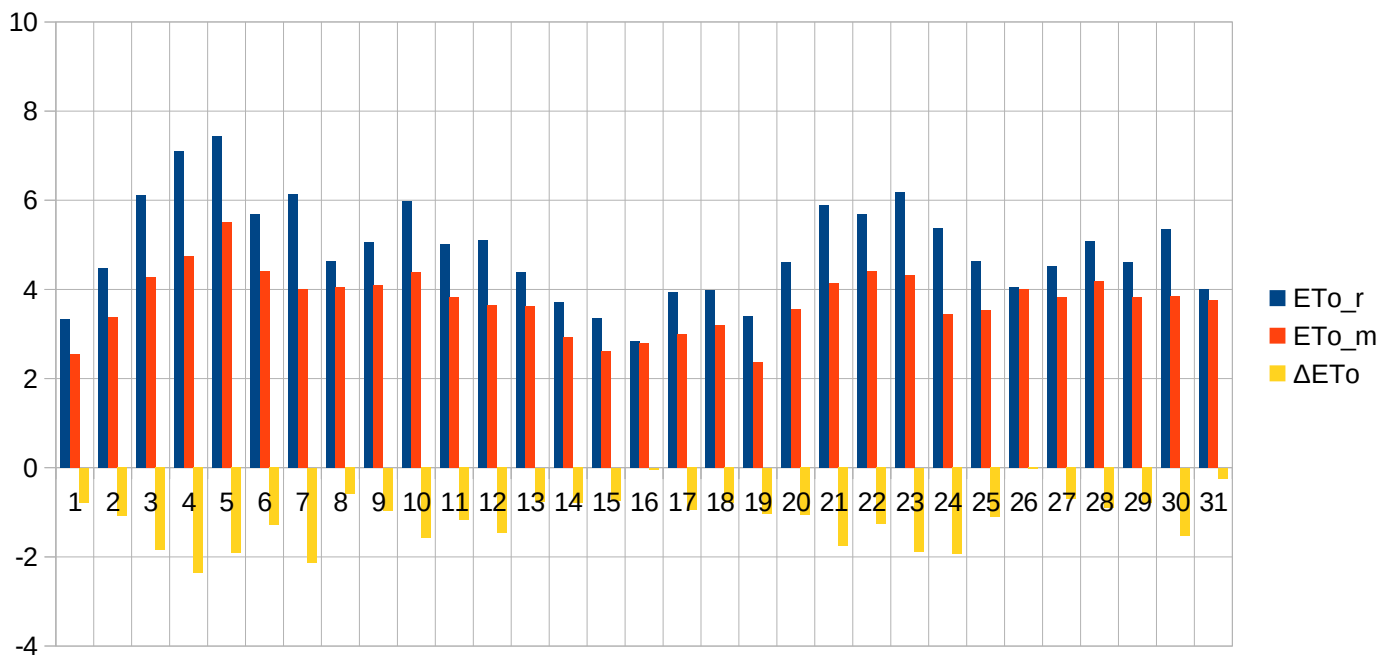
Data	T _{min_r}	T _{min_m}	T _{max_r}	T _{max_m}	RH _{min_r}	RH _{min_m}	Rh _{max_r}	RH _{max_m}	V _r	V _m	P _r	P _m	R _r	R _m	ET _{o_r}	ET _{o_m}	ΔET _o	
2018-05-01	13,6	15,05	26,5	23,82	29	55,3	89	86,15	4,54	12,86	98,48	98,75	0	0	6,28	5,43	-0,85	
2018-05-02	9,5	12,52	26,8	24,9	32	50,9	89	85,9	2,88	1,06	98,86	99,07	0	0,22	5,68	4,08	-1,6	
2018-05-03	11,7	14,45	27,9	26,35	26	45,4	86	93,1	2,92	1,47	98,55	98,75	0	0,15	6,15	4,43	-1,72	
2018-05-04	9,5	13,07	24,7	22,85	45	63,57	89	93,93	3,67	3,01	99,01	99,17	0	0	5,21	3,8	-1,41	
2018-05-05	9,7	11,64	21,9	20,11	31	60,3	79	97,29	3,54	7,11	99,54	99,72	0	0,05	5,17	3,69	-1,48	
2018-05-06	7	7,35	20	18,69	34	53,3	76	88,3	3,21	4,22	99,69	99,93	0	0	4,73	3,9	-0,83	
2018-05-07	5,1	7,01	20,8	18,98	34	51,2	90	92,48	3,5	3,79	99,42	99,69	0	0,96	4,93	3,94	-0,99	
2018-05-08	11,4	10,99	23,7	20,76	51	68,57	95	96,5	2,46	1,01	98,81	99,02	10,9	16,24	4,42	3,38	-1,04	
2018-05-09	12,7	12,55	24,6	22,25	42	65,61	96	96,63	2,79	1,1	98,48	98,67	1,6	9,9	4,85	3,58	-1,27	
2018-05-10	14,2	11,63	25,3	23,25	38	60,8	88	89,2	3,67	0,54	98,76	98,96	0	3,79	5,45	3,85	-1,6	
2018-05-11	11	12,99	24	23,44	44	59,5	95	90	2,71	0,86	99,15	99,4	0	3,8	4,82	3,85	-0,97	
2018-05-12	9,7	9,89	22,8	18,99	23	57,6	78	93,11	3,46	1,37	99,22	99,55	0	0	5,75	3,38	-2,37	
2018-05-13	5,5	8,22	24,9	21,86	26	52,7	91	86,89	2,75	0,93	98,93	99,16	0,5	4,38	5,68	4,04	-1,64	
2018-05-14	6,1	6,08	16	15,12	57	67,1	95	93,8	1,79	0,57	98,96	99,13	0,6	0,97	3,19	2,9	-0,29	
2018-05-15	4,3	6,47	17,3	15,86	62	80,6	98	94,23	2,92	0,83	98,75	98,95	0,6	1,81	3,46	2,93	-0,53	
2018-05-16	10,5	9,88	14,1	12,95	83	89,8	98	96,5	4,25	3,95	98,33	98,57	18	16,57	1,87	1,6	-0,27	
2018-05-17	11,8	10,48	16,9	15,25	64	80,5	96	94,4	4,88	6,81	98,28	98,51	8	4,44	2,92	2,18	-0,74	
2018-05-18	12,6	11,87	15,2	13,35	83	90,65	97	96,9	5,88	3,39	98,53	98,81	24,4	3,77	1,81	1,36	-0,45	
2018-05-19	12,3	10,46	18,3	16,55	60	74,9	95	97,9	3,38	2,67	99,15	99,43	0	0,81	3,24	2,65	-0,59	
2018-05-20	10,8	8,53	20,5	19,05	36	61,8	91	98,4	2,79	1,6	99,66	99,94	0	1	4,47	3,56	-0,91	
2018-05-21	6,2	7,27	20,1	18,65	34	58,64	94	92,7	3,92	1,32	99,6	99,86	0	0,12	5	3,65	-1,35	
2018-05-22	9,8	8,32	23	21,25	47	63,8	90	95,6	3,25	3,34	99,19	99,46	0	1,68	4,97	4,09	-0,88	
2018-05-23	10	12,95	25,4	23,95	43	57,8	96	92,9	1,42	1,14	99,42	99,66	0,3	3,42	5,04	4,26	-0,78	
2018-05-24	11,8	11,85	23,7	22,56	40	64	89	95,9	2,83	1,11	99,53	99,75	0	1,35	5,13	4	-1,13	
2018-05-25	8,8	10,65	23,8	20,83	41	65	95	95,7	2,96	0,73	99,41	99,65	0	8,42	5,31	3,74	-1,57	
2018-05-26	14,1	13,57	25,9	24,17	51	65,6	92	96,3	2,25	0,48	99,6	99,82	0	14,09	5	4,14	-0,86	
2018-05-27	13,8	14,16	26,6	23,16	36	74,91	86	96,2	3,25	1,2	99,63	99,83	0	0,32	6,05	3,81	-2,24	
2018-05-28	11,4	12,35	26	27,03	31	63,9	93	96	3,67	14,28	99,76	87,21	0	0	6,32	5,66	-0,66	
2018-05-29	11,3	11,15	26,7	24,27	29	58,17	76	88,81	4,21	0,65	99,59	99,86	0	0	7,09	4,49	-2,6	
2018-05-30	11,5	14,04	28,9	26,69	28	47,69	87	83	2,08	1,02	99,32	99,6	0	0	6,32	4,95	-1,37	
2018-05-31	12	15,21	29,6	26,56	27	52,32	93	79,45	1,25	0,41	99,16	99,44	0	0	5,84	4,54	-1,3	
													Σ	64,9	98,26	152,15	115,86	-36,29



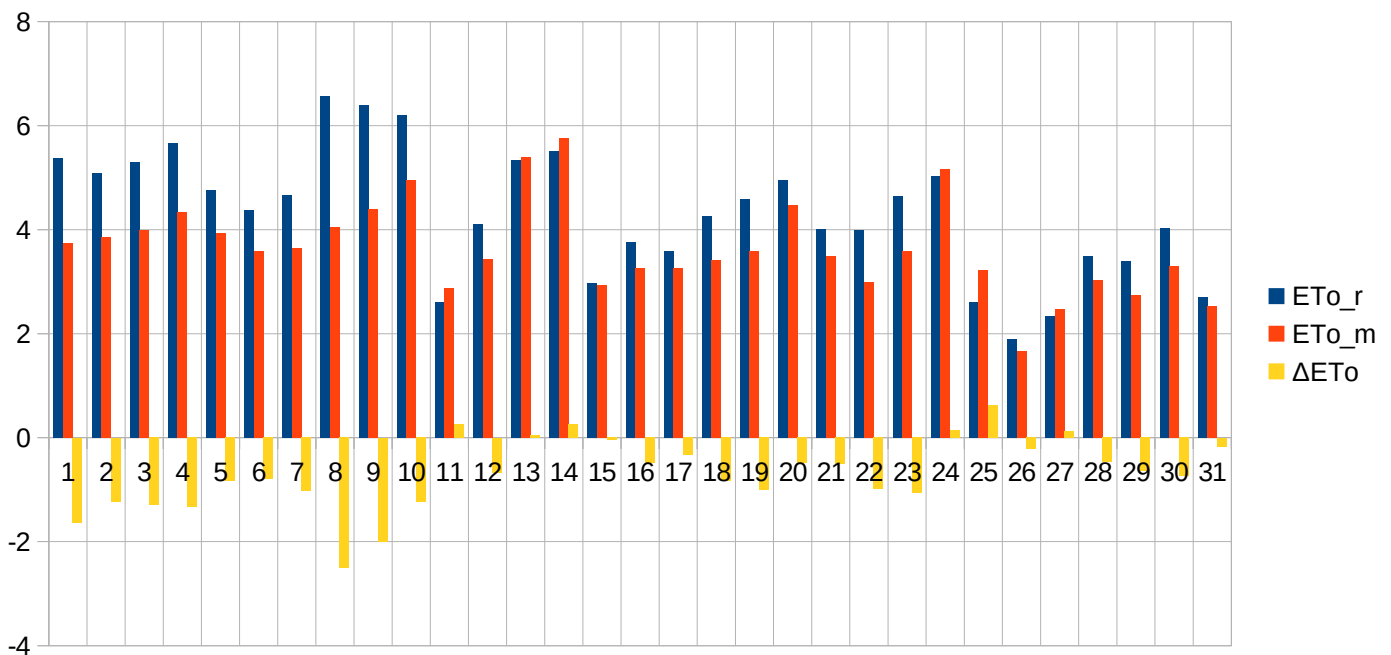
Data	T _{min_r}	T _{min_m}	T _{max_r}	T _{max_m}	RH _{min_r}	RH _{min_m}	Rh _{max_r}	RH _{max_m}	V _r	V _m	P _r	P _m	R _r	R _m	ET _{o_r}	ET _{o_m}	ΔET _o			
2018-06-01	13,3	15,88	29,1	27,16	29	52,41	94	91,7	2,71	0,65	99,15	99,41	0	1,99	6,69	4,7	-1,99			
2018-06-02	15,2	15,21	27,5	25,05	39	63,17	94	93,11	3,08	1,55	98,86	99,08	2	10,01	5,96	4,4	-1,56			
2018-06-03	16,5	15,73	25,9	24,25	39	57,53	96	97,46	2,58	1,23	98,87	99,07	0,4	3,5	5,19	4,14	-1,05			
2018-06-04	14,9	14,26	27,2	24,45	30	60,37	95	93	3,33	0,92	98,52	98,73	0	3,02	6,3	4,33	-1,97			
2018-06-05	14,6	14,31	25,4	23,9	49	68,8	92	94,53	3,13	2,53	98,31	98,54	17,9	9,78	5,22	4,21	-1,01			
2018-06-06	10,1	10,37	19,8	17,59	31	53,63	80	93,4	2,71	1,52	99,27	99,53	0	0,04	4,77	3,4	-1,37			
2018-06-07	6,8	7,7	23,5	21,26	31	62,58	79	95,13	3,42	1,39	99,41	99,68	0	0	6,06	4,27	-1,79			
2018-06-08	10,9	12,53	27,7	25,71	41	56,35	87	97,4	1,54	0,39	99	99,27	0	0,76	5,71	4,74	-0,97			
2018-06-09	14,5	15,48	29	26,64	34	59,4	95	91,4	2,29	0,86	98,75	99,02	0	1,3	6,29	4,75	-1,54			
2018-06-10	13,2	16,16	29,1	27	32	58,25	92	90	2,46	0,86	98,57	98,79	0	0,22	6,59	4,77	-1,82			
2018-06-11	17,7	17,51	25,7	24,95	55	69,5	92	92,6	3,5	1,64	98,38	98,55	8,3	9,94	4,86	4,05	-0,81			
2018-06-12	14,6	14,35	25,2	24,06	66	77,5	97	95,1	2,46	3,31	98,14	98,4	12	6,91	4,57	4,01	-0,56			
2018-06-13	11,4	12,57	21,3	21,2	60	69,79	98	96,9	2,33	0,93	98,26	98,46	0,2	4,1	4,1	3,76	-0,34			
2018-06-14	14,4	14,44	18,3	17,64	74	81,55	95	92,21	2,08	3	98,56	98,78	2,3	1,6	2,72	2,42	-0,3			
2018-06-15	14	12,12	24	20,79	43	71,64	89	96,37	2,67	2,56	98,74	98,98	0	2,74	5,06	3,67	-1,39			
2018-06-16	11,5	13,06	24,9	21,09	44	74,92	96	95,74	2,42	0,55	98,95	99,17	0	0,6	5,34	3,66	-1,68			
2018-06-17	12,1	13,8	23,3	23,57	51	60,8	96	93,9	2,04	0,71	98,99	99,2	0	0	4,67	4,21	-0,46			
2018-06-18	16,1	14,36	23,4	22,23	59	80,7	96	98,18	2,3	2,26	99,1	99,29	1,2	9,69	4,1	3,53	-0,57			
2018-06-19	16,4	14,98	27,1	25,05	40	62,3	97	95,02	2,58	2,07	99,4	99,66	0	1,1	5,56	4,57	-0,99			
2018-06-20	14,1	14,65	26,9	24,48	36	61,93	91	92,4	2,33	0,68	99,62	99,87	0	0,42	5,83	4,31	-1,52			
2018-06-21	15,2	16,39	30,1	27,06	43	68,28	93	91,46	3,71	4,78	98,77	99,07	1	10,97	6,87	5,01	-1,86			
2018-06-22	11,1	10,95	16,5	15,25	47	61,5	95	93,6	3,88	3,02	99,02	99,26	9	8,21	3,52	2,82	-0,7			
2018-06-23	9,3	6,95	15,2	14,65	63	70,52	93	90,84	3,83	2,27	99,07	99,35	19	2,67	3,01	2,97	-0,04			
2018-06-24	9,9	8,1	17	15,55	56	77,87	93	97,15	4,67	1,81	99,01	99,32	3	5,16	3,6	2,89	-0,71			
2018-06-25	11	8,38	19,3	18,15	45	62,49	94	97,36	2,67	1,02	99,29	99,59	0	2,94	4,1	3,61	-0,49			
2018-06-26	9,3	10,45	18,8	18,18	57	64,68	95	87,8	2,25	0,65	99,44	99,69	0	2,25	3,82	3,39	-0,43			
2018-06-27	9,7	12,2	22,9	20,65	49	71,74	97	98,2	2,67	2,57	99,33	99,5	0	5,65	4,91	3,59	-1,32			
2018-06-28	16,2	17,55	22,5	21,55	72	89,12	94	96,7	4,04	2,17	98,69	98,8	11	18,46	3,63	2,68	-0,95			
2018-06-29	17,2	17,31	26,1	23,21	54	80,12	89	98,7	2,92	4,34	98,27	98,47	2	17,02	5,01	3,24	-1,77			
2018-06-30	12,9	9,85	18,8	16,25	50	72,7	80	95,5	5,29	11,22	98,46	98,73	0,1	2,92	4,33	2,75	-1,58			
															Σ	89,4	143,97	148,39	114,85	-33,54



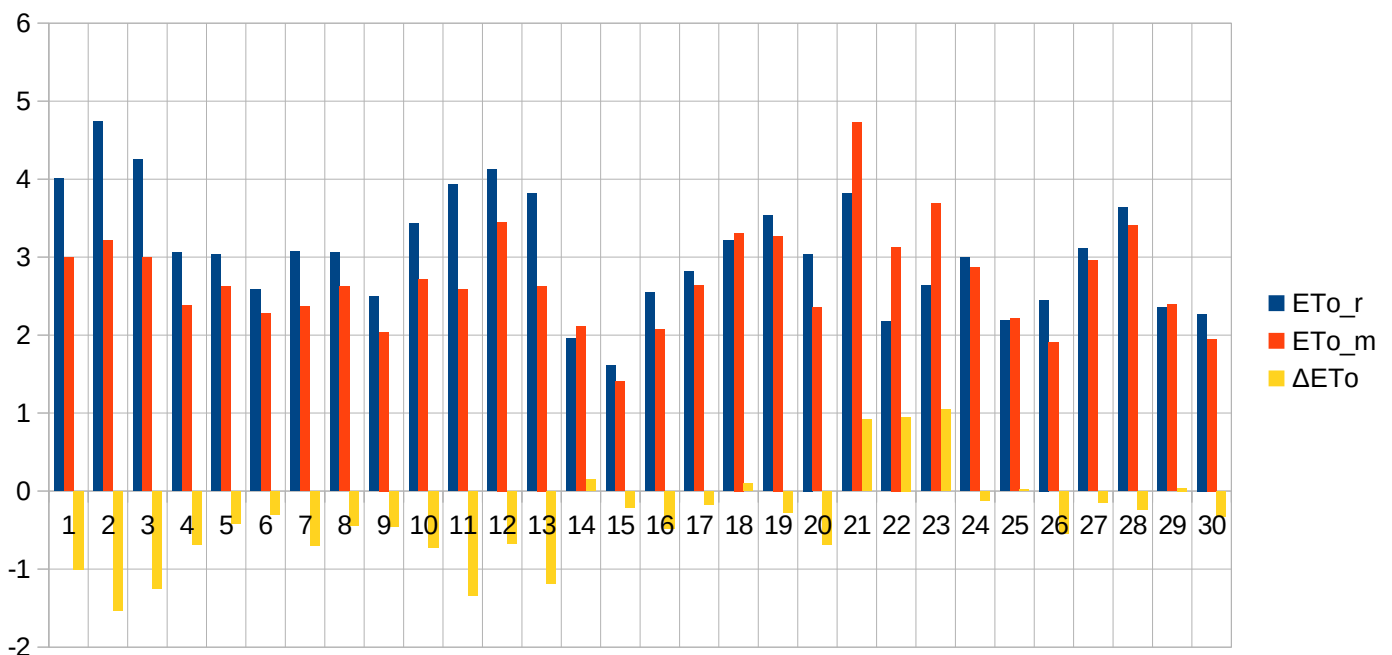
Data	T _{min_r}	T _{min_m}	T _{max_r}	T _{max_m}	RH _{min_r}	RH _{min_m}	Rh _{max_r}	RH _{max_m}	V _r	V _m	P _r	P _m	R _r	R _m	ET _{o_r}	ET _{o_m}	ΔET _o		
2018-07-01	11,2	8,14	16,2	13,55	56	73,32	89	91	4,25	3,18	98,88	99,18	4	1,93	3,33	2,55	-0,78		
2018-07-02	9	8,12	17,8	16,78	44	63,9	86	91,56	5,54	2,52	98,97	99,29	0	0,76	4,48	3,39	-1,09		
2018-07-03	11,9	9,05	23,5	21,25	31	59,9	82	93,1	4,38	2,02	98,99	99,3	0	0,02	6,11	4,27	-1,84		
2018-07-04	11,8	11,87	27,1	23,99	25	56,36	79	82,77	3,63	1,69	98,88	99,19	0	0	7,1	4,74	-2,36		
2018-07-05	13,7	14,31	29,5	27,14	23	46,49	82	84,18	3,21	2	98,6	98,89	0	0	7,43	5,51	-1,92		
2018-07-06	16,3	15,89	27	25,28	44	60,86	80	93,68	2,79	1,46	98,58	98,83	0,2	7,34	5,69	4,41	-1,28		
2018-07-07	14,1	15,46	26,1	23,21	30	63,6	93	96,2	3,42	2,72	98,93	99,21	0	0,86	6,13	4	-2,13		
2018-07-08	14,9	13,01	23,6	22,53	54	68,23	91	89,7	3,54	2,15	99,02	99,26	2	6,48	4,64	4,05	-0,59		
2018-07-09	15,3	13,87	25,6	23,12	39	57,5	91	95,28	1,96	1,22	99,03	99,27	0,4	2,2	5,06	4,1	-0,96		
2018-07-10	13,5	13,79	28,1	24,95	34	54,9	94	88	2,08	0,5	98,88	99,14	0	1,07	5,97	4,39	-1,58		
2018-07-11	15,6	15,27	26,6	23,44	47	66,7	96	90,69	1,83	0,53	98,81	99,03	0	13,66	5,01	3,83	-1,18		
2018-07-12	17,5	14,99	25,1	22,21	36	61,4	97	96,2	3,33	1,07	98,83	99,06	0,4	0,98	5,11	3,64	-1,47		
2018-07-13	14,3	13,57	22,3	21,35	50	66,7	95	94,24	3,54	1,79	98,86	99,11	1,1	1,62	4,39	3,63	-0,76		
2018-07-14	16	14,54	21,4	20,35	64	81,3	94	96,5	6,08	2,95	98,74	99,04	7,6	5,11	3,71	2,92	-0,79		
2018-07-15	16	14,37	21	19,35	67	83,03	95	96,4	4,42	3,63	98,68	98,96	16	5,13	3,36	2,62	-0,74		
2018-07-16	15,4	14,45	20,3	19,88	79	82,35	96	97,3	3,54	2,65	98,45	98,67	16	2,86	2,83	2,79	-0,04		
2018-07-17	15,9	14,62	22,9	20,75	64	82,3	95	97,53	4,54	2,11	97,99	98,24	0	2,2	3,95	3	-0,95		
2018-07-18	17,8	16,85	24,6	22,95	66	82,61	95	96,48	3,54	2,25	97,9	98,19	2	7,52	3,98	3,19	-0,79		
2018-07-19	18,8	17,45	23,6	21,18	72	86,82	95	98,28	4,29	4,12	98,38	98,59	1,2	4,24	3,4	2,37	-1,03		
2018-07-20	18,2	17,05	25,6	23,75	58	71,72	94	97,29	4,58	2,48	98,57	98,82	2	1,92	4,62	3,56	-1,06		
2018-07-21	15,5	14,53	27,1	24,33	35	58,1	93	94,38	3,33	1,15	98,67	98,91	0	0	5,89	4,13	-1,76		
2018-07-22	12,2	14,55	29,1	26,46	33	54,56	97	86,62	1,54	0,43	98,45	98,71	0	0	5,68	4,41	-1,27		
2018-07-23	16,1	15,85	28,4	25,05	33	66,34	96	92,86	3,38	3,85	98,48	98,7	0,1	11,39	6,19	4,31	-1,88		
2018-07-24	18,4	17,21	27,8	23,83	49	76,84	89	95,3	3,5	7,5	98,55	98,77	0	11,34	5,37	3,44	-1,93		
2018-07-25	16,9	15,78	26,5	23,67	55	75,6	97	97,5	2,67	3,3	98,61	98,8	2,5	7,75	4,64	3,53	-1,11		
2018-07-26	16	16,17	25,2	25,45	67	68,04	98	97,74	2,29	1,57	98,85	98,99	0,5	12,44	4,04	4,01	-0,03		
2018-07-27	16,7	17,56	27,1	26,15	55	65,12	100	96,73	1,67	0,15	98,87	99,02	8	5,38	4,52	3,82	-0,7		
2018-07-28	16	17,2	28,9	27,09	52	63,8	100	93,48	1,79	0,74	98,53	98,72	0	1,02	5,08	4,18	-0,9		
2018-07-29	18,7	18,98	28,5	26,84	56	68,58	98	93,6	1,83	0,65	98,76	98,94	0,9	21,65	4,62	3,82	-0,8		
2018-07-30	18,1	18,46	29,7	26,63	47	67,92	100	92,9	2,54	0,74	99,06	99,23	0	16,7	5,36	3,84	-1,52		
2018-07-31	19	17,89	27,5	26,25	72	73,9	100	93,6	2,46	0,62	99,25	99,4	36,2	4,34	4	3,76	-0,24		
Σ															101,1	157,91	151,69	116,21	-35,48



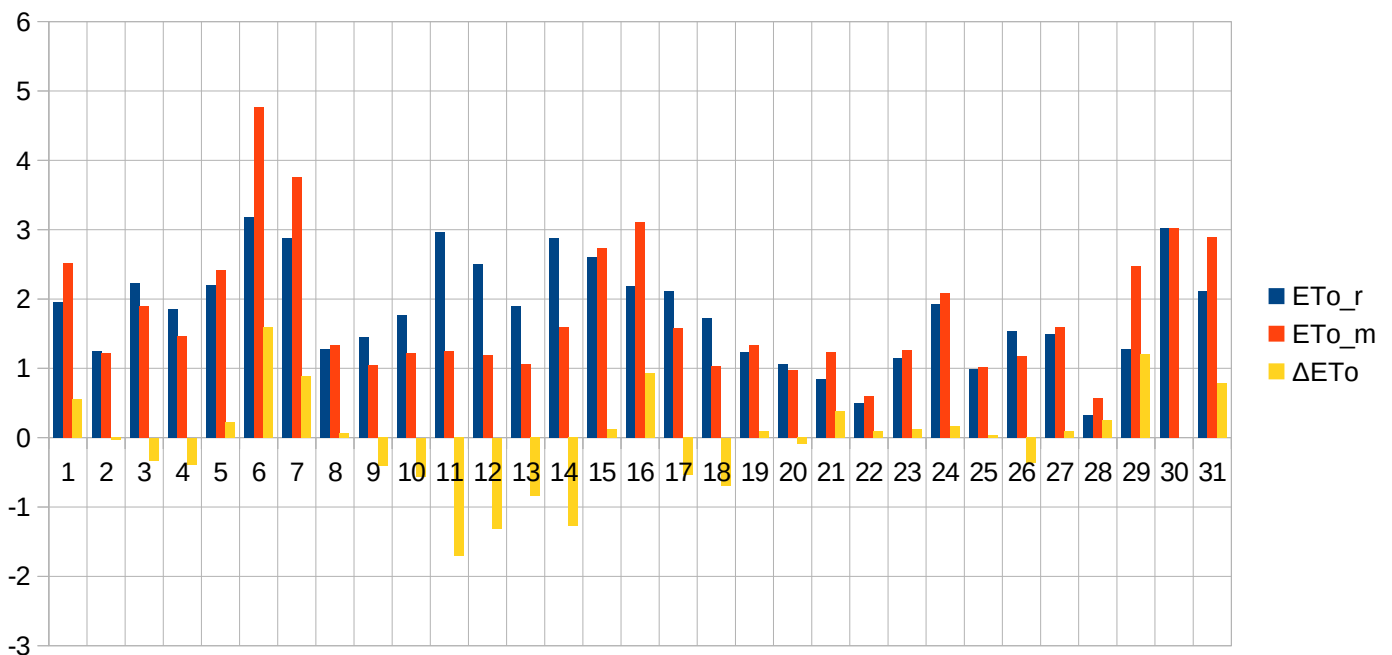
Data	T _{min_r}	T _{min_m}	T _{max_r}	T _{max_m}	RH _{min_r}	RH _{min_m}	Rh _{max_r}	RH _{max_m}	V _r	V _m	P _r	P _m	R _r	R _m	ET _{o_r}	ET _{o_m}	ΔET _o	
2018-08-01	17,6	18,8	29,6	26,65	53	73,5	99	95,2	3,25	1,11	99,38	99,57	1	4,58	5,37	3,74	-1,63	
2018-08-02	17,3	18,52	29,6	27,05	53	68,88	100	94,66	2,21	0,83	99,51	99,7	3	4,21	5,09	3,86	-1,23	
2018-08-03	14,9	17,21	28,9	26,8	32	57,23	100	95,1	1,67	0,79	99,54	99,75	0	0	5,3	4	-1,3	
2018-08-04	16,8	17,08	30,6	28,13	33	55,9	89	80,13	1,83	0,81	99,23	99,46	0	0	5,67	4,33	-1,34	
2018-08-05	18	18,11	27,4	26,75	51	65,88	92	82,84	2,83	1,15	99,03	99,24	0	7,24	4,76	3,93	-0,83	
2018-08-06	16,2	16,25	25	23,65	45	59,63	100	89,8	2,79	1,61	99,25	99,48	0	1,52	4,38	3,58	-0,8	
2018-08-07	12,8	14,49	26,8	24,95	42	57,04	98	86,15	1,46	0,25	99,31	99,54	0	0	4,67	3,64	-1,03	
2018-08-08	12,9	14,99	29,3	27,11	30	61,4	98	92,24	3,79	0,45	99,26	99,52	0	0	6,56	4,05	-2,51	
2018-08-09	16,8	17,74	30,8	29,15	46	57,07	94	91,69	4,79	1,09	99,33	99,58	0	4,24	6,4	4,4	-2	
2018-08-10	17,6	18,43	32,1	29,58	43	60,42	98	95,59	3,33	3,75	99,47	99,73	0,3	5,61	6,2	4,96	-1,24	
2018-08-11	15,4	16	21,3	22,23	81	74,17	100	98,49	2,46	1,12	99,52	99,73	36,1	10,68	2,61	2,87	0,26	
2018-08-12	12,9	14,36	24,2	23,72	41	55	100	93,23	1,71	0,73	99,41	99,66	0	0,12	4,11	3,44	-0,67	
2018-08-13	13,3	14,85	29,5	27,78	41	52,48	100	91,63	2,25	4,83	98,74	99,06	0	0	5,34	5,39	0,05	
2018-08-14	16,2	19,2	30	28,26	44	54,27	99	93,06	3,08	9,11	98,59	98,81	7	4,06	5,51	5,77	0,26	
2018-08-15	17,9	16,76	23,2	23,04	66	64,5	100	94,59	2,5	0,91	99,07	99,26	4,2	3,92	2,98	2,94	-0,04	
2018-08-16	14,3	14,64	24,6	23,4	57	63,8	100	95,2	1,96	1,06	99,36	99,55	1	0,5	3,75	3,26	-0,49	
2018-08-17	14,7	14,92	24,4	24,01	65	66,1	100	96,76	2,83	0,77	99,21	99,42	0	13,72	3,59	3,25	-0,34	
2018-08-18	13,7	15,94	27,2	25,46	46	59,5	100	93,3	1,42	0,7	99,33	99,57	0	4,43	4,26	3,42	-0,84	
2018-08-19	15,5	16,35	29,5	26,85	44	53,38	100	89,57	1,46	0,6	99,46	99,73	0	0,54	4,58	3,58	-1	
2018-08-20	14,9	17,03	30,4	28,97	35	49,37	100	82,79	1,58	1,68	99,09	99,37	0	0	4,96	4,47	-0,49	
2018-08-21	15,6	16,65	24,8	24,55	54	61,8	90	89,6	3	2,3	99,32	99,55	0	0,11	4,01	3,5	-0,51	
2018-08-22	11,6	13,95	23,7	22,65	42	55,51	99	84,57	2,21	0,65	99,58	99,81	0	0	3,99	3	-0,99	
2018-08-23	10,9	13,3	28,1	26,52	49	58,05	99	93,8	2,42	0,54	99,14	99,41	0	0	4,65	3,59	-1,06	
2018-08-24	16,1	18,34	28,5	27,23	44	56,3	97	77,09	3,42	5,61	98,58	98,83	0	0	5,02	5,16	0,14	
2018-08-25	17,4	16	22,3	24,15	72	70,38	99	88,81	3,25	2,43	98,48	98,66	4	7,92	2,6	3,22	0,62	
2018-08-26	11,3	10,64	17,8	16,15	90	89,03	98	94,27	3,29	6,65	98,8	99,04	8	2,26	1,89	1,67	-0,22	
2018-08-27	11,3	8,92	18	17,98	68	65,69	98	96,65	1,5	0,84	99,16	99,41	0	0	2,34	2,47	0,13	
2018-08-28	9,7	10,17	22,9	21,99	51	50,7	100	92,6	1,92	0,83	99,3	99,55	0	0,01	3,5	3,03	-0,47	
2018-08-29	10,8	11,15	22,6	21,45	43	51,2	100	92,5	1,58	0,53	99,42	99,65	0	0	3,39	2,75	-0,64	
2018-08-30	9	11,79	25,9	25,08	42	49,73	100	91,8	1,83	0,75	99,15	99,42	0	0	4,03	3,29	-0,74	
2018-08-31	14,5	15,25	22,1	21,95	69	65,39	97	98,22	2,04	1,21	99,39	99,63	0	0	2,7	2,53	-0,17	
													Σ	64,6	75,67	134,21	113,09	-21,12



Data	T _{min_r}	T _{min_m}	T _{max_r}	T _{max_m}	RH _{min_r}	RH _{min_m}	Rh _{max_r}	RH _{max_m}	V _r	V _m	P _r	P _m	R _r	R _m	ET _{o_r}	ET _{o_m}	ΔET _o			
2018-09-01	13,2	14,05	26,5	24,34	54	60,97	100	93,51	2,96	1	99,6	99,83	0	0	4,01	3	-1,01			
2018-09-02	13,9	15,67	25,9	24,85	43	55,8	95	87,97	4,42	1,54	99,72	99,92	0	0	4,74	3,21	-1,53			
2018-09-03	10,5	13,65	26,2	24,55	47	62,4	99	92,7	2,92	1,06	99,19	99,4	0	0,82	4,25	3	-1,25			
2018-09-04	15	16,31	24	23,56	55	61,5	99	91,4	1,83	0,23	98,76	98,96	0	1,19	3,06	2,38	-0,68			
2018-09-05	13,5	14,95	23,4	22,17	63	68,3	98	93,8	2,54	2,15	98,88	99,06	0,1	10,37	3,03	2,62	-0,41			
2018-09-06	12,4	12,82	21,4	20,11	68	73,2	100	93,7	2,21	1,59	98,76	98,93	13	6,48	2,58	2,28	-0,3			
2018-09-07	10,5	12,79	23,3	21,7	42	57,1	100	93,5	1,25	0,48	98,73	98,89	0	0,43	3,07	2,37	-0,7			
2018-09-08	11,8	12,95	23,8	22,05	59	62,1	100	91,8	2,04	1,4	99,17	99,41	0	3,78	3,06	2,62	-0,44			
2018-09-09	11,6	11,61	20,1	19,26	60	68,3	100	94	2,08	0,5	99,62	99,89	0	0,86	2,5	2,04	-0,46			
2018-09-10	10	11,82	23,2	21,76	49	58,1	99	92,7	2,79	1,75	99,6	99,86	0	0	3,43	2,71	-0,72			
2018-09-11	9,5	12,09	24,3	22,18	37	55,8	99	85,9	2,79	1,11	99,64	99,95	0	0	3,93	2,59	-1,34			
2018-09-12	13,6	13,77	27,6	25,62	34	49	94	89,2	2,25	2,14	99,59	99,88	0	0	4,12	3,45	-0,67			
2018-09-13	14,5	15,33	27,6	25,29	41	51,8	94	81,61	2,13	0,76	99,2	99,46	0	0	3,81	2,63	-1,18			
2018-09-14	13,6	15,95	20,7	22,35	80	69,4	100	96,6	2,38	1,13	99,17	99,37	0,8	13,28	1,96	2,11	0,15			
2018-09-15	10,9	12,37	18,1	16,51	87	86,27	100	98,4	2,67	1,63	99,39	99,6	7,3	5,77	1,61	1,4	-0,21			
2018-09-16	8,8	9,39	19,2	18,77	52	59,2	99	90,3	2,38	1,02	99,91	100,18	0	0,18	2,55	2,07	-0,48			
2018-09-17	6,8	10,24	23,8	22,05	45	54,2	100	86,2	1,29	1,59	99,79	100,11	0	0	2,81	2,64	-0,17			
2018-09-18	10,7	12,95	25,4	23,67	42	53,1	99	83,7	1,79	3,04	99,62	99,92	0	0	3,21	3,31	0,1			
2018-09-19	11,3	13,05	26	24,34	36	47,9	98	80,3	2,13	2,34	99,56	99,87	0	0	3,54	3,27	-0,27			
2018-09-20	10,4	13,27	26,3	24,55	36	44,5	98	80,6	1,29	0,69	99,53	99,82	0	0	3,04	2,36	-0,68			
2018-09-21	9,4	14,05	27,1	25,31	35	45,3	100	77,1	2,42	5,48	99,06	99,34	0	0	3,81	4,73	0,92			
2018-09-22	8,4	9,25	18	18,98	64	47,7	98	87,4	3,5	4,36	99,24	99,52	15	2,11	2,18	3,13	0,95			
2018-09-23	8,4	8,65	17,4	16,35	56	52,9	94	82,8	5,17	13,54	98,91	99,23	0	0,22	2,64	3,69	1,05			
2018-09-24	7,1	6,94	14	13,86	50	60,2	89	85,9	9,71	15,28	98,8	99,12	4,3	14,07	2,99	2,87	-0,12			
2018-09-25	2,7	4,9	11,9	11,15	54	51,9	96	85,4	6,5	5,27	100,38	100,74	0,6	1,08	2,19	2,21	0,02			
2018-09-26	1,2	2,14	14,1	12,78	42	45,91	100	86,6	3,92	2,09	100,9	101,28	0	0	2,45	1,91	-0,54			
2018-09-27	10,4	7,99	16,2	15,3	53	53,1	71	66,86	5,71	5,14	100,13	100,5	0	0,67	3,11	2,96	-0,15			
2018-09-28	9,7	8,59	21	18,95	48	52,6	77	80,4	5,04	6,56	99,33	99,63	0	0,22	3,64	3,4	-0,24			
2018-09-29	0,8	5,32	13,7	12,55	37	47,05	97	83,7	3,25	4,66	99,9	100,19	0	1,19	2,35	2,39	0,04			
2018-09-30	-2,2	3,18	16,3	14,18	36	44,5	100	83,3	2,17	2	99,73	100,05	0	0	2,27	1,95	-0,32			
															Σ	41,1	62,72	91,94	81,3	-10,64



Data	T _{min_r}	T _{min_m}	T _{max_r}	T _{max_m}	RH _{min_r}	RH _{min_m}	Rh _{max_r}	RH _{max_m}	V _r	V _m	P _r	P _m	R _r	R _m	ET _{o_r}	ET _{o_m}	ΔET _o			
2018-10-01	2,3	6,75	16,5	16,57	56	56,3	100	90,6	2,63	5,49	98,71	98,99	0	0	1,96	2,51	0,55			
2018-10-02	5	5,65	10,7	11,22	73	72,5	97	88,31	4	1,91	98,88	99,22	1,5	2,81	1,24	1,21	-0,03			
2018-10-03	5,6	6,57	12,8	11,91	58	63,2	88	80,71	7	4,81	98,9	99,17	7	3,24	2,23	1,9	-0,33			
2018-10-04	4,4	5,23	12,1	11,38	60	62,06	93	86,4	5,46	2,51	99,93	100,28	0	0,22	1,85	1,46	-0,39			
2018-10-05	2,6	4,75	16,3	14,54	44	52,7	95	80,82	2,79	4,86	100,19	100,55	0	0	2,2	2,42	0,22			
2018-10-06	3,1	7,56	20,1	18,4	37	47,31	98	66,81	4	13,99	99,38	99,73	0	0	3,18	4,77	1,59			
2018-10-07	12,2	13,25	21,2	21,12	44	48,79	84	82,72	3,33	7	98,92	99,21	0	0,23	2,87	3,76	0,89			
2018-10-08	9,2	7,85	13	13,23	68	59,81	88	88,99	2,17	1,77	99,76	99,99	0	0	1,28	1,34	0,06			
2018-10-09	5,5	6,2	17,1	16,63	55	58,83	100	89,68	1,38	0,32	99,96	100,23	0	0	1,45	1,04	-0,41			
2018-10-10	2,1	9,09	17,8	19	55	52,25	100	91,7	2,25	0,53	100,15	100,38	0	0	1,77	1,21	-0,56			
2018-10-11	9	8,45	21	19,45	38	49,2	100	91,02	3,92	0,61	100,08	100,36	0	0	2,96	1,25	-1,71			
2018-10-12	6,8	9,85	22,4	21,24	46	41,5	98	80,96	2,79	0,42	100,28	100,57	0	0	2,5	1,19	-1,31			
2018-10-13	4,4	10,15	20,1	19,62	54	49,31	100	88,4	2,33	0,37	100,34	100,6	0	0	1,9	1,06	-0,84			
2018-10-14	4,9	9,54	21,6	20,64	43	46,93	96	88,5	3,75	1,26	100,02	100,3	0	0	2,87	1,6	-1,27			
2018-10-15	3,6	9,72	22,1	20,08	29	32,3	95	62,9	2,29	2,49	99,83	100,11	0	0	2,61	2,73	0,12			
2018-10-16	3,9	10,33	21,8	20,26	29	36,2	99	55,1	1,79	3,09	99,73	100,01	0	0	2,18	3,11	0,93			
2018-10-17	3,2	9,35	22,7	21,03	31	34,85	98	56,4	1,67	0,99	99,66	99,93	0	0	2,12	1,58	-0,54			
2018-10-18	2	9,52	19,7	19,15	45	43,3	100	68,4	1,83	0,53	99,38	99,64	0	0	1,72	1,03	-0,69			
2018-10-19	6,7	9,06	16,7	15,99	70	57,74	100	86,1	2,75	1,75	99,52	99,77	0	0	1,23	1,33	0,1			
2018-10-20	8,1	7,27	13,6	13,09	72	69,2	96	98,1	2,75	2,08	99,8	100,08	0	2,6	1,06	0,97	-0,09			
2018-10-21	3,2	5,5	10,9	10,77	75	59,3	99	92,5	2,88	2,96	99,99	100,29	12	7,61	0,85	1,23	0,38			
2018-10-22	0,9	3,58	8,6	10,08	88	59,18	100	85	1,71	0,41	99,97	100,26	0	0	0,5	0,6	0,1			
2018-10-23	5,9	4,64	8,1	8,93	67	55,06	100	92,3	7,54	3,38	98,8	99,1	1,7	4,1	1,14	1,26	0,12			
2018-10-24	4,7	3,3	8,3	8,92	49	53,6	91	87,3	8,42	11,3	97,61	97,87	5,8	4	1,93	2,09	0,16			
2018-10-25	2,2	2,28	10,1	9,52	76	74,45	99	89,88	7,29	4,71	98,19	98,51	5	6,7	0,98	1,02	0,04			
2018-10-26	6	5,87	10,2	9,93	56	66,6	88	84,05	4,5	3,27	98,42	98,74	0	0,54	1,54	1,17	-0,37			
2018-10-27	7	8,36	16	14,54	56	71,2	99	93,2	3,33	8,05	98,15	98,41	0,2	3,02	1,49	1,59	0,1			
2018-10-28	5,8	7,32	8,9	12,51	97	84,9	100	96,2	3,71	1,4	98,6	98,82	2	5,24	0,32	0,57	0,25			
2018-10-29	8,9	14,37	18,9	18,02	70	73,8	100	87,8	3,58	17,62	98,46	98,69	1,3	0,92	1,28	2,48	1,2			
2018-10-30	12,5	13,34	22,5	20,27	47	57,8	90	84,5	5,38	8,15	98,59	98,88	0	0	3,02	3,02	0			
2018-10-31	7,1	10,47	19,1	17,97	40	45,95	88	76,8	3,04	5,46	99,68	100,01	0	0	2,11	2,89	0,78			
															Σ	36,5	41,23	56,34	55,39	-0,95



III.3. Legenda.

<i>Symbol</i>	<i>Nazwa</i>	<i>Jednostka</i>
T_{\min_r}	temperatura minimalna zmierzona	°C
T_{\min_m}	temperatura minimalna z modelu GFS	°C
T_{\max_r}	temperatura minimalna zmierzona	°C
T_{\max_m}	temperatura minimalna z modelu GFS	°C
RH_{\min_r}	wilgotność względna minimalna zmierzona	%
RH_{\min_m}	wilgotność względna minimalna z modelu GFS	%
Rh_{\max_r}	wilgotność względna maksymalna zmierzona	%
RH_{\max_m}	wilgotność względna maksymalna z modelu GFS	%
V_r	średnia prędkość wiatru zmierzona	m/s
V_m	średnia prędkość wiatru z modelu GFS	m/s
P_r	absolutne ciśnienie atmosferyczne zmierzone	kPa
P_m	absolutne ciśnienie atmosferyczne z modelu GFS	kPa
R_r	suma opadu zmierzona	mm/24h
R_m	suma opadu z modelu GFS	mm/24h
ET_{o_r}	ewapotranspiracja referencyjna dla danych mierzonych	mm/24h
ET_{o_m}	ewapotranspiracja referencyjna dla danych modelu GFS	mm/24h
ΔET_o	różnica ewapotranspiracji referencyjnej	mm/24h

IV. Wnioski z badań.

W celu prawidłowej analizy obliczeń przeprowadzonych w toku badań przygotowano zestaw danych statystycznych. Dane te przedstawiono w poniższej tabeli:

	Białystok		Gdynia		Łódź		Poznań		Rzeszów	
	2017	2018	2017	2018	2017	2018	2017	2018	2017	2018
Suma opadu	1089mm	557mm	307mm	585mm	954mm	559mm	702mm	351mm	494mm	423mm
Niezbilansowanie	5mm	-20mm	23mm	7mm	-18mm	-66mm	-86mm	-185mm	-83mm	-157mm
Średni błąd	3,1%	4,8%	8,3%	4,2%	1,3%	-4,1%	-9,8%	-15,5%	-7,5%	-14,6%
Odch. stand. błędu	20,8%	27,6%	24,0%	23,0%	24,5%	23,1%	15,6%	17,3%	20,0%	20,0%
5 percentyl	-18,5%	-23,6%	-21,0%	-25,8%	-29,4%	-29,2%	-31,4%	-37,5%	-35,3%	-36,1%
Mediana	-1,9%	-3,4%	3,6%	2,0%	-3,3%	-9,8%	-10,7%	-18,5%	-12,0%	-18,9%
95 percentyl	35,8%	61,0%	50,9%	54,2%	45,8%	38,2%	17,2%	23,5%	32,8%	24,0%

Analiza wyników badań pozwala stwierdzić, że wyliczone wskaźniki ewapotranspiracji referencyjnej charakteryzują się stosunkowo dużą rozbieżnością uśrednionej wielkości błędu, której wartość absolutna waha się od 1,3% do 15,5%. Stosunkowo duża wartość odchylenia standardowego oraz różnica między średnią a medianą wskazują na dużą zmienność wartości błędu.

Jak wspomniano na wstępie przyjmuje się, że zastosowanie algorytmów sterowania nawadnianiem, wykorzystujących dane atmosferyczne i model Penmana-Monteitha, pozwala uzyskać potencjalne oszczędności wody na poziomie 30 %. Jeśli przyjąć, że obserwowany w badaniach maksymalny błąd związany z wykorzystaniem danych modelu GFS obniży tę wartość o 15,5 %, potencjalne oszczędności wody w takim przypadku wyniosą $30 \% * (1 - 0,155) = 25,35 \%$. W praktyce oznacza to więc, że tam gdzie analiza ekonomiczna nie uzasadnia ponoszenia dużych kosztów inwestycyjno-eksploatacyjnych związanych z instalacją i utrzymaniem urządzeń stacji meteorologicznej, zastosowanie danych modelu GFS będzie zapewniało lepszą opłacalność systemu nawadniania. Dotyczy to w szczególności niedużych upraw czy użytków zielonych, jak np. ogrody i trawniki przydomowe.

Nie można jednak pominąć obserwowanych, bardzo dużych różnic pomiędzy modelowanym przez GFS a faktycznie zmierzonym opadem atmosferycznym. Różnice są na tyle duże, że modelowana matematycznie wielkość opadu nie może być wykorzystana do określenia bilansu wodnego w miejscu uprawy. Nie jest to jednak niespodzianką, gdyż powszechnie wiadomo iż matematyczne modele atmosfery mają problemy z prognozowaniem opadów o charakterze konwekcyjnym. Ten rodzaj opadów charakteryzuje się zwykle stosunkowo dużą intensywnością i "punktowym" występowaniem. Mając to na uwadze należy przyjąć, że konieczne jest prowadzenie pomiarów wielkości opadu za pośrednictwem instalowanego lokalnie pluwiometru, sprzężonego do urządzenia sterującego nawadnianiem.

V. Uwagi.

Pierwotne założenia przewidywały instalację meteorologicznych urządzeń pomiarowych w 3-5 lokalizacji. W fazie przygotowawczej do badań nie udało się jednak zabezpieczyć miejsc, w których można byłoby zainstalować niezbędne urządzenia, zabezpieczyć je przed dostępem osób niepowołanych oraz zapewnić regularną obsługę. Mimo podejmowanych starań nie udało się także nawiązać współpracy z instytucją badawczą, której udział był przewidziany w części badawczej - nie było ofert w odpowiedzi na zapytania wysłane do wybranych instytucji oraz opublikowanego w Bazie Konkurencyjności. W zaistniałej sytuacji podjęto decyzję o skorzystaniu z pomocy instytucji, która mogłaby dostarczać niezbędne dane pomiarowe, które spełniałyby wymóg rzetelności i dokładności metrologicznej. W tym celu nawiązano współpracę z przedsiębiorstwem badawczym Retencja.pl sp. z o. o., za pośrednictwem którego uzyskano dostęp do danych pomiarowych ze stacji meteorologicznych Instytutu Meteorologii i Gospodarki Wodnej - Państwowego Instytutu Badawczego. Dzięki temu nie tylko udało się uzyskać dane o najwyższej jakości i pewności, ale także przeprowadzić badania dla dodatkowego okresu wegetacyjnego. Wpłynęło to na poszerzenie bazy obliczeniowej i zwiększenie wartości wyników badań.

- i <https://www.eea.europa.eu/pl/sygna142y/sygnaly-2018/artykuly/zuzycie-wody-w-europie-2014>
- ii W. Treder, K. Klamkowski, A. Tryngiel - Gać. (2019): Techniczne i technologiczne możliwości oszczędzania wody do nawadniania roślin uprawnych. Instytut Ogrodnictwa w Skierniewicach
- iii <https://www.nco.ncep.noaa.gov/>
- iv <http://www.fao.org/3/X0490E/x0490e06.htm>
- v Chiew F.H.S., Kamaladasa N.N., Malano H.M., McMahon T.A. (1995): Penman-Monteith, FAO-24 reference crop evapotranspiration and class-A pan data in Australia. Agricultural Water Management, 28: 9–21.
- vi http://www.wmo.int/pages/prog/wcp/wcdmp/documents/WCDMP-52_000.pdf
- vii <https://www.vaisala.com/en/products/instruments-sensors-and-other-measurement-devices/weather-stations-and-sensors/hmp155>
- viii <https://www.vaisala.com/en/products/instruments-sensors-and-other-measurement-devices/instruments-industrial-measurements/ptb110>
- ix <https://www.vaisala.com/en/products/instruments-sensors-and-other-measurement-devices/weather-stations-and-sensors/wmt700>
- x https://www.seba-hydrometrie.com/products.html?L=1&tx_sebaproducts_sebaproducts%5Bproduct%5D=138&tx_sebaproducts_sebaproducts%5Bprimarycategory%5D=1&tx_sebaproducts_sebaproducts%5Bcontroller%5D=Product&tx_sebaproducts_sebaproducts%5Baction%5D=show&cHash=da5c5a32397eebbdf22126120a772323
- xi <https://www.nco.ncep.noaa.gov/pmb/products/gfs/>
- xii Oke, T.R. (1987). Boundary Layer Climates. Methuen.